





Regione Emilia Romagna Comune di Ravenna (RA) Località Campiano




Impianto Agrivoltaico Avanzato Campiano

Progetto per la realizzazione dell' impianto agrivoltaico avanzato di tipo zootecnico della potenza complessiva di 60 MWp, sito nel Comune di Ravenna, Località Campiano e relative opere connesse.

Progettista  consulenza & ingegneria esperienza per l'ambiente	Ambiente S.p.A. Via C.Colombo 149, 00147 Roma (RM) Italia P.IVA e C.F. 00262540453 Tel. +39 06 45678751 Web: www.ambientesci.it							
	0	07-04-2025	Emissione	A. De Pace	L. Nigro	M.I. Gianviti		
	Revisione	Data	Descrizione	Preparato	Verificato	Approvato		

Proponente  Campiano Solar S.r.l. Via Brigata Ebraica 50, 48123 Mezzano (RA) Italia P.IVA e C.F. 02754580393 Tel. +39 0544 525311 Fax. +39 0544 525319 PEC: campianosolar@legalmail.it Web: www.tozzigreen.com								
	0	07-04-2025	Emissione	C. Cicchiti	C. Vitali			
	Revisione	Data	Descrizione	Verificato	Approvato			

EMESSO PER	TITOLO	SCALA	COMMESSA	
<input checked="" type="checkbox"/> DEFINITIVO	Tabulati di calcolo Opere Civili	-	IT020BD046	
<input type="checkbox"/> COSTRUZIONE		FILE	FOGLIO	FORMATO
<input type="checkbox"/> AS BUILT		TGR-02-REL-004	1/1	A4
<input type="checkbox"/> INFORMAZIONE		DOCUMENTO N.°		
	 Campiano Solar S.r.l. Amministratore Unico Andrea Tozzi		IT020BD046-TGR-02-REL-004	

TABULATI DI CALCOLO OPERE CIVILI

INDICE

1. INTRODUZIONE	2
2. NORMATIVA TECNICA DI RIFERIMENTO	3
3. VERIFICA ELEMENTI TRACKER	4
3.1 Tracker inclinazione 0° gradi	4
3.2 Tracker inclinazione 55° gradi	179
4. Verifica fondazioni infissione pali tracker	342
4.1 Condizioni drenate	342
4.2 Condizioni non drenate	349
5. Verifica fondazioni cabinati	354
5.1 Cabina di controllo	354

1. INTRODUZIONE

Il presente elaborato “Tabulati di calcolo opere civili” illustra le verifiche in formato tabellare delle opere civili preseti del progetto.

2. NORMATIVA TECNICA DI RIFERIMENTO

Le fasi di analisi e verifica della struttura sono state condotte in accordo alle seguenti disposizioni normative, per quanto applicabili in relazione al criterio di calcolo adottato dal progettista:

- **Legge 5 novembre 1971 n. 1086** (G.U. 21 dicembre 1971 n. 321) “Norme per la disciplina delle opere di conglomerato cementizio armato, normale e precompresso ed a struttura metallica”.
- **Legge 2 febbraio 1974 n. 64** (G.U. 21 marzo 1974 n. 76). “*Provvedimenti per le costruzioni con particolari prescrizioni per le zone sismiche*”.
- **D. M. Infrastrutture Trasporti 17/01/2018** (G.U. 20/02/2018 n. 42 - Suppl. Ord. n. 8) “Aggiornamento delle *Norme tecniche per le Costruzioni*”.
- **Circolare gennaio 2019, n. 7 C.S.LL.PP.** (G.U. Serie Generale n. 35 del 11/02/2019 Suppl. Ord. n.5) Istruzioni per l'applicazione dell'«Aggiornamento delle "Norme tecniche per le costruzioni"» di cui al decreto ministeriale 17 gennaio 2018.
- **Eurocodice 1 - “Azioni sulle strutture – Parte 1-4: Azioni del vento”** – EN 1991-1-4.
- **Eurocodice 2 - “Progettazione delle strutture in calcestruzzo”** - EN 1992.
- **Eurocodice 3 - “Progettazione delle strutture in acciaio”** - EN 1993
- **Eurocodice 7 - “Progettazione geotecnica”** - EN 1997.
- **Eurocodice 8 - Indicazioni progettuali per la resistenza sismica delle strutture – Parte 5:** Fondazioni, strutture di contenimento ed aspetti geotecnici.
- **Istruzioni per la valutazione delle Azioni sulle Costruzioni.** (C.N.R. 10012/85);
- **UNI-EN 206/2021** “*Calcestruzzo - Specificazione, prestazione, produzione e conformità*”

3. VERIFICA ELEMENTI TRACKER

3.1 Tracker inclinazione 0° gradi

TRAVI (AC) - VERIFICHE A PRESSOFLESSIONE DEVIATA (Elevazione)

Travi (AC) - Verifiche a pressoflessione deviata

Id _{Tr}	%L _{LI}	N _{Ed}	V _{Ed}	M _{Ed,3}	M _{Ed,2}	CS	Tp Vr	max/m in	M _{C,Rd}	V _{C,Rd}	ρ	A _v	t _w	N _{pl,Rd}
	[%]	[N]	[N]	[N·m]	[N·m]				[N·m]	[N]		[cm²]	[mm]	[N]
Piano Terra								Piano Terra						
Trave Acciaio 10-84a	0%	-	-	9594	-	4.86[V]	PLS	Max	46.619	232.109	0,000	1.535,0 0	10	804.879
			7635					Min	46.619	232.109	0,000	1.535,0 0	10	
	25,0%	-	-	7082	-	6.58[V]	PLS	Max	46.619	232.109	0,000	1.535,0 0	10	804.879
			7432					Min	46.619	232.109	0,000	1.535,0 0	10	
	50,0%	-	-	4645	-	10.04[V]	PLS	Max	46.619	232.109	0,000	1.535,0 0	10	804.879
			7202					Min	46.619	232.109	0,000	1.535,0 0	10	

Travi (AC) - Verifiche a pressoflessione deviata

Id _{Tr}	%L _{L1}	N _{Ed}	V _{Ed}	M _{Ed,3}	M _{Ed,2}	CS	Tp Vr	max/m in	M _{c,Rd}	V _{c,Rd}	ρ	A _v	t _w	N _{pl,Rd}
	[%]	[N]	[N]	[N·m]	[N·m]				[N·m]	[N]		[cm²]	[mm]	[N]
	75,0%	-	-	2285	-	20.40[V]	PLS	Max	46.619	232.109	0,000	1.535,0 0	10	804.879
			6972					Min	46.619	232.109	0,000	1.535,0 0	10	
	100,0 %	-	-	-	-	-	PLS	Max	46.619	232.109	0,000	1.535,0 0	10	804.879
			-					Min	46.619	232.109	0,000	1.535,0 0	10	
	0%	-	-	4270	-	4.17[V]	EFF	Max	17.802	181.453	0,000	1.200,0 0	4	454.351
			3385					Min	9.646	91.936	0,000	608,00	4	
Trave Acciaio 2a-3a	25,0%	-	-	2453	-	7.26[V]	EFF	Max	17.802	181.453	0,000	1.200,0 0	4	454.351
			2639					Min	9.646	91.936	0,000	608,00	4	
	50,0%	-	-	1134	-	15.70[V]	EFF	Max	17.802	181.453	0,000	1.200,0 0	4	454.351
			1796					Min	9.646	91.936	0,000	608,00	4	

Travi (AC) - Verifiche a pressoflessione deviata

Id _{Tr}	%L _{L1}	N _{Ed}	V _{Ed}	M _{Ed,3}	M _{Ed,2}	CS	Tp Vr	max/m in	M _{c,Rd}	V _{c,Rd}	ρ	A _v	t _w	N _{pl,Rd}
	[%]	[N]	[N]	[N·m]	[N·m]				[N·m]	[N]		[cm²]	[mm]	[N]
	75,0%	-	-	316	-	56.33[V]	EFF	Max	17.802	181.453	0,000	1.200,0 0	4	454.351
			952					Min	9.646	91.936	0,000	608,00	4	
	100%	-	-	-	-	-	EFF	Max	17.802	181.453	0,000	1.200,0 0	4	454.351
			-					Min	9.646	91.936	0,000	608,00	4	
Trave Acciaio 1-5a	0%	-	-	7982	-	2.23[V]	EFF	Max	17.802	181.453	0,000	1.200,0 0	4	454.351
			6300					Min	9.646	91.936	0,000	608,00	4	
	25,0%	-	-	4592	-	3.88[V]	EFF	Max	17.802	181.453	0,000	1.200,0 0	4	454.351
			4926					Min	9.646	91.936	0,000	608,00	4	
	50,0%	-	-	2128	-	8.37[V]	EFF	Max	17.802	181.453	0,000	1.200,0 0	4	454.351
			3357					Min	9.646	91.936	0,000	608,00	4	
	75,0%	-	-	597	-	29.82[V]	EFF	Max	17.802	181.453	0,000	1.200,0 0	4	454.351

Travi (AC) - Verifiche a pressoflessione deviata

Id _{Tr}	%L _{L1}	N _{Ed}	V _{Ed}	M _{Ed,3}	M _{Ed,2}	CS	Tp Vr	max/m in	M _{c,Rd}	V _{c,Rd}	ρ	A _v	t _w	N _{pl,Rd}
	[%]	[N]	[N]	[N·m]	[N·m]				[N·m]	[N]		[cm²]	[mm]	[N]
			1787					Min	9.646	91.936	0,000	608,00	4	
	100,0 %	-	-	-	-	-	EFF	Max	17.802	181.453	0,000	1.200,0 0	4	454.351
			-					Min	9.646	91.936	0,000	608,00	4	
Trave Acciaio 2a-1	0%	-	-	-	-	-	PLS	Max	46.619	232.109	0,000	1.535,0 0	10	804.879
			-					Min	46.619	232.109	0,000	1.535,0 0	10	
	25,0%	-	-	2285	-	20.40[V]	PLS	Max	46.619	232.109	0,000	1.535,0 0	10	804.879
			-6974					Min	46.619	232.109	0,000	1.535,0 0	10	
	50,0%	-	-	4646	-	10.02[V]	PLS	Max	46.619	232.109	0,000	1.535,0 0	10	804.879
			-7204					Min	46.619	232.109	0,000	1.535,0 0	10	
	75,0%	-	-	7084	-	6.58[V]	PLS	Max	46.619	232.109	0,000	1.535,0 0	10	804.879

Travi (AC) - Verifiche a pressoflessione deviata

Id _{Tr}	%L _{L1}	N _{Ed}	V _{Ed}	M _{Ed,3}	M _{Ed,2}	CS	Tp Vr	max/m in	M _{c,Rd}	V _{c,Rd}	ρ	A _v	t _w	N _{pl,Rd}
	[%]	[N]	[N]	[N·m]	[N·m]				[N·m]	[N]		[cm ²]	[mm]	[N]
			-7434					Min	46.619	232.109	0,000	1.535,0 0	10	
	100,0 %	-	-	9597	-	4.86[V]	PLS	Max	46.619	232.109	0,000	1.535,0 0	10	804.879
			-7637					Min	46.619	232.109	0,000	1.535,0 0	10	
Trave Acciaio 79a-10	0%	-703	-	-5265	-	8.85[V]	PLS	Max	46.619	232.109	0,000	1.535,0 0	10	804.879
			-9543					Min	46.619	232.109	0,000	1.535,0 0	10	
	25,0%	-703	-	-2056	-	22.67[V]	PLS	Max	46.619	232.109	0,000	1.535,0 0	10	804.879
			-9746					Min	46.619	232.109	0,000	1.535,0 0	10	
	50,0%	-703	-	1228	-	37.96[V]	PLS	Max	46.619	232.109	0,000	1.535,0 0	10	804.879
			-9977					Min	46.619	232.109	0,000	1.535,0 0	10	

Travi (AC) - Verifiche a pressoflessione deviata

Id _{Tr}	%L _{L1}	N _{Ed}	V _{Ed}	M _{Ed,3}	M _{Ed,2}	CS	Tp Vr	max/m in	M _{c,Rd}	V _{c,Rd}	ρ	A _v	t _w	N _{pl,Rd}
	[%]	[N]	[N]	[N·m]	[N·m]				[N·m]	[N]		[cm²]	[mm]	[N]
	75,0%	-703	-	4589	-	10.16[V]	PLS	Max	46.619	232.109	0,000	1.535,0 0	10	804.879
			- 10207					Min	46.619	232.109	0,000	1.535,0 0	10	
	100,0 %	-703	-	8026	-	5.81[V]	PLS	Max	46.619	232.109	0,000	1.535,0 0	10	804.879
			- 10410					Min	46.619	232.109	0,000	1.535,0 0	10	
	0%	519	-	844	-	55.24[V]	PLS	Max	46.619	232.109	0,000	1.535,0 0	10	804.077
			- 19764					Min	46.619	232.109	0,000	1.535,0 0	10	
Trave Acciaio 55a-7	25,1%	519	-	4141	-	11.26[V]	PLS	Max	46.619	232.109	0,000	1.535,0 0	10	804.077
			- 19852					Min	46.619	232.109	0,000	1.535,0 0	10	
	50,0%	519	-	7456	-	6.25[V]	PLS	Max	46.619	232.109	0,000	1.535,0 0	10	804.077

Travi (AC) - Verifiche a pressoflessione deviata

Id _{Tr}	%L _{L1}	N _{Ed}	V _{Ed}	M _{Ed,3}	M _{Ed,2}	CS	Tp Vr	max/m in	M _{c,Rd}	V _{c,Rd}	ρ	A _v	t _w	N _{pl,Rd}
	[%]	[N]	[N]	[N·m]	[N·m]				[N·m]	[N]		[cm²]	[mm]	[N]
			- 19967					Min	46.619	232.109	0,000	1.535,0 0	10	
	75,1%	519	-	10791	-	4.32[V]	PLS	Max	46.619	232.109	0,000	1.535,0 0	10	804.077
			- 20082					Min	46.619	232.109	0,000	1.535,0 0	10	
	100,0 %	519	-	14144	-	3.30[V]	PLS	Max	46.619	232.109	0,000	1.535,0 0	10	804.077
			- 20197					Min	46.619	232.109	0,000	1.535,0 0	10	
Trave Acciaio 46a-6	0%	516	-	848	-	54.98[V]	PLS	Max	46.619	232.109	0,000	1.535,0 0	10	804.077
			- 19767					Min	46.619	232.109	0,000	1.535,0 0	10	
	25,1%	516	-	4146	-	11.24[V]	PLS	Max	46.619	232.109	0,000	1.535,0 0	10	804.077
			- 19855					Min	46.619	232.109	0,000	1.535,0 0	10	

Travi (AC) - Verifiche a pressoflessione deviata

Id _{Tr}	%L _{L1}	N _{Ed}	V _{Ed}	M _{Ed,3}	M _{Ed,2}	CS	Tp Vr	max/m in	M _{c,Rd}	V _{c,Rd}	ρ	A _v	t _w	N _{pl,Rd}
	[%]	[N]	[N]	[N·m]	[N·m]				[N·m]	[N]		[cm ²]	[mm]	[N]
	50,0%	516	-	7462	-	6.25[V]	PLS	Max	46.619	232.109	0,000	1.535,0 0	10	804.077
			- 19970					Min	46.619	232.109	0,000	1.535,0 0	10	
	75,1%	516	-	10797	-	4.32[V]	PLS	Max	46.619	232.109	0,000	1.535,0 0	10	804.077
			- 20085					Min	46.619	232.109	0,000	1.535,0 0	10	
	100,0 %	516	-	14151	-	3.29[V]	PLS	Max	46.619	232.109	0,000	1.535,0 0	10	804.077
			- 20200					Min	46.619	232.109	0,000	1.535,0 0	10	
Trave Acciaio 10a-2	0%	-262	-2	-288	-	NS	PLS	Max	46.619	232.109	0,000	1.535,0 0	10	804.879
			-5037					Min	46.619	232.109	0,000	1.535,0 0	10	
	25,1%	-541	-5	1313	-	35.51[V]	PLS	Max	46.619	232.109	0,000	1.535,0 0	10	804.879

Travi (AC) - Verifiche a pressoflessione deviata

Id _{Tr}	%L _{L1}	N _{Ed}	V _{Ed}	M _{Ed,3}	M _{Ed,2}	CS	Tp Vr	max/m in	M _{c,Rd}	V _{c,Rd}	ρ	A _v	t _w	N _{pl,Rd}
	[%]	[N]	[N]	[N·m]	[N·m]				[N·m]	[N]		[cm²]	[mm]	[N]
			- 10771					Min	46.619	232.109	0,000	1.535,0 0	10	
	50,0%	-699	-8	4826	-	9.66[V]	PLS	Max	46.619	232.109	0,000	1.535,0 0	10	804.879
			- 16655					Min	46.619	232.109	0,000	1.535,0 0	10	
	75,0%	-699	-8	7678	-2	19.97[V]	PLS	Max	46.619	232.109	0,000	1.535,0 0	10	804.879
			- 16773					Min	46.619	232.109	0,000	1.535,0 0	10	
	99,9%	-699	-8	10550	-3	11.78[V]	PLS	Max	46.619	232.109	0,000	1.535,0 0	10	804.879
			- 16891					Min	46.619	232.109	0,000	1.535,0 0	10	
			-				PLS	Max	46.619	232.109	0,000	1.535,0 0	10	804.077
Trave Acciaio 28a-4	0%	521	-	845	-	55.17[V]		Min	46.619	232.109	0,000	1.535,0 0	10	

Travi (AC) - Verifiche a pressoflessione deviata

Id _{Tr}	%L _{L1}	N _{Ed}	V _{Ed}	M _{Ed,3}	M _{Ed,2}	CS	Tp Vr	max/m in	M _{c,Rd}	V _{c,Rd}	ρ	A _v	t _w	N _{pl,Rd}
	[%]	[N]	[N]	[N·m]	[N·m]				[N·m]	[N]		[cm ²]	[mm]	[N]
	25,1%	521	-	4140	-	11.26[V]	PLS	Max	46.619	232.109	0,000	1.535,0 0	10	804.077
			- 19843					Min	46.619	232.109	0,000	1.535,0 0	10	
	50,0%	521	-	7454	-	6.25[V]	PLS	Max	46.619	232.109	0,000	1.535,0 0	10	804.077
			- 19958					Min	46.619	232.109	0,000	1.535,0 0	10	
	75,1%	521	-	10787	-	4.32[V]	PLS	Max	46.619	232.109	0,000	1.535,0 0	10	804.077
			- 20073					Min	46.619	232.109	0,000	1.535,0 0	10	
	100,0 %	521	-	14139	-	3.30[V]	PLS	Max	46.619	232.109	0,000	1.535,0 0	10	804.077
			- 20188					Min	46.619	232.109	0,000	1.535,0 0	10	
Trave Acciaio 64a-8	0%	520	-	875	-	53.28[V]	PLS	Max	46.619	232.109	0,000	1.535,0 0	10	804.077

Travi (AC) - Verifiche a pressoflessione deviata

Id _{Tr}	%L _{L1}	N _{Ed}	V _{Ed}	M _{Ed,3}	M _{Ed,2}	CS	Tp Vr	max/m in	M _{c,Rd}	V _{c,Rd}	ρ	A _v	t _w	N _{pl,Rd}
	[%]	[N]	[N]	[N·m]	[N·m]				[N·m]	[N]		[cm ²]	[mm]	[N]
			- 19778					Min	46.619	232.109	0,000	1.535,0 0	10	
	25,1%	520	-	4175	-	11.17[V]	PLS	Max	46.619	232.109	0,000	1.535,0 0	10	804.077
			- 19866					Min	46.619	232.109	0,000	1.535,0 0	10	
	50,0%	520	-	7492	-	6.22[V]	PLS	Max	46.619	232.109	0,000	1.535,0 0	10	804.077
			- 19981					Min	46.619	232.109	0,000	1.535,0 0	10	
	75,1%	520	-	10829	-	4.31[V]	PLS	Max	46.619	232.109	0,000	1.535,0 0	10	804.077
			- 20096					Min	46.619	232.109	0,000	1.535,0 0	10	
	100,0 %	520	-	14185	-	3.29[V]	PLS	Max	46.619	232.109	0,000	1.535,0 0	10	804.077
			- 20212					Min	46.619	232.109	0,000	1.535,0 0	10	

Travi (AC) - Verifiche a pressoflessione deviata

Id _{Tr}	%L _{L1}	N _{Ed}	V _{Ed}	M _{Ed,3}	M _{Ed,2}	CS	Tp Vr	max/m in	M _{c,Rd}	V _{c,Rd}	ρ	A _v	t _w	N _{pl,Rd}
	[%]	[N]	[N]	[N·m]	[N·m]				[N·m]	[N]		[cm ²]	[mm]	[N]
Trave Acciaio 19a-3	0%	637	-1	926	-	50.34[V]	PLS	Max	46.619	232.109	0,000	1.535,0 0	10	804.077
			- 19221					Min	46.619	232.109	0,000	1.535,0 0	10	
	25,1%	632	-1	4305	-	10.83[V]	PLS	Max	46.619	232.109	0,000	1.535,0 0	10	804.077
			- 20074					Min	46.619	232.109	0,000	1.535,0 0	10	
	50,0%	632	-1	7658	-	6.09[V]	PLS	Max	46.619	232.109	0,000	1.535,0 0	10	804.077
			- 20189					Min	46.619	232.109	0,000	1.535,0 0	10	
	75,1%	632	-1	11029	-	4.23[V]	PLS	Max	46.619	232.109	0,000	1.535,0 0	10	804.077
			- 20304					Min	46.619	232.109	0,000	1.535,0 0	10	
	100,0 %	632	-1	14420	-	3.23[V]	PLS	Max	46.619	232.109	0,000	1.535,0 0	10	804.077

Travi (AC) - Verifiche a pressoflessione deviata

Id _{Tr}	%L _{L1}	N _{Ed}	V _{Ed}	M _{Ed,3}	M _{Ed,2}	CS	Tp Vr	max/m in	M _{c,Rd}	V _{c,Rd}	ρ	A _v	t _w	N _{pl,Rd}
	[%]	[N]	[N]	[N·m]	[N·m]				[N·m]	[N]		[cm ²]	[mm]	[N]
			- 20419					Min	46.619	232.109	0,000	1.535,0 0	10	
Trave Acciaio 37a-5	0%	519	-	851	-	54.78[V]	PLS	Max	46.619	232.109	0,000	1.535,0 0	10	804.077
			- 19770					Min	46.619	232.109	0,000	1.535,0 0	10	
	25,1%	519	-	4149	-	11.24[V]	PLS	Max	46.619	232.109	0,000	1.535,0 0	10	804.077
			- 19858					Min	46.619	232.109	0,000	1.535,0 0	10	
	50,0%	519	-	7465	-	6.25[V]	PLS	Max	46.619	232.109	0,000	1.535,0 0	10	804.077
			- 19973					Min	46.619	232.109	0,000	1.535,0 0	10	
	75,1%	519	-	10801	-	4.32[V]	PLS	Max	46.619	232.109	0,000	1.535,0 0	10	804.077
			- 20088					Min	46.619	232.109	0,000	1.535,0 0	10	

Travi (AC) - Verifiche a pressoflessione deviata

Id _{Tr}	%L _{L1}	N _{Ed}	V _{Ed}	M _{Ed,3}	M _{Ed,2}	CS	Tp Vr	max/m in	M _{c,Rd}	V _{c,Rd}	ρ	A _v	t _w	N _{pl,Rd}
	[%]	[N]	[N]	[N·m]	[N·m]				[N·m]	[N]		[cm²]	[mm]	[N]
	100,0 %	519	-	14155	-	3.29[V]	PLS	Max	46.619	232.109	0,000	1.535,0 0	10	804.077
			- 20203					Min	46.619	232.109	0,000	1.535,0 0	10	
Trave Acciaio 73a-9	0%	630	-	394	-	NS	PLS	Max	46.619	232.109	0,000	1.535,0 0	10	804.077
			- 19551					Min	46.619	232.109	0,000	1.535,0 0	10	
	25,1%	630	-	3656	-	12.75[V]	PLS	Max	46.619	232.109	0,000	1.535,0 0	10	804.077
			- 19639					Min	46.619	232.109	0,000	1.535,0 0	10	
	50,0%	630	-	6936	-	6.72[V]	PLS	Max	46.619	232.109	0,000	1.535,0 0	10	804.077
			- 19754					Min	46.619	232.109	0,000	1.535,0 0	10	
	75,1%	630	-	10235	-	4.55[V]	PLS	Max	46.619	232.109	0,000	1.535,0 0	10	804.077

Travi (AC) - Verifiche a pressoflessione deviata

Id _{Tr}	%L _{L1}	N _{Ed}	V _{Ed}	M _{Ed,3}	M _{Ed,2}	CS	Tp Vr	max/m in	M _{c,Rd}	V _{c,Rd}	ρ	A _v	t _w	N _{pl,Rd}
	[%]	[N]	[N]	[N·m]	[N·m]				[N·m]	[N]		[cm²]	[mm]	[N]
			- 19869					Min	46.619	232.109	0,000	1.535,0 0	10	
	100,0 %	630	-	13553	-	3.44[V]	PLS	Max	46.619	232.109	0,000	1.535,0 0	10	804.077
			- 19984					Min	46.619	232.109	0,000	1.535,0 0	10	
Trave Acciaio 1a-2a	0%	-	-	-	-	-	EFF	Max	17.802	181.453	0,000	1.200,0 0	4	454.351
			-					Min	9.646	91.936	0,000	608,00	4	
	25,0%	-	-	316	-	56.33[V]	EFF	Max	17.802	181.453	0,000	1.200,0 0	4	454.351
			-952					Min	9.646	91.936	0,000	608,00	4	
	50,0%	-	-	1134	-	15.70[V]	EFF	Max	17.802	181.453	0,000	1.200,0 0	4	454.351
			-1796					Min	9.646	91.936	0,000	608,00	4	
	75,0%	-	-	2453	-	7.26[V]	EFF	Max	17.802	181.453	0,000	1.200,0 0	4	454.351

Travi (AC) - Verifiche a pressoflessione deviata

Id _{Tr}	%L _{L1}	N _{Ed}	V _{Ed}	M _{Ed,3}	M _{Ed,2}	CS	Tp Vr	max/m in	M _{c,Rd}	V _{c,Rd}	ρ	A _v	t _w	N _{pl,Rd}
	[%]	[N]	[N]	[N·m]	[N·m]				[N·m]	[N]		[cm²]	[mm]	[N]
	100,0 %	-	-2639	4270	-	4.17[V]	EFF	Min	9.646	91.936	0,000	608,00	4	454.351
			-					Max	17.802	181.453	0,000	1.200,0 0	4	
			-3385					Min	9.646	91.936	0,000	608,00	4	
Trave Acciaio 4a-1	0%	-	-	-	-	-	EFF	Max	17.802	181.453	0,000	1.200,0 0	4	454.351
			-					Min	9.646	91.936	0,000	608,00	4	
	25,0%	-	-	597	-	29.82[V]	EFF	Max	17.802	181.453	0,000	1.200,0 0	4	454.351
			-1787					Min	9.646	91.936	0,000	608,00	4	
	50,0%	-	-	2128	-	8.37[V]	EFF	Max	17.802	181.453	0,000	1.200,0 0	4	454.351
			-3357					Min	9.646	91.936	0,000	608,00	4	
	75,0%	-	-	4592	-	3.88[V]	EFF	Max	17.802	181.453	0,000	1.200,0 0	4	454.351
			-4926					Min	9.646	91.936	0,000	608,00	4	

Travi (AC) - Verifiche a pressoflessione deviata

Id _{Tr}	%L _{L1}	N _{Ed}	V _{Ed}	M _{Ed,3}	M _{Ed,2}	CS	Tp Vr	max/m in	M _{c,Rd}	V _{c,Rd}	ρ	A _v	t _w	N _{pl,Rd}
	[%]	[N]	[N]	[N·m]	[N·m]				[N·m]	[N]		[cm ²]	[mm]	[N]
	100%	-	-	7982	-	2.23[V]	EFF	Max	17.802	181.453	0,000	1.200,0 0	4	454.351
			-6300					Min	9.646	91.936	0,000	608,00	4	
Trave Acciaio 7a-8a	0%	-	-	7982	-	2.23[V]	EFF	Max	17.802	181.453	0,000	1.200,0 0	4	454.351
			6300					Min	9.646	91.936	0,000	608,00	4	
	25,0%	-	-	4592	-	3.88[V]	EFF	Max	17.802	181.453	0,000	1.200,0 0	4	454.351
			4926					Min	9.646	91.936	0,000	608,00	4	
	50,0%	-	-	2128	-	8.37[V]	EFF	Max	17.802	181.453	0,000	1.200,0 0	4	454.351
			3357					Min	9.646	91.936	0,000	608,00	4	
	75,0%	-	-	597	-	29.82[V]	EFF	Max	17.802	181.453	0,000	1.200,0 0	4	454.351
			1787					Min	9.646	91.936	0,000	608,00	4	
	100%	-	-	-	-	-	EFF	Max	17.802	181.453	0,000	1.200,0 0	4	454.351

Travi (AC) - Verifiche a pressoflessione deviata

Id _{Tr}	%L _{L1}	N _{Ed}	V _{Ed}	M _{Ed,3}	M _{Ed,2}	CS	Tp Vr	max/m in	M _{c,Rd}	V _{c,Rd}	ρ	A _v	t _w	N _{pl,Rd}
	[%]	[N]	[N]	[N·m]	[N·m]				[N·m]	[N]		[cm²]	[mm]	[N]
			-					Min	9.646	91.936	0,000	608,00	4	
Trave Acciaio 1-7a	0%	-699	1	8036	-	5.80[V]	PLS	Max	46.619	232.109	0,000	1.535,0 0	10	804.879
			10414					Min	46.619	232.109	0,000	1.535,0 0	10	
	25,0%	-699	1	4599	-	10.14[V]	PLS	Max	46.619	232.109	0,000	1.535,0 0	10	804.879
			10211					Min	46.619	232.109	0,000	1.535,0 0	10	
	50,0%	-699	1	1236	-	37.72[V]	PLS	Max	46.619	232.109	0,000	1.535,0 0	10	804.879
			9980					Min	46.619	232.109	0,000	1.535,0 0	10	
	75,0%	-532	1	-1606	-	29.03[V]	PLS	Max	46.619	232.109	0,000	1.535,0 0	10	804.879
			7730					Min	46.619	232.109	0,000	1.535,0 0	10	

Travi (AC) - Verifiche a pressoflessione deviata

Id _{Tr}	%L _{L1}	N _{Ed}	V _{Ed}	M _{Ed,3}	M _{Ed,2}	CS	Tp Vr	max/m in	M _{c,Rd}	V _{c,Rd}	ρ	A _v	t _w	N _{pl,Rd}
	[%]	[N]	[N]	[N·m]	[N·m]				[N·m]	[N]		[cm²]	[mm]	[N]
	100,0 %	-541	-	-3416	-	13.65[V]	PLS	Max	46.619	232.109	0,000	1.535,0 0	10	804.879
			6184					Min	46.619	232.109	0,000	1.535,0 0	10	
Trave Acciaio 6a-7a	0%	-	-	-	-	-	EFF	Max	17.802	181.453	0,000	1.200,0 0	4	454.351
			-					Min	9.646	91.936	0,000	608,00	4	
	25,0%	-	-	592	-	30.07[V]	EFF	Max	17.802	181.453	0,000	1.200,0 0	4	454.351
			-1771					Min	9.646	91.936	0,000	608,00	4	
	50,0%	-	-	2109	-	8.44[V]	EFF	Max	17.802	181.453	0,000	1.200,0 0	4	454.351
			-3328					Min	9.646	91.936	0,000	608,00	4	
	75,0%	-	-	4552	-	3.91[V]	EFF	Max	17.802	181.453	0,000	1.200,0 0	4	454.351
			-4885					Min	9.646	91.936	0,000	608,00	4	

Travi (AC) - Verifiche a pressoflessione deviata

Id _{Tr}	%L _{L1}	N _{Ed}	V _{Ed}	M _{Ed,3}	M _{Ed,2}	CS	Tp Vr	max/m in	M _{c,Rd}	V _{c,Rd}	ρ	A _v	t _w	N _{pl,Rd}
	[%]	[N]	[N]	[N·m]	[N·m]				[N·m]	[N]		[cm ²]	[mm]	[N]
	100,0 %	-	-	7914	-	2.25[V]	EFF	Max	17.802	181.453	0,000	1.200,0 0	4	454.351
			-6248					Min	9.646	91.936	0,000	608,00	4	
Trave Acciaio 9a-10a	0%	-	-	-	-	-	EFF	Max	17.802	181.453	0,000	1.200,0 0	4	454.351
			-					Min	9.646	91.936	0,000	608,00	4	
	25,0%	-	-	594	-	29.97[V]	EFF	Max	17.802	181.453	0,000	1.200,0 0	4	454.351
			-1781					Min	9.646	91.936	0,000	608,00	4	
	50,0%	-	-	2118	-	8.40[V]	EFF	Max	17.802	181.453	0,000	1.200,0 0	4	454.351
			-3347					Min	9.646	91.936	0,000	608,00	4	
	75,0%	-	-	4572	-	3.89[V]	EFF	Max	17.802	181.453	0,000	1.200,0 0	4	454.351
			-4913					Min	9.646	91.936	0,000	608,00	4	
	100%	-	-	7949	-	2.24[V]	EFF	Max	17.802	181.453	0,000	1.200,0 0	4	454.351

Travi (AC) - Verifiche a pressoflessione deviata

Id _{Tr}	%L _{L1}	N _{Ed}	V _{Ed}	M _{Ed,3}	M _{Ed,2}	CS	Tp Vr	max/m in	M _{c,Rd}	V _{c,Rd}	ρ	A _v	t _w	N _{pl,Rd}
	[%]	[N]	[N]	[N·m]	[N·m]				[N·m]	[N]		[cm²]	[mm]	[N]
			-6292					Min	9.646	91.936	0,000	608,00	4	
Trave Acciaio 7a-10a	0%	-350	-	-1365	-	34.15[V]	PLS	Max	46.619	232.109	0,000	1.535,00	10	804.879
			-583					Min	46.619	232.109	0,000	1.535,00	10	
	25,0%	-262	-	-1254	-	37.18[V]	PLS	Max	46.619	232.109	0,000	1.535,00	10	804.879
			-1025					Min	46.619	232.109	0,000	1.535,00	10	
	50,0%	-262	-	-919	-	50.73[V]	PLS	Max	46.619	232.109	0,000	1.535,00	10	804.879
			-1009					Min	46.619	232.109	0,000	1.535,00	10	
	75,0%	-262	-	-590	-	79.02[V]	PLS	Max	46.619	232.109	0,000	1.535,00	10	804.879
			-993					Min	46.619	232.109	0,000	1.535,00	10	

Travi (AC) - Verifiche a pressoflessione deviata

Id _{Tr}	%L _{L1}	N _{Ed}	V _{Ed}	M _{Ed,3}	M _{Ed,2}	CS	Tp Vr	max/m in	M _{c,Rd}	V _{c,Rd}	ρ	A _v	t _w	N _{pl,Rd}
	[%]	[N]	[N]	[N·m]	[N·m]				[N·m]	[N]		[cm²]	[mm]	[N]
	100%	-262	-	-265	-	NS	PLS	Max	46.619	232.109	0,000	1.535,0 0	10	804.879
			-996					Min	46.619	232.109	0,000	1.535,0 0	10	
Trave Acciaio 12a-13a	0%	-	-	-	-	-	EFF	Max	17.802	181.453	0,000	1.200,0 0	4	454.351
			-					Min	9.646	91.936	0,000	608,00	4	
	25,0%	-	-	601	-	29.62[V]	EFF	Max	17.802	181.453	0,000	1.200,0 0	4	454.351
			-1799					Min	9.646	91.936	0,000	608,00	4	
	50,0%	-	-	2142	-	8.31[V]	EFF	Max	17.802	181.453	0,000	1.200,0 0	4	454.351
			-3380					Min	9.646	91.936	0,000	608,00	4	
	75,0%	-	-	4623	-	3.85[V]	EFF	Max	17.802	181.453	0,000	1.200,0 0	4	454.351
			-4961					Min	9.646	91.936	0,000	608,00	4	

Travi (AC) - Verifiche a pressoflessione deviata

Id _{Tr}	%L _{L1}	N _{Ed}	V _{Ed}	M _{Ed,3}	M _{Ed,2}	CS	Tp Vr	max/m in	M _{c,Rd}	V _{c,Rd}	ρ	A _v	t _w	N _{pl,Rd}
	[%]	[N]	[N]	[N·m]	[N·m]				[N·m]	[N]		[cm²]	[mm]	[N]
	100,0 %	-	-	8038	-	2.21[V]	EFF	Max	17.802	181.453	0,000	1.200,0 0	4	454.351
			-6345					Min	9.646	91.936	0,000	608,00	4	
Trave Acciaio 2-13a	0%	632	-1	13574	2	7.75[V]	PLS	Max	46.619	232.109	0,000	1.535,0 0	10	804.077
			20026					Min	46.619	232.109	0,000	1.535,0 0	10	
	25,1%	632	-1	10249	2	12.36[V]	PLS	Max	46.619	232.109	0,000	1.535,0 0	10	804.077
			19911					Min	46.619	232.109	0,000	1.535,0 0	10	
	50,0%	141	-	2074	-	22.48[V]	PLS	Max	46.619	232.109	0,000	1.535,0 0	10	804.077
			5990					Min	46.619	232.109	0,000	1.535,0 0	10	
	75,1%	141	-	1076	-	43.33[V]	PLS	Max	46.619	232.109	0,000	1.535,0 0	10	804.077

Travi (AC) - Verifiche a pressoflessione deviata

Id _{Tr}	%L _{L1}	N _{Ed}	V _{Ed}	M _{Ed,3}	M _{Ed,2}	CS	Tp Vr	max/m in	M _{c,Rd}	V _{c,Rd}	ρ	A _v	t _w	N _{pl,Rd}
	[%]	[N]	[N]	[N·m]	[N·m]				[N·m]	[N]		[cm²]	[mm]	[N]
			5999					Min	46.619	232.109	0,000	1.535,0 0	10	
	100,0 %	35	-	153	-	NS	PLS	Max	46.619	232.109	0,000	1.535,0 0	10	804.077
			5181					Min	46.619	232.109	0,000	1.535,0 0	10	
Trave Acciaio 15a-16a	0%	-	-	-	-	-	EFF	Max	17.802	181.453	0,000	1.200,0 0	4	454.351
			-					Min	9.646	91.936	0,000	608,00	4	
	25,0%	-	-	597	-	29.82[V]	EFF	Max	17.802	181.453	0,000	1.200,0 0	4	454.351
			-1787					Min	9.646	91.936	0,000	608,00	4	
	50,0%	-	-	2128	-	8.37[V]	EFF	Max	17.802	181.453	0,000	1.200,0 0	4	454.351
			-3357					Min	9.646	91.936	0,000	608,00	4	
	75,0%	-	-	4592	-	3.88[V]	EFF	Max	17.802	181.453	0,000	1.200,0 0	4	454.351

Travi (AC) - Verifiche a pressoflessione deviata

Id _{Tr}	%L _{L1}	N _{Ed}	V _{Ed}	M _{Ed,3}	M _{Ed,2}	CS	Tp Vr	max/m in	M _{c,Rd}	V _{c,Rd}	ρ	A _v	t _w	N _{pl,Rd}
	[%]	[N]	[N]	[N·m]	[N·m]				[N·m]	[N]		[cm²]	[mm]	[N]
			-4926					Min	9.646	91.936	0,000	608,00	4	
	100,0 %	-	-	7982	-	2.23[V]	EFF	Max	17.802	181.453	0,000	1.200,0 0	4	454.351
			-6300					Min	9.646	91.936	0,000	608,00	4	
Trave Acciaio 13a-16a	0%	35	-	153	-	NS	PLS	Max	46.619	232.109	0,000	1.535,0 0	10	804.077
			2124					Min	46.619	232.109	0,000	1.535,0 0	10	
	25,0%	141	-	-562	-	82.95[V]	PLS	Max	46.619	232.109	0,000	1.535,0 0	10	804.077
			1924					Min	46.619	232.109	0,000	1.535,0 0	10	
	50,0%	141	-	-1205	-	38.69[V]	PLS	Max	46.619	232.109	0,000	1.535,0 0	10	804.077
			1942					Min	46.619	232.109	0,000	1.535,0 0	10	
	75,0%	141	-	-1855	-	25.13[V]	PLS	Max	46.619	232.109	0,000	1.535,0 0	10	804.077

Travi (AC) - Verifiche a pressoflessione deviata

Id _{Tr}	%L _{L1}	N _{Ed}	V _{Ed}	M _{Ed,3}	M _{Ed,2}	CS	Tp Vr	max/m in	M _{c,Rd}	V _{c,Rd}	ρ	A _v	t _w	N _{pl,Rd}
	[%]	[N]	[N]	[N·m]	[N·m]				[N·m]	[N]		[cm²]	[mm]	[N]
			1959					Min	46.619	232.109	0,000	1.535,0 0	10	
	100,0 %	632	-1 6081	-8290	1	17.58[V]	PLS	Max	46.619	232.109	0,000	1.535,0 0	10	804.077
								Min	46.619	232.109	0,000	1.535,0 0	10	
Trave Acciaio 18a-19a	0%	-	-	-	-	-	EFF	Max	17.802	181.453	0,000	1.200,0 0	4	454.351
			-					Min	9.646	91.936	0,000	608,00	4	
	25,0%	-	-	597	-	29.82[V]	EFF	Max	17.802	181.453	0,000	1.200,0 0	4	454.351
			-1787					Min	9.646	91.936	0,000	608,00	4	
	50,0%	-	-	2128	-	8.37[V]	EFF	Max	17.802	181.453	0,000	1.200,0 0	4	454.351
			-3357					Min	9.646	91.936	0,000	608,00	4	
	75,0%	-	-	4592	-	3.88[V]	EFF	Max	17.802	181.453	0,000	1.200,0 0	4	454.351

Travi (AC) - Verifiche a pressoflessione deviata

Id _{Tr}	%L _{L1}	N _{Ed}	V _{Ed}	M _{Ed,3}	M _{Ed,2}	CS	Tp Vr	max/m in	M _{c,Rd}	V _{c,Rd}	ρ	A _v	t _w	N _{pl,Rd}
	[%]	[N]	[N]	[N·m]	[N·m]				[N·m]	[N]		[cm²]	[mm]	[N]
			-4926					Min	9.646	91.936	0,000	608,00	4	
	100,0 %	-	-	7982	-	2.23[V]	EFF	Max	17.802	181.453	0,000	1.200,0 0	4	454.351
			-6300					Min	9.646	91.936	0,000	608,00	4	
Trave Acciaio 16a-19a	0%	632	-1 -6519	-8290	1	17.58[V]	PLS	Max	46.619	232.109	0,000	1.535,0 0	10	804.077
								Min	46.619	232.109	0,000	1.535,0 0	10	
	25,0%	141	-	-1811	-	25.74[V]	PLS	Max	46.619	232.109	0,000	1.535,0 0	10	804.077
			-2091					Min	46.619	232.109	0,000	1.535,0 0	10	
	50,0%	287	-	-2122	-	21.97[V]	PLS	Max	46.619	232.109	0,000	1.535,0 0	10	804.077
			-3861					Min	46.619	232.109	0,000	1.535,0 0	10	
	75,0%	515	-1	-1079	-	43.21[V]	PLS	Max	46.619	232.109	0,000	1.535,0 0	10	804.077

Travi (AC) - Verifiche a pressoflessione deviata

Id _{Tr}	%L _{L1}	N _{Ed}	V _{Ed}	M _{Ed,3}	M _{Ed,2}	CS	Tp Vr	max/m in	M _{c,Rd}	V _{c,Rd}	ρ	A _v	t _w	N _{pl,Rd}
	[%]	[N]	[N]	[N·m]	[N·m]				[N·m]	[N]		[cm²]	[mm]	[N]
			-5241					Min	46.619	232.109	0,000	1.535,0 0	10	
	100,0 %	637	-1	926	-	50.34[V]	PLS	Max	46.619	232.109	0,000	1.535,0 0	10	804.077
			-7061					Min	46.619	232.109	0,000	1.535,0 0	10	
Trave Acciaio 21a-22a	0%	-	-	-	-	-	EFF	Max	17.802	181.453	0,000	1.200,0 0	4	454.351
			-					Min	9.646	91.936	0,000	608,00	4	
	25,0%	-	-	597	-	29.82[V]	EFF	Max	17.802	181.453	0,000	1.200,0 0	4	454.351
			-1787					Min	9.646	91.936	0,000	608,00	4	
	50,0%	-	-	2128	-	8.37[V]	EFF	Max	17.802	181.453	0,000	1.200,0 0	4	454.351
			-3357					Min	9.646	91.936	0,000	608,00	4	
	75,0%	-	-	4592	-	3.88[V]	EFF	Max	17.802	181.453	0,000	1.200,0 0	4	454.351

Travi (AC) - Verifiche a pressoflessione deviata

Id _{Tr}	%L _{L1}	N _{Ed}	V _{Ed}	M _{Ed,3}	M _{Ed,2}	CS	Tp Vr	max/m in	M _{c,Rd}	V _{c,Rd}	ρ	A _v	t _w	N _{pl,Rd}
	[%]	[N]	[N]	[N·m]	[N·m]				[N·m]	[N]		[cm²]	[mm]	[N]
			-4926					Min	9.646	91.936	0,000	608,00	4	
	100,0 %	-	-	7982	-	2.23[V]	EFF	Max	17.802	181.453	0,000	1.200,0 0	4	454.351
			-6300					Min	9.646	91.936	0,000	608,00	4	
Trave Acciaio 3-22a	0%	521	-	14185	-	3.29[V]	PLS	Max	46.619	232.109	0,000	1.535,0 0	10	804.077
			20212					Min	46.619	232.109	0,000	1.535,0 0	10	
	25,1%	521	-	10829	-	4.31[V]	PLS	Max	46.619	232.109	0,000	1.535,0 0	10	804.077
			20097					Min	46.619	232.109	0,000	1.535,0 0	10	
	50,0%	521	-	7493	-	6.22[V]	PLS	Max	46.619	232.109	0,000	1.535,0 0	10	804.077
			19981					Min	46.619	232.109	0,000	1.535,0 0	10	
	75,1%	521	-	4175	-	11.17[V]	PLS	Max	46.619	232.109	0,000	1.535,0 0	10	804.077

Travi (AC) - Verifiche a pressoflessione deviata

Id _{Tr}	%L _{L1}	N _{Ed}	V _{Ed}	M _{Ed,3}	M _{Ed,2}	CS	Tp Vr	max/m in	M _{c,Rd}	V _{c,Rd}	ρ	A _v	t _w	N _{pl,Rd}
	[%]	[N]	[N]	[N·m]	[N·m]				[N·m]	[N]		[cm²]	[mm]	[N]
			19866					Min	46.619	232.109	0,000	1.535,0 0	10	
	100,0 %	521	-	875	-	53.28[V]	PLS	Max	46.619	232.109	0,000	1.535,0 0	10	804.077
			19778					Min	46.619	232.109	0,000	1.535,0 0	10	
Trave Acciaio 24a-25a	0%	-	-	-	-	-	EFF	Max	17.802	181.453	0,000	1.200,0 0	4	454.351
			-					Min	9.646	91.936	0,000	608,00	4	
	25,0%	-	-	597	-	29.82[V]	EFF	Max	17.802	181.453	0,000	1.200,0 0	4	454.351
			-1787					Min	9.646	91.936	0,000	608,00	4	
	50,0%	-	-	2128	-	8.37[V]	EFF	Max	17.802	181.453	0,000	1.200,0 0	4	454.351
			-3357					Min	9.646	91.936	0,000	608,00	4	
	75,0%	-	-	4592	-	3.88[V]	EFF	Max	17.802	181.453	0,000	1.200,0 0	4	454.351

Travi (AC) - Verifiche a pressoflessione deviata

Id _{Tr}	%L _{L1}	N _{Ed}	V _{Ed}	M _{Ed,3}	M _{Ed,2}	CS	Tp Vr	max/m in	M _{c,Rd}	V _{c,Rd}	ρ	A _v	t _w	N _{pl,Rd}
	[%]	[N]	[N]	[N·m]	[N·m]				[N·m]	[N]		[cm²]	[mm]	[N]
			-4926					Min	9.646	91.936	0,000	608,00	4	
	100,0 %	-	-	7982	-	2.23[V]	EFF	Max	17.802	181.453	0,000	1.200,0 0	4	454.351
			-6300					Min	9.646	91.936	0,000	608,00	4	
Trave Acciaio 22a-25a	0%	521	-	875	-	53.28[V]	PLS	Max	46.619	232.109	0,000	1.535,0 0	10	804.077
			7178					Min	46.619	232.109	0,000	1.535,0 0	10	
	25,0%	521	-	-1485	-	31.39[V]	PLS	Max	46.619	232.109	0,000	1.535,0 0	10	804.077
			6975					Min	46.619	232.109	0,000	1.535,0 0	10	
	50,0%	521	-	-3770	-	12.37[V]	PLS	Max	46.619	232.109	0,000	1.535,0 0	10	804.077
			6745					Min	46.619	232.109	0,000	1.535,0 0	10	
	75,0%	521	-	-5978	-	7.80[V]	PLS	Max	46.619	232.109	0,000	1.535,0 0	10	804.077

Travi (AC) - Verifiche a pressoflessione deviata

Id _{Tr}	%L _{L1}	N _{Ed}	V _{Ed}	M _{Ed,3}	M _{Ed,2}	CS	Tp Vr	max/m in	M _{c,Rd}	V _{c,Rd}	ρ	A _v	t _w	N _{pl,Rd}
	[%]	[N]	[N]	[N·m]	[N·m]				[N·m]	[N]		[cm²]	[mm]	[N]
			6515					Min	46.619	232.109	0,000	1.535,0 0	10	
	100,0 %	521	-	-8110	-	5.75[V]	PLS	Max	46.619	232.109	0,000	1.535,0 0	10	804.077
			6312					Min	46.619	232.109	0,000	1.535,0 0	10	
Trave Acciaio 27a-28a	0%	-	-	-	-	-	EFF	Max	17.802	181.453	0,000	1.200,0 0	4	454.351
			-					Min	9.646	91.936	0,000	608,00	4	
	25,0%	-	-	597	-	29.82[V]	EFF	Max	17.802	181.453	0,000	1.200,0 0	4	454.351
			-1787					Min	9.646	91.936	0,000	608,00	4	
	50,0%	-	-	2128	-	8.37[V]	EFF	Max	17.802	181.453	0,000	1.200,0 0	4	454.351
			-3357					Min	9.646	91.936	0,000	608,00	4	
	75,0%	-	-	4592	-	3.88[V]	EFF	Max	17.802	181.453	0,000	1.200,0 0	4	454.351

Travi (AC) - Verifiche a pressoflessione deviata

Id _{Tr}	%L _{L1}	N _{Ed}	V _{Ed}	M _{Ed,3}	M _{Ed,2}	CS	Tp Vr	max/m in	M _{c,Rd}	V _{c,Rd}	ρ	A _v	t _w	N _{pl,Rd}
	[%]	[N]	[N]	[N·m]	[N·m]				[N·m]	[N]		[cm²]	[mm]	[N]
			-4926					Min	9.646	91.936	0,000	608,00	4	
	100,0 %	-	-	7982	-	2.23[V]	EFF	Max	17.802	181.453	0,000	1.200,0 0	4	454.351
			-6300					Min	9.646	91.936	0,000	608,00	4	
Trave Acciaio 25a-28a	0%	521	-	-8110	-	5.75[V]	PLS	Max	46.619	232.109	0,000	1.535,0 0	10	804.077
			-6289					Min	46.619	232.109	0,000	1.535,0 0	10	
	25,0%	521	-	-5985	-	7.79[V]	PLS	Max	46.619	232.109	0,000	1.535,0 0	10	804.077
			-6492					Min	46.619	232.109	0,000	1.535,0 0	10	
	50,0%	521	-	-3785	-	12.32[V]	PLS	Max	46.619	232.109	0,000	1.535,0 0	10	804.077
			-6722					Min	46.619	232.109	0,000	1.535,0 0	10	
	75,0%	521	-	-1508	-	30.91[V]	PLS	Max	46.619	232.109	0,000	1.535,0 0	10	804.077

Travi (AC) - Verifiche a pressoflessione deviata

Id _{Tr}	%L _{L1}	N _{Ed}	V _{Ed}	M _{Ed,3}	M _{Ed,2}	CS	Tp Vr	max/m in	M _{c,Rd}	V _{c,Rd}	ρ	A _v	t _w	N _{pl,Rd}
	[%]	[N]	[N]	[N·m]	[N·m]				[N·m]	[N]		[cm²]	[mm]	[N]
			-6952					Min	46.619	232.109	0,000	1.535,0 0	10	
	100,0 %	521	-	845	-	55.17[V]	PLS	Max	46.619	232.109	0,000	1.535,0 0	10	804.077
			-7155					Min	46.619	232.109	0,000	1.535,0 0	10	
Trave Acciaio 30a-31a	0%	-	-	-	-	-	EFF	Max	17.802	181.453	0,000	1.200,0 0	4	454.351
			-					Min	9.646	91.936	0,000	608,00	4	
	25,0%	-	-	597	-	29.82[V]	EFF	Max	17.802	181.453	0,000	1.200,0 0	4	454.351
			-1787					Min	9.646	91.936	0,000	608,00	4	
	50,0%	-	-	2128	-	8.37[V]	EFF	Max	17.802	181.453	0,000	1.200,0 0	4	454.351
			-3357					Min	9.646	91.936	0,000	608,00	4	
	75,0%	-	-	4592	-	3.88[V]	EFF	Max	17.802	181.453	0,000	1.200,0 0	4	454.351

Travi (AC) - Verifiche a pressoflessione deviata

Id _{Tr}	%L _{L1}	N _{Ed}	V _{Ed}	M _{Ed,3}	M _{Ed,2}	CS	Tp Vr	max/m in	M _{c,Rd}	V _{c,Rd}	ρ	A _v	t _w	N _{pl,Rd}
	[%]	[N]	[N]	[N·m]	[N·m]				[N·m]	[N]		[cm²]	[mm]	[N]
			-4926					Min	9.646	91.936	0,000	608,00	4	
	100,0 %	-	-	7982	-	2.23[V]	EFF	Max	17.802	181.453	0,000	1.200,0 0	4	454.351
			-6300					Min	9.646	91.936	0,000	608,00	4	
Trave Acciaio 4-31a	0%	519	-	14144	-	3.30[V]	PLS	Max	46.619	232.109	0,000	1.535,0 0	10	804.077
			20197					Min	46.619	232.109	0,000	1.535,0 0	10	
	25,1%	519	-	10790	-	4.32[V]	PLS	Max	46.619	232.109	0,000	1.535,0 0	10	804.077
			20082					Min	46.619	232.109	0,000	1.535,0 0	10	
	50,0%	519	-	7456	-	6.25[V]	PLS	Max	46.619	232.109	0,000	1.535,0 0	10	804.077
			19967					Min	46.619	232.109	0,000	1.535,0 0	10	
	75,1%	519	-	4141	-	11.26[V]	PLS	Max	46.619	232.109	0,000	1.535,0 0	10	804.077

Travi (AC) - Verifiche a pressoflessione deviata

Id _{Tr}	%L _{L1}	N _{Ed}	V _{Ed}	M _{Ed,3}	M _{Ed,2}	CS	Tp Vr	max/m in	M _{c,Rd}	V _{c,Rd}	ρ	A _v	t _w	N _{pl,Rd}
	[%]	[N]	[N]	[N·m]	[N·m]				[N·m]	[N]		[cm²]	[mm]	[N]
			19852					Min	46.619	232.109	0,000	1.535,0 0	10	
	100,0 %	519	-	844	-	55.24[V]	PLS	Max	46.619	232.109	0,000	1.535,0 0	10	804.077
			19764					Min	46.619	232.109	0,000	1.535,0 0	10	
Trave Acciaio 33a-34a	0%	-	-	-	-	-	EFF	Max	17.802	181.453	0,000	1.200,0 0	4	454.351
			-					Min	9.646	91.936	0,000	608,00	4	
	25,0%	-	-	597	-	29.82[V]	EFF	Max	17.802	181.453	0,000	1.200,0 0	4	454.351
			-1787					Min	9.646	91.936	0,000	608,00	4	
	50,0%	-	-	2128	-	8.37[V]	EFF	Max	17.802	181.453	0,000	1.200,0 0	4	454.351
			-3357					Min	9.646	91.936	0,000	608,00	4	
	75,0%	-	-	4592	-	3.88[V]	EFF	Max	17.802	181.453	0,000	1.200,0 0	4	454.351

Travi (AC) - Verifiche a pressoflessione deviata

Id _{Tr}	%L _{L1}	N _{Ed}	V _{Ed}	M _{Ed,3}	M _{Ed,2}	CS	Tp Vr	max/m in	M _{c,Rd}	V _{c,Rd}	ρ	A _v	t _w	N _{pl,Rd}
	[%]	[N]	[N]	[N·m]	[N·m]				[N·m]	[N]		[cm²]	[mm]	[N]
			-4926					Min	9.646	91.936	0,000	608,00	4	
	100,0 %	-	-	7982	-	2.23[V]	EFF	Max	17.802	181.453	0,000	1.200,0 0	4	454.351
			-6300					Min	9.646	91.936	0,000	608,00	4	
Trave Acciaio 31a-34a	0%	519	-	844	-	55.24[V]	PLS	Max	46.619	232.109	0,000	1.535,0 0	10	804.077
			7164					Min	46.619	232.109	0,000	1.535,0 0	10	
	25,0%	519	-	-1512	-	30.83[V]	PLS	Max	46.619	232.109	0,000	1.535,0 0	10	804.077
			6961					Min	46.619	232.109	0,000	1.535,0 0	10	
	50,0%	519	-	-3792	-	12.29[V]	PLS	Max	46.619	232.109	0,000	1.535,0 0	10	804.077
			6731					Min	46.619	232.109	0,000	1.535,0 0	10	
	75,0%	519	-	-5995	-	7.78[V]	PLS	Max	46.619	232.109	0,000	1.535,0 0	10	804.077

Travi (AC) - Verifiche a pressoflessione deviata

Id _{Tr}	%L _{L1}	N _{Ed}	V _{Ed}	M _{Ed,3}	M _{Ed,2}	CS	Tp Vr	max/m in	M _{c,Rd}	V _{c,Rd}	ρ	A _v	t _w	N _{pl,Rd}
	[%]	[N]	[N]	[N·m]	[N·m]				[N·m]	[N]		[cm²]	[mm]	[N]
			6500					Min	46.619	232.109	0,000	1.535,0 0	10	
	100,0 %	519	-	-8123	-	5.74[V]	PLS	Max	46.619	232.109	0,000	1.535,0 0	10	804.077
			6297					Min	46.619	232.109	0,000	1.535,0 0	10	
Trave Acciaio 36a-37a	0%	-	-	-	-	-	EFF	Max	17.802	181.453	0,000	1.200,0 0	4	454.351
			-					Min	9.646	91.936	0,000	608,00	4	
	25,0%	-	-	597	-	29.82[V]	EFF	Max	17.802	181.453	0,000	1.200,0 0	4	454.351
			-1787					Min	9.646	91.936	0,000	608,00	4	
	50,0%	-	-	2128	-	8.37[V]	EFF	Max	17.802	181.453	0,000	1.200,0 0	4	454.351
			-3357					Min	9.646	91.936	0,000	608,00	4	
	75,0%	-	-	4592	-	3.88[V]	EFF	Max	17.802	181.453	0,000	1.200,0 0	4	454.351

Travi (AC) - Verifiche a pressoflessione deviata

Id _{Tr}	%L _{L1}	N _{Ed}	V _{Ed}	M _{Ed,3}	M _{Ed,2}	CS	Tp Vr	max/m in	M _{c,Rd}	V _{c,Rd}	ρ	A _v	t _w	N _{pl,Rd}
	[%]	[N]	[N]	[N·m]	[N·m]				[N·m]	[N]		[cm²]	[mm]	[N]
			-4926					Min	9.646	91.936	0,000	608,00	4	
	100,0 %	-	-	7982	-	2.23[V]	EFF	Max	17.802	181.453	0,000	1.200,0 0	4	454.351
			-6300					Min	9.646	91.936	0,000	608,00	4	
Trave Acciaio 34a-37a	0%	519	-	-8123	-	5.74[V]	PLS	Max	46.619	232.109	0,000	1.535,0 0	10	804.077
			-6303					Min	46.619	232.109	0,000	1.535,0 0	10	
	25,0%	519	-	-5993	-	7.78[V]	PLS	Max	46.619	232.109	0,000	1.535,0 0	10	804.077
			-6506					Min	46.619	232.109	0,000	1.535,0 0	10	
	50,0%	519	-	-3788	-	12.31[V]	PLS	Max	46.619	232.109	0,000	1.535,0 0	10	804.077
			-6736					Min	46.619	232.109	0,000	1.535,0 0	10	
	75,0%	519	-	-1506	-	30.96[V]	PLS	Max	46.619	232.109	0,000	1.535,0 0	10	804.077

Travi (AC) - Verifiche a pressoflessione deviata

Id _{Tr}	%L _{L1}	N _{Ed}	V _{Ed}	M _{Ed,3}	M _{Ed,2}	CS	Tp Vr	max/m in	M _{c,Rd}	V _{c,Rd}	ρ	A _v	t _w	N _{pl,Rd}
	[%]	[N]	[N]	[N·m]	[N·m]				[N·m]	[N]		[cm ²]	[mm]	[N]
			-6966					Min	46.619	232.109	0,000	1.535,0 0	10	
	100,0 %	519	-	851	-	54.78[V]	PLS	Max	46.619	232.109	0,000	1.535,0 0	10	804.077
			-7169					Min	46.619	232.109	0,000	1.535,0 0	10	
Trave Acciaio 39a-40a	0%	-	-	-	-	-	EFF	Max	17.802	181.453	0,000	1.200,0 0	4	454.351
			-					Min	9.646	91.936	0,000	608,00	4	
	25,0%	-	-	597	-	29.82[V]	EFF	Max	17.802	181.453	0,000	1.200,0 0	4	454.351
			-1787					Min	9.646	91.936	0,000	608,00	4	
	50,0%	-	-	2128	-	8.37[V]	EFF	Max	17.802	181.453	0,000	1.200,0 0	4	454.351
			-3357					Min	9.646	91.936	0,000	608,00	4	
	75,0%	-	-	4592	-	3.88[V]	EFF	Max	17.802	181.453	0,000	1.200,0 0	4	454.351

Travi (AC) - Verifiche a pressoflessione deviata

Id _{Tr}	%L _{L1}	N _{Ed}	V _{Ed}	M _{Ed,3}	M _{Ed,2}	CS	Tp Vr	max/m in	M _{c,Rd}	V _{c,Rd}	ρ	A _v	t _w	N _{pl,Rd}
	[%]	[N]	[N]	[N·m]	[N·m]				[N·m]	[N]		[cm²]	[mm]	[N]
			-4926					Min	9.646	91.936	0,000	608,00	4	
	100,0 %	-	-	7982	-	2.23[V]	EFF	Max	17.802	181.453	0,000	1.200,0 0	4	454.351
			-6300					Min	9.646	91.936	0,000	608,00	4	
Trave Acciaio 5-40a	0%	516	-	14151	-	3.29[V]	PLS	Max	46.619	232.109	0,000	1.535,0 0	10	804.077
			20200					Min	46.619	232.109	0,000	1.535,0 0	10	
	25,1%	516	-	10796	-	4.32[V]	PLS	Max	46.619	232.109	0,000	1.535,0 0	10	804.077
			20085					Min	46.619	232.109	0,000	1.535,0 0	10	
	50,0%	516	-	7462	-	6.25[V]	PLS	Max	46.619	232.109	0,000	1.535,0 0	10	804.077
			19970					Min	46.619	232.109	0,000	1.535,0 0	10	
	75,1%	516	-	4146	-	11.24[V]	PLS	Max	46.619	232.109	0,000	1.535,0 0	10	804.077

Travi (AC) - Verifiche a pressoflessione deviata

Id _{Tr}	%L _{L1}	N _{Ed}	V _{Ed}	M _{Ed,3}	M _{Ed,2}	CS	Tp Vr	max/m in	M _{c,Rd}	V _{c,Rd}	ρ	A _v	t _w	N _{pl,Rd}
	[%]	[N]	[N]	[N·m]	[N·m]				[N·m]	[N]		[cm²]	[mm]	[N]
			19855					Min	46.619	232.109	0,000	1.535,0 0	10	
	100,0 %	516	-	848	-	54.98[V]	PLS	Max	46.619	232.109	0,000	1.535,0 0	10	804.077
			19767					Min	46.619	232.109	0,000	1.535,0 0	10	
Trave Acciaio 42a-43a	0%	-	-	-	-	-	EFF	Max	17.802	181.453	0,000	1.200,0 0	4	454.351
			-					Min	9.646	91.936	0,000	608,00	4	
	25,0%	-	-	597	-	29.82[V]	EFF	Max	17.802	181.453	0,000	1.200,0 0	4	454.351
			-1787					Min	9.646	91.936	0,000	608,00	4	
	50,0%	-	-	2128	-	8.37[V]	EFF	Max	17.802	181.453	0,000	1.200,0 0	4	454.351
			-3357					Min	9.646	91.936	0,000	608,00	4	
	75,0%	-	-	4592	-	3.88[V]	EFF	Max	17.802	181.453	0,000	1.200,0 0	4	454.351

Travi (AC) - Verifiche a pressoflessione deviata

Id _{Tr}	%L _{L1}	N _{Ed}	V _{Ed}	M _{Ed,3}	M _{Ed,2}	CS	Tp Vr	max/m in	M _{c,Rd}	V _{c,Rd}	ρ	A _v	t _w	N _{pl,Rd}
	[%]	[N]	[N]	[N·m]	[N·m]				[N·m]	[N]		[cm²]	[mm]	[N]
			-4926					Min	9.646	91.936	0,000	608,00	4	
	100,0 %	-	-	7982	-	2.23[V]	EFF	Max	17.802	181.453	0,000	1.200,0 0	4	454.351
			-6300					Min	9.646	91.936	0,000	608,00	4	
Trave Acciaio 40a-43a	0%	516	-	848	-	54.98[V]	PLS	Max	46.619	232.109	0,000	1.535,0 0	10	804.077
			7166					Min	46.619	232.109	0,000	1.535,0 0	10	
	25,0%	516	-	-1508	-	30.91[V]	PLS	Max	46.619	232.109	0,000	1.535,0 0	10	804.077
			6963					Min	46.619	232.109	0,000	1.535,0 0	10	
	50,0%	516	-	-3789	-	12.30[V]	PLS	Max	46.619	232.109	0,000	1.535,0 0	10	804.077
			6733					Min	46.619	232.109	0,000	1.535,0 0	10	
	75,0%	516	-	-5993	-	7.78[V]	PLS	Max	46.619	232.109	0,000	1.535,0 0	10	804.077

Travi (AC) - Verifiche a pressoflessione deviata

Id _{Tr}	%L _{L1}	N _{Ed}	V _{Ed}	M _{Ed,3}	M _{Ed,2}	CS	Tp Vr	max/m in	M _{c,Rd}	V _{c,Rd}	ρ	A _v	t _w	N _{pl,Rd}
	[%]	[N]	[N]	[N·m]	[N·m]				[N·m]	[N]		[cm²]	[mm]	[N]
			6503					Min	46.619	232.109	0,000	1.535,0 0	10	
	100,0 %	516	-	-8122	-	5.74[V]	PLS	Max	46.619	232.109	0,000	1.535,0 0	10	804.077
			6300					Min	46.619	232.109	0,000	1.535,0 0	10	
Trave Acciaio 45a-46a	0%	-	-	-	-	-	EFF	Max	17.802	181.453	0,000	1.200,0 0	4	454.351
			-					Min	9.646	91.936	0,000	608,00	4	
	25,0%	-	-	597	-	29.82[V]	EFF	Max	17.802	181.453	0,000	1.200,0 0	4	454.351
			-1787					Min	9.646	91.936	0,000	608,00	4	
	50,0%	-	-	2128	-	8.37[V]	EFF	Max	17.802	181.453	0,000	1.200,0 0	4	454.351
			-3357					Min	9.646	91.936	0,000	608,00	4	
	75,0%	-	-	4592	-	3.88[V]	EFF	Max	17.802	181.453	0,000	1.200,0 0	4	454.351

Travi (AC) - Verifiche a pressoflessione deviata

Id _{Tr}	%L _{L1}	N _{Ed}	V _{Ed}	M _{Ed,3}	M _{Ed,2}	CS	Tp Vr	max/m in	M _{c,Rd}	V _{c,Rd}	ρ	A _v	t _w	N _{pl,Rd}
	[%]	[N]	[N]	[N·m]	[N·m]				[N·m]	[N]		[cm²]	[mm]	[N]
			-4926					Min	9.646	91.936	0,000	608,00	4	
	100,0 %	-	-	7982	-	2.23[V]	EFF	Max	17.802	181.453	0,000	1.200,0 0	4	454.351
			-6300					Min	9.646	91.936	0,000	608,00	4	
Trave Acciaio 43a-46a	0%	516	-	-8122	-	5.74[V]	PLS	Max	46.619	232.109	0,000	1.535,0 0	10	804.077
			-6300					Min	46.619	232.109	0,000	1.535,0 0	10	
	25,0%	516	-	-5993	-	7.78[V]	PLS	Max	46.619	232.109	0,000	1.535,0 0	10	804.077
			-6503					Min	46.619	232.109	0,000	1.535,0 0	10	
	50,0%	516	-	-3789	-	12.30[V]	PLS	Max	46.619	232.109	0,000	1.535,0 0	10	804.077
			-6733					Min	46.619	232.109	0,000	1.535,0 0	10	
	75,0%	516	-	-1508	-	30.91[V]	PLS	Max	46.619	232.109	0,000	1.535,0 0	10	804.077

Travi (AC) - Verifiche a pressoflessione deviata

Id _{Tr}	%L _{L1}	N _{Ed}	V _{Ed}	M _{Ed,3}	M _{Ed,2}	CS	Tp Vr	max/m in	M _{c,Rd}	V _{c,Rd}	ρ	A _v	t _w	N _{pl,Rd}
	[%]	[N]	[N]	[N·m]	[N·m]				[N·m]	[N]		[cm²]	[mm]	[N]
			-6964					Min	46.619	232.109	0,000	1.535,0 0	10	
	100,0 %	516	-	848	-	54.98[V]	PLS	Max	46.619	232.109	0,000	1.535,0 0	10	804.077
			-7167					Min	46.619	232.109	0,000	1.535,0 0	10	
Trave Acciaio 48a-49a	0%	-	-	-	-	-	EFF	Max	17.802	181.453	0,000	1.200,0 0	4	454.351
			-					Min	9.646	91.936	0,000	608,00	4	
	25,0%	-	-	597	-	29.82[V]	EFF	Max	17.802	181.453	0,000	1.200,0 0	4	454.351
			-1787					Min	9.646	91.936	0,000	608,00	4	
	50,0%	-	-	2128	-	8.37[V]	EFF	Max	17.802	181.453	0,000	1.200,0 0	4	454.351
			-3357					Min	9.646	91.936	0,000	608,00	4	
	75,0%	-	-	4592	-	3.88[V]	EFF	Max	17.802	181.453	0,000	1.200,0 0	4	454.351

Travi (AC) - Verifiche a pressoflessione deviata

Id _{Tr}	%L _{L1}	N _{Ed}	V _{Ed}	M _{Ed,3}	M _{Ed,2}	CS	Tp Vr	max/m in	M _{c,Rd}	V _{c,Rd}	ρ	A _v	t _w	N _{pl,Rd}
	[%]	[N]	[N]	[N·m]	[N·m]				[N·m]	[N]		[cm²]	[mm]	[N]
			-4926					Min	9.646	91.936	0,000	608,00	4	
	100,0 %	-	-	7982	-	2.23[V]	EFF	Max	17.802	181.453	0,000	1.200,0 0	4	454.351
			-6300					Min	9.646	91.936	0,000	608,00	4	
Trave Acciaio 6-49a	0%	519	- 20203	14155	-	3.29[V]	PLS	Max	46.619	232.109	0,000	1.535,0 0	10	804.077
								Min	46.619	232.109	0,000	1.535,0 0	10	
	25,1%	519	- 20088	10801	-	4.32[V]	PLS	Max	46.619	232.109	0,000	1.535,0 0	10	804.077
								Min	46.619	232.109	0,000	1.535,0 0	10	
	50,0%	519	- 19973	7465	-	6.25[V]	PLS	Max	46.619	232.109	0,000	1.535,0 0	10	804.077
								Min	46.619	232.109	0,000	1.535,0 0	10	
	75,1%	519	-	4149	-	11.24[V]	PLS	Max	46.619	232.109	0,000	1.535,0 0	10	804.077

Travi (AC) - Verifiche a pressoflessione deviata

Id _{Tr}	%L _{L1}	N _{Ed}	V _{Ed}	M _{Ed,3}	M _{Ed,2}	CS	Tp Vr	max/m in	M _{c,Rd}	V _{c,Rd}	ρ	A _v	t _w	N _{pl,Rd}
	[%]	[N]	[N]	[N·m]	[N·m]				[N·m]	[N]		[cm²]	[mm]	[N]
			19858					Min	46.619	232.109	0,000	1.535,0 0	10	
	100,0 %	519	-	851	-	54.78[V]	PLS	Max	46.619	232.109	0,000	1.535,0 0	10	804.077
			19770					Min	46.619	232.109	0,000	1.535,0 0	10	
Trave Acciaio 51a-52a	0%	-	-	-	-	-	EFF	Max	17.802	181.453	0,000	1.200,0 0	4	454.351
			-					Min	9.646	91.936	0,000	608,00	4	
	25,0%	-	-	597	-	29.82[V]	EFF	Max	17.802	181.453	0,000	1.200,0 0	4	454.351
			-1787					Min	9.646	91.936	0,000	608,00	4	
	50,0%	-	-	2128	-	8.37[V]	EFF	Max	17.802	181.453	0,000	1.200,0 0	4	454.351
			-3357					Min	9.646	91.936	0,000	608,00	4	
	75,0%	-	-	4592	-	3.88[V]	EFF	Max	17.802	181.453	0,000	1.200,0 0	4	454.351

Travi (AC) - Verifiche a pressoflessione deviata

Id _{Tr}	%L _{L1}	N _{Ed}	V _{Ed}	M _{Ed,3}	M _{Ed,2}	CS	Tp Vr	max/m in	M _{c,Rd}	V _{c,Rd}	ρ	A _v	t _w	N _{pl,Rd}
	[%]	[N]	[N]	[N·m]	[N·m]				[N·m]	[N]		[cm²]	[mm]	[N]
			-4926					Min	9.646	91.936	0,000	608,00	4	
	100,0 %	-	-	7982	-	2.23[V]	EFF	Max	17.802	181.453	0,000	1.200,0 0	4	454.351
			-6300					Min	9.646	91.936	0,000	608,00	4	
Trave Acciaio 49a-52a	0%	519	-	851	-	54.78[V]	PLS	Max	46.619	232.109	0,000	1.535,0 0	10	804.077
			7169					Min	46.619	232.109	0,000	1.535,0 0	10	
	25,0%	519	-	-1506	-	30.96[V]	PLS	Max	46.619	232.109	0,000	1.535,0 0	10	804.077
			6966					Min	46.619	232.109	0,000	1.535,0 0	10	
	50,0%	519	-	-3788	-	12.31[V]	PLS	Max	46.619	232.109	0,000	1.535,0 0	10	804.077
			6736					Min	46.619	232.109	0,000	1.535,0 0	10	
	75,0%	519	-	-5993	-	7.78[V]	PLS	Max	46.619	232.109	0,000	1.535,0 0	10	804.077

Travi (AC) - Verifiche a pressoflessione deviata

Id _{Tr}	%L _{L1}	N _{Ed}	V _{Ed}	M _{Ed,3}	M _{Ed,2}	CS	Tp Vr	max/m in	M _{c,Rd}	V _{c,Rd}	ρ	A _v	t _w	N _{pl,Rd}
	[%]	[N]	[N]	[N·m]	[N·m]				[N·m]	[N]		[cm²]	[mm]	[N]
			6506					Min	46.619	232.109	0,000	1.535,0 0	10	
	100,0 %	519	-	-8123	-	5.74[V]	PLS	Max	46.619	232.109	0,000	1.535,0 0	10	804.077
			6303					Min	46.619	232.109	0,000	1.535,0 0	10	
Trave Acciaio 54a-55a	0%	-	-	-	-	-	EFF	Max	17.802	181.453	0,000	1.200,0 0	4	454.351
			-					Min	9.646	91.936	0,000	608,00	4	
	25,0%	-	-	597	-	29.82[V]	EFF	Max	17.802	181.453	0,000	1.200,0 0	4	454.351
			-1787					Min	9.646	91.936	0,000	608,00	4	
	50,0%	-	-	2128	-	8.37[V]	EFF	Max	17.802	181.453	0,000	1.200,0 0	4	454.351
			-3357					Min	9.646	91.936	0,000	608,00	4	
	75,0%	-	-	4592	-	3.88[V]	EFF	Max	17.802	181.453	0,000	1.200,0 0	4	454.351

Travi (AC) - Verifiche a pressoflessione deviata

Id _{Tr}	%L _{L1}	N _{Ed}	V _{Ed}	M _{Ed,3}	M _{Ed,2}	CS	Tp Vr	max/m in	M _{c,Rd}	V _{c,Rd}	ρ	A _v	t _w	N _{pl,Rd}
	[%]	[N]	[N]	[N·m]	[N·m]				[N·m]	[N]		[cm²]	[mm]	[N]
			-4926					Min	9.646	91.936	0,000	608,00	4	
	100,0 %	-	-	7982	-	2.23[V]	EFF	Max	17.802	181.453	0,000	1.200,0 0	4	454.351
			-6300					Min	9.646	91.936	0,000	608,00	4	
Trave Acciaio 52a-55a	0%	519	-	-8123	-	5.74[V]	PLS	Max	46.619	232.109	0,000	1.535,0 0	10	804.077
			-6298					Min	46.619	232.109	0,000	1.535,0 0	10	
	25,0%	519	-	-5995	-	7.78[V]	PLS	Max	46.619	232.109	0,000	1.535,0 0	10	804.077
			-6501					Min	46.619	232.109	0,000	1.535,0 0	10	
	50,0%	519	-	-3792	-	12.29[V]	PLS	Max	46.619	232.109	0,000	1.535,0 0	10	804.077
			-6731					Min	46.619	232.109	0,000	1.535,0 0	10	
	75,0%	519	-	-1512	-	30.83[V]	PLS	Max	46.619	232.109	0,000	1.535,0 0	10	804.077

Travi (AC) - Verifiche a pressoflessione deviata

Id _{Tr}	%L _{L1}	N _{Ed}	V _{Ed}	M _{Ed,3}	M _{Ed,2}	CS	Tp Vr	max/m in	M _{c,Rd}	V _{c,Rd}	ρ	A _v	t _w	N _{pl,Rd}
	[%]	[N]	[N]	[N·m]	[N·m]				[N·m]	[N]		[cm²]	[mm]	[N]
			-6961					Min	46.619	232.109	0,000	1.535,0 0	10	
	100,0 %	519	-	844	-	55.24[V]	PLS	Max	46.619	232.109	0,000	1.535,0 0	10	804.077
			-7164					Min	46.619	232.109	0,000	1.535,0 0	10	
Trave Acciaio 57a-58a	0%	-	-	-	-	-	EFF	Max	17.802	181.453	0,000	1.200,0 0	4	454.351
			-					Min	9.646	91.936	0,000	608,00	4	
	25,0%	-	-	597	-	29.82[V]	EFF	Max	17.802	181.453	0,000	1.200,0 0	4	454.351
			-1787					Min	9.646	91.936	0,000	608,00	4	
	50,0%	-	-	2128	-	8.37[V]	EFF	Max	17.802	181.453	0,000	1.200,0 0	4	454.351
			-3357					Min	9.646	91.936	0,000	608,00	4	
	75,0%	-	-	4592	-	3.88[V]	EFF	Max	17.802	181.453	0,000	1.200,0 0	4	454.351

Travi (AC) - Verifiche a pressoflessione deviata

Id _{Tr}	%L _{L1}	N _{Ed}	V _{Ed}	M _{Ed,3}	M _{Ed,2}	CS	Tp Vr	max/m in	M _{c,Rd}	V _{c,Rd}	ρ	A _v	t _w	N _{pl,Rd}
	[%]	[N]	[N]	[N·m]	[N·m]				[N·m]	[N]		[cm²]	[mm]	[N]
			-4926					Min	9.646	91.936	0,000	608,00	4	
	100,0 %	-	-	7982	-	2.23[V]	EFF	Max	17.802	181.453	0,000	1.200,0 0	4	454.351
			-6300					Min	9.646	91.936	0,000	608,00	4	
Trave Acciaio 7-58a	0%	520	-	14139	-	3.30[V]	PLS	Max	46.619	232.109	0,000	1.535,0 0	10	804.077
			20189					Min	46.619	232.109	0,000	1.535,0 0	10	
	25,1%	520	-	10787	-	4.32[V]	PLS	Max	46.619	232.109	0,000	1.535,0 0	10	804.077
			20074					Min	46.619	232.109	0,000	1.535,0 0	10	
	50,0%	520	-	7454	-	6.25[V]	PLS	Max	46.619	232.109	0,000	1.535,0 0	10	804.077
			19958					Min	46.619	232.109	0,000	1.535,0 0	10	
	75,1%	520	-	4140	-	11.26[V]	PLS	Max	46.619	232.109	0,000	1.535,0 0	10	804.077

Travi (AC) - Verifiche a pressoflessione deviata

Id _{Tr}	%L _{L1}	N _{Ed}	V _{Ed}	M _{Ed,3}	M _{Ed,2}	CS	Tp Vr	max/m in	M _{c,Rd}	V _{c,Rd}	ρ	A _v	t _w	N _{pl,Rd}
	[%]	[N]	[N]	[N·m]	[N·m]				[N·m]	[N]		[cm²]	[mm]	[N]
			19843					Min	46.619	232.109	0,000	1.535,0 0	10	
	100,0 %	520	-	844	-	55.24[V]	PLS	Max	46.619	232.109	0,000	1.535,0 0	10	804.077
			19755					Min	46.619	232.109	0,000	1.535,0 0	10	
Trave Acciaio 60a-61a	0%	-	-	-	-	-	EFF	Max	17.802	181.453	0,000	1.200,0 0	4	454.351
			-					Min	9.646	91.936	0,000	608,00	4	
	25,0%	-	-	597	-	29.82[V]	EFF	Max	17.802	181.453	0,000	1.200,0 0	4	454.351
			-1787					Min	9.646	91.936	0,000	608,00	4	
	50,0%	-	-	2128	-	8.37[V]	EFF	Max	17.802	181.453	0,000	1.200,0 0	4	454.351
			-3357					Min	9.646	91.936	0,000	608,00	4	
	75,0%	-	-	4592	-	3.88[V]	EFF	Max	17.802	181.453	0,000	1.200,0 0	4	454.351

Travi (AC) - Verifiche a pressoflessione deviata

Id _{Tr}	%L _{L1}	N _{Ed}	V _{Ed}	M _{Ed,3}	M _{Ed,2}	CS	Tp Vr	max/m in	M _{c,Rd}	V _{c,Rd}	ρ	A _v	t _w	N _{pl,Rd}
	[%]	[N]	[N]	[N·m]	[N·m]				[N·m]	[N]		[cm²]	[mm]	[N]
			-4926					Min	9.646	91.936	0,000	608,00	4	
	100,0 %	-	-	7982	-	2.23[V]	EFF	Max	17.802	181.453	0,000	1.200,0 0	4	454.351
			-6300					Min	9.646	91.936	0,000	608,00	4	
Trave Acciaio 58a-61a	0%	520	-	844	-	55.24[V]	PLS	Max	46.619	232.109	0,000	1.535,0 0	10	804.077
			7155					Min	46.619	232.109	0,000	1.535,0 0	10	
	25,0%	520	-	-1508	-	30.91[V]	PLS	Max	46.619	232.109	0,000	1.535,0 0	10	804.077
			6952					Min	46.619	232.109	0,000	1.535,0 0	10	
	50,0%	520	-	-3785	-	12.32[V]	PLS	Max	46.619	232.109	0,000	1.535,0 0	10	804.077
			6722					Min	46.619	232.109	0,000	1.535,0 0	10	
	75,0%	520	-	-5985	-	7.79[V]	PLS	Max	46.619	232.109	0,000	1.535,0 0	10	804.077

Travi (AC) - Verifiche a pressoflessione deviata

Id _{Tr}	%L _{L1}	N _{Ed}	V _{Ed}	M _{Ed,3}	M _{Ed,2}	CS	Tp Vr	max/min	M _{c,Rd}	V _{c,Rd}	ρ	A _v	t _w	N _{pl,Rd}
	[%]	[N]	[N]	[N·m]	[N·m]				[N·m]	[N]		[cm²]	[mm]	[N]
			6492					Min	46.619	232.109	0,000	1.535,0 0	10	
	100,0 %	520	-	-8110	-	5.75[V]	PLS	Max	46.619	232.109	0,000	1.535,0 0	10	804.077
			6289					Min	46.619	232.109	0,000	1.535,0 0	10	
Trave Acciaio 63a-64a	0%	-	-	-	-	-	EFF	Max	17.802	181.453	0,000	1.200,0 0	4	454.351
			-					Min	9.646	91.936	0,000	608,00	4	
	25,0%	-	-	597	-	29.82[V]	EFF	Max	17.802	181.453	0,000	1.200,0 0	4	454.351
			-1787					Min	9.646	91.936	0,000	608,00	4	
	50,0%	-	-	2128	-	8.37[V]	EFF	Max	17.802	181.453	0,000	1.200,0 0	4	454.351
			-3357					Min	9.646	91.936	0,000	608,00	4	
	75,0%	-	-	4592	-	3.88[V]	EFF	Max	17.802	181.453	0,000	1.200,0 0	4	454.351

Travi (AC) - Verifiche a pressoflessione deviata

Id _{Tr}	%L _{L1}	N _{Ed}	V _{Ed}	M _{Ed,3}	M _{Ed,2}	CS	Tp Vr	max/m in	M _{c,Rd}	V _{c,Rd}	ρ	A _v	t _w	N _{pl,Rd}
	[%]	[N]	[N]	[N·m]	[N·m]				[N·m]	[N]		[cm²]	[mm]	[N]
			-4926					Min	9.646	91.936	0,000	608,00	4	
	100,0 %	-	-	7982	-	2.23[V]	EFF	Max	17.802	181.453	0,000	1.200,0 0	4	454.351
			-6300					Min	9.646	91.936	0,000	608,00	4	
Trave Acciaio 61a-64a	0%	520	-	-8110	-	5.75[V]	PLS	Max	46.619	232.109	0,000	1.535,0 0	10	804.077
			-6312					Min	46.619	232.109	0,000	1.535,0 0	10	
	25,0%	520	-	-5978	-	7.80[V]	PLS	Max	46.619	232.109	0,000	1.535,0 0	10	804.077
			-6515					Min	46.619	232.109	0,000	1.535,0 0	10	
	50,0%	520	-	-3770	-	12.37[V]	PLS	Max	46.619	232.109	0,000	1.535,0 0	10	804.077
			-6745					Min	46.619	232.109	0,000	1.535,0 0	10	
	75,0%	520	-	-1485	-	31.39[V]	PLS	Max	46.619	232.109	0,000	1.535,0 0	10	804.077

Travi (AC) - Verifiche a pressoflessione deviata

Id _{Tr}	%L _{L1}	N _{Ed}	V _{Ed}	M _{Ed,3}	M _{Ed,2}	CS	Tp Vr	max/m in	M _{c,Rd}	V _{c,Rd}	ρ	A _v	t _w	N _{pl,Rd}
	[%]	[N]	[N]	[N·m]	[N·m]				[N·m]	[N]		[cm²]	[mm]	[N]
			-6975					Min	46.619	232.109	0,000	1.535,0 0	10	
	100,0 %	520	-	875	-	53.28[V]	PLS	Max	46.619	232.109	0,000	1.535,0 0	10	804.077
			-7178					Min	46.619	232.109	0,000	1.535,0 0	10	
Trave Acciaio 66a-67a	0%	-	-	-	-	-	EFF	Max	17.802	181.453	0,000	1.200,0 0	4	454.351
			-					Min	9.646	91.936	0,000	608,00	4	
	25,0%	-	-	597	-	29.82[V]	EFF	Max	17.802	181.453	0,000	1.200,0 0	4	454.351
			-1787					Min	9.646	91.936	0,000	608,00	4	
	50,0%	-	-	2128	-	8.37[V]	EFF	Max	17.802	181.453	0,000	1.200,0 0	4	454.351
			-3357					Min	9.646	91.936	0,000	608,00	4	
	75,0%	-	-	4592	-	3.88[V]	EFF	Max	17.802	181.453	0,000	1.200,0 0	4	454.351

Travi (AC) - Verifiche a pressoflessione deviata

Id _{Tr}	%L _{L1}	N _{Ed}	V _{Ed}	M _{Ed,3}	M _{Ed,2}	CS	Tp Vr	max/m in	M _{c,Rd}	V _{c,Rd}	ρ	A _v	t _w	N _{pl,Rd}
	[%]	[N]	[N]	[N·m]	[N·m]				[N·m]	[N]		[cm²]	[mm]	[N]
			-4926					Min	9.646	91.936	0,000	608,00	4	
	100,0 %	-	-	7982	-	2.23[V]	EFF	Max	17.802	181.453	0,000	1.200,0 0	4	454.351
			-6300					Min	9.646	91.936	0,000	608,00	4	
Trave Acciaio 8-67a	0%	630	-	14416	-	3.23[V]	PLS	Max	46.619	232.109	0,000	1.535,0 0	10	804.077
			20416					Min	46.619	232.109	0,000	1.535,0 0	10	
	25,1%	630	-	11026	-	4.23[V]	PLS	Max	46.619	232.109	0,000	1.535,0 0	10	804.077
			20301					Min	46.619	232.109	0,000	1.535,0 0	10	
	50,0%	630	-	7655	-	6.09[V]	PLS	Max	46.619	232.109	0,000	1.535,0 0	10	804.077
			20186					Min	46.619	232.109	0,000	1.535,0 0	10	
	75,1%	630	-	4303	-	10.83[V]	PLS	Max	46.619	232.109	0,000	1.535,0 0	10	804.077

Travi (AC) - Verifiche a pressoflessione deviata

Id _{Tr}	%L _{L1}	N _{Ed}	V _{Ed}	M _{Ed,3}	M _{Ed,2}	CS	Tp Vr	max/m in	M _{c,Rd}	V _{c,Rd}	ρ	A _v	t _w	N _{pl,Rd}
	[%]	[N]	[N]	[N·m]	[N·m]				[N·m]	[N]		[cm²]	[mm]	[N]
			20071					Min	46.619	232.109	0,000	1.535,0 0	10	
	100,0 %	630	-	970	-	48.06[V]	PLS	Max	46.619	232.109	0,000	1.535,0 0	10	804.077
			19983					Min	46.619	232.109	0,000	1.535,0 0	10	
Trave Acciaio 69a-70a	0%	-	-	-	-	-	EFF	Max	17.802	181.453	0,000	1.200,0 0	4	454.351
			-					Min	9.646	91.936	0,000	608,00	4	
	25,0%	-	-	597	-	29.82[V]	EFF	Max	17.802	181.453	0,000	1.200,0 0	4	454.351
			-1787					Min	9.646	91.936	0,000	608,00	4	
	50,0%	-	-	2128	-	8.37[V]	EFF	Max	17.802	181.453	0,000	1.200,0 0	4	454.351
			-3357					Min	9.646	91.936	0,000	608,00	4	
	75,0%	-	-	4592	-	3.88[V]	EFF	Max	17.802	181.453	0,000	1.200,0 0	4	454.351

Travi (AC) - Verifiche a pressoflessione deviata

Id _{Tr}	%L _{L1}	N _{Ed}	V _{Ed}	M _{Ed,3}	M _{Ed,2}	CS	Tp Vr	max/m in	M _{c,Rd}	V _{c,Rd}	ρ	A _v	t _w	N _{pl,Rd}
	[%]	[N]	[N]	[N·m]	[N·m]				[N·m]	[N]		[cm²]	[mm]	[N]
			-4926					Min	9.646	91.936	0,000	608,00	4	
	100,0 %	-	-	7982	-	2.23[V]	EFF	Max	17.802	181.453	0,000	1.200,0 0	4	454.351
			-6300					Min	9.646	91.936	0,000	608,00	4	
Trave Acciaio 67a-70a	0%	630	-	970	-	48.06[V]	PLS	Max	46.619	232.109	0,000	1.535,0 0	10	804.077
			7382					Min	46.619	232.109	0,000	1.535,0 0	10	
	25,0%	630	-	-1459	-	31.95[V]	PLS	Max	46.619	232.109	0,000	1.535,0 0	10	804.077
			7179					Min	46.619	232.109	0,000	1.535,0 0	10	
	50,0%	630	-	-3811	-	12.23[V]	PLS	Max	46.619	232.109	0,000	1.535,0 0	10	804.077
			6949					Min	46.619	232.109	0,000	1.535,0 0	10	
	75,0%	630	-	-6087	-	7.66[V]	PLS	Max	46.619	232.109	0,000	1.535,0 0	10	804.077

Travi (AC) - Verifiche a pressoflessione deviata

Id _{Tr}	%L _{L1}	N _{Ed}	V _{Ed}	M _{Ed,3}	M _{Ed,2}	CS	Tp Vr	max/m in	M _{c,Rd}	V _{c,Rd}	ρ	A _v	t _w	N _{pl,Rd}
	[%]	[N]	[N]	[N·m]	[N·m]				[N·m]	[N]		[cm²]	[mm]	[N]
			6719					Min	46.619	232.109	0,000	1.535,0 0	10	
	100,0 %	630	-	-8288	-	5.62[V]	PLS	Max	46.619	232.109	0,000	1.535,0 0	10	804.077
			6516					Min	46.619	232.109	0,000	1.535,0 0	10	
Trave Acciaio 72a-73a	0%	-	-	-	-	-	EFF	Max	17.802	181.453	0,000	1.200,0 0	4	454.351
			-					Min	9.646	91.936	0,000	608,00	4	
	25,0%	-	-	597	-	29.82[V]	EFF	Max	17.802	181.453	0,000	1.200,0 0	4	454.351
			-1787					Min	9.646	91.936	0,000	608,00	4	
	50,0%	-	-	2128	-	8.37[V]	EFF	Max	17.802	181.453	0,000	1.200,0 0	4	454.351
			-3357					Min	9.646	91.936	0,000	608,00	4	
	75,0%	-	-	4592	-	3.88[V]	EFF	Max	17.802	181.453	0,000	1.200,0 0	4	454.351

Travi (AC) - Verifiche a pressoflessione deviata

Id _{Tr}	%L _{L1}	N _{Ed}	V _{Ed}	M _{Ed,3}	M _{Ed,2}	CS	Tp Vr	max/m in	M _{c,Rd}	V _{c,Rd}	ρ	A _v	t _w	N _{pl,Rd}
	[%]	[N]	[N]	[N·m]	[N·m]				[N·m]	[N]		[cm²]	[mm]	[N]
			-4926					Min	9.646	91.936	0,000	608,00	4	
	100,0 %	-	-	7982	-	2.23[V]	EFF	Max	17.802	181.453	0,000	1.200,0 0	4	454.351
			-6300					Min	9.646	91.936	0,000	608,00	4	
Trave Acciaio 70a-73a	0%	630	-	-8288	-	5.62[V]	PLS	Max	46.619	232.109	0,000	1.535,0 0	10	804.077
			-6084					Min	46.619	232.109	0,000	1.535,0 0	10	
	25,0%	630	-	-6231	-	7.48[V]	PLS	Max	46.619	232.109	0,000	1.535,0 0	10	804.077
			-6287					Min	46.619	232.109	0,000	1.535,0 0	10	
	50,0%	630	-	-4099	-	11.37[V]	PLS	Max	46.619	232.109	0,000	1.535,0 0	10	804.077
			-6517					Min	46.619	232.109	0,000	1.535,0 0	10	
	75,0%	630	-	-1890	-	24.67[V]	PLS	Max	46.619	232.109	0,000	1.535,0 0	10	804.077

Travi (AC) - Verifiche a pressoflessione deviata

Id _{Tr}	%L _{L1}	N _{Ed}	V _{Ed}	M _{Ed,3}	M _{Ed,2}	CS	Tp Vr	max/m in	M _{c,Rd}	V _{c,Rd}	ρ	A _v	t _w	N _{pl,Rd}
	[%]	[N]	[N]	[N·m]	[N·m]				[N·m]	[N]		[cm²]	[mm]	[N]
			-6748					Min	46.619	232.109	0,000	1.535,0 0	10	
	100,0 %	630	-	394	-	NS	PLS	Max	46.619	232.109	0,000	1.535,0 0	10	804.077
			-6951					Min	46.619	232.109	0,000	1.535,0 0	10	
Trave Acciaio 75a-76a	0%	-	-	-	-	-	EFF	Max	17.802	181.453	0,000	1.200,0 0	4	454.351
			-					Min	9.646	91.936	0,000	608,00	4	
	25,0%	-	-	597	-	29.82[V]	EFF	Max	17.802	181.453	0,000	1.200,0 0	4	454.351
			-1787					Min	9.646	91.936	0,000	608,00	4	
	50,0%	-	-	2128	-	8.37[V]	EFF	Max	17.802	181.453	0,000	1.200,0 0	4	454.351
			-3357					Min	9.646	91.936	0,000	608,00	4	
	75,0%	-	-	4592	-	3.88[V]	EFF	Max	17.802	181.453	0,000	1.200,0 0	4	454.351

Travi (AC) - Verifiche a pressoflessione deviata

Id _{Tr}	%L _{L1}	N _{Ed}	V _{Ed}	M _{Ed,3}	M _{Ed,2}	CS	Tp Vr	max/m in	M _{c,Rd}	V _{c,Rd}	ρ	A _v	t _w	N _{pl,Rd}
	[%]	[N]	[N]	[N·m]	[N·m]				[N·m]	[N]		[cm²]	[mm]	[N]
			-4926					Min	9.646	91.936	0,000	608,00	4	
	100,0 %	-	-	7982	-	2.23[V]	EFF	Max	17.802	181.453	0,000	1.200,0 0	4	454.351
			-6300					Min	9.646	91.936	0,000	608,00	4	
Trave Acciaio 9-76a	0%	-703	-	10527	-	4.43[V]	PLS	Max	46.619	232.109	0,000	1.535,0 0	10	804.879
			16957					Min	46.619	232.109	0,000	1.535,0 0	10	
	25,1%	-703	-	7713	-	6.04[V]	PLS	Max	46.619	232.109	0,000	1.535,0 0	10	804.879
			16842					Min	46.619	232.109	0,000	1.535,0 0	10	
	50,0%	-703	-	4918	-	9.48[V]	PLS	Max	46.619	232.109	0,000	1.535,0 0	10	804.879
			16727					Min	46.619	232.109	0,000	1.535,0 0	10	
	75,1%	-703	-	2142	-	21.76[V]	PLS	Max	46.619	232.109	0,000	1.535,0 0	10	804.879

Travi (AC) - Verifiche a pressoflessione deviata

Id _{Tr}	%L _{L1}	N _{Ed}	V _{Ed}	M _{Ed,3}	M _{Ed,2}	CS	Tp Vr	max/m in	M _{c,Rd}	V _{c,Rd}	ρ	A _v	t _w	N _{pl,Rd}
	[%]	[N]	[N]	[N·m]	[N·m]				[N·m]	[N]		[cm²]	[mm]	[N]
			16612					Min	46.619	232.109	0,000	1.535,0 0	10	
	100,0 %	-703	-	-615	-	75.80[V]	PLS	Max	46.619	232.109	0,000	1.535,0 0	10	804.879
			16524					Min	46.619	232.109	0,000	1.535,0 0	10	
Trave Acciaio 78a-79a	0%	-	-	-	-	-	EFF	Max	17.802	181.453	0,000	1.200,0 0	4	454.351
			-					Min	9.646	91.936	0,000	608,00	4	
	25,0%	-	-	597	-	29.82[V]	EFF	Max	17.802	181.453	0,000	1.200,0 0	4	454.351
			-1787					Min	9.646	91.936	0,000	608,00	4	
	50,0%	-	-	2128	-	8.37[V]	EFF	Max	17.802	181.453	0,000	1.200,0 0	4	454.351
			-3357					Min	9.646	91.936	0,000	608,00	4	
	75,0%	-	-	4592	-	3.88[V]	EFF	Max	17.802	181.453	0,000	1.200,0 0	4	454.351

Travi (AC) - Verifiche a pressoflessione deviata

Id _{Tr}	%L _{L1}	N _{Ed}	V _{Ed}	M _{Ed,3}	M _{Ed,2}	CS	Tp Vr	max/m in	M _{c,Rd}	V _{c,Rd}	ρ	A _v	t _w	N _{pl,Rd}
	[%]	[N]	[N]	[N·m]	[N·m]				[N·m]	[N]		[cm²]	[mm]	[N]
			-4926					Min	9.646	91.936	0,000	608,00	4	
	100,0 %	-	-	7982	-	2.23[V]	EFF	Max	17.802	181.453	0,000	1.200,0 0	4	454.351
			-6300					Min	9.646	91.936	0,000	608,00	4	
Trave Acciaio 76a-79a	0%	-703	-	-615	-	75.80[V]	PLS	Max	46.619	232.109	0,000	1.535,0 0	10	804.879
			3923					Min	46.619	232.109	0,000	1.535,0 0	10	
	25,0%	-703	-	-1892	-	24.64[V]	PLS	Max	46.619	232.109	0,000	1.535,0 0	10	804.879
			3720					Min	46.619	232.109	0,000	1.535,0 0	10	
	50,0%	-703	-	-3092	-	15.08[V]	PLS	Max	46.619	232.109	0,000	1.535,0 0	10	804.879
			3490					Min	46.619	232.109	0,000	1.535,0 0	10	
	75,0%	-703	-	-4216	-	11.06[V]	PLS	Max	46.619	232.109	0,000	1.535,0 0	10	804.879

Travi (AC) - Verifiche a pressoflessione deviata

Id _{Tr}	%L _{L1}	N _{Ed}	V _{Ed}	M _{Ed,3}	M _{Ed,2}	CS	Tp Vr	max/m in	M _{c,Rd}	V _{c,Rd}	ρ	A _v	t _w	N _{pl,Rd}
	[%]	[N]	[N]	[N·m]	[N·m]				[N·m]	[N]		[cm²]	[mm]	[N]
			3260					Min	46.619	232.109	0,000	1.535,0 0	10	
	100,0 %	-703	-	-5265	-	8.85[V]	PLS	Max	46.619	232.109	0,000	1.535,0 0	10	804.879
			3057					Min	46.619	232.109	0,000	1.535,0 0	10	
Trave Acciaio 81a-10	0%	-	-	-	-	-	EFF	Max	17.802	181.453	0,000	1.200,0 0	4	454.351
			-					Min	9.646	91.936	0,000	608,00	4	
	25,0%	-	-	597	-	29.82[V]	EFF	Max	17.802	181.453	0,000	1.200,0 0	4	454.351
			-1787					Min	9.646	91.936	0,000	608,00	4	
	50,0%	-	-	2128	-	8.37[V]	EFF	Max	17.802	181.453	0,000	1.200,0 0	4	454.351
			-3357					Min	9.646	91.936	0,000	608,00	4	
	75,0%	-	-	4592	-	3.88[V]	EFF	Max	17.802	181.453	0,000	1.200,0 0	4	454.351

Travi (AC) - Verifiche a pressoflessione deviata

Id _{Tr}	%L _{L1}	N _{Ed}	V _{Ed}	M _{Ed,3}	M _{Ed,2}	CS	Tp Vr	max/m in	M _{c,Rd}	V _{c,Rd}	ρ	A _v	t _w	N _{pl,Rd}
	[%]	[N]	[N]	[N·m]	[N·m]				[N·m]	[N]		[cm²]	[mm]	[N]
	100%	-	-4926	7982	-	2.23[V]	EFF	Min	9.646	91.936	0,000	608,00	4	454.351
			-					Max	17.802	181.453	0,000	1.200,00	4	
			-6300					Min	9.646	91.936	0,000	608,00	4	
Trave Acciaio 83a-84a	0%	-	-	-	-	-	EFF	Max	17.802	181.453	0,000	1.200,00	4	454.351
			-					Min	9.646	91.936	0,000	608,00	4	
	25,0%	-	-	316	-	56.33[V]	EFF	Max	17.802	181.453	0,000	1.200,00	4	454.351
			-952					Min	9.646	91.936	0,000	608,00	4	
	50,0%	-	-	1134	-	15.70[V]	EFF	Max	17.802	181.453	0,000	1.200,00	4	454.351
			-1796					Min	9.646	91.936	0,000	608,00	4	
	75,0%	-	-	2453	-	7.26[V]	EFF	Max	17.802	181.453	0,000	1.200,00	4	454.351
			-2639					Min	9.646	91.936	0,000	608,00	4	

Travi (AC) - Verifiche a pressoflessione deviata

Id _{Tr}	%L _{L1}	N _{Ed}	V _{Ed}	M _{Ed,3}	M _{Ed,2}	CS	Tp Vr	max/m in	M _{c,Rd}	V _{c,Rd}	ρ	A _v	t _w	N _{pl,Rd}
	[%]	[N]	[N]	[N·m]	[N·m]				[N·m]	[N]		[cm ²]	[mm]	[N]
	100,0 %	-	-	4270	-	4.17[V]	EFF	Max	17.802	181.453	0,000	1.200,0 0	4	454.351
			-3385					Min	9.646	91.936	0,000	608,00	4	
Trave Acciaio 10a-11a	0%	-	-	8002	-	2.22[V]	EFF	Max	17.802	181.453	0,000	1.200,0 0	4	454.351
			6301					Min	9.646	91.936	0,000	608,00	4	
	25,0%	-	-	4604	-	3.87[V]	EFF	Max	17.802	181.453	0,000	1.200,0 0	4	454.351
			4932					Min	9.646	91.936	0,000	608,00	4	
	50,0%	-	-	2133	-	8.35[V]	EFF	Max	17.802	181.453	0,000	1.200,0 0	4	454.351
			3361					Min	9.646	91.936	0,000	608,00	4	
	75,0%	-	-	599	-	29.72[V]	EFF	Max	17.802	181.453	0,000	1.200,0 0	4	454.351
			1789					Min	9.646	91.936	0,000	608,00	4	
	100,0 %	-	-	-	-	-	EFF	Max	17.802	181.453	0,000	1.200,0 0	4	454.351

Travi (AC) - Verifiche a pressoflessione deviata

Id _{Tr}	%L _{L1}	N _{Ed}	V _{Ed}	M _{Ed,3}	M _{Ed,2}	CS	Tp Vr	max/m in	M _{c,Rd}	V _{c,Rd}	ρ	A _v	t _w	N _{pl,Rd}
	[%]	[N]	[N]	[N·m]	[N·m]				[N·m]	[N]		[cm²]	[mm]	[N]
			-					Min	9.646	91.936	0,000	608,00	4	
Trave Acciaio 13a-14a	0%	-	-	7982	-	2.23[V]	EFF	Max	17.802	181.453	0,000	1.200,00	4	454.351
			6300					Min	9.646	91.936	0,000	608,00	4	
	25,0%	-	-	4592	-	3.88[V]	EFF	Max	17.802	181.453	0,000	1.200,00	4	454.351
			4926					Min	9.646	91.936	0,000	608,00	4	
	50,0%	-	-	2128	-	8.37[V]	EFF	Max	17.802	181.453	0,000	1.200,00	4	454.351
			3357					Min	9.646	91.936	0,000	608,00	4	
	75,0%	-	-	597	-	29.82[V]	EFF	Max	17.802	181.453	0,000	1.200,00	4	454.351
			1787					Min	9.646	91.936	0,000	608,00	4	
	100%	-	-	-	-	-	EFF	Max	17.802	181.453	0,000	1.200,00	4	454.351
			-					Min	9.646	91.936	0,000	608,00	4	

Travi (AC) - Verifiche a pressoflessione deviata

Id _{Tr}	%L _{L1}	N _{Ed}	V _{Ed}	M _{Ed,3}	M _{Ed,2}	CS	Tp Vr	max/m in	M _{c,Rd}	V _{c,Rd}	ρ	A _v	t _w	N _{pl,Rd}
	[%]	[N]	[N]	[N·m]	[N·m]				[N·m]	[N]		[cm ²]	[mm]	[N]
Trave Acciaio 16a-17a	0%	-	-	7982	-	2.23[V]	EFF	Max	17.802	181.453	0,000	1.200,0 0	4	454.351
			6300					Min	9.646	91.936	0,000	608,00	4	
	25,0%	-	-	4592	-	3.88[V]	EFF	Max	17.802	181.453	0,000	1.200,0 0	4	454.351
			4926					Min	9.646	91.936	0,000	608,00	4	
	50,0%	-	-	2128	-	8.37[V]	EFF	Max	17.802	181.453	0,000	1.200,0 0	4	454.351
			3357					Min	9.646	91.936	0,000	608,00	4	
	75,0%	-	-	597	-	29.82[V]	EFF	Max	17.802	181.453	0,000	1.200,0 0	4	454.351
			1787					Min	9.646	91.936	0,000	608,00	4	
	100%	-	-	-	-	-	EFF	Max	17.802	181.453	0,000	1.200,0 0	4	454.351
			-					Min	9.646	91.936	0,000	608,00	4	
Trave Acciaio 19a-20a	0%	-	-	7982	-	2.23[V]	EFF	Max	17.802	181.453	0,000	1.200,0 0	4	454.351

Travi (AC) - Verifiche a pressoflessione deviata

Id _{Tr}	%L _{L1}	N _{Ed}	V _{Ed}	M _{Ed,3}	M _{Ed,2}	CS	Tp Vr	max/m in	M _{c,Rd}	V _{c,Rd}	ρ	A _v	t _w	N _{pl,Rd}
	[%]	[N]	[N]	[N·m]	[N·m]				[N·m]	[N]		[cm²]	[mm]	[N]
			6300					Min	9.646	91.936	0,000	608,00	4	
			-					Max	17.802	181.453	0,000	1.200,00	4	
	25,0%	-	4926	4592	-	3.88[V]	EFF	Min	9.646	91.936	0,000	608,00	4	454.351
			-					Max	17.802	181.453	0,000	1.200,00	4	
	50,0%	-	3357	2128	-	8.37[V]	EFF	Min	9.646	91.936	0,000	608,00	4	454.351
			-					Max	17.802	181.453	0,000	1.200,00	4	
	75,0%	-	1787	597	-	29.82[V]	EFF	Min	9.646	91.936	0,000	608,00	4	454.351
			-					Max	17.802	181.453	0,000	1.200,00	4	
	100%	-	-	-	-	-	EFF	Min	9.646	91.936	0,000	608,00	4	454.351
			-					Max	17.802	181.453	0,000	1.200,00	4	
Trave Acciaio 22a-23a	0%	-	6300	7982	-	2.23[V]	EFF	Min	9.646	91.936	0,000	608,00	4	454.351
			-					Max	17.802	181.453	0,000	1.200,00	4	

Travi (AC) - Verifiche a pressoflessione deviata

Id _{Tr}	%L _{L1}	N _{Ed}	V _{Ed}	M _{Ed,3}	M _{Ed,2}	CS	Tp Vr	max/m in	M _{c,Rd}	V _{c,Rd}	ρ	A _v	t _w	N _{pl,Rd}
	[%]	[N]	[N]	[N·m]	[N·m]				[N·m]	[N]		[cm²]	[mm]	[N]
	25,0%	-	-	4592	-	3.88[V]	EFF	Max	17.802	181.453	0,000	1.200,0 0	4	454.351
			4926					Min	9.646	91.936	0,000	608,00	4	
	50,0%	-	-	2128	-	8.37[V]	EFF	Max	17.802	181.453	0,000	1.200,0 0	4	454.351
			3357					Min	9.646	91.936	0,000	608,00	4	
	75,0%	-	-	597	-	29.82[V]	EFF	Max	17.802	181.453	0,000	1.200,0 0	4	454.351
			1787					Min	9.646	91.936	0,000	608,00	4	
	100%	-	-	-	-	-	EFF	Max	17.802	181.453	0,000	1.200,0 0	4	454.351
			-					Min	9.646	91.936	0,000	608,00	4	
Trave Acciaio 25a-26a	0%	-	-	7982	-	2.23[V]	EFF	Max	17.802	181.453	0,000	1.200,0 0	4	454.351
			6300					Min	9.646	91.936	0,000	608,00	4	
	25,0%	-	-	4592	-	3.88[V]	EFF	Max	17.802	181.453	0,000	1.200,0 0	4	454.351

Travi (AC) - Verifiche a pressoflessione deviata

Id _{Tr}	%L _{L1}	N _{Ed}	V _{Ed}	M _{Ed,3}	M _{Ed,2}	CS	Tp Vr	max/m in	M _{c,Rd}	V _{c,Rd}	ρ	A _v	t _w	N _{pl,Rd}
	[%]	[N]	[N]	[N·m]	[N·m]				[N·m]	[N]		[cm²]	[mm]	[N]
	50,0%	-	4926	2128	-	8.37[V]	EFF	Min	9.646	91.936	0,000	608,00	4	454.351
			-					Max	17.802	181.453	0,000	1.200,00	4	
			3357	597	-	29.82[V]	EFF	Min	9.646	91.936	0,000	608,00	4	454.351
			-					Max	17.802	181.453	0,000	1.200,00	4	
			1787	-	-	-	EFF	Min	9.646	91.936	0,000	608,00	4	454.351
			-					Max	17.802	181.453	0,000	1.200,00	4	
	100%	-	-	7982	-	2.23[V]	EFF	Min	9.646	91.936	0,000	608,00	4	454.351
			6300					Max	17.802	181.453	0,000	1.200,00	4	
			-	4592	-	3.88[V]	EFF	Min	9.646	91.936	0,000	608,00	4	454.351
			4926					Max	17.802	181.453	0,000	1.200,00	4	
			-	-	-	-	EFF	Min	9.646	91.936	0,000	608,00	4	454.351
			6300					Max	17.802	181.453	0,000	1.200,00	4	
Trave Acciaio 28a-29a	0%	-	-	7982	-	2.23[V]	EFF	Min	9.646	91.936	0,000	608,00	4	454.351
			6300					Max	17.802	181.453	0,000	1.200,00	4	
	25,0%	-	-	4592	-	3.88[V]	EFF	Min	9.646	91.936	0,000	608,00	4	454.351
			4926					Max	17.802	181.453	0,000	1.200,00	4	
			-	-	-	-	EFF	Min	9.646	91.936	0,000	608,00	4	454.351
			6300					Max	17.802	181.453	0,000	1.200,00	4	

Travi (AC) - Verifiche a pressoflessione deviata

Id _{Tr}	%L _{L1}	N _{Ed}	V _{Ed}	M _{Ed,3}	M _{Ed,2}	CS	Tp Vr	max/m in	M _{c,Rd}	V _{c,Rd}	ρ	A _v	t _w	N _{pl,Rd}
	[%]	[N]	[N]	[N·m]	[N·m]				[N·m]	[N]		[cm²]	[mm]	[N]
	50,0%	-	-	2128	-	8.37[V]	EFF	Max	17.802	181.453	0,000	1.200,0 0	4	454.351
			3357					Min	9.646	91.936	0,000	608,00	4	
	75,0%	-	-	597	-	29.82[V]	EFF	Max	17.802	181.453	0,000	1.200,0 0	4	454.351
			1787					Min	9.646	91.936	0,000	608,00	4	
	100%	-	-	-	-	-	EFF	Max	17.802	181.453	0,000	1.200,0 0	4	454.351
			-					Min	9.646	91.936	0,000	608,00	4	
Trave Acciaio 31a-32a	0%	-	-	7982	-	2.23[V]	EFF	Max	17.802	181.453	0,000	1.200,0 0	4	454.351
			6300					Min	9.646	91.936	0,000	608,00	4	
	25,0%	-	-	4592	-	3.88[V]	EFF	Max	17.802	181.453	0,000	1.200,0 0	4	454.351
			4926					Min	9.646	91.936	0,000	608,00	4	
	50,0%	-	-	2128	-	8.37[V]	EFF	Max	17.802	181.453	0,000	1.200,0 0	4	454.351

Travi (AC) - Verifiche a pressoflessione deviata

Id _{Tr}	%L _{L1}	N _{Ed}	V _{Ed}	M _{Ed,3}	M _{Ed,2}	CS	Tp Vr	max/m in	M _{c,Rd}	V _{c,Rd}	ρ	A _v	t _w	N _{pl,Rd}
	[%]	[N]	[N]	[N·m]	[N·m]				[N·m]	[N]		[cm²]	[mm]	[N]
	75,0%	-	3357	597	-	29.82[V]	EFF	Min	9.646	91.936	0,000	608,00	4	454.351
			-					Max	17.802	181.453	0,000	1.200,00	4	
			1787					Min	9.646	91.936	0,000	608,00	4	
	100%	-	-	-	-	-	EFF	Max	17.802	181.453	0,000	1.200,00	4	454.351
			-					Min	9.646	91.936	0,000	608,00	4	
Trave Acciaio 34a-35a	0%	-	-	7982	-	2.23[V]	EFF	Max	17.802	181.453	0,000	1.200,00	4	454.351
			6300					Min	9.646	91.936	0,000	608,00	4	
	25,0%	-	-	4592	-	3.88[V]	EFF	Max	17.802	181.453	0,000	1.200,00	4	454.351
			4926					Min	9.646	91.936	0,000	608,00	4	
	50,0%	-	-	2128	-	8.37[V]	EFF	Max	17.802	181.453	0,000	1.200,00	4	454.351
			3357					Min	9.646	91.936	0,000	608,00	4	

Travi (AC) - Verifiche a pressoflessione deviata

Id _{Tr}	%L _{L1}	N _{Ed}	V _{Ed}	M _{Ed,3}	M _{Ed,2}	CS	Tp Vr	max/m in	M _{c,Rd}	V _{c,Rd}	ρ	A _v	t _w	N _{pl,Rd}
	[%]	[N]	[N]	[N·m]	[N·m]				[N·m]	[N]		[cm²]	[mm]	[N]
	75,0%	-	-	597	-	29.82[V]	EFF	Max	17.802	181.453	0,000	1.200,0 0	4	454.351
			1787					Min	9.646	91.936	0,000	608,00	4	
	100%	-	-	-	-	-	EFF	Max	17.802	181.453	0,000	1.200,0 0	4	454.351
			-					Min	9.646	91.936	0,000	608,00	4	
Trave Acciaio 37a-38a	0%	-	-	7982	-	2.23[V]	EFF	Max	17.802	181.453	0,000	1.200,0 0	4	454.351
			6300					Min	9.646	91.936	0,000	608,00	4	
	25,0%	-	-	4592	-	3.88[V]	EFF	Max	17.802	181.453	0,000	1.200,0 0	4	454.351
			4926					Min	9.646	91.936	0,000	608,00	4	
	50,0%	-	-	2128	-	8.37[V]	EFF	Max	17.802	181.453	0,000	1.200,0 0	4	454.351
			3357					Min	9.646	91.936	0,000	608,00	4	
	75,0%	-	-	597	-	29.82[V]	EFF	Max	17.802	181.453	0,000	1.200,0 0	4	454.351

Travi (AC) - Verifiche a pressoflessione deviata

Id _{Tr}	%L _{L1}	N _{Ed}	V _{Ed}	M _{Ed,3}	M _{Ed,2}	CS	Tp Vr	max/m in	M _{c,Rd}	V _{c,Rd}	ρ	A _v	t _w	N _{pl,Rd}
	[%]	[N]	[N]	[N·m]	[N·m]				[N·m]	[N]		[cm²]	[mm]	[N]
			1787					Min	9.646	91.936	0,000	608,00	4	
	100%	-	-	-	-	-	EFF	Max	17.802	181.453	0,000	1.200,0 0	4	454.351
			-					Min	9.646	91.936	0,000	608,00	4	
Trave Acciaio 40a-41a	0%	-	-	7982	-	2.23[V]	EFF	Max	17.802	181.453	0,000	1.200,0 0	4	454.351
			6300					Min	9.646	91.936	0,000	608,00	4	
	25,0%	-	-	4592	-	3.88[V]	EFF	Max	17.802	181.453	0,000	1.200,0 0	4	454.351
			4926					Min	9.646	91.936	0,000	608,00	4	
	50,0%	-	-	2128	-	8.37[V]	EFF	Max	17.802	181.453	0,000	1.200,0 0	4	454.351
			3357					Min	9.646	91.936	0,000	608,00	4	
	75,0%	-	-	597	-	29.82[V]	EFF	Max	17.802	181.453	0,000	1.200,0 0	4	454.351
			1787					Min	9.646	91.936	0,000	608,00	4	

Travi (AC) - Verifiche a pressoflessione deviata

Id _{Tr}	%L _{L1}	N _{Ed}	V _{Ed}	M _{Ed,3}	M _{Ed,2}	CS	Tp Vr	max/m in	M _{c,Rd}	V _{c,Rd}	ρ	A _v	t _w	N _{pl,Rd}
	[%]	[N]	[N]	[N·m]	[N·m]				[N·m]	[N]		[cm ²]	[mm]	[N]
	100%	-	-	-	-	-	EFF	Max	17.802	181.453	0,000	1.200,0 0	4	454.351
			-					Min	9.646	91.936	0,000	608,00	4	
Trave Acciaio 43a-44a	0%	-	-	7982	-	2.23[V]	EFF	Max	17.802	181.453	0,000	1.200,0 0	4	454.351
			6300					Min	9.646	91.936	0,000	608,00	4	
	25,0%	-	-	4592	-	3.88[V]	EFF	Max	17.802	181.453	0,000	1.200,0 0	4	454.351
			4926					Min	9.646	91.936	0,000	608,00	4	
	50,0%	-	-	2128	-	8.37[V]	EFF	Max	17.802	181.453	0,000	1.200,0 0	4	454.351
			3357					Min	9.646	91.936	0,000	608,00	4	
	75,0%	-	-	597	-	29.82[V]	EFF	Max	17.802	181.453	0,000	1.200,0 0	4	454.351
			1787					Min	9.646	91.936	0,000	608,00	4	
	100%	-	-	-	-	-	EFF	Max	17.802	181.453	0,000	1.200,0 0	4	454.351

Travi (AC) - Verifiche a pressoflessione deviata

Id _{Tr}	%L _{L1}	N _{Ed}	V _{Ed}	M _{Ed,3}	M _{Ed,2}	CS	Tp Vr	max/m in	M _{c,Rd}	V _{c,Rd}	ρ	A _v	t _w	N _{pl,Rd}
	[%]	[N]	[N]	[N·m]	[N·m]				[N·m]	[N]		[cm²]	[mm]	[N]
			-					Min	9.646	91.936	0,000	608,00	4	
Trave Acciaio 46a-47a	0%	-	-	7982	-	2.23[V]	EFF	Max	17.802	181.453	0,000	1.200,00	4	454.351
			6300					Min	9.646	91.936	0,000	608,00	4	
	25,0%	-	-	4592	-	3.88[V]	EFF	Max	17.802	181.453	0,000	1.200,00	4	454.351
			4926					Min	9.646	91.936	0,000	608,00	4	
	50,0%	-	-	2128	-	8.37[V]	EFF	Max	17.802	181.453	0,000	1.200,00	4	454.351
			3357					Min	9.646	91.936	0,000	608,00	4	
	75,0%	-	-	597	-	29.82[V]	EFF	Max	17.802	181.453	0,000	1.200,00	4	454.351
			1787					Min	9.646	91.936	0,000	608,00	4	
	100%	-	-	-	-	-	EFF	Max	17.802	181.453	0,000	1.200,00	4	454.351
			-					Min	9.646	91.936	0,000	608,00	4	

Travi (AC) - Verifiche a pressoflessione deviata

Id _{Tr}	%L _{L1}	N _{Ed}	V _{Ed}	M _{Ed,3}	M _{Ed,2}	CS	Tp Vr	max/m in	M _{c,Rd}	V _{c,Rd}	ρ	A _v	t _w	N _{pl,Rd}
	[%]	[N]	[N]	[N·m]	[N·m]				[N·m]	[N]		[cm²]	[mm]	[N]
Trave Acciaio 49a-50a	0%	-	-	7982	-	2.23[V]	EFF	Max	17.802	181.453	0,000	1.200,0 0	4	454.351
			6300					Min	9.646	91.936	0,000	608,00	4	
	25,0%	-	-	4592	-	3.88[V]	EFF	Max	17.802	181.453	0,000	1.200,0 0	4	454.351
			4926					Min	9.646	91.936	0,000	608,00	4	
	50,0%	-	-	2128	-	8.37[V]	EFF	Max	17.802	181.453	0,000	1.200,0 0	4	454.351
			3357					Min	9.646	91.936	0,000	608,00	4	
	75,0%	-	-	597	-	29.82[V]	EFF	Max	17.802	181.453	0,000	1.200,0 0	4	454.351
			1787					Min	9.646	91.936	0,000	608,00	4	
	100%	-	-	-	-	-	EFF	Max	17.802	181.453	0,000	1.200,0 0	4	454.351
			-					Min	9.646	91.936	0,000	608,00	4	
Trave Acciaio 52a-53a	0%	-	-	7982	-	2.23[V]	EFF	Max	17.802	181.453	0,000	1.200,0 0	4	454.351

Travi (AC) - Verifiche a pressoflessione deviata

Id _{Tr}	%L _{L1}	N _{Ed}	V _{Ed}	M _{Ed,3}	M _{Ed,2}	CS	Tp Vr	max/m in	M _{c,Rd}	V _{c,Rd}	ρ	A _v	t _w	N _{pl,Rd}
	[%]	[N]	[N]	[N·m]	[N·m]				[N·m]	[N]		[cm²]	[mm]	[N]
			6300					Min	9.646	91.936	0,000	608,00	4	
			-					EFF Max	17.802	181.453	0,000	1.200,00	4	
	25,0%	-	4926	4592	-	3.88[V]		Min	9.646	91.936	0,000	608,00	4	454.351
			-					EFF Max	17.802	181.453	0,000	1.200,00	4	
	50,0%	-	3357	2128	-	8.37[V]		Min	9.646	91.936	0,000	608,00	4	454.351
			-					EFF Max	17.802	181.453	0,000	1.200,00	4	
	75,0%	-	1787	597	-	29.82[V]		Min	9.646	91.936	0,000	608,00	4	454.351
			-					EFF Max	17.802	181.453	0,000	1.200,00	4	
	100%	-	-	-	-	-		Min	9.646	91.936	0,000	608,00	4	454.351
			-					EFF Max	17.802	181.453	0,000	1.200,00	4	
	0%	-	6300	7982	-	2.23[V]		Min	9.646	91.936	0,000	608,00	4	454.351
			-					EFF Max	17.802	181.453	0,000	1.200,00	4	

Travi (AC) - Verifiche a pressoflessione deviata

Id _{Tr}	%L _{L1}	N _{Ed}	V _{Ed}	M _{Ed,3}	M _{Ed,2}	CS	Tp Vr	max/m in	M _{c,Rd}	V _{c,Rd}	ρ	A _v	t _w	N _{pl,Rd}
	[%]	[N]	[N]	[N·m]	[N·m]				[N·m]	[N]		[cm²]	[mm]	[N]
	25,0%	-	-	4592	-	3.88[V]	EFF	Max	17.802	181.453	0,000	1.200,0 0	4	454.351
			4926					Min	9.646	91.936	0,000	608,00	4	
	50,0%	-	-	2128	-	8.37[V]	EFF	Max	17.802	181.453	0,000	1.200,0 0	4	454.351
			3357					Min	9.646	91.936	0,000	608,00	4	
	75,0%	-	-	597	-	29.82[V]	EFF	Max	17.802	181.453	0,000	1.200,0 0	4	454.351
			1787					Min	9.646	91.936	0,000	608,00	4	
	100%	-	-	-	-	-	EFF	Max	17.802	181.453	0,000	1.200,0 0	4	454.351
			-					Min	9.646	91.936	0,000	608,00	4	
Trave Acciaio 58a-59a	0%	-	-	7982	-	2.23[V]	EFF	Max	17.802	181.453	0,000	1.200,0 0	4	454.351
			6300					Min	9.646	91.936	0,000	608,00	4	
	25,0%	-	-	4592	-	3.88[V]	EFF	Max	17.802	181.453	0,000	1.200,0 0	4	454.351

Travi (AC) - Verifiche a pressoflessione deviata

Id _{Tr}	%L _{L1}	N _{Ed}	V _{Ed}	M _{Ed,3}	M _{Ed,2}	CS	Tp Vr	max/m in	M _{c,Rd}	V _{c,Rd}	ρ	A _v	t _w	N _{pl,Rd}
	[%]	[N]	[N]	[N·m]	[N·m]				[N·m]	[N]		[cm²]	[mm]	[N]
			4926	2128	-	8.37[V]	EFF	Min	9.646	91.936	0,000	608,00	4	
			-					Max	17.802	181.453	0,000	1.200,00	4	
	50,0%	-	3357	597	-	29.82[V]	EFF	Min	9.646	91.936	0,000	608,00	4	454.351
			-					Max	17.802	181.453	0,000	1.200,00	4	
	75,0%	-	1787	-	-	-	EFF	Min	9.646	91.936	0,000	608,00	4	454.351
			-					Max	17.802	181.453	0,000	1.200,00	4	
	100%	-	-	-	-	-	EFF	Min	9.646	91.936	0,000	608,00	4	454.351
			-					Max	17.802	181.453	0,000	1.200,00	4	
Trave Acciaio 61a-62a	0%	-	6300	7982	-	2.23[V]	EFF	Min	9.646	91.936	0,000	608,00	4	454.351
			-					Max	17.802	181.453	0,000	1.200,00	4	
	25,0%	-	4926	4592	-	3.88[V]	EFF	Min	9.646	91.936	0,000	608,00	4	454.351
			-					Max	17.802	181.453	0,000	1.200,00	4	

Travi (AC) - Verifiche a pressoflessione deviata

Id _{Tr}	%L _{L1}	N _{Ed}	V _{Ed}	M _{Ed,3}	M _{Ed,2}	CS	Tp Vr	max/m in	M _{c,Rd}	V _{c,Rd}	ρ	A _v	t _w	N _{pl,Rd}
	[%]	[N]	[N]	[N·m]	[N·m]				[N·m]	[N]		[cm²]	[mm]	[N]
	50,0%	-	-	2128	-	8.37[V]	EFF	Max	17.802	181.453	0,000	1.200,0 0	4	454.351
			3357					Min	9.646	91.936	0,000	608,00	4	
	75,0%	-	-	597	-	29.82[V]	EFF	Max	17.802	181.453	0,000	1.200,0 0	4	454.351
			1787					Min	9.646	91.936	0,000	608,00	4	
	100%	-	-	-	-	-	EFF	Max	17.802	181.453	0,000	1.200,0 0	4	454.351
			-					Min	9.646	91.936	0,000	608,00	4	
Trave Acciaio 64a-65a	0%	-	-	7982	-	2.23[V]	EFF	Max	17.802	181.453	0,000	1.200,0 0	4	454.351
			6300					Min	9.646	91.936	0,000	608,00	4	
	25,0%	-	-	4592	-	3.88[V]	EFF	Max	17.802	181.453	0,000	1.200,0 0	4	454.351
			4926					Min	9.646	91.936	0,000	608,00	4	
	50,0%	-	-	2128	-	8.37[V]	EFF	Max	17.802	181.453	0,000	1.200,0 0	4	454.351

Travi (AC) - Verifiche a pressoflessione deviata

Id _{Tr}	%L _{L1}	N _{Ed}	V _{Ed}	M _{Ed,3}	M _{Ed,2}	CS	Tp Vr	max/m in	M _{c,Rd}	V _{c,Rd}	ρ	A _v	t _w	N _{pl,Rd}
	[%]	[N]	[N]	[N·m]	[N·m]				[N·m]	[N]		[cm²]	[mm]	[N]
	75,0%	-	3357	597	-	29.82[V]	EFF	Min	9.646	91.936	0,000	608,00	4	454.351
			-					Max	17.802	181.453	0,000	1.200,00	4	
			1787					Min	9.646	91.936	0,000	608,00	4	
	100%	-	-	-	-	-	EFF	Max	17.802	181.453	0,000	1.200,00	4	454.351
			-					Min	9.646	91.936	0,000	608,00	4	
			-					Min	9.646	91.936	0,000	608,00	4	
Trave Acciaio 67a-68a	0%	-	-	7982	-	2.23[V]	EFF	Max	17.802	181.453	0,000	1.200,00	4	454.351
			6300					Min	9.646	91.936	0,000	608,00	4	
	25,0%	-	-	4592	-	3.88[V]	EFF	Max	17.802	181.453	0,000	1.200,00	4	454.351
			4926					Min	9.646	91.936	0,000	608,00	4	
	50,0%	-	-	2128	-	8.37[V]	EFF	Max	17.802	181.453	0,000	1.200,00	4	454.351
			3357					Min	9.646	91.936	0,000	608,00	4	

Travi (AC) - Verifiche a pressoflessione deviata

Id _{Tr}	%L _{L1}	N _{Ed}	V _{Ed}	M _{Ed,3}	M _{Ed,2}	CS	Tp Vr	max/m in	M _{c,Rd}	V _{c,Rd}	ρ	A _v	t _w	N _{pl,Rd}
	[%]	[N]	[N]	[N·m]	[N·m]				[N·m]	[N]		[cm²]	[mm]	[N]
	75,0%	-	-	597	-	29.82[V]	EFF	Max	17.802	181.453	0,000	1.200,0 0	4	454.351
			1787					Min	9.646	91.936	0,000	608,00	4	
	100%	-	-	-	-	-	EFF	Max	17.802	181.453	0,000	1.200,0 0	4	454.351
			-					Min	9.646	91.936	0,000	608,00	4	
Trave Acciaio 70a-71a	0%	-	-	7982	-	2.23[V]	EFF	Max	17.802	181.453	0,000	1.200,0 0	4	454.351
			6300					Min	9.646	91.936	0,000	608,00	4	
	25,0%	-	-	4592	-	3.88[V]	EFF	Max	17.802	181.453	0,000	1.200,0 0	4	454.351
			4926					Min	9.646	91.936	0,000	608,00	4	
	50,0%	-	-	2128	-	8.37[V]	EFF	Max	17.802	181.453	0,000	1.200,0 0	4	454.351
			3357					Min	9.646	91.936	0,000	608,00	4	
	75,0%	-	-	597	-	29.82[V]	EFF	Max	17.802	181.453	0,000	1.200,0 0	4	454.351

Travi (AC) - Verifiche a pressoflessione deviata

Id _{Tr}	%L _{L1}	N _{Ed}	V _{Ed}	M _{Ed,3}	M _{Ed,2}	CS	Tp Vr	max/m in	M _{c,Rd}	V _{c,Rd}	ρ	A _v	t _w	N _{pl,Rd}
	[%]	[N]	[N]	[N·m]	[N·m]				[N·m]	[N]		[cm²]	[mm]	[N]
			1787					Min	9.646	91.936	0,000	608,00	4	
	100%	-	-	-	-	-	EFF	Max	17.802	181.453	0,000	1.200,0 0	4	454.351
			-					Min	9.646	91.936	0,000	608,00	4	
Trave Acciaio 73a-74a	0%	-	-	7982	-	2.23[V]	EFF	Max	17.802	181.453	0,000	1.200,0 0	4	454.351
			6300					Min	9.646	91.936	0,000	608,00	4	
	25,0%	-	-	4592	-	3.88[V]	EFF	Max	17.802	181.453	0,000	1.200,0 0	4	454.351
			4926					Min	9.646	91.936	0,000	608,00	4	
	50,0%	-	-	2128	-	8.37[V]	EFF	Max	17.802	181.453	0,000	1.200,0 0	4	454.351
			3357					Min	9.646	91.936	0,000	608,00	4	
	75,0%	-	-	597	-	29.82[V]	EFF	Max	17.802	181.453	0,000	1.200,0 0	4	454.351
			1787					Min	9.646	91.936	0,000	608,00	4	

Travi (AC) - Verifiche a pressoflessione deviata

Id _{Tr}	%L _{L1}	N _{Ed}	V _{Ed}	M _{Ed,3}	M _{Ed,2}	CS	Tp Vr	max/m in	M _{c,Rd}	V _{c,Rd}	ρ	A _v	t _w	N _{pl,Rd}
	[%]	[N]	[N]	[N·m]	[N·m]				[N·m]	[N]		[cm ²]	[mm]	[N]
	100%	-	-	-	-	-	EFF	Max	17.802	181.453	0,000	1.200,0 0	4	454.351
			-					Min	9.646	91.936	0,000	608,00	4	
Trave Acciaio 76a-77a	0%	-	-	7982	-	2.23[V]	EFF	Max	17.802	181.453	0,000	1.200,0 0	4	454.351
			6300					Min	9.646	91.936	0,000	608,00	4	
	25,0%	-	-	4592	-	3.88[V]	EFF	Max	17.802	181.453	0,000	1.200,0 0	4	454.351
			4926					Min	9.646	91.936	0,000	608,00	4	
	50,0%	-	-	2128	-	8.37[V]	EFF	Max	17.802	181.453	0,000	1.200,0 0	4	454.351
			3357					Min	9.646	91.936	0,000	608,00	4	
	75,0%	-	-	597	-	29.82[V]	EFF	Max	17.802	181.453	0,000	1.200,0 0	4	454.351
			1787					Min	9.646	91.936	0,000	608,00	4	
	100%	-	-	-	-	-	EFF	Max	17.802	181.453	0,000	1.200,0 0	4	454.351

Travi (AC) - Verifiche a pressoflessione deviata

Id _{Tr}	%L _{L1}	N _{Ed}	V _{Ed}	M _{Ed,3}	M _{Ed,2}	CS	Tp Vr	max/m in	M _{c,Rd}	V _{c,Rd}	ρ	A _v	t _w	N _{pl,Rd}
	[%]	[N]	[N]	[N·m]	[N·m]				[N·m]	[N]		[cm²]	[mm]	[N]
			-					Min	9.646	91.936	0,000	608,00	4	
Trave Acciaio 79a-80a	0%	-	-	7982	-	2.23[V]	EFF	Max	17.802	181.453	0,000	1.200,00	4	454.351
			6300					Min	9.646	91.936	0,000	608,00	4	
	25,0%	-	-	4592	-	3.88[V]	EFF	Max	17.802	181.453	0,000	1.200,00	4	454.351
			4926					Min	9.646	91.936	0,000	608,00	4	
	50,0%	-	-	2128	-	8.37[V]	EFF	Max	17.802	181.453	0,000	1.200,00	4	454.351
			3357					Min	9.646	91.936	0,000	608,00	4	
	75,0%	-	-	597	-	29.82[V]	EFF	Max	17.802	181.453	0,000	1.200,00	4	454.351
			1787					Min	9.646	91.936	0,000	608,00	4	
	100%	-	-	-	-	-	EFF	Max	17.802	181.453	0,000	1.200,00	4	454.351
			-					Min	9.646	91.936	0,000	608,00	4	

Travi (AC) - Verifiche a pressoflessione deviata

Id _{Tr}	%L _{L1}	N _{Ed}	V _{Ed}	M _{Ed,3}	M _{Ed,2}	CS	Tp Vr	max/m in	M _{c,Rd}	V _{c,Rd}	ρ	A _v	t _w	N _{pl,Rd}
	[%]	[N]	[N]	[N·m]	[N·m]				[N·m]	[N]		[cm ²]	[mm]	[N]
Trave Acciaio 10-82a	0%	-	-	7982	-	2.23[V]	EFF	Max	17.802	181.453	0,000	1.200,0 0	4	454.351
			6300					Min	9.646	91.936	0,000	608,00	4	
	25,0%	-	-	4592	-	3.88[V]	EFF	Max	17.802	181.453	0,000	1.200,0 0	4	454.351
			4926					Min	9.646	91.936	0,000	608,00	4	
	50,0%	-	-	2128	-	8.37[V]	EFF	Max	17.802	181.453	0,000	1.200,0 0	4	454.351
			3357					Min	9.646	91.936	0,000	608,00	4	
	75,0%	-	-	597	-	29.82[V]	EFF	Max	17.802	181.453	0,000	1.200,0 0	4	454.351
			1787					Min	9.646	91.936	0,000	608,00	4	
	100%	-	-	-	-	-	EFF	Max	17.802	181.453	0,000	1.200,0 0	4	454.351
			-					Min	9.646	91.936	0,000	608,00	4	
Trave Acciaio 84a-85a	0%	-	-	4270	-	4.17[V]	EFF	Max	17.802	181.453	0,000	1.200,0 0	4	454.351

Travi (AC) - Verifiche a pressoflessione deviata

Id_{Tr}	%L_{L1}	N_{Ed}	V_{Ed}	M_{Ed,3}	M_{Ed,2}	CS	Tp Vr	max/m in	M_{c,Rd}	V_{c,Rd}	ρ	A_v	t_w	N_{pl,Rd}
	[%]	[N]	[N]	[N·m]	[N·m]				[N·m]	[N]		[cm²]	[mm]	[N]
	25,0%	-	3385	2453	-	7.26[V]	EFF	Min	9.646	91.936	0,000	608,00	4	454.351
			-					Max	17.802	181.453	0,000	1.200,00	4	
			2639	1134	-	15.70[V]	EFF	Min	9.646	91.936	0,000	608,00	4	454.351
			-					Max	17.802	181.453	0,000	1.200,00	4	
			1796	316	-	56.33[V]	EFF	Min	9.646	91.936	0,000	608,00	4	454.351
			-					Max	17.802	181.453	0,000	1.200,00	4	
	75,0%	-	952	-	-	-	EFF	Min	9.646	91.936	0,000	608,00	4	454.351
			-					Max	17.802	181.453	0,000	1.200,00	4	
	100%	-	-	-	-	-	EFF	Min	9.646	91.936	0,000	608,00	4	454.351
			-					Max	17.802	181.453	0,000	1.200,00	4	

LEGENDA:

Id_{Tr} Identificativo della trave. L'eventuale lettera tra parentesi distingue i diversi tratti della travata al livello considerato.

Travi (AC) - Verifiche a pressoflessione deviata

Id _{Tr}	%L _{L1}	N _{Ed}	V _{Ed}	M _{Ed,3}	M _{Ed,2}	CS	Tp Vr	max/m in	M _{c,Rd}	V _{c,Rd}	ρ	A _v	t _w	N _{pl,Rd}
	[%]	[N]	[N]	[N·m]	[N·m]				[N·m]	[N]		[cm ²]	[mm]	[N]

%L_{L1}	Posizione della sezione per la quale vengono forniti i valori di verifica, valutata come % della lunghezza libera d'inflessione (L _{L1}), a partire dall'estremo iniziale.
N_{Ed}	Sforzo normale di progetto.
V_{Ed}	Taglio di progetto utilizzato per il calcolo di ρ .
M_{Ed,3}	Momento flettente di progetto intorno a 3.
M_{Ed,2}	Momento flettente di progetto intorno a 2.
CS	Coefficiente di sicurezza ([NS] = Non Significativo se CS ≥ 100; [VNR]= Verifica Non Richiesta; Informazioni aggiuntive sulla condizione: [V] = statica; [E] = eccezionale; [S] = sismica; [N] = sismica non lineare).
Tp Vr	Tipo di verifica considerata: "PLS" = con Modulo di resistenza plastico; "ELA" = con modulo di resistenza elastico; "EFF" = con modulo di resistenza efficace.
M_{c,Rd}	Momento resistente.
V_{c,Rd}	Taglio resistente.
ρ	Coefficiente riduttivo per presenza di taglio.
A_v	Area resistente a taglio.
t_w	Spessore Anima.
N_{pl,Rd}	Resistenza plastica a Sforzo Normale.

TRAVI (AC) - VERIFICHE A TAGLIO (Elevazione) per pressoflessione deviata

Travi (AC) - Verifiche a taglio

Id _{Tr}	%L _{LI}	CS	A _v	τ _{T,Ed}	V _{Ed}	V _{c,Rd}	P. Vrf.
	[%]		[mm ²]	[N/mm ²]	[N]	[N]	
Piano Terra					Piano Terra		
Trave Acciaio 10-84a	0%	30,40	1.535	0,00	7.635	232.109	Piano XX
	25,0%	31,23	1.535	0,00	7.432	232.109	Piano XX
	50,0%	32,23	1.535	0,00	7.202	232.109	Piano XX
	75,0%	33,29	1.535	0,00	6.972	232.109	Piano XX
	100,0%	34,29	1.535	0,00	6.769	232.109	Piano XX
Trave Acciaio 2a-3a	0%	53,61	1.200	0,00	3.385	181.453	Piano XX
	25,0%	68,76	1.200	0,00	2.639	181.453	Piano XX
	50,0%	NS	1.200	0,00	1.796	181.453	Piano XX
	75,0%	NS	1.200	0,00	952	181.453	Piano XX
	100%	NS	1.200	0,00	140	181.453	Piano XX
Trave Acciaio 1-5a	0%	28,80	1.200	0,00	6.300	181.453	Piano XX

Travi (AC) - Verifiche a taglio

Id _{Tr}	%L _{Lt}	CS	A _v	τ _{T,Ed}	V _{Ed}	V _{c,Rd}	P. Vrf.
	[%]		[mm ²]	[N/mm ²]	[N]	[N]	
Trave Acciaio 2a-1	25,0%	36,84	1.200	0,00	4.926	181.453	Piano XX
	50,0%	54,05	1.200	0,00	3.357	181.453	Piano XX
	75,0%	NS	1.200	0,00	1.787	181.453	Piano XX
	100,0%	NS	1.200	0,00	280	181.453	Piano XX
	0%	34,28	1.535	0,00	-6.771	232.109	Piano XX
	25,0%	33,28	1.535	0,00	-6.974	232.109	Piano XX
	50,0%	32,22	1.535	0,00	-7.204	232.109	Piano XX
	75,0%	31,22	1.535	0,00	-7.434	232.109	Piano XX
	100,0%	30,39	1.535	0,00	-7.637	232.109	Piano XX
	0%	24,32	1.535	0,00	-9.543	232.109	Piano XX
Trave Acciaio 79a-10	25,0%	23,82	1.535	0,00	-9.746	232.109	Piano XX
	50,0%	23,26	1.535	0,00	-9.977	232.109	Piano XX
	75,0%	22,74	1.535	0,00	-10.207	232.109	Piano XX
	100,0%	22,30	1.535	0,00	-10.410	232.109	Piano XX

Travi (AC) - Verifiche a taglio

Id _{Tr}	%L _{Lt}	CS	A _v	τ _{T,Ed}	V _{Ed}	V _{c,Rd}	P. Vrf.
	[%]		[mm ²]	[N/mm ²]	[N]	[N]	
Trave Acciaio 55a-7	0%	11,74	1.535	0,00	-19.764	232.109	Piano XX
	25,1%	11,69	1.535	0,00	-19.852	232.109	Piano XX
	50,0%	11,62	1.535	0,00	-19.967	232.109	Piano XX
	75,1%	11,56	1.535	0,00	-20.082	232.109	Piano XX
	100,0%	11,49	1.535	0,00	-20.197	232.109	Piano XX
Trave Acciaio 46a-6	0%	11,74	1.535	0,00	-19.767	232.109	Piano XX
	25,1%	11,69	1.535	0,00	-19.855	232.109	Piano XX
	50,0%	11,62	1.535	0,00	-19.970	232.109	Piano XX
	75,1%	11,56	1.535	0,00	-20.085	232.109	Piano XX
	100,0%	11,49	1.535	0,00	-20.200	232.109	Piano XX
Trave Acciaio 10a-2	0%	14,10	1.535	0,16	-16.449	231.866	Piano XX
	25,1%	14,02	1.535	0,16	-16.537	231.866	Piano XX
	50,0%	13,92	1.535	0,16	-16.655	231.866	Piano XX
	75,0%	13,82	1.535	0,16	-16.773	231.866	Piano XX

Travi (AC) - Verifiche a taglio

Id _{Tr}	%L _{Li}	CS	A _v	τ _{T,Ed}	V _{Ed}	V _{c,Rd}	P. Vrf.
	[%]		[mm ²]	[N/mm ²]	[N]	[N]	
Trave Acciaio 28a-4	99,9%	13,73	1.535	0,16	-16.891	231.866	Piano XX
	0%	11,75	1.535	0,00	-19.755	232.109	Piano XX
	25,1%	11,70	1.535	0,00	-19.843	232.109	Piano XX
	50,0%	11,63	1.535	0,00	-19.958	232.109	Piano XX
	75,1%	11,56	1.535	0,00	-20.073	232.109	Piano XX
	100,0%	11,50	1.535	0,00	-20.188	232.109	Piano XX
Trave Acciaio 64a-8	0%	11,74	1.535	0,00	-19.778	232.109	Piano XX
	25,1%	11,68	1.535	0,00	-19.866	232.109	Piano XX
	50,0%	11,62	1.535	0,00	-19.981	232.109	Piano XX
	75,1%	11,55	1.535	0,00	-20.096	232.109	Piano XX
	100,0%	11,48	1.535	0,00	-20.212	232.109	Piano XX
Trave Acciaio 19a-3	0%	11,61	1.535	0,04	-19.986	232.051	Piano XX
	25,1%	11,56	1.535	0,04	-20.074	232.051	Piano XX
	50,0%	11,49	1.535	0,04	-20.189	232.051	Piano XX

Travi (AC) - Verifiche a taglio

Id _{Tr}	%L _{Li}	CS	A _v	τ _{T,Ed}	V _{Ed}	V _{c,Rd}	P. Vrf.
	[%]		[mm ²]	[N/mm ²]	[N]	[N]	
Trave Acciaio 37a-5	75,1%	11,43	1.535	0,04	-20.304	232.051	Piano XX
	100,0%	11,36	1.535	0,04	-20.419	232.051	Piano XX
	0%	11,74	1.535	0,00	-19.770	232.109	Piano XX
	25,1%	11,69	1.535	0,00	-19.858	232.109	Piano XX
	50,0%	11,62	1.535	0,00	-19.973	232.109	Piano XX
	75,1%	11,55	1.535	0,00	-20.088	232.109	Piano XX
Trave Acciaio 73a-9	100,0%	11,49	1.535	0,00	-20.203	232.109	Piano XX
	0%	11,87	1.535	0,00	-19.551	232.109	Piano XX
	25,1%	11,82	1.535	0,00	-19.639	232.109	Piano XX
	50,0%	11,75	1.535	0,00	-19.754	232.109	Piano XX
	75,1%	11,68	1.535	0,00	-19.869	232.109	Piano XX
	100,0%	11,61	1.535	0,00	-19.984	232.109	Piano XX
Trave Acciaio 1a-2a	0%	NS	1.200	0,00	-140	181.453	Piano XX
	25,0%	NS	1.200	0,00	-952	181.453	Piano XX

Travi (AC) - Verifiche a taglio

Id _{Tr}	%L _{Lt}	CS	A _v	τ _{T,Ed}	V _{Ed}	V _{c,Rd}	P. Vrf.
	[%]		[mm ²]	[N/mm ²]	[N]	[N]	
Trave Acciaio 4a-1	50,0%	NS	1.200	0,00	-1.796	181.453	Piano XX
	75,0%	68,76	1.200	0,00	-2.639	181.453	Piano XX
	100,0%	53,61	1.200	0,00	-3.385	181.453	Piano XX
	0%	NS	1.200	0,00	-280	181.453	Piano XX
	25,0%	NS	1.200	0,00	-1.787	181.453	Piano XX
	50,0%	54,05	1.200	0,00	-3.357	181.453	Piano XX
Trave Acciaio 7a-8a	75,0%	36,84	1.200	0,00	-4.926	181.453	Piano XX
	100%	28,80	1.200	0,00	-6.300	181.453	Piano XX
	0%	28,80	1.200	0,00	6.300	181.453	Piano XX
	25,0%	36,84	1.200	0,00	4.926	181.453	Piano XX
	50,0%	54,05	1.200	0,00	3.357	181.453	Piano XX
	75,0%	NS	1.200	0,00	1.787	181.453	Piano XX
Trave Acciaio 1-7a	100%	NS	1.200	0,00	280	181.453	Piano XX
	0%	22,26	1.535	0,18	10.414	231.834	Piano XX

Travi (AC) - Verifiche a taglio

Id _{Tr}	%L _{Lt}	CS	A _v	τ _{T,Ed}	V _{Ed}	V _{c,Rd}	P. Vrf.
	[%]		[mm ²]	[N/mm ²]	[N]	[N]	
Trave Acciaio 6a-7a	25,0%	22,70	1.535	0,18	10.211	231.834	Piano XX
	50,0%	23,23	1.535	0,18	9.980	231.834	Piano XX
	75,0%	23,78	1.535	0,18	9.750	231.834	Piano XX
	100,0%	24,28	1.535	0,18	9.547	231.834	Piano XX
	0%	NS	1.200	0,00	-277	181.453	Piano XX
	25,0%	NS	1.200	0,00	-1.771	181.453	Piano XX
	50,0%	54,52	1.200	0,00	-3.328	181.453	Piano XX
	75,0%	37,15	1.200	0,00	-4.885	181.453	Piano XX
	100,0%	29,04	1.200	0,00	-6.248	181.453	Piano XX
	0%	NS	1.200	0,00	-278	181.453	Piano XX
Trave Acciaio 9a-10a	25,0%	NS	1.200	0,00	-1.781	181.453	Piano XX
	50,0%	54,21	1.200	0,00	-3.347	181.453	Piano XX
	75,0%	36,93	1.200	0,00	-4.913	181.453	Piano XX
	100%	28,84	1.200	0,00	-6.292	181.453	Piano XX

Travi (AC) - Verifiche a taglio

Id_{Tr}	%L_{Lt}	CS	A_v	τ_{T,Ed}	V_{Ed}	V_{c,Rd}	P. Vrf.
	[%]		[mm ²]	[N/mm ²]	[N]	[N]	
Trave Acciaio 7a-10a	0%	77,32	1.535	0,10	-3.000	231.949	Piano XX
	25,0%	72,48	1.535	0,10	-3.200	231.949	Piano XX
	50,0%	67,68	1.535	0,10	-3.427	231.949	Piano XX
	75,0%	63,48	1.535	0,10	-3.654	231.949	Piano XX
	100%	60,15	1.535	0,10	-3.856	231.949	Piano XX
Trave Acciaio 12a-13a	0%	NS	1.200	0,00	-282	181.453	Piano XX
	25,0%	NS	1.200	0,00	-1.799	181.453	Piano XX
	50,0%	53,68	1.200	0,00	-3.380	181.453	Piano XX
	75,0%	36,58	1.200	0,00	-4.961	181.453	Piano XX
	100,0%	28,60	1.200	0,00	-6.345	181.453	Piano XX
Trave Acciaio 2-13a	0%	11,58	1.535	0,19	20.026	231.815	Piano XX
	25,1%	11,64	1.535	0,19	19.911	231.815	Piano XX
	50,0%	11,71	1.535	0,19	19.796	231.815	Piano XX
	75,1%	11,78	1.535	0,19	19.681	231.815	Piano XX

Travi (AC) - Verifiche a taglio

Id _{Tr}	%L _{Li}	CS	A _v	τ _{T,Ed}	V _{Ed}	V _{c,Rd}	P. Vrf.
	[%]		[mm ²]	[N/mm ²]	[N]	[N]	
Trave Acciaio 15a-16a	100,0%	11,83	1.535	0,19	19.593	231.815	Piano XX
	0%	NS	1.200	0,00	-280	181.453	Piano XX
	25,0%	NS	1.200	0,00	-1.787	181.453	Piano XX
	50,0%	54,05	1.200	0,00	-3.357	181.453	Piano XX
	75,0%	36,84	1.200	0,00	-4.926	181.453	Piano XX
	100,0%	28,80	1.200	0,00	-6.300	181.453	Piano XX
Trave Acciaio 13a-16a	0%	33,40	1.535	0,04	6.947	232.051	Piano XX
	25,0%	34,41	1.535	0,04	6.744	232.051	Piano XX
	50,0%	35,62	1.535	0,04	6.514	232.051	Piano XX
	75,0%	36,93	1.535	0,04	6.284	232.051	Piano XX
	100,0%	38,16	1.535	0,04	6.081	232.051	Piano XX
Trave Acciaio 18a-19a	0%	NS	1.200	0,00	-280	181.453	Piano XX
	25,0%	NS	1.200	0,00	-1.787	181.453	Piano XX
	50,0%	54,05	1.200	0,00	-3.357	181.453	Piano XX

Travi (AC) - Verifiche a taglio

Id _{Tr}	%L _{Lt}	CS	A _v	τ _{T,Ed}	V _{Ed}	V _{c,Rd}	P. Vrf.
	[%]		[mm ²]	[N/mm ²]	[N]	[N]	
Trave Acciaio 16a-19a	75,0%	36,84	1.200	0,00	-4.926	181.453	Piano XX
	100,0%	28,80	1.200	0,00	-6.300	181.453	Piano XX
	0%	35,60	1.535	0,04	-6.519	232.051	Piano XX
	25,0%	34,52	1.535	0,04	-6.722	232.051	Piano XX
	50,0%	33,38	1.535	0,04	-6.952	232.051	Piano XX
	75,0%	32,31	1.535	0,04	-7.183	232.051	Piano XX
Trave Acciaio 21a-22a	100,0%	31,42	1.535	0,04	-7.386	232.051	Piano XX
	0%	NS	1.200	0,00	-280	181.453	Piano XX
	25,0%	NS	1.200	0,00	-1.787	181.453	Piano XX
	50,0%	54,05	1.200	0,00	-3.357	181.453	Piano XX
	75,0%	36,84	1.200	0,00	-4.926	181.453	Piano XX
	100,0%	28,80	1.200	0,00	-6.300	181.453	Piano XX
Trave Acciaio 3-22a	0%	11,48	1.535	0,00	20.212	232.109	Piano XX
	25,1%	11,55	1.535	0,00	20.097	232.109	Piano XX

Travi (AC) - Verifiche a taglio

Id _{Tr}	%L _{Lt}	CS	A _v	τ _{T,Ed}	V _{Ed}	V _{c,Rd}	P. Vrf.
	[%]		[mm ²]	[N/mm ²]	[N]	[N]	
Trave Acciaio 24a-25a	50,0%	11,62	1.535	0,00	19.981	232.109	Piano XX
	75,1%	11,68	1.535	0,00	19.866	232.109	Piano XX
	100,0%	11,74	1.535	0,00	19.778	232.109	Piano XX
	0%	NS	1.200	0,00	-280	181.453	Piano XX
	25,0%	NS	1.200	0,00	-1.787	181.453	Piano XX
	50,0%	54,05	1.200	0,00	-3.357	181.453	Piano XX
	75,0%	36,84	1.200	0,00	-4.926	181.453	Piano XX
Trave Acciaio 22a-25a	100,0%	28,80	1.200	0,00	-6.300	181.453	Piano XX
	0%	32,34	1.535	0,00	7.178	232.109	Piano XX
	25,0%	33,28	1.535	0,00	6.975	232.109	Piano XX
	50,0%	34,41	1.535	0,00	6.745	232.109	Piano XX
	75,0%	35,63	1.535	0,00	6.515	232.109	Piano XX
Trave Acciaio 27a-28a	100,0%	36,77	1.535	0,00	6.312	232.109	Piano XX
	0%	NS	1.200	0,00	-280	181.453	Piano XX

Travi (AC) - Verifiche a taglio

Id _{Tr}	%L _{Li}	CS	A _v	τ _{T,Ed}	V _{Ed}	V _{c,Rd}	P. Vrf.
	[%]		[mm ²]	[N/mm ²]	[N]	[N]	
Trave Acciaio 25a-28a	25,0%	NS	1.200	0,00	-1.787	181.453	Piano XX
	50,0%	54,05	1.200	0,00	-3.357	181.453	Piano XX
	75,0%	36,84	1.200	0,00	-4.926	181.453	Piano XX
	100,0%	28,80	1.200	0,00	-6.300	181.453	Piano XX
	0%	36,91	1.535	0,00	-6.289	232.109	Piano XX
	25,0%	35,75	1.535	0,00	-6.492	232.109	Piano XX
	50,0%	34,53	1.535	0,00	-6.722	232.109	Piano XX
	75,0%	33,39	1.535	0,00	-6.952	232.109	Piano XX
	100,0%	32,44	1.535	0,00	-7.155	232.109	Piano XX
	0%	NS	1.200	0,00	-280	181.453	Piano XX
Trave Acciaio 30a-31a	25,0%	NS	1.200	0,00	-1.787	181.453	Piano XX
	50,0%	54,05	1.200	0,00	-3.357	181.453	Piano XX
	75,0%	36,84	1.200	0,00	-4.926	181.453	Piano XX
	100,0%	28,80	1.200	0,00	-6.300	181.453	Piano XX
	0%	NS	1.200	0,00	-280	181.453	Piano XX

Travi (AC) - Verifiche a taglio

Id _{Tr}	%L _{Lt}	CS	A _v	τ _{T,Ed}	V _{Ed}	V _{c,Rd}	P. Vrf.
	[%]		[mm ²]	[N/mm ²]	[N]	[N]	
Trave Acciaio 4-31a	0%	11,49	1.535	0,00	20.197	232.109	Piano XX
	25,1%	11,56	1.535	0,00	20.082	232.109	Piano XX
	50,0%	11,62	1.535	0,00	19.967	232.109	Piano XX
	75,1%	11,69	1.535	0,00	19.852	232.109	Piano XX
	100,0%	11,74	1.535	0,00	19.764	232.109	Piano XX
Trave Acciaio 33a-34a	0%	NS	1.200	0,00	-280	181.453	Piano XX
	25,0%	NS	1.200	0,00	-1.787	181.453	Piano XX
	50,0%	54,05	1.200	0,00	-3.357	181.453	Piano XX
	75,0%	36,84	1.200	0,00	-4.926	181.453	Piano XX
	100,0%	28,80	1.200	0,00	-6.300	181.453	Piano XX
Trave Acciaio 31a-34a	0%	32,40	1.535	0,00	7.164	232.109	Piano XX
	25,0%	33,34	1.535	0,00	6.961	232.109	Piano XX
	50,0%	34,48	1.535	0,00	6.731	232.109	Piano XX
	75,0%	35,71	1.535	0,00	6.500	232.109	Piano XX

Travi (AC) - Verifiche a taglio

Id _{Tr}	%L _{Lt}	CS	A _v	τ _{T,Ed}	V _{Ed}	V _{c,Rd}	P. Vrf.
	[%]		[mm ²]	[N/mm ²]	[N]	[N]	
Trave Acciaio 36a-37a	100,0%	36,86	1.535	0,00	6.297	232.109	Piano XX
	0%	NS	1.200	0,00	-280	181.453	Piano XX
	25,0%	NS	1.200	0,00	-1.787	181.453	Piano XX
	50,0%	54,05	1.200	0,00	-3.357	181.453	Piano XX
	75,0%	36,84	1.200	0,00	-4.926	181.453	Piano XX
	100,0%	28,80	1.200	0,00	-6.300	181.453	Piano XX
Trave Acciaio 34a-37a	0%	36,83	1.535	0,00	-6.303	232.109	Piano XX
	25,0%	35,68	1.535	0,00	-6.506	232.109	Piano XX
	50,0%	34,46	1.535	0,00	-6.736	232.109	Piano XX
	75,0%	33,32	1.535	0,00	-6.966	232.109	Piano XX
	100,0%	32,38	1.535	0,00	-7.169	232.109	Piano XX
Trave Acciaio 39a-40a	0%	NS	1.200	0,00	-280	181.453	Piano XX
	25,0%	NS	1.200	0,00	-1.787	181.453	Piano XX
	50,0%	54,05	1.200	0,00	-3.357	181.453	Piano XX

Travi (AC) - Verifiche a taglio

Id _{Tr}	%L _{Lt}	CS	A _v	τ _{T,Ed}	V _{Ed}	V _{c,Rd}	P. Vrf.
	[%]		[mm ²]	[N/mm ²]	[N]	[N]	
Trave Acciaio 5-40a	75,0%	36,84	1.200	0,00	-4.926	181.453	Piano XX
	100,0%	28,80	1.200	0,00	-6.300	181.453	Piano XX
	0%	11,49	1.535	0,00	20.200	232.109	Piano XX
	25,1%	11,56	1.535	0,00	20.085	232.109	Piano XX
	50,0%	11,62	1.535	0,00	19.970	232.109	Piano XX
	75,1%	11,69	1.535	0,00	19.855	232.109	Piano XX
Trave Acciaio 42a-43a	100,0%	11,74	1.535	0,00	19.767	232.109	Piano XX
	0%	NS	1.200	0,00	-280	181.453	Piano XX
	25,0%	NS	1.200	0,00	-1.787	181.453	Piano XX
	50,0%	54,05	1.200	0,00	-3.357	181.453	Piano XX
Trave Acciaio 40a-43a	75,0%	36,84	1.200	0,00	-4.926	181.453	Piano XX
	100,0%	28,80	1.200	0,00	-6.300	181.453	Piano XX
	0%	32,39	1.535	0,00	7.166	232.109	Piano XX
	25,0%	33,33	1.535	0,00	6.963	232.109	Piano XX

Travi (AC) - Verifiche a taglio

Id _{Tr}	%L _{Lt}	CS	A _v	τ _{T,Ed}	V _{Ed}	V _{c,Rd}	P. Vrf.
	[%]		[mm ²]	[N/mm ²]	[N]	[N]	
Trave Acciaio 45a-46a	50,0%	34,47	1.535	0,00	6.733	232.109	Piano XX
	75,0%	35,69	1.535	0,00	6.503	232.109	Piano XX
	100,0%	36,84	1.535	0,00	6.300	232.109	Piano XX
	0%	NS	1.200	0,00	-280	181.453	Piano XX
	25,0%	NS	1.200	0,00	-1.787	181.453	Piano XX
	50,0%	54,05	1.200	0,00	-3.357	181.453	Piano XX
Trave Acciaio 43a-46a	75,0%	36,84	1.200	0,00	-4.926	181.453	Piano XX
	100,0%	28,80	1.200	0,00	-6.300	181.453	Piano XX
	0%	36,84	1.535	0,00	-6.300	232.109	Piano XX
	25,0%	35,69	1.535	0,00	-6.503	232.109	Piano XX
	50,0%	34,47	1.535	0,00	-6.733	232.109	Piano XX
	75,0%	33,33	1.535	0,00	-6.964	232.109	Piano XX
Trave Acciaio 48a-49a	100,0%	32,39	1.535	0,00	-7.167	232.109	Piano XX
	0%	NS	1.200	0,00	-280	181.453	Piano XX

Travi (AC) - Verifiche a taglio

Id_{Tr}	%L_{Li}	CS	A_v	τ_{T,Ed}	V_{Ed}	V_{c,Rd}	P. Vrf.
	[%]		[mm ²]	[N/mm ²]	[N]	[N]	
Trave Acciaio 6-49a	25,0%	NS	1.200	0,00	-1.787	181.453	Piano XX
	50,0%	54,05	1.200	0,00	-3.357	181.453	Piano XX
	75,0%	36,84	1.200	0,00	-4.926	181.453	Piano XX
	100,0%	28,80	1.200	0,00	-6.300	181.453	Piano XX
	0%	11,49	1.535	0,00	20.203	232.109	Piano XX
	25,1%	11,55	1.535	0,00	20.088	232.109	Piano XX
	50,0%	11,62	1.535	0,00	19.973	232.109	Piano XX
	75,1%	11,69	1.535	0,00	19.858	232.109	Piano XX
	100,0%	11,74	1.535	0,00	19.770	232.109	Piano XX
Trave Acciaio 51a-52a	0%	NS	1.200	0,00	-280	181.453	Piano XX
	25,0%	NS	1.200	0,00	-1.787	181.453	Piano XX
	50,0%	54,05	1.200	0,00	-3.357	181.453	Piano XX
	75,0%	36,84	1.200	0,00	-4.926	181.453	Piano XX
	100,0%	28,80	1.200	0,00	-6.300	181.453	Piano XX

Travi (AC) - Verifiche a taglio

Id_{Tr}	%L_{Lt}	CS	A_v	τ_{T,Ed}	V_{Ed}	V_{c,Rd}	P. Vrf.
	[%]		[mm ²]	[N/mm ²]	[N]	[N]	
Trave Acciaio 49a-52a	0%	32,38	1.535	0,00	7.169	232.109	Piano XX
	25,0%	33,32	1.535	0,00	6.966	232.109	Piano XX
	50,0%	34,46	1.535	0,00	6.736	232.109	Piano XX
	75,0%	35,68	1.535	0,00	6.506	232.109	Piano XX
	100,0%	36,83	1.535	0,00	6.303	232.109	Piano XX
Trave Acciaio 54a-55a	0%	NS	1.200	0,00	-280	181.453	Piano XX
	25,0%	NS	1.200	0,00	-1.787	181.453	Piano XX
	50,0%	54,05	1.200	0,00	-3.357	181.453	Piano XX
	75,0%	36,84	1.200	0,00	-4.926	181.453	Piano XX
	100,0%	28,80	1.200	0,00	-6.300	181.453	Piano XX
Trave Acciaio 52a-55a	0%	36,85	1.535	0,00	-6.298	232.109	Piano XX
	25,0%	35,70	1.535	0,00	-6.501	232.109	Piano XX
	50,0%	34,48	1.535	0,00	-6.731	232.109	Piano XX
	75,0%	33,34	1.535	0,00	-6.961	232.109	Piano XX

Travi (AC) - Verifiche a taglio

Id _{Tr}	%L _{Lt}	CS	A _v	τ _{T,Ed}	V _{Ed}	V _{c,Rd}	P. Vrf.
	[%]		[mm ²]	[N/mm ²]	[N]	[N]	
Trave Acciaio 57a-58a	100,0%	32,40	1.535	0,00	-7.164	232.109	Piano XX
	0%	NS	1.200	0,00	-280	181.453	Piano XX
	25,0%	NS	1.200	0,00	-1.787	181.453	Piano XX
	50,0%	54,05	1.200	0,00	-3.357	181.453	Piano XX
	75,0%	36,84	1.200	0,00	-4.926	181.453	Piano XX
	100,0%	28,80	1.200	0,00	-6.300	181.453	Piano XX
Trave Acciaio 7-58a	0%	11,50	1.535	0,00	20.189	232.109	Piano XX
	25,1%	11,56	1.535	0,00	20.074	232.109	Piano XX
	50,0%	11,63	1.535	0,00	19.958	232.109	Piano XX
	75,1%	11,70	1.535	0,00	19.843	232.109	Piano XX
	100,0%	11,75	1.535	0,00	19.755	232.109	Piano XX
Trave Acciaio 60a-61a	0%	NS	1.200	0,00	-280	181.453	Piano XX
	25,0%	NS	1.200	0,00	-1.787	181.453	Piano XX
	50,0%	54,05	1.200	0,00	-3.357	181.453	Piano XX

Travi (AC) - Verifiche a taglio

Id _{Tr}	%L _{Li}	CS	A _v	τ _{T,Ed}	V _{Ed}	V _{c,Rd}	P. Vrf.
	[%]		[mm ²]	[N/mm ²]	[N]	[N]	
Trave Acciaio 58a-61a	75,0%	36,84	1.200	0,00	-4.926	181.453	Piano XX
	100,0%	28,80	1.200	0,00	-6.300	181.453	Piano XX
	0%	32,44	1.535	0,00	7.155	232.109	Piano XX
	25,0%	33,39	1.535	0,00	6.952	232.109	Piano XX
	50,0%	34,53	1.535	0,00	6.722	232.109	Piano XX
	75,0%	35,75	1.535	0,00	6.492	232.109	Piano XX
Trave Acciaio 63a-64a	100,0%	36,91	1.535	0,00	6.289	232.109	Piano XX
	0%	NS	1.200	0,00	-280	181.453	Piano XX
	25,0%	NS	1.200	0,00	-1.787	181.453	Piano XX
	50,0%	54,05	1.200	0,00	-3.357	181.453	Piano XX
Trave Acciaio 61a-64a	75,0%	36,84	1.200	0,00	-4.926	181.453	Piano XX
	100,0%	28,80	1.200	0,00	-6.300	181.453	Piano XX
	0%	36,77	1.535	0,00	-6.312	232.109	Piano XX
	25,0%	35,63	1.535	0,00	-6.515	232.109	Piano XX

Travi (AC) - Verifiche a taglio

Id _{Tr}	%L _{Lt}	CS	A _v	τ _{T,Ed}	V _{Ed}	V _{c,Rd}	P. Vrf.
	[%]		[mm ²]	[N/mm ²]	[N]	[N]	
Trave Acciaio 66a-67a	50,0%	34,41	1.535	0,00	-6.745	232.109	Piano XX
	75,0%	33,28	1.535	0,00	-6.975	232.109	Piano XX
	100,0%	32,34	1.535	0,00	-7.178	232.109	Piano XX
	0%	NS	1.200	0,00	-280	181.453	Piano XX
	25,0%	NS	1.200	0,00	-1.787	181.453	Piano XX
	50,0%	54,05	1.200	0,00	-3.357	181.453	Piano XX
Trave Acciaio 8-67a	75,0%	36,84	1.200	0,00	-4.926	181.453	Piano XX
	100,0%	28,80	1.200	0,00	-6.300	181.453	Piano XX
	0%	11,37	1.535	0,00	20.416	232.109	Piano XX
	25,1%	11,43	1.535	0,00	20.301	232.109	Piano XX
	50,0%	11,50	1.535	0,00	20.186	232.109	Piano XX
	75,1%	11,56	1.535	0,00	20.071	232.109	Piano XX
Trave Acciaio 69a-70a	100,0%	11,62	1.535	0,00	19.983	232.109	Piano XX
	0%	NS	1.200	0,00	-280	181.453	Piano XX

Travi (AC) - Verifiche a taglio

Id _{Tr}	%L _{Li}	CS	A _v	τ _{T,Ed}	V _{Ed}	V _{c,Rd}	P. Vrf.
	[%]		[mm ²]	[N/mm ²]	[N]	[N]	
Trave Acciaio 67a-70a	25,0%	NS	1.200	0,00	-1.787	181.453	Piano XX
	50,0%	54,05	1.200	0,00	-3.357	181.453	Piano XX
	75,0%	36,84	1.200	0,00	-4.926	181.453	Piano XX
	100,0%	28,80	1.200	0,00	-6.300	181.453	Piano XX
	0%	31,44	1.535	0,00	7.382	232.109	Piano XX
	25,0%	32,33	1.535	0,00	7.179	232.109	Piano XX
	50,0%	33,40	1.535	0,00	6.949	232.109	Piano XX
	75,0%	34,55	1.535	0,00	6.719	232.109	Piano XX
	100,0%	35,62	1.535	0,00	6.516	232.109	Piano XX
	0%	NS	1.200	0,00	-280	181.453	Piano XX
Trave Acciaio 72a-73a	25,0%	NS	1.200	0,00	-1.787	181.453	Piano XX
	50,0%	54,05	1.200	0,00	-3.357	181.453	Piano XX
	75,0%	36,84	1.200	0,00	-4.926	181.453	Piano XX
	100,0%	28,80	1.200	0,00	-6.300	181.453	Piano XX
	0%	NS	1.200	0,00	-280	181.453	Piano XX

Travi (AC) - Verifiche a taglio

Id _{Tr}	%L _{Lt}	CS	A _v	τ _{T,Ed}	V _{Ed}	V _{c,Rd}	P. Vrf.
	[%]		[mm ²]	[N/mm ²]	[N]	[N]	
Trave Acciaio 70a-73a	0%	38,15	1.535	0,00	-6.084	232.109	Piano XX
	25,0%	36,92	1.535	0,00	-6.287	232.109	Piano XX
	50,0%	35,62	1.535	0,00	-6.517	232.109	Piano XX
	75,0%	34,40	1.535	0,00	-6.748	232.109	Piano XX
	100,0%	33,39	1.535	0,00	-6.951	232.109	Piano XX
Trave Acciaio 75a-76a	0%	NS	1.200	0,00	-280	181.453	Piano XX
	25,0%	NS	1.200	0,00	-1.787	181.453	Piano XX
	50,0%	54,05	1.200	0,00	-3.357	181.453	Piano XX
	75,0%	36,84	1.200	0,00	-4.926	181.453	Piano XX
	100,0%	28,80	1.200	0,00	-6.300	181.453	Piano XX
Trave Acciaio 9-76a	0%	13,69	1.535	0,00	16.957	232.109	Piano XX
	25,1%	13,78	1.535	0,00	16.842	232.109	Piano XX
	50,0%	13,88	1.535	0,00	16.727	232.109	Piano XX
	75,1%	13,97	1.535	0,00	16.612	232.109	Piano XX

Travi (AC) - Verifiche a taglio

Id _{Tr}	%L _{Li}	CS	A _v	τ _{T,Ed}	V _{Ed}	V _{c,Rd}	P. Vrf.
	[%]		[mm ²]	[N/mm ²]	[N]	[N]	
Trave Acciaio 78a-79a	100,0%	14,05	1.535	0,00	16.524	232.109	Piano XX
	0%	NS	1.200	0,00	-280	181.453	Piano XX
	25,0%	NS	1.200	0,00	-1.787	181.453	Piano XX
	50,0%	54,05	1.200	0,00	-3.357	181.453	Piano XX
	75,0%	36,84	1.200	0,00	-4.926	181.453	Piano XX
	100,0%	28,80	1.200	0,00	-6.300	181.453	Piano XX
Trave Acciaio 76a-79a	0%	59,17	1.535	0,00	3.923	232.109	Piano XX
	25,0%	62,39	1.535	0,00	3.720	232.109	Piano XX
	50,0%	66,51	1.535	0,00	3.490	232.109	Piano XX
	75,0%	71,20	1.535	0,00	3.260	232.109	Piano XX
	100,0%	75,93	1.535	0,00	3.057	232.109	Piano XX
Trave Acciaio 81a-10	0%	NS	1.200	0,00	-280	181.453	Piano XX
	25,0%	NS	1.200	0,00	-1.787	181.453	Piano XX
	50,0%	54,05	1.200	0,00	-3.357	181.453	Piano XX

Travi (AC) - Verifiche a taglio

Id _{Tr}	%L _{Li}	CS	A _v	τ _{T,Ed}	V _{Ed}	V _{c,Rd}	P. Vrf.
	[%]		[mm ²]	[N/mm ²]	[N]	[N]	
Trave Acciaio 83a-84a	75,0%	36,84	1.200	0,00	-4.926	181.453	Piano XX
	100%	28,80	1.200	0,00	-6.300	181.453	Piano XX
	0%	NS	1.200	0,00	-140	181.453	Piano XX
	25,0%	NS	1.200	0,00	-952	181.453	Piano XX
	50,0%	NS	1.200	0,00	-1.796	181.453	Piano XX
	75,0%	68,76	1.200	0,00	-2.639	181.453	Piano XX
Trave Acciaio 10a-11a	100,0%	53,61	1.200	0,00	-3.385	181.453	Piano XX
	0%	28,80	1.200	0,00	6.301	181.453	Piano XX
	25,0%	36,79	1.200	0,00	4.932	181.453	Piano XX
	50,0%	53,99	1.200	0,00	3.361	181.453	Piano XX
	75,0%	NS	1.200	0,00	1.789	181.453	Piano XX
	100,0%	NS	1.200	0,00	280	181.453	Piano XX
Trave Acciaio 13a-14a	0%	28,80	1.200	0,00	6.300	181.453	Piano XX
	25,0%	36,84	1.200	0,00	4.926	181.453	Piano XX

Travi (AC) - Verifiche a taglio

Id_{Tr}	%L_{Li}	CS	A_v	τ_{T,Ed}	V_{Ed}	V_{c,Rd}	P. Vrf.
	[%]		[mm ²]	[N/mm ²]	[N]	[N]	
Trave Acciaio 16a-17a	50,0%	54,05	1.200	0,00	3.357	181.453	Piano XX
	75,0%	NS	1.200	0,00	1.787	181.453	Piano XX
	100%	NS	1.200	0,00	280	181.453	Piano XX
	0%	28,80	1.200	0,00	6.300	181.453	Piano XX
	25,0%	36,84	1.200	0,00	4.926	181.453	Piano XX
	50,0%	54,05	1.200	0,00	3.357	181.453	Piano XX
Trave Acciaio 19a-20a	75,0%	NS	1.200	0,00	1.787	181.453	Piano XX
	100%	NS	1.200	0,00	280	181.453	Piano XX
	0%	28,80	1.200	0,00	6.300	181.453	Piano XX
	25,0%	36,84	1.200	0,00	4.926	181.453	Piano XX
	50,0%	54,05	1.200	0,00	3.357	181.453	Piano XX
	75,0%	NS	1.200	0,00	1.787	181.453	Piano XX
Trave Acciaio 22a-23a	100%	NS	1.200	0,00	280	181.453	Piano XX
	0%	28,80	1.200	0,00	6.300	181.453	Piano XX

Travi (AC) - Verifiche a taglio

Id_{Tr}	%L_{Li}	CS	A_v	τ_{T,Ed}	V_{Ed}	V_{c,Rd}	P. Vrf.
	[%]		[mm ²]	[N/mm ²]	[N]	[N]	
Trave Acciaio 25a-26a	25,0%	36,84	1.200	0,00	4.926	181.453	Piano XX
	50,0%	54,05	1.200	0,00	3.357	181.453	Piano XX
	75,0%	NS	1.200	0,00	1.787	181.453	Piano XX
	100%	NS	1.200	0,00	280	181.453	Piano XX
	0%	28,80	1.200	0,00	6.300	181.453	Piano XX
	25,0%	36,84	1.200	0,00	4.926	181.453	Piano XX
	50,0%	54,05	1.200	0,00	3.357	181.453	Piano XX
	75,0%	NS	1.200	0,00	1.787	181.453	Piano XX
Trave Acciaio 28a-29a	100%	NS	1.200	0,00	280	181.453	Piano XX
	0%	28,80	1.200	0,00	6.300	181.453	Piano XX
	25,0%	36,84	1.200	0,00	4.926	181.453	Piano XX
	50,0%	54,05	1.200	0,00	3.357	181.453	Piano XX
	75,0%	NS	1.200	0,00	1.787	181.453	Piano XX
	100%	NS	1.200	0,00	280	181.453	Piano XX
	0%	28,80	1.200	0,00	6.300	181.453	Piano XX
	25,0%	36,84	1.200	0,00	4.926	181.453	Piano XX

Travi (AC) - Verifiche a taglio

Id_{Tr}	%L_{Li}	CS	A_v	τ_{T,Ed}	V_{Ed}	V_{c,Rd}	P. Vrf.
	[%]		[mm ²]	[N/mm ²]	[N]	[N]	
Trave Acciaio 31a-32a	0%	28,80	1.200	0,00	6.300	181.453	Piano XX
	25,0%	36,84	1.200	0,00	4.926	181.453	Piano XX
	50,0%	54,05	1.200	0,00	3.357	181.453	Piano XX
	75,0%	NS	1.200	0,00	1.787	181.453	Piano XX
	100%	NS	1.200	0,00	280	181.453	Piano XX
Trave Acciaio 34a-35a	0%	28,80	1.200	0,00	6.300	181.453	Piano XX
	25,0%	36,84	1.200	0,00	4.926	181.453	Piano XX
	50,0%	54,05	1.200	0,00	3.357	181.453	Piano XX
	75,0%	NS	1.200	0,00	1.787	181.453	Piano XX
	100%	NS	1.200	0,00	280	181.453	Piano XX
Trave Acciaio 37a-38a	0%	28,80	1.200	0,00	6.300	181.453	Piano XX
	25,0%	36,84	1.200	0,00	4.926	181.453	Piano XX
	50,0%	54,05	1.200	0,00	3.357	181.453	Piano XX
	75,0%	NS	1.200	0,00	1.787	181.453	Piano XX

Travi (AC) - Verifiche a taglio

Id _{Tr}	%L _{Lt}	CS	A _v	τ _{T,Ed}	V _{Ed}	V _{c,Rd}	P. Vrf.
	[%]		[mm ²]	[N/mm ²]	[N]	[N]	
Trave Acciaio 40a-41a	100%	NS	1.200	0,00	280	181.453	Piano XX
	0%	28,80	1.200	0,00	6.300	181.453	Piano XX
	25,0%	36,84	1.200	0,00	4.926	181.453	Piano XX
	50,0%	54,05	1.200	0,00	3.357	181.453	Piano XX
	75,0%	NS	1.200	0,00	1.787	181.453	Piano XX
Trave Acciaio 43a-44a	100%	NS	1.200	0,00	280	181.453	Piano XX
	0%	28,80	1.200	0,00	6.300	181.453	Piano XX
	25,0%	36,84	1.200	0,00	4.926	181.453	Piano XX
	50,0%	54,05	1.200	0,00	3.357	181.453	Piano XX
	75,0%	NS	1.200	0,00	1.787	181.453	Piano XX
Trave Acciaio 46a-47a	100%	NS	1.200	0,00	280	181.453	Piano XX
	0%	28,80	1.200	0,00	6.300	181.453	Piano XX
	25,0%	36,84	1.200	0,00	4.926	181.453	Piano XX
	50,0%	54,05	1.200	0,00	3.357	181.453	Piano XX

Travi (AC) - Verifiche a taglio

Id _{Tr}	%L _{Li}	CS	A _v	τ _{T,Ed}	V _{Ed}	V _{c,Rd}	P. Vrf.
	[%]		[mm ²]	[N/mm ²]	[N]	[N]	
Trave Acciaio 49a-50a	75,0%	NS	1.200	0,00	1.787	181.453	Piano XX
	100%	NS	1.200	0,00	280	181.453	Piano XX
	0%	28,80	1.200	0,00	6.300	181.453	Piano XX
	25,0%	36,84	1.200	0,00	4.926	181.453	Piano XX
	50,0%	54,05	1.200	0,00	3.357	181.453	Piano XX
Trave Acciaio 52a-53a	75,0%	NS	1.200	0,00	1.787	181.453	Piano XX
	100%	NS	1.200	0,00	280	181.453	Piano XX
	0%	28,80	1.200	0,00	6.300	181.453	Piano XX
	25,0%	36,84	1.200	0,00	4.926	181.453	Piano XX
	50,0%	54,05	1.200	0,00	3.357	181.453	Piano XX
Trave Acciaio 55a-56a	75,0%	NS	1.200	0,00	1.787	181.453	Piano XX
	100%	NS	1.200	0,00	280	181.453	Piano XX
	0%	28,80	1.200	0,00	6.300	181.453	Piano XX
	25,0%	36,84	1.200	0,00	4.926	181.453	Piano XX

Travi (AC) - Verifiche a taglio

Id_{Tr}	%L_{Lt}	CS	A_v	τ_{T,Ed}	V_{Ed}	V_{c,Rd}	P. Vrf.
	[%]		[mm ²]	[N/mm ²]	[N]	[N]	
Trave Acciaio 58a-59a	50,0%	54,05	1.200	0,00	3.357	181.453	Piano XX
	75,0%	NS	1.200	0,00	1.787	181.453	Piano XX
	100%	NS	1.200	0,00	280	181.453	Piano XX
	0%	28,80	1.200	0,00	6.300	181.453	Piano XX
	25,0%	36,84	1.200	0,00	4.926	181.453	Piano XX
	50,0%	54,05	1.200	0,00	3.357	181.453	Piano XX
Trave Acciaio 61a-62a	75,0%	NS	1.200	0,00	1.787	181.453	Piano XX
	100%	NS	1.200	0,00	280	181.453	Piano XX
	0%	28,80	1.200	0,00	6.300	181.453	Piano XX
	25,0%	36,84	1.200	0,00	4.926	181.453	Piano XX
	50,0%	54,05	1.200	0,00	3.357	181.453	Piano XX
	75,0%	NS	1.200	0,00	1.787	181.453	Piano XX
Trave Acciaio 64a-65a	100%	NS	1.200	0,00	280	181.453	Piano XX
	0%	28,80	1.200	0,00	6.300	181.453	Piano XX

Travi (AC) - Verifiche a taglio

Id _{Tr}	%L _{Lt}	CS	A _v	τ _{T,Ed}	V _{Ed}	V _{c,Rd}	P. Vrf.
	[%]		[mm ²]	[N/mm ²]	[N]	[N]	
Trave Acciaio 67a-68a	25,0%	36,84	1.200	0,00	4.926	181.453	Piano XX
	50,0%	54,05	1.200	0,00	3.357	181.453	Piano XX
	75,0%	NS	1.200	0,00	1.787	181.453	Piano XX
	100%	NS	1.200	0,00	280	181.453	Piano XX
	0%	28,80	1.200	0,00	6.300	181.453	Piano XX
	25,0%	36,84	1.200	0,00	4.926	181.453	Piano XX
	50,0%	54,05	1.200	0,00	3.357	181.453	Piano XX
	75,0%	NS	1.200	0,00	1.787	181.453	Piano XX
Trave Acciaio 70a-71a	100%	NS	1.200	0,00	280	181.453	Piano XX
	0%	28,80	1.200	0,00	6.300	181.453	Piano XX
	25,0%	36,84	1.200	0,00	4.926	181.453	Piano XX
	50,0%	54,05	1.200	0,00	3.357	181.453	Piano XX
	75,0%	NS	1.200	0,00	1.787	181.453	Piano XX
	100%	NS	1.200	0,00	280	181.453	Piano XX

Travi (AC) - Verifiche a taglio

Id _{Tr}	%L _{Li}	CS	A _v	τ _{T,Ed}	V _{Ed}	V _{c,Rd}	P. Vrf.
	[%]		[mm ²]	[N/mm ²]	[N]	[N]	
Trave Acciaio 73a-74a	0%	28,80	1.200	0,00	6.300	181.453	Piano XX
	25,0%	36,84	1.200	0,00	4.926	181.453	Piano XX
	50,0%	54,05	1.200	0,00	3.357	181.453	Piano XX
	75,0%	NS	1.200	0,00	1.787	181.453	Piano XX
	100%	NS	1.200	0,00	280	181.453	Piano XX
Trave Acciaio 76a-77a	0%	28,80	1.200	0,00	6.300	181.453	Piano XX
	25,0%	36,84	1.200	0,00	4.926	181.453	Piano XX
	50,0%	54,05	1.200	0,00	3.357	181.453	Piano XX
	75,0%	NS	1.200	0,00	1.787	181.453	Piano XX
	100%	NS	1.200	0,00	280	181.453	Piano XX
Trave Acciaio 79a-80a	0%	28,80	1.200	0,00	6.300	181.453	Piano XX
	25,0%	36,84	1.200	0,00	4.926	181.453	Piano XX
	50,0%	54,05	1.200	0,00	3.357	181.453	Piano XX
	75,0%	NS	1.200	0,00	1.787	181.453	Piano XX

Travi (AC) - Verifiche a taglio

Id_{Tr}	%L_{Lt}	CS	A_v	τ_{T,Ed}	V_{Ed}	V_{c,Rd}	P. Vrf.
	[%]		[mm ²]	[N/mm ²]	[N]	[N]	
Trave Acciaio 10-82a	100%	NS	1.200	0,00	280	181.453	Piano XX
	0%	28,80	1.200	0,00	6.300	181.453	Piano XX
	25,0%	36,84	1.200	0,00	4.926	181.453	Piano XX
	50,0%	54,05	1.200	0,00	3.357	181.453	Piano XX
	75,0%	NS	1.200	0,00	1.787	181.453	Piano XX
Trave Acciaio 84a-85a	100%	NS	1.200	0,00	280	181.453	Piano XX
	0%	53,61	1.200	0,00	3.385	181.453	Piano XX
	25,0%	68,76	1.200	0,00	2.639	181.453	Piano XX
	50,0%	NS	1.200	0,00	1.796	181.453	Piano XX
	75,0%	NS	1.200	0,00	952	181.453	Piano XX
	100%	NS	1.200	0,00	140	181.453	Piano XX

LEGENDA:

Id_{Tr} Identificativo della trave. L'eventuale lettera tra parentesi distingue i diversi tratti della travata al livello considerato.

Travi (AC) - Verifiche a taglio

Id_{Tr}	%L_{Lt}	CS	A_v	τ_{T,Ed}	V_{Ed}	V_{c,Rd}	P. Vrf.
	[%]		[mm ²]	[N/mm ²]	[N]	[N]	

%L_{Lt} Posizione della sezione per la quale vengono forniti i valori di verifica, valutata come % della lunghezza libera d'inflessione (L_{Lt}), a partire dall'estremo iniziale.

CS Coefficiente di sicurezza ([NS] = Non Significativo se CS ≥ 100; [VNR]= Verifica Non Richiesta; Informazioni aggiuntive sulla condizione: [V] = statica; [E] = eccezionale; [S] = sismica; [N] = sismica non lineare).

A_v Area resistente a taglio.

τ_{T,Ed} Tensione tangenziale di calcolo per torsione.

V_{Ed} Taglio di progetto.

V_{c,Rd} Taglio resistente.

P. Vrf. Piano di minima resistenza.

TRAVI (AC) - VERIFICA DI SNELLEZZA (Elevazione)

TRAVI (AC) - VERIFICA DI SNELLEZZA

Id	P/S	L₀	i	λ₀	λ_{0,lim}	CS
		[mm]	[mm]			
Piano Terra				Piano Terra		

TRAVI (AC) - VERIFICA DI SNELLEZZA

Id	P/S	L₀	i	λ₀	λ_{0,lim}	CS
		[mm]	[mm]			
Trave Acciaio 10-84a	P	1.332	63,14	21	200	VNR
Trave Acciaio 2a-3a	P	1.635	40,17	41	200	VNR
Trave Acciaio 1-5a	P	1.635	40,17	41	200	VNR
Trave Acciaio 2a-1	P	1.332	63,14	21	200	VNR
Trave Acciaio 79a-10	P	1.332	63,14	21	200	VNR
Trave Acciaio 55a-7	P	666	63,14	11	200	18,18
Trave Acciaio 46a-6	P	666	63,14	11	200	18,18
Trave Acciaio 10a-2	P	682	63,14	11	200	VNR
Trave Acciaio 28a-4	P	666	63,14	11	200	18,18
Trave Acciaio 64a-8	P	666	63,14	11	200	18,18
Trave Acciaio 19a-3	P	666	63,14	11	200	18,18
Trave Acciaio 37a-5	P	666	63,14	11	200	18,18
Trave Acciaio 73a-9	P	666	63,14	11	200	18,18
Trave Acciaio 1a-2a	P	1.666	40,17	41	200	VNR

TRAVI (AC) - VERIFICA DI SNELLEZZA

Id	P/S	L₀	i	λ₀	λ_{0,lim}	CS
		[mm]	[mm]			
Trave Acciaio 4a-1	P	1.666	40,17	41	200	VNR
Trave Acciaio 7a-8a	P	1.635	40,17	41	200	VNR
Trave Acciaio 1-7a	P	1.332	63,14	21	200	VNR
Trave Acciaio 6a-7a	P	1.666	40,17	41	200	VNR
Trave Acciaio 9a-10a	P	1.664	40,17	41	200	VNR
Trave Acciaio 7a-10a	P	1.316	63,14	21	200	VNR
Trave Acciaio 12a-13a	P	1.666	40,17	41	200	VNR
Trave Acciaio 2-13a	P	666	63,14	11	200	18,18
Trave Acciaio 15a-16a	P	1.666	40,17	41	200	VNR
Trave Acciaio 13a-16a	P	1.332	63,14	21	200	9,52
Trave Acciaio 18a-19a	P	1.666	40,17	41	200	VNR
Trave Acciaio 16a-19a	P	1.332	63,14	21	200	9,52
Trave Acciaio 21a-22a	P	1.666	40,17	41	200	VNR
Trave Acciaio 3-22a	P	666	63,14	11	200	18,18

TRAVI (AC) - VERIFICA DI SNELLEZZA

Id	P/S	L ₀	i	λ ₀	λ _{0,lim}	CS
		[mm]	[mm]			
Trave Acciaio 24a-25a	P	1.666	40,17	41	200	VNR
Trave Acciaio 22a-25a	P	1.332	63,14	21	200	9,52
Trave Acciaio 27a-28a	P	1.666	40,17	41	200	VNR
Trave Acciaio 25a-28a	P	1.332	63,14	21	200	9,52
Trave Acciaio 30a-31a	P	1.666	40,17	41	200	VNR
Trave Acciaio 4-31a	P	666	63,14	11	200	18,18
Trave Acciaio 33a-34a	P	1.666	40,17	41	200	VNR
Trave Acciaio 31a-34a	P	1.332	63,14	21	200	9,52
Trave Acciaio 36a-37a	P	1.666	40,17	41	200	VNR
Trave Acciaio 34a-37a	P	1.332	63,14	21	200	9,52
Trave Acciaio 39a-40a	P	1.666	40,17	41	200	VNR
Trave Acciaio 5-40a	P	666	63,14	11	200	18,18
Trave Acciaio 42a-43a	P	1.666	40,17	41	200	VNR
Trave Acciaio 40a-43a	P	1.332	63,14	21	200	9,52

TRAVI (AC) - VERIFICA DI SNELLEZZA

Id	P/S	L₀	i	λ₀	λ_{0,lim}	CS
		[mm]	[mm]			
Trave Acciaio 45a-46a	P	1.666	40,17	41	200	VNR
Trave Acciaio 43a-46a	P	1.332	63,14	21	200	9,52
Trave Acciaio 48a-49a	P	1.666	40,17	41	200	VNR
Trave Acciaio 6-49a	P	666	63,14	11	200	18,18
Trave Acciaio 51a-52a	P	1.666	40,17	41	200	VNR
Trave Acciaio 49a-52a	P	1.332	63,14	21	200	9,52
Trave Acciaio 54a-55a	P	1.666	40,17	41	200	VNR
Trave Acciaio 52a-55a	P	1.332	63,14	21	200	9,52
Trave Acciaio 57a-58a	P	1.666	40,17	41	200	VNR
Trave Acciaio 7-58a	P	666	63,14	11	200	18,18
Trave Acciaio 60a-61a	P	1.666	40,17	41	200	VNR
Trave Acciaio 58a-61a	P	1.332	63,14	21	200	9,52
Trave Acciaio 63a-64a	P	1.666	40,17	41	200	VNR
Trave Acciaio 61a-64a	P	1.332	63,14	21	200	9,52

TRAVI (AC) - VERIFICA DI SNELLEZZA

Id	P/S	L₀	i	λ₀	λ_{0,lim}	CS
		[mm]	[mm]			
Trave Acciaio 66a-67a	P	1.666	40,17	41	200	VNR
Trave Acciaio 8-67a	P	666	63,14	11	200	18,18
Trave Acciaio 69a-70a	P	1.666	40,17	41	200	VNR
Trave Acciaio 67a-70a	P	1.332	63,14	21	200	9,52
Trave Acciaio 72a-73a	P	1.666	40,17	41	200	VNR
Trave Acciaio 70a-73a	P	1.332	63,14	21	200	9,52
Trave Acciaio 75a-76a	P	1.666	40,17	41	200	VNR
Trave Acciaio 9-76a	P	666	63,14	11	200	VNR
Trave Acciaio 78a-79a	P	1.666	40,17	41	200	VNR
Trave Acciaio 76a-79a	P	1.332	63,14	21	200	VNR
Trave Acciaio 81a-10	P	1.666	40,17	41	200	VNR
Trave Acciaio 83a-84a	P	1.666	40,17	41	200	VNR
Trave Acciaio 10a-11a	P	1.635	40,17	41	200	VNR
Trave Acciaio 13a-14a	P	1.635	40,17	41	200	VNR

TRAVI (AC) - VERIFICA DI SNELLEZZA

Id	P/S	L₀	i	λ₀	λ_{0,lim}	CS
		[mm]	[mm]			
Trave Acciaio 16a-17a	P	1.635	40,17	41	200	VNR
Trave Acciaio 19a-20a	P	1.635	40,17	41	200	VNR
Trave Acciaio 22a-23a	P	1.635	40,17	41	200	VNR
Trave Acciaio 25a-26a	P	1.635	40,17	41	200	VNR
Trave Acciaio 28a-29a	P	1.635	40,17	41	200	VNR
Trave Acciaio 31a-32a	P	1.635	40,17	41	200	VNR
Trave Acciaio 34a-35a	P	1.635	40,17	41	200	VNR
Trave Acciaio 37a-38a	P	1.635	40,17	41	200	VNR
Trave Acciaio 40a-41a	P	1.635	40,17	41	200	VNR
Trave Acciaio 43a-44a	P	1.635	40,17	41	200	VNR
Trave Acciaio 46a-47a	P	1.635	40,17	41	200	VNR
Trave Acciaio 49a-50a	P	1.635	40,17	41	200	VNR
Trave Acciaio 52a-53a	P	1.635	40,17	41	200	VNR
Trave Acciaio 55a-56a	P	1.635	40,17	41	200	VNR

TRAVI (AC) - VERIFICA DI SNELLEZZA

Id	P/S	L₀	i	λ₀	λ_{0,lim}	CS
		[mm]	[mm]			
Trave Acciaio 58a-59a	P	1.635	40,17	41	200	VNR
Trave Acciaio 61a-62a	P	1.635	40,17	41	200	VNR
Trave Acciaio 64a-65a	P	1.635	40,17	41	200	VNR
Trave Acciaio 67a-68a	P	1.635	40,17	41	200	VNR
Trave Acciaio 70a-71a	P	1.635	40,17	41	200	VNR
Trave Acciaio 73a-74a	P	1.635	40,17	41	200	VNR
Trave Acciaio 76a-77a	P	1.635	40,17	41	200	VNR
Trave Acciaio 79a-80a	P	1.635	40,17	41	200	VNR
Trave Acciaio 10-82a	P	1.635	40,17	41	200	VNR
Trave Acciaio 84a-85a	P	1.635	40,17	41	200	VNR

LEGENDA:

Id Identificativo dell'elemento.

P/S Tipologia trave acciaio: Principale (P) o Secondaria (S)

TRAVI (AC) - VERIFICA DI SNELLEZZA

Id	P/S	L ₀	i	λ ₀	λ _{0,lim}	CS
		[mm]	[mm]			

L₀ Lunghezza di inflessione

i Raggio d'inerzia

λ₀ Snellezza

λ_{0,lim} Snellezza limite

CS Coefficiente di sicurezza ([NS] = Non Significativo per valori di CS >= 100; [VNR]= Verifica Non Richiesta).

TRAVI (AC) - VERIFICHE INSTABILITÀ A PRESSOFLESSIONE DEVIATA (Elevazione)

Travi (AC) - Verifiche instabilità a pressoflessione deviata

Id _{Tr}	N _{eq,Ed}	M _{eq,Ed,3}	M _{eq,Ed,2}	CS	P. Vrf.	L _{Cr}	Dir	L _N	λ _{LT}	α	φ	χ	β	k _c	χ _{LT}	N _{cr}
	[N]	[N·m]	[N·m]			[m]		[m]								[N]
Piano Terra									Piano Terra							
Trave Acciaio 10-84a	0	7.196	0	6,48	Piano YY	1,33	x-x	1,33	0,091	0,210	0,534	1,000	1,000	0,940	1,000	14.307.16 3
							y-y	1,33	0,103	0,210	0,534	1,000	1,000	1,000	1,000	

Travi (AC) - Verifiche instabilità a pressoflessione deviata

Id _{Tr}	N _{eq,Ed}	M _{eq,Ed,3}	M _{eq,Ed,2}	CS	P. Vrf.	L _{Cr}	Dir	L _N	λ _{LT}	α	φ	χ	β	k _c	χ _{LT}	N _{cr}
	[N]	[N·m]	[N·m]			[m]		[m]								[N]
Trave Acciaio 2a-3a	0	3.202	0	5,56	Piano YY	2,34	x-x	2,34	0,534	0,490	0,597	1,000	0,700	0,940	1,000	2.171.051
							y-y	2,34	0,384	0,490	0,677	1,000	0,700	1,000	1,000	
Trave Acciaio 1-5a	0	5.986	0	2,97	Piano YY	2,34	x-x	2,34	0,534	0,490	0,597	1,000	0,700	0,940	1,000	2.171.051
							y-y	2,34	0,384	0,490	0,677	1,000	0,700	1,000	1,000	
Trave Acciaio 2a-1	0	7.198	0	6,48	Piano YY	1,33	x-x	1,33	0,091	0,210	0,534	1,000	1,000	0,940	1,000	14.307.16 3
							y-y	1,33	0,103	0,210	0,534	1,000	1,000	1,000	1,000	
Trave Acciaio 79a-10	-703	6.020	0	7,80	Piano YY	1,33	x-x	1,33	0,091	0,210	0,534	1,000	1,000	0,910	1,000	14.307.16 3
							y-y	1,33	0,103	0,210	0,534	1,000	1,000	1,000	1,000	
Trave Acciaio 55a-7	519	10.608	0	4,38	Piano YY	0,67	x-x	0,67	0,064	0,210	0,499	1,000	1,000	0,940	1,000	57.228.60 2
							y-y	0,67	0,073	0,210	0,499	1,000	1,000	1,000	1,000	
Trave Acciaio 46a-6	516	10.613	0	4,38	Piano YY	0,67	x-x	0,67	0,064	0,210	0,499	1,000	1,000	0,940	1,000	57.228.62 4
							y-y	0,67	0,073	0,210	0,499	1,000	1,000	1,000	1,000	
Trave Acciaio 10a-2	-699	7.912	-1	5,92		0,68	x-x	0,68	0,065	0,210	0,500	1,000	1,000	0,910	1,000	

Travi (AC) - Verifiche instabilità a pressoflessione deviata

Id _{Tr}	N _{eq,Ed}	M _{eq,Ed,3}	M _{eq,Ed,2}	CS	P. Vrf.	L _{Cr}	Dir	L _N	λ _{LT}	α	φ	χ	β	k _c	χ _{LT}	N _{cr}
	[N]	[N·m]	[N·m]			[m]		[m]								[N]
					Piano YY		y-y	0,68	0,074	0,210	0,500	1,000	1,000	1,000	1,000	54.510.35 4
Trave Acciaio 28a-4	521	10.604	0	4,38	Piano YY	0,67	x-x	0,67	0,064	0,210	0,499	1,000	1,000	0,940	1,000	57.228.68 6
							y-y	0,67	0,073	0,210	0,499	1,000	1,000	1,000	1,000	
Trave Acciaio 64a-8	520	10.639	0	4,37	Piano YY	0,67	x-x	0,67	0,064	0,210	0,499	1,000	1,000	0,940	1,000	57.228.65 8
							y-y	0,67	0,073	0,210	0,499	1,000	1,000	1,000	1,000	
Trave Acciaio 19a-3	632	10.815	1	4,29	Piano YY	0,67	x-x	0,67	0,064	0,210	0,499	1,000	1,000	0,940	1,000	57.228.65 1
							y-y	0,67	0,073	0,210	0,499	1,000	1,000	1,000	1,000	
Trave Acciaio 37a-5	519	10.616	0	4,38	Piano YY	0,67	x-x	0,67	0,064	0,210	0,499	1,000	1,000	0,940	1,000	57.228.65 1
							y-y	0,67	0,073	0,210	0,499	1,000	1,000	1,000	1,000	
Trave Acciaio 73a-9	630	10.165	0	4,57	Piano YY	0,67	x-x	0,67	0,064	0,210	0,499	1,000	1,000	0,940	1,000	57.228.65 1
							y-y	0,67	0,073	0,210	0,499	1,000	1,000	1,000	1,000	
Trave Acciaio 1a-2a	0	3.202	0	5,56	Piano YY	2,38	x-x	2,38	0,543	0,490	0,601	1,000	0,700	0,940	1,000	2.090.123
							y-y	2,38	0,390	0,490	0,683	1,000	0,700	1,000	1,000	

Travi (AC) - Verifiche instabilità a pressoflessione deviata

Id _{Tr}	N _{eq,Ed}	M _{eq,Ed,3}	M _{eq,Ed,2}	CS	P. Vrf.	L _{Cr}	Dir	L _N	λ _{LT}	α	φ	χ	β	k _c	χ _{LT}	N _{cr}
	[N]	[N·m]	[N·m]			[m]		[m]								[N]
Trave Acciaio 4a-1	0	5.986	0	2,97	Piano YY	2,38	x-x	2,38	0,543	0,490	0,601	1,000	0,700	0,940	1,000	2.090.123
							y-y	2,38	0,390	0,490	0,683	1,000	0,700	1,000	1,000	
Trave Acciaio 7a-8a	0	5.986	0	2,97	Piano YY	2,34	x-x	2,34	0,534	0,490	0,597	1,000	0,700	0,940	1,000	2.171.051
							y-y	2,34	0,384	0,490	0,677	1,000	0,700	1,000	1,000	
Trave Acciaio 1-7a	-699	6.027	1	7,79	Piano YY	1,33	x-x	1,33	0,091	0,210	0,534	1,000	1,000	0,910	1,000	14.307.16 3
							y-y	1,33	0,103	0,210	0,534	1,000	1,000	1,000	1,000	
Trave Acciaio 6a-7a	0	5.936	0	3,00	Piano YY	2,38	x-x	2,38	0,543	0,490	0,601	1,000	0,700	0,940	1,000	2.090.123
							y-y	2,38	0,390	0,490	0,683	1,000	0,700	1,000	1,000	
Trave Acciaio 9a-10a	0	5.962	0	2,99	Piano YY	2,38	x-x	2,38	0,542	0,490	0,601	1,000	0,700	0,940	1,000	2.095.717
							y-y	2,38	0,389	0,490	0,683	1,000	0,700	1,000	1,000	
Trave Acciaio 7a-10a	-699	-4.001	2	11,77	Piano YY	1,32	x-x	1,32	0,090	0,210	0,533	1,000	1,000	0,940	1,000	14.666.17 3
							y-y	1,32	0,102	0,210	0,533	1,000	1,000	1,000	1,000	
Trave Acciaio 12a-13a	0	6.028	0	2,95		2,38	x-x	2,38	0,543	0,490	0,601	1,000	0,700	0,940	1,000	2.090.123

Travi (AC) - Verifiche instabilità a pressoflessione deviata

Id _{Tr}	N _{eq,Ed}	M _{eq,Ed,3}	M _{eq,Ed,2}	CS	P. Vrf.	L _{Cr}	Dir	L _N	λ _{LT}	α	φ	χ	β	k _c	χ _{LT}	N _{cr}
	[N]	[N·m]	[N·m]			[m]		[m]								[N]
					Piano YY		y-y	2,38	0,390	0,490	0,683	1,000	0,700	1,000	1,000	
Trave Acciaio 2-13a	632	10.180	2	4,56	Piano YY	0,67	x-x	0,67	0,064	0,210	0,499	1,000	1,000	0,940	1,000	57.228.65 1
							y-y	0,67	0,073	0,210	0,499	1,000	1,000	1,000	1,000	
Trave Acciaio 15a-16a	0	5.986	0	2,97	Piano YY	2,38	x-x	2,38	0,543	0,490	0,601	1,000	0,700	0,940	1,000	2.090.123
							y-y	2,38	0,390	0,490	0,683	1,000	0,700	1,000	1,000	
Trave Acciaio 13a-16a	632	-6.218	2	7,45	Piano YY	1,33	x-x	1,33	0,091	0,210	0,534	0,991	1,000	0,910	1,000	14.307.16 3
							y-y	1,33	0,103	0,210	0,534	0,991	1,000	1,000	1,000	
Trave Acciaio 18a-19a	0	5.986	0	2,97	Piano YY	2,38	x-x	2,38	0,543	0,490	0,601	1,000	0,700	0,940	1,000	2.090.123
							y-y	2,38	0,390	0,490	0,683	1,000	0,700	1,000	1,000	
Trave Acciaio 16a-19a	632	-6.218	1	7,45	Piano YY	1,33	x-x	1,33	0,091	0,210	0,534	0,991	1,000	0,910	1,000	14.307.16 3
							y-y	1,33	0,103	0,210	0,534	0,991	1,000	1,000	1,000	
Trave Acciaio 21a-22a	0	5.986	0	2,97	Piano YY	2,38	x-x	2,38	0,543	0,490	0,601	1,000	0,700	0,940	1,000	2.090.123
							y-y	2,38	0,390	0,490	0,683	1,000	0,700	1,000	1,000	

Travi (AC) - Verifiche instabilità a pressoflessione deviata

Id _{Tr}	N _{eq,Ed}	M _{eq,Ed,3}	M _{eq,Ed,2}	CS	P. Vrf.	L _{Cr}	Dir	L _N	λ _{LT}	α	φ	χ	β	k _c	χ _{LT}	N _{cr}
	[N]	[N·m]	[N·m]			[m]		[m]								[N]
Trave Acciaio 3-22a	521	10.639	0	4,37	Piano YY	0,67	x-x	0,67	0,064	0,210	0,499	1,000	1,000	0,940	1,000	57.228.65 3
							y-y	0,67	0,073	0,210	0,499	1,000	1,000	1,000	1,000	
Trave Acciaio 24a-25a	0	5.986	0	2,97	Piano YY	2,38	x-x	2,38	0,543	0,490	0,601	1,000	0,700	0,940	1,000	2.090.123
							y-y	2,38	0,390	0,490	0,683	1,000	0,700	1,000	1,000	
Trave Acciaio 22a-25a	521	-6.082	0	7,62	Piano YY	1,33	x-x	1,33	0,091	0,210	0,534	0,991	1,000	0,910	1,000	14.307.16 3
							y-y	1,33	0,103	0,210	0,534	0,991	1,000	1,000	1,000	
Trave Acciaio 27a-28a	0	5.986	0	2,97	Piano YY	2,38	x-x	2,38	0,543	0,490	0,601	1,000	0,700	0,940	1,000	2.090.123
							y-y	2,38	0,390	0,490	0,683	1,000	0,700	1,000	1,000	
Trave Acciaio 25a-28a	521	-6.082	0	7,62	Piano YY	1,33	x-x	1,33	0,091	0,210	0,534	0,991	1,000	0,910	1,000	14.307.16 3
							y-y	1,33	0,103	0,210	0,534	0,991	1,000	1,000	1,000	
Trave Acciaio 30a-31a	0	5.986	0	2,97	Piano YY	2,38	x-x	2,38	0,543	0,490	0,601	1,000	0,700	0,940	1,000	2.090.123
							y-y	2,38	0,390	0,490	0,683	1,000	0,700	1,000	1,000	
Trave Acciaio 4-31a	519	10.608	0	4,38		0,67	x-x	0,67	0,064	0,210	0,499	1,000	1,000	0,940	1,000	

Travi (AC) - Verifiche instabilità a pressoflessione deviata

Id _{Tr}	N _{eq,Ed}	M _{eq,Ed,3}	M _{eq,Ed,2}	CS	P. Vrf.	L _{Cr}	Dir	L _N	λ _{LT}	α	φ	χ	β	k _c	χ _{LT}	N _{cr}
	[N]	[N·m]	[N·m]			[m]		[m]								[N]
					Piano YY		y-y	0,67	0,073	0,210	0,499	1,000	1,000	1,000	1,000	57.228.61 9
Trave Acciaio 33a-34a	0	5.986	0	2,97	Piano YY	2,38	x-x	2,38	0,543	0,490	0,601	1,000	0,700	0,940	1,000	2.090.123
							y-y	2,38	0,390	0,490	0,683	1,000	0,700	1,000	1,000	
Trave Acciaio 31a-34a	519	-6.092	0	7,61	Piano YY	1,33	x-x	1,33	0,091	0,210	0,534	0,991	1,000	0,910	1,000	14.307.16 3
							y-y	1,33	0,103	0,210	0,534	0,991	1,000	1,000	1,000	
Trave Acciaio 36a-37a	0	5.986	0	2,97	Piano YY	2,38	x-x	2,38	0,543	0,490	0,601	1,000	0,700	0,940	1,000	2.090.123
							y-y	2,38	0,390	0,490	0,683	1,000	0,700	1,000	1,000	
Trave Acciaio 34a-37a	519	-6.092	0	7,61	Piano YY	1,33	x-x	1,33	0,091	0,210	0,534	0,991	1,000	0,910	1,000	14.307.16 3
							y-y	1,33	0,103	0,210	0,534	0,991	1,000	1,000	1,000	
Trave Acciaio 39a-40a	0	5.986	0	2,97	Piano YY	2,38	x-x	2,38	0,543	0,490	0,601	1,000	0,700	0,940	1,000	2.090.123
							y-y	2,38	0,390	0,490	0,683	1,000	0,700	1,000	1,000	
Trave Acciaio 5-40a	516	10.613	0	4,38	Piano YY	0,67	x-x	0,67	0,064	0,210	0,499	1,000	1,000	0,940	1,000	57.228.65 3
							y-y	0,67	0,073	0,210	0,499	1,000	1,000	1,000	1,000	

Travi (AC) - Verifiche instabilità a pressoflessione deviata

Id _{Tr}	N _{eq,Ed}	M _{eq,Ed,3}	M _{eq,Ed,2}	CS	P. Vrf.	L _{Cr}	Dir	L _N	λ _{LT}	α	φ	χ	β	k _c	χ _{LT}	N _{cr}
	[N]	[N·m]	[N·m]			[m]		[m]								[N]
Trave Acciaio 42a-43a	0	5.986	0	2,97	Piano YY	2,38	x-x	2,38	0,543	0,490	0,601	1,000	0,700	0,940	1,000	2.090.123
							y-y	2,38	0,390	0,490	0,683	1,000	0,700	1,000	1,000	
Trave Acciaio 40a-43a	516	-6.092	0	7,61	Piano YY	1,33	x-x	1,33	0,091	0,210	0,534	0,991	1,000	0,910	1,000	14.307.16 3
							y-y	1,33	0,103	0,210	0,534	0,991	1,000	1,000	1,000	
Trave Acciaio 45a-46a	0	5.986	0	2,97	Piano YY	2,38	x-x	2,38	0,543	0,490	0,601	1,000	0,700	0,940	1,000	2.090.123
							y-y	2,38	0,390	0,490	0,683	1,000	0,700	1,000	1,000	
Trave Acciaio 43a-46a	516	-6.092	0	7,61	Piano YY	1,33	x-x	1,33	0,091	0,210	0,534	0,991	1,000	0,910	1,000	14.307.16 3
							y-y	1,33	0,103	0,210	0,534	0,991	1,000	1,000	1,000	
Trave Acciaio 48a-49a	0	5.986	0	2,97	Piano YY	2,38	x-x	2,38	0,543	0,490	0,601	1,000	0,700	0,940	1,000	2.090.123
							y-y	2,38	0,390	0,490	0,683	1,000	0,700	1,000	1,000	
Trave Acciaio 6-49a	519	10.616	0	4,38	Piano YY	0,67	x-x	0,67	0,064	0,210	0,499	1,000	1,000	0,940	1,000	57.228.68 0
							y-y	0,67	0,073	0,210	0,499	1,000	1,000	1,000	1,000	
Trave Acciaio 51a-52a	0	5.986	0	2,97		2,38	x-x	2,38	0,543	0,490	0,601	1,000	0,700	0,940	1,000	2.090.123

Travi (AC) - Verifiche instabilità a pressoflessione deviata

Id _{Tr}	N _{eq,Ed}	M _{eq,Ed,3}	M _{eq,Ed,2}	CS	P. Vrf.	L _{Cr}	Dir	L _N	λ _{LT}	α	φ	χ	β	k _c	χ _{LT}	N _{cr}
	[N]	[N·m]	[N·m]			[m]		[m]								[N]
					Piano YY		y-y	2,38	0,390	0,490	0,683	1,000	0,700	1,000	1,000	
Trave Acciaio 49a-52a	519	-6.092	0	7,61	Piano YY	1,33	x-x	1,33	0,091	0,210	0,534	0,991	1,000	0,910	1,000	14.307.16 3
							y-y	1,33	0,103	0,210	0,534	0,991	1,000	1,000	1,000	
Trave Acciaio 54a-55a	0	5.986	0	2,97	Piano YY	2,38	x-x	2,38	0,543	0,490	0,601	1,000	0,700	0,940	1,000	2.090.123
							y-y	2,38	0,390	0,490	0,683	1,000	0,700	1,000	1,000	
Trave Acciaio 52a-55a	519	-6.092	0	7,61	Piano YY	1,33	x-x	1,33	0,091	0,210	0,534	0,991	1,000	0,910	1,000	14.307.16 3
							y-y	1,33	0,103	0,210	0,534	0,991	1,000	1,000	1,000	
Trave Acciaio 57a-58a	0	5.986	0	2,97	Piano YY	2,38	x-x	2,38	0,543	0,490	0,601	1,000	0,700	0,940	1,000	2.090.123
							y-y	2,38	0,390	0,490	0,683	1,000	0,700	1,000	1,000	
Trave Acciaio 7-58a	520	10.604	0	4,38	Piano YY	0,67	x-x	0,67	0,064	0,210	0,499	1,000	1,000	0,940	1,000	57.228.70 2
							y-y	0,67	0,073	0,210	0,499	1,000	1,000	1,000	1,000	
Trave Acciaio 60a-61a	0	5.986	0	2,97	Piano YY	2,38	x-x	2,38	0,543	0,490	0,601	1,000	0,700	0,940	1,000	2.090.123
							y-y	2,38	0,390	0,490	0,683	1,000	0,700	1,000	1,000	

Travi (AC) - Verifiche instabilità a pressoflessione deviata

Id _{Tr}	N _{eq,Ed}	M _{eq,Ed,3}	M _{eq,Ed,2}	CS	P. Vrf.	L _{Cr}	Dir	L _N	λ _{LT}	α	φ	χ	β	k _c	χ _{LT}	N _{cr}
	[N]	[N·m]	[N·m]			[m]		[m]								[N]
Trave Acciaio 58a-61a	520	-6.082	0	7,62	Piano YY	1,33	x-x	1,33	0,091	0,210	0,534	0,991	1,000	0,910	1,000	14.307.16 3
							y-y	1,33	0,103	0,210	0,534	0,991	1,000	1,000	1,000	
Trave Acciaio 63a-64a	0	5.986	0	2,97	Piano YY	2,38	x-x	2,38	0,543	0,490	0,601	1,000	0,700	0,940	1,000	2.090.123
							y-y	2,38	0,390	0,490	0,683	1,000	0,700	1,000	1,000	
Trave Acciaio 61a-64a	520	-6.082	0	7,62	Piano YY	1,33	x-x	1,33	0,091	0,210	0,534	0,991	1,000	0,910	1,000	14.307.16 3
							y-y	1,33	0,103	0,210	0,534	0,991	1,000	1,000	1,000	
Trave Acciaio 66a-67a	0	5.986	0	2,97	Piano YY	2,38	x-x	2,38	0,543	0,490	0,601	1,000	0,700	0,940	1,000	2.090.123
							y-y	2,38	0,390	0,490	0,683	1,000	0,700	1,000	1,000	
Trave Acciaio 8-67a	630	10.812	0	4,30	Piano YY	0,67	x-x	0,67	0,064	0,210	0,499	1,000	1,000	0,940	1,000	57.228.64 7
							y-y	0,67	0,073	0,210	0,499	1,000	1,000	1,000	1,000	
Trave Acciaio 69a-70a	0	5.986	0	2,97	Piano YY	2,38	x-x	2,38	0,543	0,490	0,601	1,000	0,700	0,940	1,000	2.090.123
							y-y	2,38	0,390	0,490	0,683	1,000	0,700	1,000	1,000	
Trave Acciaio 67a-70a	630	-6.216	0	7,45		1,33	x-x	1,33	0,091	0,210	0,534	0,991	1,000	0,910	1,000	

Travi (AC) - Verifiche instabilità a pressoflessione deviata

Id _{Tr}	N _{eq,Ed}	M _{eq,Ed,3}	M _{eq,Ed,2}	CS	P. Vrf.	L _{Cr}	Dir	L _N	λ _{LT}	α	φ	χ	β	k _c	χ _{LT}	N _{cr}
	[N]	[N·m]	[N·m]			[m]		[m]								[N]
					Piano YY		y-y	1,33	0,103	0,210	0,534	0,991	1,000	1,000	1,000	14.307.16 3
Trave Acciaio 72a-73a	0	5.986	0	2,97	Piano YY	2,38	x-x	2,38	0,543	0,490	0,601	1,000	0,700	0,940	1,000	2.090.123
							y-y	2,38	0,390	0,490	0,683	1,000	0,700	1,000	1,000	
Trave Acciaio 70a-73a	630	-6.216	0	7,45	Piano YY	1,33	x-x	1,33	0,091	0,210	0,534	0,991	1,000	0,910	1,000	14.307.16 3
							y-y	1,33	0,103	0,210	0,534	0,991	1,000	1,000	1,000	
Trave Acciaio 75a-76a	0	5.986	0	2,97	Piano YY	2,38	x-x	2,38	0,543	0,490	0,601	1,000	0,700	0,940	1,000	2.090.123
							y-y	2,38	0,390	0,490	0,683	1,000	0,700	1,000	1,000	
Trave Acciaio 9-76a	-703	7.895	0	5,94	Piano YY	0,67	x-x	0,67	0,064	0,210	0,499	1,000	1,000	0,910	1,000	57.228.65 3
							y-y	0,67	0,073	0,210	0,499	1,000	1,000	1,000	1,000	
Trave Acciaio 78a-79a	0	5.986	0	2,97	Piano YY	2,38	x-x	2,38	0,543	0,490	0,601	1,000	0,700	0,940	1,000	2.090.123
							y-y	2,38	0,390	0,490	0,683	1,000	0,700	1,000	1,000	
Trave Acciaio 76a-79a	-703	-3.949	0	11,93	Piano YY	1,33	x-x	1,33	0,091	0,210	0,534	1,000	1,000	0,940	1,000	14.307.16 3
							y-y	1,33	0,103	0,210	0,534	1,000	1,000	1,000	1,000	

Travi (AC) - Verifiche instabilità a pressoflessione deviata

Id _{Tr}	N _{eq,Ed}	M _{eq,Ed,3}	M _{eq,Ed,2}	CS	P. Vrf.	L _{Cr}	Dir	L _N	λ _{LT}	α	φ	χ	β	k _c	χ _{LT}	N _{cr}
	[N]	[N·m]	[N·m]			[m]		[m]								[N]
Trave Acciaio 81a-10	0	5.986	0	2,97	Piano YY	2,38	x-x	2,38	0,543	0,490	0,601	1,000	0,700	0,940	1,000	2.090.123
							y-y	2,38	0,390	0,490	0,683	1,000	0,700	1,000	1,000	
Trave Acciaio 83a-84a	0	3.202	0	5,56	Piano YY	2,38	x-x	2,38	0,543	0,490	0,601	1,000	0,700	0,940	1,000	2.090.123
							y-y	2,38	0,390	0,490	0,683	1,000	0,700	1,000	1,000	
Trave Acciaio 10a-11a	0	6.002	0	2,97	Piano YY	2,34	x-x	2,34	0,534	0,490	0,597	1,000	0,700	0,940	1,000	2.171.051
							y-y	2,34	0,384	0,490	0,677	1,000	0,700	1,000	1,000	
Trave Acciaio 13a-14a	0	5.986	0	2,97	Piano YY	2,34	x-x	2,34	0,534	0,490	0,597	1,000	0,700	0,940	1,000	2.171.051
							y-y	2,34	0,384	0,490	0,677	1,000	0,700	1,000	1,000	
Trave Acciaio 16a-17a	0	5.986	0	2,97	Piano YY	2,34	x-x	2,34	0,534	0,490	0,597	1,000	0,700	0,940	1,000	2.171.051
							y-y	2,34	0,384	0,490	0,677	1,000	0,700	1,000	1,000	
Trave Acciaio 19a-20a	0	5.986	0	2,97	Piano YY	2,34	x-x	2,34	0,534	0,490	0,597	1,000	0,700	0,940	1,000	2.171.051
							y-y	2,34	0,384	0,490	0,677	1,000	0,700	1,000	1,000	
Trave Acciaio 22a-23a	0	5.986	0	2,97		2,34	x-x	2,34	0,534	0,490	0,597	1,000	0,700	0,940	1,000	2.171.051

Travi (AC) - Verifiche instabilità a pressoflessione deviata

Id _{Tr}	N _{eq,Ed}	M _{eq,Ed,3}	M _{eq,Ed,2}	CS	P. Vrf.	L _{Cr}	Dir	L _N	λ _{LT}	α	φ	χ	β	k _c	χ _{LT}	N _{cr}
	[N]	[N·m]	[N·m]			[m]		[m]								[N]
					Piano YY		y-y	2,34	0,384	0,490	0,677	1,000	0,700	1,000	1,000	
Trave Acciaio 25a-26a	0	5.986	0	2,97	Piano YY	2,34	x-x	2,34	0,534	0,490	0,597	1,000	0,700	0,940	1,000	2.171.051
							y-y	2,34	0,384	0,490	0,677	1,000	0,700	1,000	1,000	
Trave Acciaio 28a-29a	0	5.986	0	2,97	Piano YY	2,34	x-x	2,34	0,534	0,490	0,597	1,000	0,700	0,940	1,000	2.171.051
							y-y	2,34	0,384	0,490	0,677	1,000	0,700	1,000	1,000	
Trave Acciaio 31a-32a	0	5.986	0	2,97	Piano YY	2,34	x-x	2,34	0,534	0,490	0,597	1,000	0,700	0,940	1,000	2.171.051
							y-y	2,34	0,384	0,490	0,677	1,000	0,700	1,000	1,000	
Trave Acciaio 34a-35a	0	5.986	0	2,97	Piano YY	2,34	x-x	2,34	0,534	0,490	0,597	1,000	0,700	0,940	1,000	2.171.051
							y-y	2,34	0,384	0,490	0,677	1,000	0,700	1,000	1,000	
Trave Acciaio 37a-38a	0	5.986	0	2,97	Piano YY	2,34	x-x	2,34	0,534	0,490	0,597	1,000	0,700	0,940	1,000	2.171.051
							y-y	2,34	0,384	0,490	0,677	1,000	0,700	1,000	1,000	
Trave Acciaio 40a-41a	0	5.986	0	2,97	Piano YY	2,34	x-x	2,34	0,534	0,490	0,597	1,000	0,700	0,940	1,000	2.171.051
							y-y	2,34	0,384	0,490	0,677	1,000	0,700	1,000	1,000	

Travi (AC) - Verifiche instabilità a pressoflessione deviata

Id _{Tr}	N _{eq,Ed}	M _{eq,Ed,3}	M _{eq,Ed,2}	CS	P. Vrf.	L _{Cr}	Dir	L _N	λ _{LT}	α	φ	χ	β	k _c	χ _{LT}	N _{cr}
	[N]	[N·m]	[N·m]			[m]		[m]								[N]
Trave Acciaio 43a-44a	0	5.986	0	2,97	Piano YY	2,34	x-x	2,34	0,534	0,490	0,597	1,000	0,700	0,940	1,000	2.171.051
							y-y	2,34	0,384	0,490	0,677	1,000	0,700	1,000	1,000	
Trave Acciaio 46a-47a	0	5.986	0	2,97	Piano YY	2,34	x-x	2,34	0,534	0,490	0,597	1,000	0,700	0,940	1,000	2.171.051
							y-y	2,34	0,384	0,490	0,677	1,000	0,700	1,000	1,000	
Trave Acciaio 49a-50a	0	5.986	0	2,97	Piano YY	2,34	x-x	2,34	0,534	0,490	0,597	1,000	0,700	0,940	1,000	2.171.051
							y-y	2,34	0,384	0,490	0,677	1,000	0,700	1,000	1,000	
Trave Acciaio 52a-53a	0	5.986	0	2,97	Piano YY	2,34	x-x	2,34	0,534	0,490	0,597	1,000	0,700	0,940	1,000	2.171.051
							y-y	2,34	0,384	0,490	0,677	1,000	0,700	1,000	1,000	
Trave Acciaio 55a-56a	0	5.986	0	2,97	Piano YY	2,34	x-x	2,34	0,534	0,490	0,597	1,000	0,700	0,940	1,000	2.171.051
							y-y	2,34	0,384	0,490	0,677	1,000	0,700	1,000	1,000	
Trave Acciaio 58a-59a	0	5.986	0	2,97	Piano YY	2,34	x-x	2,34	0,534	0,490	0,597	1,000	0,700	0,940	1,000	2.171.051
							y-y	2,34	0,384	0,490	0,677	1,000	0,700	1,000	1,000	
Trave Acciaio 61a-62a	0	5.986	0	2,97		2,34	x-x	2,34	0,534	0,490	0,597	1,000	0,700	0,940	1,000	2.171.051

Travi (AC) - Verifiche instabilità a pressoflessione deviata

Id _{Tr}	N _{eq,Ed}	M _{eq,Ed,3}	M _{eq,Ed,2}	CS	P. Vrf.	L _{Cr}	Dir	L _N	λ _{LT}	α	φ	χ	β	k _c	χ _{LT}	N _{cr}
	[N]	[N·m]	[N·m]			[m]		[m]								[N]
					Piano YY		y-y	2,34	0,384	0,490	0,677	1,000	0,700	1,000	1,000	
Trave Acciaio 64a-65a	0	5.986	0	2,97	Piano YY	2,34	x-x	2,34	0,534	0,490	0,597	1,000	0,700	0,940	1,000	2.171.051
							y-y	2,34	0,384	0,490	0,677	1,000	0,700	1,000	1,000	
Trave Acciaio 67a-68a	0	5.986	0	2,97	Piano YY	2,34	x-x	2,34	0,534	0,490	0,597	1,000	0,700	0,940	1,000	2.171.051
							y-y	2,34	0,384	0,490	0,677	1,000	0,700	1,000	1,000	
Trave Acciaio 70a-71a	0	5.986	0	2,97	Piano YY	2,34	x-x	2,34	0,534	0,490	0,597	1,000	0,700	0,940	1,000	2.171.051
							y-y	2,34	0,384	0,490	0,677	1,000	0,700	1,000	1,000	
Trave Acciaio 73a-74a	0	5.986	0	2,97	Piano YY	2,34	x-x	2,34	0,534	0,490	0,597	1,000	0,700	0,940	1,000	2.171.051
							y-y	2,34	0,384	0,490	0,677	1,000	0,700	1,000	1,000	
Trave Acciaio 76a-77a	0	5.986	0	2,97	Piano YY	2,34	x-x	2,34	0,534	0,490	0,597	1,000	0,700	0,940	1,000	2.171.051
							y-y	2,34	0,384	0,490	0,677	1,000	0,700	1,000	1,000	
Trave Acciaio 79a-80a	0	5.986	0	2,97	Piano YY	2,34	x-x	2,34	0,534	0,490	0,597	1,000	0,700	0,940	1,000	2.171.051
							y-y	2,34	0,384	0,490	0,677	1,000	0,700	1,000	1,000	

Travi (AC) - Verifiche instabilità a pressoflessione deviata

Id_{Tr}	N_{eq,Ed}	M_{eq,Ed,3}	M_{eq,Ed,2}	CS	P. Vrf.	L_{Cr}	Dir	L_N	λ_{LT}	α	φ	χ	β	k_c	χ_{LT}	N_{cr}
	[N]	[N·m]	[N·m]			[m]		[m]								[N]
Trave Acciaio 10-82a	0	5.986	0	2,97	Piano YY	2,34	x-x	2,34	0,534	0,490	0,597	1,000	0,700	0,940	1,000	2.171.051
							y-y	2,34	0,384	0,490	0,677	1,000	0,700	1,000	1,000	
Trave Acciaio 84a-85a	0	3.202	0	5,56	Piano YY	2,34	x-x	2,34	0,534	0,490	0,597	1,000	0,700	0,940	1,000	2.171.051
							y-y	2,34	0,384	0,490	0,677	1,000	0,700	1,000	1,000	

LEGENDA:

Id_{Tr} Identificativo della trave. L'eventuale lettera tra parentesi distingue i diversi tratti della travata al livello considerato.

N_{eq,Ed} Sforzo Normale equivalente di progetto.

M_{eq,Ed,3} Momento equivalente di progetto intorno a 3.

M_{eq,Ed,2} Momento equivalente di progetto intorno a 2.

CS Coefficiente di sicurezza ([NS] = Non Significativo se $CS \geq 100$; [VNR]= Verifica Non Richiesta; Informazioni aggiuntive sulla condizione: [V] = statica; [E] = eccezionale; [S] = sismica; [N] = sismica non lineare).

P. Vrf. Piano di minima resistenza.

L_{Cr} Lunghezza di libera inflessione laterale, misurata tra due ritegni torsionali successivi.

L_N Luce libera di inflessione.

Travi (AC) - Verifiche instabilità a pressoflessione deviata

Id_{Tr}	N_{eq,Ed}	M_{eq,Ed,3}	M_{eq,Ed,2}	CS	P. Vrf.	L_{Cr}	Dir	L_N	λ_{LT}	α	φ	χ	β	k_c	χ_{LT}	N_{cr}
	[N]	[N·m]	[N·m]			[m]		[m]								[N]

λ_{LT} Coefficiente di snellezza normalizzata (per il calcolo di Φ_{LT}).

α Fattore di imperfezione.

φ Coefficiente per il calcolo di χ

χ Coefficiente di riduzione per instabilità a compressione

β Coefficiente di riduzione della luce libera di inflessione.

k_c Coefficiente per il calcolo di χ_{LT}

χ_{LT} Coefficiente di riduzione ai fini dell'instabilità flessotorsionale.

N_{cr} Sforzo Normale Critico Euleriano.

TRAVI (AC) - VERIFICHE DI DEFORMABILITÀ ALLO SLE (Elevazione)

Travi (AC) - Verifiche di deformabilità allo SLE

Id _{Tr}	Carichi Permanenti + Variabili			Carichi Variabili		
	CS	δ_{max}	δ_{amm}	CS	δ_{max}	δ_{amm}
		[cm]	[cm]		[cm]	[cm]
Piano Terra				Piano Terra		
Trave Acciaio 10-84a	18,73	0,0285	0,5329	20,51	0,0216	0,4440
Trave Acciaio 2a-3a	15,01	0,0634	0,9520	16,54	0,0480	0,7933
Trave Acciaio 1-5a	8,06	0,1181	0,9520	8,33	0,0952	0,7933
Trave Acciaio 2a-1	18,72	0,0285	0,5329	20,51	0,0217	0,4440
Trave Acciaio 79a-10	54,24	0,0098	0,5329	57,88	0,0077	0,4440
Trave Acciaio 55a-7	24,77	0,0108	0,2664	25,60	0,0087	0,2220
Trave Acciaio 46a-6	24,75	0,0108	0,2664	25,58	0,0087	0,2220
Trave Acciaio 10a-2	36,31	0,0075	0,2730	37,26	0,0061	0,2275
Trave Acciaio 28a-4	24,78	0,0108	0,2664	25,59	0,0087	0,2220
Trave Acciaio 64a-8	24,66	0,0108	0,2664	25,49	0,0087	0,2220
Trave Acciaio 19a-3	24,15	0,0110	0,2664	24,95	0,0089	0,2220
Trave Acciaio 37a-5	24,74	0,0108	0,2664	25,56	0,0087	0,2220

Travi (AC) - Verifiche di deformabilità allo SLE

Id _{Tr}	Carichi Permanenti + Variabili			Carichi Variabili		
	CS	δ_{max}	δ_{amm}	CS	δ_{max}	δ_{amm}
		[cm]	[cm]		[cm]	[cm]
Trave Acciaio 73a-9	26,48	0,0101	0,2664	27,34	0,0081	0,2220
Trave Acciaio 1a-2a	15,01	0,0634	0,9520	16,54	0,0480	0,7933
Trave Acciaio 4a-1	8,06	0,1181	0,9520	8,33	0,0952	0,7933
Trave Acciaio 7a-8a	8,06	0,1181	0,9520	8,33	0,0952	0,7933
Trave Acciaio 1-7a	54,07	0,0099	0,5329	57,67	0,0077	0,4440
Trave Acciaio 6a-7a	8,13	0,1170	0,9520	8,41	0,0944	0,7933
Trave Acciaio 9a-10a	8,11	0,1172	0,9507	8,38	0,0946	0,7923
Trave Acciaio 7a-10a	29,07	0,0181	0,5263	29,97	0,0146	0,4386
Trave Acciaio 12a-13a	8,01	0,1189	0,9520	8,27	0,0959	0,7933
Trave Acciaio 2-13a	26,45	0,0101	0,2664	27,31	0,0081	0,2220
Trave Acciaio 15a-16a	8,06	0,1181	0,9520	8,33	0,0952	0,7933
Trave Acciaio 13a-16a	21,54	0,0247	0,5329	22,32	0,0199	0,4440
Trave Acciaio 18a-19a	8,06	0,1181	0,9520	8,33	0,0952	0,7933

Travi (AC) - Verifiche di deformabilità allo SLE

Id _{Tr}	Carichi Permanenti + Variabili			Carichi Variabili		
	CS	δ_{max}	δ_{amm}	CS	δ_{max}	δ_{amm}
		[cm]	[cm]		[cm]	[cm]
Trave Acciaio 16a-19a	22,97	0,0232	0,5329	23,81	0,0187	0,4440
Trave Acciaio 21a-22a	8,06	0,1181	0,9520	8,33	0,0952	0,7933
Trave Acciaio 3-22a	24,66	0,0108	0,2664	25,48	0,0087	0,2220
Trave Acciaio 24a-25a	8,06	0,1181	0,9520	8,33	0,0952	0,7933
Trave Acciaio 22a-25a	23,26	0,0229	0,5329	24,10	0,0184	0,4440
Trave Acciaio 27a-28a	8,06	0,1181	0,9520	8,33	0,0952	0,7933
Trave Acciaio 25a-28a	23,18	0,0230	0,5329	24,02	0,0185	0,4440
Trave Acciaio 30a-31a	8,06	0,1181	0,9520	8,33	0,0952	0,7933
Trave Acciaio 4-31a	24,77	0,0108	0,2664	25,60	0,0087	0,2220
Trave Acciaio 33a-34a	8,06	0,1181	0,9520	8,33	0,0952	0,7933
Trave Acciaio 31a-34a	23,14	0,0230	0,5329	23,97	0,0185	0,4440
Trave Acciaio 36a-37a	8,06	0,1181	0,9520	8,33	0,0952	0,7933
Trave Acciaio 34a-37a	23,16	0,0230	0,5329	24,00	0,0185	0,4440

Travi (AC) - Verifiche di deformabilità allo SLE

Id _{Tr}	Carichi Permanenti + Variabili			Carichi Variabili		
	CS	δ_{max}	δ_{amm}	CS	δ_{max}	δ_{amm}
		[cm]	[cm]		[cm]	[cm]
Trave Acciaio 39a-40a	8,06	0,1181	0,9520	8,33	0,0952	0,7933
Trave Acciaio 5-40a	24,76	0,0108	0,2664	25,58	0,0087	0,2220
Trave Acciaio 42a-43a	8,06	0,1181	0,9520	8,33	0,0952	0,7933
Trave Acciaio 40a-43a	23,15	0,0230	0,5329	23,99	0,0185	0,4440
Trave Acciaio 45a-46a	8,06	0,1181	0,9520	8,33	0,0952	0,7933
Trave Acciaio 43a-46a	23,15	0,0230	0,5329	23,99	0,0185	0,4440
Trave Acciaio 48a-49a	8,06	0,1181	0,9520	8,33	0,0952	0,7933
Trave Acciaio 6-49a	24,74	0,0108	0,2664	25,56	0,0087	0,2220
Trave Acciaio 51a-52a	8,06	0,1181	0,9520	8,33	0,0952	0,7933
Trave Acciaio 49a-52a	23,16	0,0230	0,5329	24,00	0,0185	0,4440
Trave Acciaio 54a-55a	8,06	0,1181	0,9520	8,33	0,0952	0,7933
Trave Acciaio 52a-55a	23,14	0,0230	0,5329	23,97	0,0185	0,4440
Trave Acciaio 57a-58a	8,06	0,1181	0,9520	8,33	0,0952	0,7933

Travi (AC) - Verifiche di deformabilità allo SLE

Id _{Tr}	Carichi Permanenti + Variabili			Carichi Variabili		
	CS	δ_{max}	δ_{amm}	CS	δ_{max}	δ_{amm}
		[cm]	[cm]		[cm]	[cm]
Trave Acciaio 7-58a	24,78	0,0108	0,2664	25,59	0,0087	0,2220
Trave Acciaio 60a-61a	8,06	0,1181	0,9520	8,33	0,0952	0,7933
Trave Acciaio 58a-61a	23,18	0,0230	0,5329	24,02	0,0185	0,4440
Trave Acciaio 63a-64a	8,06	0,1181	0,9520	8,33	0,0952	0,7933
Trave Acciaio 61a-64a	23,26	0,0229	0,5329	24,10	0,0184	0,4440
Trave Acciaio 66a-67a	8,06	0,1181	0,9520	8,33	0,0952	0,7933
Trave Acciaio 8-67a	24,16	0,0110	0,2664	24,96	0,0089	0,2220
Trave Acciaio 69a-70a	8,06	0,1181	0,9520	8,33	0,0952	0,7933
Trave Acciaio 67a-70a	22,97	0,0232	0,5329	23,81	0,0186	0,4440
Trave Acciaio 72a-73a	8,06	0,1181	0,9520	8,33	0,0952	0,7933
Trave Acciaio 70a-73a	21,56	0,0247	0,5329	22,35	0,0199	0,4440
Trave Acciaio 75a-76a	8,06	0,1181	0,9520	8,33	0,0952	0,7933
Trave Acciaio 9-76a	36,68	0,0073	0,2664	37,64	0,0059	0,2220

Travi (AC) - Verifiche di deformabilità allo SLE

Id _{Tr}	Carichi Permanenti + Variabili			Carichi Variabili		
	CS	δ_{max}	δ_{amm}	CS	δ_{max}	δ_{amm}
		[cm]	[cm]		[cm]	[cm]
Trave Acciaio 78a-79a	8,06	0,1181	0,9520	8,33	0,0952	0,7933
Trave Acciaio 76a-79a	29,21	0,0182	0,5329	30,12	0,0147	0,4440
Trave Acciaio 81a-10	8,06	0,1181	0,9520	8,33	0,0952	0,7933
Trave Acciaio 83a-84a	15,01	0,0634	0,9520	16,54	0,0480	0,7933
Trave Acciaio 10a-11a	8,03	0,1187	0,9533	8,30	0,0957	0,7944
Trave Acciaio 13a-14a	8,06	0,1181	0,9520	8,33	0,0952	0,7933
Trave Acciaio 16a-17a	8,06	0,1181	0,9520	8,33	0,0952	0,7933
Trave Acciaio 19a-20a	8,06	0,1181	0,9520	8,33	0,0952	0,7933
Trave Acciaio 22a-23a	8,06	0,1181	0,9520	8,33	0,0952	0,7933
Trave Acciaio 25a-26a	8,06	0,1181	0,9520	8,33	0,0952	0,7933
Trave Acciaio 28a-29a	8,06	0,1181	0,9520	8,33	0,0952	0,7933
Trave Acciaio 31a-32a	8,06	0,1181	0,9520	8,33	0,0952	0,7933
Trave Acciaio 34a-35a	8,06	0,1181	0,9520	8,33	0,0952	0,7933

Travi (AC) - Verifiche di deformabilità allo SLE

Id _{Tr}	Carichi Permanenti + Variabili			Carichi Variabili		
	CS	δ_{max}	δ_{amm}	CS	δ_{max}	δ_{amm}
		[cm]	[cm]		[cm]	[cm]
Trave Acciaio 37a-38a	8,06	0,1181	0,9520	8,33	0,0952	0,7933
Trave Acciaio 40a-41a	8,06	0,1181	0,9520	8,33	0,0952	0,7933
Trave Acciaio 43a-44a	8,06	0,1181	0,9520	8,33	0,0952	0,7933
Trave Acciaio 46a-47a	8,06	0,1181	0,9520	8,33	0,0952	0,7933
Trave Acciaio 49a-50a	8,06	0,1181	0,9520	8,33	0,0952	0,7933
Trave Acciaio 52a-53a	8,06	0,1181	0,9520	8,33	0,0952	0,7933
Trave Acciaio 55a-56a	8,06	0,1181	0,9520	8,33	0,0952	0,7933
Trave Acciaio 58a-59a	8,06	0,1181	0,9520	8,33	0,0952	0,7933
Trave Acciaio 61a-62a	8,06	0,1181	0,9520	8,33	0,0952	0,7933
Trave Acciaio 64a-65a	8,06	0,1181	0,9520	8,33	0,0952	0,7933
Trave Acciaio 67a-68a	8,06	0,1181	0,9520	8,33	0,0952	0,7933
Trave Acciaio 70a-71a	8,06	0,1181	0,9520	8,33	0,0952	0,7933
Trave Acciaio 73a-74a	8,06	0,1181	0,9520	8,33	0,0952	0,7933

Travi (AC) - Verifiche di deformabilità allo SLE

Id _{Tr}	Carichi Permanenti + Variabili			Carichi Variabili		
	CS	δ_{\max}	δ_{amm}	CS	δ_{\max}	δ_{amm}
		[cm]	[cm]		[cm]	[cm]
Trave Acciaio 76a-77a	8,06	0,1181	0,9520	8,33	0,0952	0,7933
Trave Acciaio 79a-80a	8,06	0,1181	0,9520	8,33	0,0952	0,7933
Trave Acciaio 10-82a	8,06	0,1181	0,9520	8,33	0,0952	0,7933
Trave Acciaio 84a-85a	15,01	0,0634	0,9520	16,54	0,0480	0,7933

LEGENDA:

Id_{Tr} Identificativo della trave. L'eventuale lettera tra parentesi distingue i diversi tratti della travata al livello considerato.

CS Coefficiente di sicurezza ([NS] = Non Significativo se $CS \geq 100$; [VNR]= Verifica Non Richiesta; Informazioni aggiuntive sulla condizione: [V] = statica; [E] = eccezionale; [S] = sismica; [N] = sismica non lineare).

δ_{\max} Spostamento allo SLE.

δ_{amm} Spostamento Differenziale ammissibile.

PILASTRI (AC) - VERIFICHE A PRESSOFLESSIONE DEVIATA (Elevazione)

Pilastri (AC) - Verifiche a pressoflessione deviata

Pilastro	%L _{L1}	N _{Ed}	V _{Ed}	M _{Ed,3}	M _{Ed,2}	CS	Tp Vr	max/m in	M _{c,Rd}	V _{c,Rd}	ρ	A _v	t _w	N _{pl,Rd}
	[%]	[N]	[N]	[N·m]	[N·m]				[N·m]	[N]		[mm ²]	[mm]	[N]
Piano Terra														
Pilastro Acciaio 10	0%	34.715	-703	-	-799	NS	PLS	Max	336.024	567.796	0,000	3.755	10,0	3.100.413
			-					Min	157.719	1.522.692	0,000	10.070	35,0	
	50,0%	32.680	-703	-	385	NS	PLS	Max	336.024	567.796	0,000	3.755	10,0	3.100.413
			-					Min	157.719	1.522.692	0,000	10.070	35,0	
	100%	30.646	-703	-	1.569	NS	PLS	Max	336.024	567.796	0,000	3.755	10,0	3.100.413
			-					Min	157.719	1.522.692	0,000	10.070	35,0	
Pilastro Acciaio 7	0%	39.412	-2	-	-11	NS	PLS	Max	336.024	567.796	0,000	3.755	10,0	3.100.413
			-					Min	157.719	1.522.692	0,000	10.070	35,0	
	50,0%	9.002	2	-	-	NS	PLS	Max	336.024	567.796	0,000	3.755	10,0	3.100.413
			-					Min	157.719	1.522.692	0,000	10.070	35,0	
	100%	37.890	-2	-	-5	NS	PLS	Max	336.024	567.796	0,000	3.755	10,0	3.100.413
			-					Min	157.719	1.522.692	0,000	10.070	35,0	

Pilastri (AC) - Verifiche a pressoflessione deviata

Pilastro	%L _{L1}	N _{Ed}	V _{Ed}	M _{Ed,3}	M _{Ed,2}	CS	Tp Vr	max/m in	M _{c,Rd}	V _{c,Rd}	ρ	A _v	t _w	N _{pl,Rd}
	[%]	[N]	[N]	[N·m]	[N·m]				[N·m]	[N]		[mm ²]	[mm]	[N]
Pilastro Acciaio 6	0%	15.203	-	-	-	NS	PLS	Max	336.024	567.796	0,000	3.755	10,0	3.100.413
			-					Min	157.719	1.522.692	0,000	10.070	35,0	
	50,0%	24.473	-1	-	-	NS	PLS	Max	336.024	567.796	0,000	3.755	10,0	3.100.413
			-					Min	157.719	1.522.692	0,000	10.070	35,0	
	100%	11.133	-	-	-	NS	PLS	Max	336.024	567.796	0,000	3.755	10,0	3.100.413
			-					Min	157.719	1.522.692	0,000	10.070	35,0	
Pilastro Acciaio 1	0%	34.721	699	41	796	NS	PLS	Max	336.024	567.796	0,000	3.755	10,0	3.100.413
			1					Min	157.719	1.522.692	0,000	10.070	35,0	
	50,0%	32.686	699	42	-382	NS	PLS	Max	336.024	567.796	0,000	3.755	10,0	3.100.413
			1					Min	157.719	1.522.692	0,000	10.070	35,0	
	100%	30.651	699	43	-1.560	99.81[V]	PLS	Max	336.024	567.796	0,000	3.755	10,0	3.100.413
			1					Min	157.719	1.522.692	0,000	10.070	35,0	
Pilastro Acciaio 2	0%	40.987	-1.331	-3	-1.462	NS	PLS	Max	336.024	567.796	0,000	3.755	10,0	3.100.413

Pilastri (AC) - Verifiche a pressoflessione deviata

Pilastro	%L _{L1}	N _{Ed}	V _{Ed}	M _{Ed,3}	M _{Ed,2}	CS	Tp Vr	max/m in	M _{c,Rd}	V _{c,Rd}	ρ	A _v	t _w	N _{pl,Rd}
	[%]	[N]	[N]	[N·m]	[N·m]				[N·m]	[N]		[mm ²]	[mm]	[N]
			-2					Min	157.719	1.522.692	0,000	10.070	35,0	
	50,0%	38.952	-1.331	-5	781	NS	PLS	Max	336.024	567.796	0,000	3.755	10,0	3.100.413
			-2					Min	157.719	1.522.692	0,000	10.070	35,0	
	100%	36.917	-1.331	-8	3.024	52.09[V]	PLS	Max	336.024	567.796	0,000	3.755	10,0	3.100.413
			-2					Min	157.719	1.522.692	0,000	10.070	35,0	
Pilastro Acciaio 4	0%	39.412	2	-1	12	NS	PLS	Max	336.024	567.796	0,000	3.755	10,0	3.100.413
			-					Min	157.719	1.522.692	0,000	10.070	35,0	
	50,0%	9.002	-2	-	-	NS	PLS	Max	336.024	567.796	0,000	3.755	10,0	3.100.413
			-					Min	157.719	1.522.692	0,000	10.070	35,0	
	100%	40.386	2	-	5	NS	PLS	Max	336.024	567.796	0,000	3.755	10,0	3.100.413
			-					Min	157.719	1.522.692	0,000	10.070	35,0	
Pilastro Acciaio 8	0%	44.697	-109	-	-137	NS	PLS	Max	336.024	567.796	0,000	3.755	10,0	3.100.413
			-					Min	157.719	1.522.692	0,000	10.070	35,0	

Pilastri (AC) - Verifiche a pressoflessione deviata

Pilastro	%L _I	N _{Ed}	V _{Ed}	M _{Ed,3}	M _{Ed,2}	CS	Tp Vr	max/m in	M _{c,Rd}	V _{c,Rd}	ρ	A _v	t _w	N _{pl,Rd}
	[%]	[N]	[N]	[N·m]	[N·m]				[N·m]	[N]		[mm ²]	[mm]	[N]
	50,0%	42.662	-109	-	47	NS	PLS	Max	336.024	567.796	0,000	3.755	10,0	3.100.413
			-					Min	157.719	1.522.692	0,000	10.070	35,0	
	100%	40.628	-109	-	231	NS	PLS	Max	336.024	567.796	0,000	3.755	10,0	3.100.413
			-					Min	157.719	1.522.692	0,000	10.070	35,0	
Pilastro Acciaio 3	0%	44.701	111	-10	139	NS	PLS	Max	336.024	567.796	0,000	3.755	10,0	3.100.413
			-					Min	157.719	1.522.692	0,000	10.070	35,0	
	50,0%	42.666	111	-10	-48	NS	PLS	Max	336.024	567.796	0,000	3.755	10,0	3.100.413
			-					Min	157.719	1.522.692	0,000	10.070	35,0	
	100%	40.631	111	-9	-234	NS	PLS	Max	336.024	567.796	0,000	3.755	10,0	3.100.413
			-					Min	157.719	1.522.692	0,000	10.070	35,0	
Pilastro Acciaio 5	0%	15.203	-	-	-	NS	PLS	Max	336.024	567.796	0,000	3.755	10,0	3.100.413
			-					Min	157.719	1.522.692	0,000	10.070	35,0	
	50,0%	14.082	1	-	-	NS	PLS	Max	336.024	567.796	0,000	3.755	10,0	3.100.413

Pilastri (AC) - Verifiche a pressoflessione deviata

Pilastro	%L _{L1}	N _{Ed}	V _{Ed}	M _{Ed,3}	M _{Ed,2}	CS	Tp Vr	max/m in	M _{c,Rd}	V _{c,Rd}	ρ	A _v	t _w	N _{pl,Rd}
	[%]	[N]	[N]	[N·m]	[N·m]				[N·m]	[N]		[mm ²]	[mm]	[N]
			-					Min	157.719	1.522.692	0,000	10.070	35,0	
	100%	11.133	-	-	-	NS	PLS	Max	336.024	567.796	0,000	3.755	10,0	3.100.413
			-					Min	157.719	1.522.692	0,000	10.070	35,0	
Pilastro Acciaio 9	0%	41.011	1.332	-	1.464	NS	PLS	Max	336.024	567.796	0,000	3.755	10,0	3.100.413
			-					Min	157.719	1.522.692	0,000	10.070	35,0	
	50,0%	38.976	1.332	-	-781	NS	PLS	Max	336.024	567.796	0,000	3.755	10,0	3.100.413
			-					Min	157.719	1.522.692	0,000	10.070	35,0	
	100%	36.941	1.332	-	-3.026	52.12[V]	PLS	Max	336.024	567.796	0,000	3.755	10,0	3.100.413
			-					Min	157.719	1.522.692	0,000	10.070	35,0	

LEGENDA:

Pilastro Identificativo del pilastro. L'eventuale lettera tra parentesi distingue i diversi tratti della pilastrata al livello considerato.

%L_{L1} Posizione della sezione per la quale vengono forniti i valori di verifica, valutata come % della lunghezza libera d'inflessione (L_{L1}), a partire dall'estremo iniziale.

N_{Ed} Sforzo normale di progetto.

Pilastri (AC) - Verifiche a pressoflessione deviata

Pilastro	%L _{L1}	N _{Ed}	V _{Ed}	M _{Ed,3}	M _{Ed,2}	CS	Tp Vr	max/m in	M _{c,Rd}	V _{c,Rd}	ρ	A _v	t _w	N _{pl,Rd}
	[%]	[N]	[N]	[N·m]	[N·m]				[N·m]	[N]		[mm ²]	[mm]	[N]

V_{Ed} Taglio di progetto utilizzato per il calcolo di ρ .

M_{Ed,3} Momento flettente di progetto intorno a 3.

M_{Ed,2} Momento flettente di progetto intorno a 2.

CS Coefficiente di sicurezza ([NS] = Non Significativo se CS ≥ 100; [VNR]= Verifica Non Richiesta; Informazioni aggiuntive sulla condizione: [V] = statica; [E] = eccezionale; [S] = sismica; [N] = sismica non lineare).

Tp Vr Tipo di verifica considerata: "PLS" = con Modulo di resistenza plastico; "ELA" = con modulo di resistenza elastico; "EFF" = con modulo di resistenza efficace.

max/min [max] = valore per la verifica con modulo di resistenza maggiore; [min] = valore per la verifica con modulo di resistenza minore.

M_{c,Rd} Momento resistente.

V_{c,Rd} Taglio resistente.

ρ Coefficiente riduttivo per presenza di taglio.

A_v Area resistente a taglio.

t_w Spessore anima.

N_{pl,Rd} Resistenza plastica a Sforzo Normale.

PILASTRI (AC) - VERIFICHE A TAGLIO (Elevazione) per pressoflessione deviata

Pilastri (AC) - Verifiche a taglio

Pilastro	%L _L	CS	A _v	$\tau_{T,Ed}$	V _{Ed}	V _{c,Rd}	P. Vrf.	Ω_{Min}
	[%]		[mm ²]	[N/mm ²]	[N]	[N]		
Piano Terra								
Pilastro Acciaio 10	0%	NS	10.070	0,00	-703	1.522.692	Piano YY	0,00
	50,0%	NS	10.070	0,00	-703	1.522.692	Piano YY	0,00
	100%	NS	10.070	0,00	-703	1.522.692	Piano YY	0,00
Pilastro Acciaio 7	0%	NS	10.070	0,00	2	1.522.692	Piano YY	0,00
	50,0%	NS	10.070	0,00	2	1.522.692	Piano YY	0,00
	100%	NS	10.070	0,00	2	1.522.692	Piano YY	0,00
Pilastro Acciaio 6	0%	NS	10.070	0,00	-3	1.522.692	Piano YY	0,00
	50,0%	NS	10.070	0,00	-3	1.522.692	Piano YY	0,00
	100%	NS	10.070	0,00	-3	1.522.692	Piano YY	0,00
Pilastro Acciaio 1	0%	NS	10.070	0,00	699	1.522.692	Piano YY	0,00
	50,0%	NS	10.070	0,00	699	1.522.692	Piano YY	0,00
	100%	NS	10.070	0,00	699	1.522.692	Piano YY	0,00

Pilastri (AC) - Verifiche a taglio

Pilastro	%L _{L1}	CS	A _v	τ _{T,Ed}	V _{Ed}	V _{c,Rd}	P. Vrf.	Ω _{Min}
	[%]		[mm ²]	[N/mm ²]	[N]	[N]		
Pilastro Acciaio 2	0%	NS	10.070	0,00	-1.331	1.522.692	Piano YY	0,00
	50,0%	NS	10.070	0,00	-1.331	1.522.692	Piano YY	0,00
	100%	NS	10.070	0,00	-1.331	1.522.692	Piano YY	0,00
Pilastro Acciaio 4	0%	NS	10.070	0,00	2	1.522.692	Piano YY	0,00
	50,0%	NS	10.070	0,00	2	1.522.692	Piano YY	0,00
	100%	NS	10.070	0,00	2	1.522.692	Piano YY	0,00
Pilastro Acciaio 8	0%	NS	10.070	0,00	-109	1.522.692	Piano YY	0,00
	50,0%	NS	10.070	0,00	-109	1.522.692	Piano YY	0,00
	100%	NS	10.070	0,00	-109	1.522.692	Piano YY	0,00
Pilastro Acciaio 3	0%	NS	10.070	0,00	111	1.522.692	Piano YY	0,00
	50,0%	NS	10.070	0,00	111	1.522.692	Piano YY	0,00
	100%	NS	10.070	0,00	111	1.522.692	Piano YY	0,00
Pilastro Acciaio 5	0%	NS	10.070	0,00	4	1.522.692	Piano YY	0,00
	50,0%	NS	10.070	0,00	4	1.522.692	Piano YY	0,00

Pilastri (AC) - Verifiche a taglio

Pilastro	%L _{L1}	CS	A _v	$\tau_{T,Ed}$	V _{Ed}	V _{c,Rd}	P. Vrf.	Ω_{Min}
	[%]		[mm ²]	[N/mm ²]	[N]	[N]		
Pilastro Acciaio 9	100%	NS	10.070	0,00	4	1.522.692	Piano YY	0,00
	0%	NS	10.070	0,00	1.332	1.522.692	Piano YY	0,00
	50,0%	NS	10.070	0,00	1.332	1.522.692	Piano YY	0,00
	100%	NS	10.070	0,00	1.332	1.522.692	Piano YY	0,00

LEGENDA:

Pilastro Identificativo del pilastro. L'eventuale lettera tra parentesi distingue i diversi tratti della pilastrata al livello considerato.

%L_{L1} Posizione della sezione per la quale vengono forniti i valori di verifica, valutata come % della lunghezza libera d'inflessione (L_{L1}), a partire dall'estremo iniziale.

CS Coefficiente di sicurezza ([NS] = Non Significativo se CS ≥ 100; [VNR]= Verifica Non Richiesta; Informazioni aggiuntive sulla condizione: [V] = statica; [E] = eccezionale; [S] = sismica; [N] = sismica non lineare).

A_v Area resistente a taglio.

$\tau_{T,Ed}$ Tensione tangenziale di calcolo per torsione.

V_{Ed} Taglio di progetto.

V_{c,Rd} Taglio resistente.

P. Vrf. Piano di minima resistenza.

Pilastri (AC) - Verifiche a taglio

Pilastro	%L _{L1}	CS	A _v	τ _{T,Ed}	V _{Ed}	V _{c,Rd}	P. Vrf.	Ω _{Min}
	[%]		[mm ²]	[N/mm ²]	[N]	[N]		

Ω_{Min} Rapporto minimo momento plastico/momento progetto travi concorrenti.

PILASTRI (AC) - VERIFICHE INSTABILITÀ A PRESSOFLESSIONE DEVIATA (Elevazione)

Pilastri (AC) - Verifiche instabilità a pressoflessione deviata

Pilastro	N _{eq,Ed}	M _{eq,Ed,3}	M _{eq,Ed,2}	CS	P. Vrf.	L _{Cr}	Dir	L _N	λ _{LT}	α	φ	χ	β	k _c	χ _{LT}	N _{cr}
	[N]	[N·m]	[N·m]			[m]		[m]								[N]
Piano Terra																
Pilastro Acciaio 10	32.680	0	628	59,59	Piano YY	3,05	x-x	3,05	0,449	0,340	0,568	0,959	1,000	1,000	0,981	11.440.890
							y-y	3,05	0,153	0,490	0,724	0,824	1,000	0,668	1,000	
Pilastro Acciaio 7	42.421	0	-9	60,04	Piano YY	3,05	x-x	3,05	0,449	0,340	0,568	0,959	1,000	1,000	0,981	11.440.890
							y-y	3,05	0,204	0,490	0,724	0,824	1,000	0,752	1,000	
Pilastro Acciaio 6	42.438	0	-2	60,17	Piano YY	3,05	x-x	3,05	0,449	0,340	0,568	0,959	1,000	1,000	0,981	11.440.890
							y-y	3,05	0,147	0,490	0,724	0,824	1,000	1,000	1,000	

Pilastri (AC) - Verifiche instabilità a pressoflessione deviata

Pilastro	N _{eq,Ed}	M _{eq,Ed,3}	M _{eq,Ed,2}	CS	P. Vrf.	L _{Cr}	Dir	L _N	λ _{LT}	α	φ	χ	β	k _c	χ _{LT}	N _{cr}
	[N]	[N-m]	[N-m]			[m]		[m]								[N]
Pilastro Acciaio 1	32.686	42	-624	59,23	Piano YY	3,05	x-x	3,05	0,444	0,340	0,568	0,959	1,000	0,985	0,988	11.440.890
							y-y	3,05	0,153	0,490	0,724	0,824	1,000	0,667	1,000	
Pilastro Acciaio 2	38.952	-6	1.230	43,32	Piano YY	3,05	x-x	3,05	0,380	0,340	0,568	0,959	1,000	1,000	1,000	11.440.890
							y-y	3,05	0,154	0,490	0,724	0,824	1,000	0,671	1,000	
Pilastro Acciaio 4	42.421	-1	9	60,02	Piano YY	3,05	x-x	3,05	0,339	0,340	0,568	0,959	1,000	1,000	1,000	11.440.890
							y-y	3,05	0,202	0,490	0,724	0,824	1,000	0,752	1,000	
Pilastro Acciaio 8	42.662	0	92	57,87	Piano YY	3,05	x-x	3,05	0,449	0,340	0,568	0,959	1,000	1,000	0,981	11.440.890
							y-y	3,05	0,150	0,490	0,724	0,824	1,000	0,655	1,000	
Pilastro Acciaio 3	42.666	-10	-94	57,72	Piano YY	3,05	x-x	3,05	0,439	0,340	0,568	0,959	1,000	1,000	0,985	11.440.890
							y-y	3,05	0,150	0,490	0,724	0,824	1,000	0,655	1,000	
Pilastro Acciaio 5	42.438	0	3	60,15	Piano YY	3,05	x-x	3,05	0,449	0,340	0,568	0,959	1,000	1,000	0,981	11.440.890
							y-y	3,05	0,145	0,490	0,724	0,824	1,000	1,000	1,000	
Pilastro Acciaio 9	38.976	0	-1.230	43,33	Piano YY	3,05	x-x	3,05	0,449	0,340	0,568	0,959	1,000	1,000	0,981	11.440.890
							y-y	3,05	0,154	0,490	0,724	0,824	1,000	0,671	1,000	

Pilastri (AC) - Verifiche instabilità a pressoflessione deviata

Pilastro	$N_{eq,Ed}$	$M_{eq,Ed,3}$	$M_{eq,Ed,2}$	CS	P. Vrf.	L_{Cr}	Dir	L_N	λ_{LT}	α	ϕ	χ	β	k_c	χ_{LT}	N_{cr}
	[N]	[N·m]	[N·m]			[m]		[m]								[N]

LEGENDA:

Pilastro Identificativo del pilastro. L'eventuale lettera tra parentesi distingue i diversi tratti della pilastrata al livello considerato.

$N_{eq,Ed}$ Sforzo Normale equivalente di progetto.

$M_{eq,Ed,3}$ Momento equivalente di progetto intorno a 3.

$M_{eq,Ed,2}$ Momento equivalente di progetto intorno a 2.

CS Coefficiente di sicurezza ([NS] = Non Significativo se $CS \geq 100$; [VNR]= Verifica Non Richiesta; Informazioni aggiuntive sulla condizione: [V] = statica; [E] = eccezionale; [S] = sismica; [N] = sismica non lineare).

P. Vrf. Piano di minima resistenza.

L_{Cr} Lunghezza di libera inflessione laterale, misurata tra due ritegni torsionali successivi.

L_N Luce libera di inflessione.

λ_{LT} Coefficiente di snellezza normalizzata (per il calcolo di Φ_{LT}).

α Fattore di imperfezione.

ϕ Coefficiente ϕ (per il calcolo di χ).

χ Coefficiente di riduzione per instabilità a compressione

Pilastri (AC) - Verifiche instabilità a pressoflessione deviata

Pilastro	$N_{eq,Ed}$	$M_{eq,Ed,3}$	$M_{eq,Ed,2}$	CS	P. Vrf.	L_{Cr}	Dir	L_N	λ_{LT}	α	ϕ	χ	β	k_c	χ_{LT}	N_{cr}
	[N]	[N·m]	[N·m]			[m]		[m]								[N]

β Coefficiente di riduzione della luce libera di inflessione.

k_c Coefficiente per il calcolo di χ_{LT}

χ_{LT} Coefficiente di riduzione ai fini dell'instabilità flessotorsionale.

N_{cr} Sforzo Normale Critico Euleriano.

PILASTRI (AC) - VERIFICA DI SNELLEZZA (Elevazione)

Pilastri - VERIFICA DI SNELLEZZA

Id	P/S	L_0	i	λ_0	$\lambda_{0,lim}$	CS
		[mm]	[mm]			
Piano Terra						
Pilastro Acciaio 10	-	3050	65,84	46	200	4,35
Pilastro Acciaio 7	-	3050	65,84	46	200	4,35
Pilastro Acciaio 6	-	3050	65,84	46	200	4,35

Pilastri - VERIFICA DI SNELLEZZA

Id	P/S	L₀	i	λ₀	λ_{0,lim}	CS
		[mm]	[mm]			
Pilastro Acciaio 1	-	3050	65,84	46	200	4,35
Pilastro Acciaio 2	-	3050	65,84	46	200	4,35
Pilastro Acciaio 4	-	3050	65,84	46	200	4,35
Pilastro Acciaio 8	-	3050	65,84	46	200	4,35
Pilastro Acciaio 3	-	3050	65,84	46	200	4,35
Pilastro Acciaio 5	-	3050	65,84	46	200	4,35
Pilastro Acciaio 9	-	3050	65,84	46	200	4,35

LEGENDA:

Id Identificativo dell'elemento.

P/S Tipologia trave acciaio: Principale (P) o Secondaria (S)

L₀ Lunghezza di inflessione

i Raggio d'inerzia

λ₀ Snellezza

Pilastri - VERIFICA DI SNELLEZZA

Id	P/S	L ₀	i	λ ₀	λ _{0,lim}	CS
		[mm]	[mm]			

λ_{0,lim} Snellezza limite

CS Coefficiente di sicurezza ([NS] = Non Significativo per valori di CS >= 100; [VNR]= Verifica Non Richiesta).

3.2 Tracker inclinazione 55° gradi

TRAVI (AC) - VERIFICHE A FLESSIONE (Elevazione)

Travi (AC) - Verifiche a flessione

Id _{Tr}	%L _{LI}	CS	Tp Vr	M _{c,Rd}	V _{c,Rd}	ρ	A _v	t _w	M _{Ed}	V _{Ed}
	[%]			[N·m]	[N]		[mm ²]	[mm]	[N·m]	[N]
Piano Terra						Piano Terra				
Trave Acciaio 2a-3a	0%	3,55	EFF	17.802	181.453	0,000	1.200	4,00	5.009	-3.311
	25,0%	5,64	EFF	17.802	181.453	0,000	1.200	4,00	3.154	-2.705
	50,0%	10,47	EFF	17.802	181.453	0,000	1.200	4,00	1.700	-2.047

Travi (AC) - Verifiche a flessione

Id_{Tr}	%L_{L1}	CS	Tp Vr	M_{c,Rd}	V_{c,Rd}	ρ	A_v	t_w	M_{Ed}	V_{Ed}
	[%]			[N·m]	[N]		[mm²]	[mm]	[N·m]	[N]
	75,0%	27,43	EFF	17.802	181.453	0,000	1.200	4,00	649	-1.389
	100%	NS	ELA	9.646	91.936	0,000	608	4,00	0	0
Trave Acciaio 1-5a	0%	1,78	EFF	17.802	181.453	0,000	1.200	4,00	9.995	-6.814
	25,0%	2,83	EFF	17.802	181.453	0,000	1.200	4,00	6.284	-5.492
	50,0%	5,26	EFF	17.802	181.453	0,000	1.200	4,00	3.382	-4.149
	75,0%	13,82	EFF	17.802	181.453	0,000	1.200	4,00	1.288	-2.806
	100,0%	NS	EFF	17.802	181.453	0,000	1.200	4,00	2	58
Trave Acciaio 7a-8a	0%	1,74	EFF	17.802	181.453	0,000	1.200	4,00	10.239	-6.808
	25,0%	2,77	EFF	17.802	181.453	0,000	1.200	4,00	6.432	-5.551
	50,0%	5,15	EFF	17.802	181.453	0,000	1.200	4,00	3.456	-4.188
	75,0%	13,56	EFF	17.802	181.453	0,000	1.200	4,00	1.313	-2.825
	100%	NS	EFF	17.802	181.453	0,000	1.200	4,00	2	57
Trave Acciaio 10a-11a	0%	1,76	EFF	17.802	181.453	0,000	1.200	4,00	10.141	-6.810
	25,0%	2,77	EFF	17.802	181.453	0,000	1.200	4,00	6.423	-5.589

Travi (AC) - Verifiche a flessione

Id_{Tr}	%L_{L1}	CS	Tp Vr	M_{c,Rd}	V_{c,Rd}	ρ	A_v	t_w	M_{Ed}	V_{Ed}
	[%]			[N·m]	[N]		[mm²]	[mm]	[N·m]	[N]
	50,0%	5,10	EFF	17.802	181.453	0,000	1.200	4,00	3.491	-4.262
	75,0%	13,19	EFF	17.802	181.453	0,000	1.200	4,00	1.350	-2.935
	100,0%	NS	EFF	17.802	181.453	0,000	1.200	4,00	3	79
Trave Acciaio 13a-14a	0%	1,76	EFF	17.802	181.453	0,000	1.200	4,00	10.131	-6.806
	25,0%	2,78	EFF	17.802	181.453	0,000	1.200	4,00	6.415	-5.585
	50,0%	5,11	EFF	17.802	181.453	0,000	1.200	4,00	3.486	-4.258
	75,0%	13,22	EFF	17.802	181.453	0,000	1.200	4,00	1.347	-2.931
	100,0%	NS	EFF	17.802	181.453	0,000	1.200	4,00	3	79
Trave Acciaio 16a-17a	0%	1,75	EFF	17.802	181.453	0,000	1.200	4,00	10.186	-6.802
	25,0%	2,77	EFF	17.802	181.453	0,000	1.200	4,00	6.417	-5.559
	50,0%	5,14	EFF	17.802	181.453	0,000	1.200	4,00	3.462	-4.209
	75,0%	13,46	EFF	17.802	181.453	0,000	1.200	4,00	1.323	-2.860
	100,0%	NS	ELA	9.646	91.936	0,000	608	4,00	0	0
Trave Acciaio 19a-20a	0%	1,76	EFF	17.802	181.453	0,000	1.200	4,00	10.121	-6.802

Travi (AC) - Verifiche a flessione

Id_{Tr}	%L_{L1}	CS	Tp Vr	M_{c,Rd}	V_{c,Rd}	ρ	A_v	t_w	M_{Ed}	V_{Ed}
	[%]			[N·m]	[N]		[mm²]	[mm]	[N·m]	[N]
	25,0%	2,78	EFF	17.802	181.453	0,000	1.200	4,00	6.408	-5.581
	50,0%	5,11	EFF	17.802	181.453	0,000	1.200	4,00	3.481	-4.254
	75,0%	13,24	EFF	17.802	181.453	0,000	1.200	4,00	1.345	-2.927
	100,0%	NS	EFF	17.802	181.453	0,000	1.200	4,00	3	79
Trave Acciaio 22a-23a	0%	1,76	EFF	17.802	181.453	0,000	1.200	4,00	10.115	-6.800
	25,0%	2,78	EFF	17.802	181.453	0,000	1.200	4,00	6.403	-5.578
	50,0%	5,12	EFF	17.802	181.453	0,000	1.200	4,00	3.479	-4.251
	75,0%	13,25	EFF	17.802	181.453	0,000	1.200	4,00	1.344	-2.924
	100,0%	NS	EFF	17.802	181.453	0,000	1.200	4,00	3	79
Trave Acciaio 25a-26a	0%	1,75	EFF	17.802	181.453	0,000	1.200	4,00	10.161	-6.792
	25,0%	2,78	EFF	17.802	181.453	0,000	1.200	4,00	6.402	-5.551
	50,0%	5,15	EFF	17.802	181.453	0,000	1.200	4,00	3.454	-4.204
	75,0%	13,49	EFF	17.802	181.453	0,000	1.200	4,00	1.320	-2.858
	100,0%	NS	ELA	9.646	91.936	0,000	608	4,00	0	0

Travi (AC) - Verifiche a flessione

Id_{Tr}	%L_{L1}	CS	Tp Vr	M_{c,Rd}	V_{c,Rd}	ρ	A_v	t_w	M_{Ed}	V_{Ed}
	[%]			[N·m]	[N]		[mm²]	[mm]	[N·m]	[N]
Trave Acciaio 28a-29a	0%	1,76	EFF	17.802	181.453	0,000	1.200	4,00	10.098	-6.789
	25,0%	2,78	EFF	17.802	181.453	0,000	1.200	4,00	6.392	-5.569
	50,0%	5,13	EFF	17.802	181.453	0,000	1.200	4,00	3.472	-4.244
	75,0%	13,27	EFF	17.802	181.453	0,000	1.200	4,00	1.341	-2.919
	100,0%	NS	EFF	17.802	181.453	0,000	1.200	4,00	3	77
Trave Acciaio 31a-32a	0%	1,76	EFF	17.802	181.453	0,000	1.200	4,00	10.090	-6.785
	25,0%	2,79	EFF	17.802	181.453	0,000	1.200	4,00	6.386	-5.566
	50,0%	5,13	EFF	17.802	181.453	0,000	1.200	4,00	3.468	-4.241
	75,0%	13,29	EFF	17.802	181.453	0,000	1.200	4,00	1.339	-2.915
	100,0%	NS	EFF	17.802	181.453	0,000	1.200	4,00	3	76
Trave Acciaio 34a-35a	0%	1,76	EFF	17.802	181.453	0,000	1.200	4,00	10.130	-6.779
	25,0%	2,79	EFF	17.802	181.453	0,000	1.200	4,00	6.382	-5.541
	50,0%	5,17	EFF	17.802	181.453	0,000	1.200	4,00	3.444	-4.197
	75,0%	13,53	EFF	17.802	181.453	0,000	1.200	4,00	1.316	-2.853

Travi (AC) - Verifiche a flessione

Id_{Tr}	%L_{L1}	CS	Tp Vr	M_{c,Rd}	V_{c,Rd}	ρ	A_v	t_w	M_{Ed}	V_{Ed}
	[%]			[N·m]	[N]		[mm²]	[mm]	[N·m]	[N]
	100,0%	NS	ELA	9.646	91.936	0,000	608	4,00	0	0
Trave Acciaio 37a-38a	0%	1,77	EFF	17.802	181.453	0,000	1.200	4,00	10.076	-6.780
	25,0%	2,79	EFF	17.802	181.453	0,000	1.200	4,00	6.375	-5.560
	50,0%	5,14	EFF	17.802	181.453	0,000	1.200	4,00	3.461	-4.235
	75,0%	13,33	EFF	17.802	181.453	0,000	1.200	4,00	1.335	-2.910
	100,0%	NS	EFF	17.802	181.453	0,000	1.200	4,00	3	76
Trave Acciaio 40a-41a	0%	1,77	EFF	17.802	181.453	0,000	1.200	4,00	10.071	-6.777
	25,0%	2,79	EFF	17.802	181.453	0,000	1.200	4,00	6.372	-5.558
	50,0%	5,15	EFF	17.802	181.453	0,000	1.200	4,00	3.459	-4.233
	75,0%	13,34	EFF	17.802	181.453	0,000	1.200	4,00	1.334	-2.908
	100,0%	NS	EFF	17.802	181.453	0,000	1.200	4,00	3	76
Trave Acciaio 43a-44a	0%	1,76	EFF	17.802	181.453	0,000	1.200	4,00	10.109	-6.772
	25,0%	2,80	EFF	17.802	181.453	0,000	1.200	4,00	6.369	-5.536
	50,0%	5,18	EFF	17.802	181.453	0,000	1.200	4,00	3.437	-4.193

Travi (AC) - Verifiche a flessione

Id_{Tr}	%L_{L1}	CS	Tp Vr	M_{c,Rd}	V_{c,Rd}	ρ	A_v	t_w	M_{Ed}	V_{Ed}
	[%]			[N·m]	[N]		[mm²]	[mm]	[N·m]	[N]
	75,0%	13,55	EFF	17.802	181.453	0,000	1.200	4,00	1.314	-2.851
	100,0%	NS	ELA	9.646	91.936	0,000	608	4,00	0	0
Trave Acciaio 46a-47a	0%	1,77	EFF	17.802	181.453	0,000	1.200	4,00	10.058	-6.772
	25,0%	2,80	EFF	17.802	181.453	0,000	1.200	4,00	6.362	-5.553
	50,0%	5,16	EFF	17.802	181.453	0,000	1.200	4,00	3.452	-4.227
	75,0%	13,37	EFF	17.802	181.453	0,000	1.200	4,00	1.331	-2.902
	100,0%	NS	EFF	17.802	181.453	0,000	1.200	4,00	3	76
Trave Acciaio 49a-50a	0%	1,77	EFF	17.802	181.453	0,000	1.200	4,00	10.055	-6.771
	25,0%	2,80	EFF	17.802	181.453	0,000	1.200	4,00	6.360	-5.551
	50,0%	5,16	EFF	17.802	181.453	0,000	1.200	4,00	3.451	-4.226
	75,0%	13,38	EFF	17.802	181.453	0,000	1.200	4,00	1.330	-2.901
	100,0%	NS	EFF	17.802	181.453	0,000	1.200	4,00	3	75
Trave Acciaio 52a-53a	0%	1,76	EFF	17.802	181.453	0,000	1.200	4,00	10.088	-6.766
	25,0%	2,80	EFF	17.802	181.453	0,000	1.200	4,00	6.357	-5.531

Travi (AC) - Verifiche a flessione

Id_{Tr}	%L_{L1}	CS	Tp Vr	M_{c,Rd}	V_{c,Rd}	ρ	A_v	t_w	M_{Ed}	V_{Ed}
	[%]			[N·m]	[N]		[mm²]	[mm]	[N·m]	[N]
	50,0%	5,19	EFF	17.802	181.453	0,000	1.200	4,00	3.431	-4.190
	75,0%	13,57	EFF	17.802	181.453	0,000	1.200	4,00	1.312	-2.849
	100,0%	NS	EFF	17.802	181.453	0,000	1.200	4,00	1	57
Trave Acciaio 55a-56a	0%	1,77	EFF	17.802	181.453	0,000	1.200	4,00	10.042	-6.765
	25,0%	2,80	EFF	17.802	181.453	0,000	1.200	4,00	6.350	-5.546
	50,0%	5,17	EFF	17.802	181.453	0,000	1.200	4,00	3.444	-4.221
	75,0%	13,41	EFF	17.802	181.453	0,000	1.200	4,00	1.327	-2.896
	100,0%	NS	EFF	17.802	181.453	0,000	1.200	4,00	3	74
Trave Acciaio 58a-59a	0%	1,77	EFF	17.802	181.453	0,000	1.200	4,00	10.034	-6.760
	25,0%	2,81	EFF	17.802	181.453	0,000	1.200	4,00	6.345	-5.542
	50,0%	5,17	EFF	17.802	181.453	0,000	1.200	4,00	3.441	-4.217
	75,0%	13,43	EFF	17.802	181.453	0,000	1.200	4,00	1.326	-2.893
	100,0%	NS	EFF	17.802	181.453	0,000	1.200	4,00	3	74
Trave Acciaio 61a-62a	0%	1,77	EFF	17.802	181.453	0,000	1.200	4,00	10.058	-6.752

Travi (AC) - Verifiche a flessione

Id_{Tr}	%L_{L1}	CS	Tp Vr	M_{c,Rd}	V_{c,Rd}	ρ	A_v	t_w	M_{Ed}	V_{Ed}
	[%]			[N·m]	[N]		[mm²]	[mm]	[N·m]	[N]
	25,0%	2,81	EFF	17.802	181.453	0,000	1.200	4,00	6.339	-5.520
	50,0%	5,20	EFF	17.802	181.453	0,000	1.200	4,00	3.422	-4.183
	75,0%	13,60	EFF	17.802	181.453	0,000	1.200	4,00	1.309	-2.846
	100,0%	NS	EFF	17.802	181.453	0,000	1.200	4,00	1	48
Trave Acciaio 64a-65a	0%	1,78	EFF	17.802	181.453	0,000	1.200	4,00	10.014	-6.750
	25,0%	2,81	EFF	17.802	181.453	0,000	1.200	4,00	6.330	-5.532
	50,0%	5,19	EFF	17.802	181.453	0,000	1.200	4,00	3.432	-4.209
	75,0%	13,48	EFF	17.802	181.453	0,000	1.200	4,00	1.321	-2.885
	100,0%	NS	EFF	17.802	181.453	0,000	1.200	4,00	3	74
Trave Acciaio 67a-68a	0%	1,78	EFF	17.802	181.453	0,000	1.200	4,00	10.014	-6.750
	25,0%	2,81	EFF	17.802	181.453	0,000	1.200	4,00	6.330	-5.532
	50,0%	5,19	EFF	17.802	181.453	0,000	1.200	4,00	3.432	-4.209
	75,0%	13,48	EFF	17.802	181.453	0,000	1.200	4,00	1.321	-2.885
	100,0%	NS	EFF	17.802	181.453	0,000	1.200	4,00	3	74

Travi (AC) - Verifiche a flessione

Id_{Tr}	%L_{L1}	CS	Tp Vr	M_{c,Rd}	V_{c,Rd}	ρ	A_v	t_w	M_{Ed}	V_{Ed}
	[%]			[N·m]	[N]		[mm ²]	[mm]	[N·m]	[N]
Trave Acciaio 70a-71a	0%	1,77	EFF	17.802	181.453	0,000	1.200	4,00	10.038	-6.745
	25,0%	2,81	EFF	17.802	181.453	0,000	1.200	4,00	6.327	-5.515
	50,0%	5,21	EFF	17.802	181.453	0,000	1.200	4,00	3.416	-4.180
	75,0%	13,63	EFF	17.802	181.453	0,000	1.200	4,00	1.306	-2.844
	100,0%	NS	EFF	17.802	181.453	0,000	1.200	4,00	1	48
Trave Acciaio 73a-74a	0%	1,78	EFF	17.802	181.453	0,000	1.200	4,00	10.001	-6.745
	25,0%	2,82	EFF	17.802	181.453	0,000	1.200	4,00	6.321	-5.527
	50,0%	5,20	EFF	17.802	181.453	0,000	1.200	4,00	3.426	-4.203
	75,0%	13,51	EFF	17.802	181.453	0,000	1.200	4,00	1.318	-2.880
	100,0%	NS	EFF	17.802	181.453	0,000	1.200	4,00	3	73
Trave Acciaio 76a-77a	0%	1,78	EFF	17.802	181.453	0,000	1.200	4,00	9.999	-6.744
	25,0%	2,82	EFF	17.802	181.453	0,000	1.200	4,00	6.319	-5.526
	50,0%	5,20	EFF	17.802	181.453	0,000	1.200	4,00	3.425	-4.202
	75,0%	13,51	EFF	17.802	181.453	0,000	1.200	4,00	1.318	-2.879

Travi (AC) - Verifiche a flessione

Id_{Tr}	%L_{L1}	CS	Tp Vr	M_{c,Rd}	V_{c,Rd}	ρ	A_v	t_w	M_{Ed}	V_{Ed}
	[%]			[N·m]	[N]		[mm²]	[mm]	[N·m]	[N]
	100,0%	NS	EFF	17.802	181.453	0,000	1.200	4,00	3	72
Trave Acciaio 79a-80a	0%	1,77	EFF	17.802	181.453	0,000	1.200	4,00	10.067	-6.732
	25,0%	2,82	EFF	17.802	181.453	0,000	1.200	4,00	6.312	-5.481
	50,0%	5,26	EFF	17.802	181.453	0,000	1.200	4,00	3.382	-4.125
	75,0%	13,92	EFF	17.802	181.453	0,000	1.200	4,00	1.279	-2.768
	100,0%	NS	EFF	17.802	181.453	0,000	1.200	4,00	2	71
Trave Acciaio 10-82a	0%	1,81	EFF	17.802	181.453	0,000	1.200	4,00	9.811	-6.727
	25,0%	2,89	EFF	17.802	181.453	0,000	1.200	4,00	6.151	-5.409
	50,0%	5,40	EFF	17.802	181.453	0,000	1.200	4,00	3.297	-4.071
	75,0%	14,26	EFF	17.802	181.453	0,000	1.200	4,00	1.248	-2.733
	100,0%	NS	EFF	17.802	181.453	0,000	1.200	4,00	2	57
Trave Acciaio 84a-85a	0%	3,81	EFF	17.802	181.453	0,000	1.200	4,00	4.667	-3.239
	25,0%	6,06	EFF	17.802	181.453	0,000	1.200	4,00	2.939	-2.605
	50,0%	11,23	EFF	17.802	181.453	0,000	1.200	4,00	1.585	-1.972

Travi (AC) - Verifiche a flessione

Id_{Tr}	%L_{LI}	CS	Tp Vr	M_{c,Rd}	V_{c,Rd}	ρ	A_v	t_w	M_{Ed}	V_{Ed}
	[%]			[N·m]	[N]		[mm²]	[mm]	[N·m]	[N]
	75,0%	29,33	EFF	17.802	181.453	0,000	1.200	4,00	607	-1.338
	100%	NS	EFF	17.802	181.453	0,000	1.200	4,00	1	28

LEGENDA:

- Id_{Tr}** Identificativo della trave. L'eventuale lettera tra parentesi distingue i diversi tratti della travata al livello considerato.
- %L_{LI}** Posizione della sezione per la quale vengono forniti i valori di verifica, valutata come % della lunghezza libera d'inflessione (L_{LI}), a partire dall'estremo iniziale.
- CS** Coefficiente di sicurezza ([NS] = Non Significativo se CS ≥ 100; [VNR]= Verifica Non Richiesta; Informazioni aggiuntive sulla condizione: [V] = statica; [E] = eccezionale; [S] = sismica; [N] = sismica non lineare).
- Tp Vr** Tipo di verifica considerata: "PLS" = con Modulo di resistenza plastico; "ELA" = con modulo di resistenza elastico; "EFF" = con modulo di resistenza efficace.
- M_{c,Rd}** Momento resistente.
- V_{c,Rd}** Taglio resistente.
- ρ** Coefficiente riduttivo per presenza di taglio.
- A_v** Area resistente a taglio.
- t_w** Spessore anima resistente a taglio.
- M_{Ed}** Momento flettente di progetto.

Travi (AC) - Verifiche a flessione

Id _{Tr}	%L _{LI}	CS	Tp Vr	M _{c,Rd}	V _{c,Rd}	ρ	A _v	t _w	M _{Ed}	V _{Ed}
	[%]			[N·m]	[N]		[mm²]	[mm]	[N·m]	[N]

V_{Ed} Taglio di progetto.

TRAVI (AC) - VERIFICHE A PRESSOFLESSIONE DEVIATA (Elevazione)

Travi (AC) - Verifiche a pressoflessione deviata

Id _{Tr}	%L _{LI}	N _{Ed}	V _{Ed}	M _{Ed,3}	M _{Ed,2}	CS	Tp Vr	max/m in	M _{c,Rd}	V _{c,Rd}	ρ	A _v	t _w	N _{pl,Rd}
	[%]	[N]	[N]	[N·m]	[N·m]				[N·m]	[N]		[cm²]	[mm]	[N]
Piano Terra								Piano Terra						
Trave Acciaio 10-84a	0%	-	-8107	-4852	9269	10.89[V]	PLS	Max	46.619	232.109	0,000	1.535,0 0	10	804.879
			-4286					Min	46.619	232.109	0,000	1.535,0 0	10	
	25,0%	-	-7607	-3457	6634	19.01[V]	PLS	Max	46.619	232.109	0,000	1.535,0 0	10	804.879
			-4016					Min	46.619	232.109	0,000	1.535,0 0	10	

Travi (AC) - Verifiche a pressoflessione deviata

Id _{Tr}	%L _{L1}	N _{Ed}	V _{Ed}	M _{Ed,3}	M _{Ed,2}	CS	Tp Vr	max/m in	M _{c,Rd}	V _{c,Rd}	ρ	A _v	t _w	N _{pl,Rd}
	[%]	[N]	[N]	[N·m]	[N·m]				[N·m]	[N]		[cm²]	[mm]	[N]
	50,0%	-	-6958	-2181	4208	40.56[V]	PLS	Max	46.619	232.109	0,000	1.535,0 0	10	804.879
			-3643					Min	46.619	232.109	0,000	1.535,0 0	10	
	75,0%	-	-6310	-1031	1999	NS	PLS	Max	46.619	232.109	0,000	1.535,0 0	10	804.879
			-3269					Min	46.619	232.109	0,000	1.535,0 0	10	
	100,0 %	-	-	-	-	-	PLS	Max	46.619	232.109	0,000	1.535,0 0	10	804.879
			-					Min	46.619	232.109	0,000	1.535,0 0	10	
Trave Acciaio 1a-2a	0%	52	-	-	-	NS	EFF	Max	17.802	181.453	0,000	1.200,0 0	4	457.126
			-36					Min	9.646	91.936	0,000	608,00	4	
	25,0%	132	22	-623	10	27.53[V]	EFF	Max	17.802	181.453	0,000	1.200,0 0	4	457.126
			1384					Min	9.646	91.936	0,000	608,00	4	

Travi (AC) - Verifiche a pressoflessione deviata

Id _{Tr}	%L _{L1}	N _{Ed}	V _{Ed}	M _{Ed,3}	M _{Ed,2}	CS	Tp Vr	max/m in	M _{c,Rd}	V _{c,Rd}	ρ	A _v	t _w	N _{pl,Rd}
	[%]	[N]	[N]	[N·m]	[N·m]				[N·m]	[N]		[cm²]	[mm]	[N]
	50,0%	230	33	-1602	26	10.73[V]	EFF	Max	17.802	181.453	0,000	1.200,0 0	4	457.126
			1998					Min	9.646	91.936	0,000	608,00	4	
	75,0%	329	43	-2935	48	5.86[V]	EFF	Max	17.802	181.453	0,000	1.200,0 0	4	457.126
			2611					Min	9.646	91.936	0,000	608,00	4	
	100%	424	53	-4621	76	3.73[V]	EFF	Max	17.802	181.453	0,000	1.200,0 0	4	457.126
			3172					Min	9.646	91.936	0,000	608,00	4	
Trave Acciaio 4a-1	0%	107	7	2 -		NS	EFF	Max	17.802	181.453	0,000	1.200,0 0	4	457.126
			880					Min	9.646	91.936	0,000	608,00	4	
	25,0%	205	23	-1285	10	13.57[V]	EFF	Max	17.802	181.453	0,000	1.200,0 0	4	457.126
			2835					Min	9.646	91.936	0,000	608,00	4	
	50,0%	339	33	-3333	27	5.24[V]	EFF	Max	17.802	181.453	0,000	1.200,0 0	4	457.126

Travi (AC) - Verifiche a pressoflessione deviata

Id _{Tr}	%L _{L1}	N _{Ed}	V _{Ed}	M _{Ed,3}	M _{Ed,2}	CS	Tp Vr	max/m in	M _{c,Rd}	V _{c,Rd}	ρ	A _v	t _w	N _{pl,Rd}
	[%]	[N]	[N]	[N·m]	[N·m]				[N·m]	[N]		[cm ²]	[mm]	[N]
			4129					Min	9.646	91.936	0,000	608,00	4	
	75,0%	473	44	-6141	49	2.85[V]	EFF	Max	17.802	181.453	0,000	1.200,00	4	457.126
			5422					Min	9.646	91.936	0,000	608,00	4	
	100,0 %	597	53	-9702	78	1.80[V]	EFF	Max	17.802	181.453	0,000	1.200,00	4	457.126
			6527					Min	9.646	91.936	0,000	608,00	4	
Trave Acciaio 2a-1	0%	-64	3484	1 -		NS	PLS	Max	46.619	232.109	0,000	1.535,00	10	804.074
			1378					Min	46.619	232.109	0,000	1.535,00	10	
	25,0%	-117	6310	-1032	2000	NS	PLS	Max	46.619	232.109	0,000	1.535,00	10	804.074
			3276					Min	46.619	232.109	0,000	1.535,00	10	
	50,0%	-129	6958	-2185	4209	40.52[V]	PLS	Max	46.619	232.109	0,000	1.535,00	10	804.074

Travi (AC) - Verifiche a pressoflessione deviata

Id _{Tr}	%L _{L1}	N _{Ed}	V _{Ed}	M _{Ed,3}	M _{Ed,2}	CS	Tp Vr	max/m in	M _{c,Rd}	V _{c,Rd}	ρ	A _v	t _w	N _{pl,Rd}
	[%]	[N]	[N]	[N·m]	[N·m]				[N·m]	[N]		[cm ²]	[mm]	[N]
			3649					Min	46.619	232.109	0,000	1.535,0 0	10	
	75,0%	-141	7607	-3462	6634	19.00[V]	PLS	Max	46.619	232.109	0,000	1.535,0 0	10	804.074
			4022					Min	46.619	232.109	0,000	1.535,0 0	10	
	100,0 %	-150	8107	-4859	9270	10.88[V]	PLS	Max	46.619	232.109	0,000	1.535,0 0	10	804.074
			4291					Min	46.619	232.109	0,000	1.535,0 0	10	
Trave Acciaio 6a-7a	0%	106	-	2	-	NS	EFF	Max	17.802	181.453	0,000	1.200,0 0	4	457.126
			882					Min	9.646	91.936	0,000	608,00	4	
	25,0%	203	-	-1261	-	14.03[V]	EFF	Max	17.802	181.453	0,000	1.200,0 0	4	457.126
			2817					Min	9.646	91.936	0,000	608,00	4	
	50,0%	335	-	-3260	-	5.44[V]	EFF	Max	17.802	181.453	0,000	1.200,0 0	4	457.126

Travi (AC) - Verifiche a pressoflessione deviata

Id _{Tr}	%L _{L1}	N _{Ed}	V _{Ed}	M _{Ed,3}	M _{Ed,2}	CS	Tp Vr	max/m in	M _{c,Rd}	V _{c,Rd}	ρ	A _v	t _w	N _{pl,Rd}
	[%]	[N]	[N]	[N·m]	[N·m]				[N·m]	[N]		[cm ²]	[mm]	[N]
	75,0%	467	4091					Min	9.646	91.936	0,000	608,00	4	457.126
			-	-5997	-	2.96[V]	EFF	Max	17.802	181.453	0,000	1.200,00	4	
			5364					Min	9.646	91.936	0,000	608,00	4	
	100%	594	-	-9469	-	1.88[V]	EFF	Max	17.802	181.453	0,000	1.200,00	4	457.126
			6533					Min	9.646	91.936	0,000	608,00	4	
Trave Acciaio 1-7a	0%	-119	-	-4633	9268	11.10[V]	PLS	Max	46.619	232.109	0,000	1.535,00	10	804.879
			11337											
			-6441					Min	46.619	232.109	0,000	1.535,00	10	
	25,0%	-119	-	-2520	5557	26.91[V]	PLS	Max	46.619	232.109	0,000	1.535,00	10	804.879
			10837											
			-6171					Min	46.619	232.109	0,000	1.535,00	10	
	50,0%	-119	-	-527	2056	NS	PLS	Max	46.619	232.109	0,000	1.535,00	10	804.879
			10189											

Travi (AC) - Verifiche a pressoflessione deviata

Id _{Tr}	%L _{L1}	N _{Ed}	V _{Ed}	M _{Ed,3}	M _{Ed,2}	CS	Tp Vr	max/m in	M _{c,Rd}	V _{c,Rd}	ρ	A _v	t _w	N _{pl,Rd}
	[%]	[N]	[N]	[N·m]	[N·m]				[N·m]	[N]		[cm²]	[mm]	[N]
			-5798					Min	46.619	232.109	0,000	1.535,0 0	10	
	75,0%	-365	9	-594	-	78.48[V]	PLS	Max	46.619	232.109	0,000	1.535,0 0	10	804.879
			2940					Min	46.619	232.109	0,000	1.535,0 0	10	
	100,0 %	-119	-9040	3091	-4304	33.09[V]	PLS	Max	46.619	232.109	0,000	1.535,0 0	10	804.879
			-5155					Min	46.619	232.109	0,000	1.535,0 0	10	
Trave Acciaio 9a-10a	0%	102	-	-3	-	NS	EFF	Max	17.802	181.453	0,000	1.200,0 0	4	457.126
			-71					Min	9.646	91.936	0,000	608,00	4	
	25,0%	198	-	-1227	-	14.42[V]	EFF	Max	17.802	181.453	0,000	1.200,0 0	4	457.126
			2708					Min	9.646	91.936	0,000	608,00	4	
	50,0%	334	-	-3228	-	5.49[V]	EFF	Max	17.802	181.453	0,000	1.200,0 0	4	457.126

Travi (AC) - Verifiche a pressoflessione deviata

Id _{Tr}	%L _{L1}	N _{Ed}	V _{Ed}	M _{Ed,3}	M _{Ed,2}	CS	Tp Vr	max/m in	M _{c,Rd}	V _{c,Rd}	ρ	A _v	t _w	N _{pl,Rd}
	[%]	[N]	[N]	[N·m]	[N·m]				[N·m]	[N]		[cm ²]	[mm]	[N]
	75,0%	469	4018					Min	9.646	91.936	0,000	608,00	4	457.126
			-	-6009	-	2.95[V]	EFF	Max	17.802	181.453	0,000	1.200,00	4	
			5328					Min	9.646	91.936	0,000	608,00	4	
	100,0 %	600	-	-9567	-	1.86[V]	EFF	Max	17.802	181.453	0,000	1.200,00	4	457.126
													4	
			6534					Min	9.646	91.936	0,000	608,00	4	
Trave Acciaio 7a-10a	0%	-119	2584	3091	-4304	33.09[V]	PLS	Max	46.619	232.109	0,000	1.535,00	10	804.879
			1504					Min	46.619	232.109	0,000	1.535,00	10	
	25,0%	-119	3085	2558	-3379	47.85[V]	PLS	Max	46.619	232.109	0,000	1.535,00	10	804.879
			1774					Min	46.619	232.109	0,000	1.535,00	10	
	50,0%	-119	3733	1905	-2244	87.32[V]	PLS	Max	46.619	232.109	0,000	1.535,00	10	804.879

Travi (AC) - Verifiche a pressoflessione deviata

Id _{Tr}	%L _{L1}	N _{Ed}	V _{Ed}	M _{Ed,3}	M _{Ed,2}	CS	Tp Vr	max/m in	M _{c,Rd}	V _{c,Rd}	ρ	A _v	t _w	N _{pl,Rd}
	[%]	[N]	[N]	[N·m]	[N·m]				[N·m]	[N]		[cm²]	[mm]	[N]
			2148					Min	46.619	232.109	0,000	1.535,0 0	10	
	75,0%	-297	-2	-506	-	92.13[V]	PLS	Max	46.619	232.109	0,000	1.535,0 0	10	804.879
			-993					Min	46.619	232.109	0,000	1.535,0 0	10	
	100,0 %	-300	2927	-	401	NS	PLS	Max	46.619	232.109	0,000	1.535,0 0	10	804.879
			771					Min	46.619	232.109	0,000	1.535,0 0	10	
Trave Acciaio 12a-13a	0%	102	-	-3	-	NS	EFF	Max	17.802	181.453	0,000	1.200,0 0	4	457.126
			-71					Min	9.646	91.936	0,000	608,00	4	
	25,0%	198	-	-1229	-	14.39[V]	EFF	Max	17.802	181.453	0,000	1.200,0 0	4	457.126
			2711					Min	9.646	91.936	0,000	608,00	4	
	50,0%	334	-	-3232	-	5.49[V]	EFF	Max	17.802	181.453	0,000	1.200,0 0	4	457.126

Travi (AC) - Verifiche a pressoflessione deviata

Id _{Tr}	%L _{L1}	N _{Ed}	V _{Ed}	M _{Ed,3}	M _{Ed,2}	CS	Tp Vr	max/m in	M _{c,Rd}	V _{c,Rd}	ρ	A _v	t _w	N _{pl,Rd}
	[%]	[N]	[N]	[N·m]	[N·m]				[N·m]	[N]		[cm ²]	[mm]	[N]
	75,0%	469	4022	-6015	-	2.95[V]	EFF	Min	9.646	91.936	0,000	608,00	4	457.126
			-					Max	17.802	181.453	0,000	1.200,00	4	
			5333					Min	9.646	91.936	0,000	608,00	4	
	100,0 %	600	-	-9576	-	1.85[V]	EFF	Max	17.802	181.453	0,000	1.200,00	4	457.126
			-					Min	9.646	91.936	0,000	608,00	4	
			6539					Min	9.646	91.936	0,000	608,00	4	
Trave Acciaio 2-13a	0%	-902	-	-7953	12055	6.29[V]	PLS	Max	46.619	232.109	0,000	1.535,00	10	804.074
			20220					Min	46.619	232.109	0,000	1.535,00	10	
			-					Min	46.619	232.109	0,000	1.535,00	10	
	25,1%	-902	-	-6004	8715	10.51[V]	PLS	Max	46.619	232.109	0,000	1.535,00	10	804.074
			19896					Min	46.619	232.109	0,000	1.535,00	10	
			-					Min	46.619	232.109	0,000	1.535,00	10	
	50,0%	-902	-	-4087	5429	21.85[V]	PLS	Max	46.619	232.109	0,000	1.535,00	10	804.074

Travi (AC) - Verifiche a pressoflessione deviata

Id _{Tr}	%L _{L1}	N _{Ed}	V _{Ed}	M _{Ed,3}	M _{Ed,2}	CS	Tp Vr	max/m in	M _{c,Rd}	V _{c,Rd}	ρ	A _v	t _w	N _{pl,Rd}
	[%]	[N]	[N]	[N·m]	[N·m]				[N·m]	[N]		[cm ²]	[mm]	[N]
			- 11422					Min	46.619	232.109	0,000	1.535,0 0	10	
	75,1%	-22	10	648	-	71.94[V]	PLS	Max	46.619	232.109	0,000	1.535,0 0	10	804.074
			3319					Min	46.619	232.109	0,000	1.535,0 0	10	
	100,0 %	-902	- 19071	-341	-987	NS	PLS	Max	46.619	232.109	0,000	1.535,0 0	10	804.074
			- 11152					Min	46.619	232.109	0,000	1.535,0 0	10	
Trave Acciaio 15a-16a	0%	102	-	-	-	NS	EFF	Max	17.802	181.453	0,000	1.200,0 0	4	457.126
			-71					Min	9.646	91.936	0,000	608,00	4	
	25,0%	200	-	-1251	-	14.14[V]	EFF	Max	17.802	181.453	0,000	1.200,0 0	4	457.126
			2783					Min	9.646	91.936	0,000	608,00	4	
	50,0%	334	-	-3256	-	5.45[V]	EFF	Max	17.802	181.453	0,000	1.200,0 0	4	457.126

Travi (AC) - Verifiche a pressoflessione deviata

Id _{Tr}	%L _{L1}	N _{Ed}	V _{Ed}	M _{Ed,3}	M _{Ed,2}	CS	Tp Vr	max/m in	M _{c,Rd}	V _{c,Rd}	ρ	A _v	t _w	N _{pl,Rd}
	[%]	[N]	[N]	[N·m]	[N·m]				[N·m]	[N]		[cm ²]	[mm]	[N]
	75,0%	467	4072	-6015	-	2.95[V]	EFF	Min	9.646	91.936	0,000	608,00	4	457.126
			-					Max	17.802	181.453	0,000	1.200,00	4	
			5360					Min	9.646	91.936	0,000	608,00	4	
	100,0 %	595	-	-9526	-	1.86[V]	EFF	Max	17.802	181.453	0,000	1.200,00	4	457.126
			-					Min	9.646	91.936	0,000	608,00	4	
			6545					Min	9.646	91.936	0,000	608,00	4	
Trave Acciaio 13a-16a	0%	-902	-7444	-341	-987	NS	PLS	Max	46.619	232.109	0,000	1.535,00	10	804.074
			-4490					Min	46.619	232.109	0,000	1.535,00	10	
	25,0%	-902	-6944	1123	-3402	66.54[V]	PLS	Max	46.619	232.109	0,000	1.535,00	10	804.074
			-4220					Min	46.619	232.109	0,000	1.535,00	10	
	50,0%	-902	-6295	2466	-5606	26.80[V]	PLS	Max	46.619	232.109	0,000	1.535,00	10	804.074

Travi (AC) - Verifiche a pressoflessione deviata

Id _{Tr}	%L _{L1}	N _{Ed}	V _{Ed}	M _{Ed,3}	M _{Ed,2}	CS	Tp Vr	max/m in	M _{c,Rd}	V _{c,Rd}	ρ	A _v	t _w	N _{pl,Rd}
	[%]	[N]	[N]	[N·m]	[N·m]				[N·m]	[N]		[cm²]	[mm]	[N]
			-3846					Min	46.619	232.109	0,000	1.535,0 0	10	
	75,0%	-902	-5647	3684	-7595	15.63[V]	PLS	Max	46.619	232.109	0,000	1.535,0 0	10	804.074
			-3472					Min	46.619	232.109	0,000	1.535,0 0	10	
	100,0 %	-902	-5147	4782	-9373	10.80[V]	PLS	Max	46.619	232.109	0,000	1.535,0 0	10	804.074
			-3202					Min	46.619	232.109	0,000	1.535,0 0	10	
Trave Acciaio 18a-19a	0%	102	-	-3	-	NS	EFF	Max	17.802	181.453	0,000	1.200,0 0	4	457.126
			-71					Min	9.646	91.936	0,000	608,00	4	
	25,0%	198	-	-1231	-	14.37[V]	EFF	Max	17.802	181.453	0,000	1.200,0 0	4	457.126
			2716					Min	9.646	91.936	0,000	608,00	4	
	50,0%	334	-	-3237	-	5.48[V]	EFF	Max	17.802	181.453	0,000	1.200,0 0	4	457.126

Travi (AC) - Verifiche a pressoflessione deviata

Id _{Tr}	%L _{L1}	N _{Ed}	V _{Ed}	M _{Ed,3}	M _{Ed,2}	CS	Tp Vr	max/m in	M _{c,Rd}	V _{c,Rd}	ρ	A _v	t _w	N _{pl,Rd}
	[%]	[N]	[N]	[N·m]	[N·m]				[N·m]	[N]		[cm ²]	[mm]	[N]
	75,0%	470	4027	-6023	-	2.95[V]	EFF	Min	9.646	91.936	0,000	608,00	4	457.126
			-					Max	17.802	181.453	0,000	1.200,00	4	
			5338					Min	9.646	91.936	0,000	608,00	4	
	100,0 %	600	-	-9587	-	1.85[V]	EFF	Max	17.802	181.453	0,000	1.200,00	4	457.126
			-					Min	9.646	91.936	0,000	608,00	4	
			6544					Min	9.646	91.936	0,000	608,00	4	
Trave Acciaio 16a-19a	0%	-902	6482	4782	-9373	10.80[V]	PLS	Max	46.619	232.109	0,000	1.535,00	10	804.074
			3461					Min	46.619	232.109	0,000	1.535,00	10	
	25,0%	-902	6982	3598	-7150	17.03[V]	PLS	Max	46.619	232.109	0,000	1.535,00	10	804.074
			3731					Min	46.619	232.109	0,000	1.535,00	10	
	50,0%	-902	7630	2293	-4717	34.43[V]	PLS	Max	46.619	232.109	0,000	1.535,00	10	804.074

Travi (AC) - Verifiche a pressoflessione deviata

Id _{Tr}	%L _{L1}	N _{Ed}	V _{Ed}	M _{Ed,3}	M _{Ed,2}	CS	Tp Vr	max/m in	M _{c,Rd}	V _{c,Rd}	ρ	A _v	t _w	N _{pl,Rd}
	[%]	[N]	[N]	[N·m]	[N·m]				[N·m]	[N]		[cm²]	[mm]	[N]
			4105					Min	46.619	232.109	0,000	1.535,0 0	10	
	75,0%	-902	8279	864	-2068	NS	PLS	Max	46.619	232.109	0,000	1.535,0 0	10	804.074
			4479					Min	46.619	232.109	0,000	1.535,0 0	10	
	100,0 %	93	-7	314	-	NS	PLS	Max	46.619	232.109	0,000	1.535,0 0	10	804.074
			-2341					Min	46.619	232.109	0,000	1.535,0 0	10	
Trave Acciaio 21a-22a	0%	102	-	-3	-	NS	EFF	Max	17.802	181.453	0,000	1.200,0 0	4	457.126
			-71					Min	9.646	91.936	0,000	608,00	4	
	25,0%	198	-	-1232	-	14.36[V]	EFF	Max	17.802	181.453	0,000	1.200,0 0	4	457.126
			2718					Min	9.646	91.936	0,000	608,00	4	
	50,0%	334	-	-3240	-	5.47[V]	EFF	Max	17.802	181.453	0,000	1.200,0 0	4	457.126

Travi (AC) - Verifiche a pressoflessione deviata

Id _{Tr}	%L _{L1}	N _{Ed}	V _{Ed}	M _{Ed,3}	M _{Ed,2}	CS	Tp Vr	max/m in	M _{c,Rd}	V _{c,Rd}	ρ	A _v	t _w	N _{pl,Rd}
	[%]	[N]	[N]	[N·m]	[N·m]				[N·m]	[N]		[cm ²]	[mm]	[N]
	75,0%	470	4029	-6027	-	2.94[V]	EFF	Min	9.646	91.936	0,000	608,00	4	457.126
			-					Max	17.802	181.453	0,000	1.200,0 0	4	
			5340					Min	9.646	91.936	0,000	608,00	4	
	100,0 %	600	-	-9593	-	1.85[V]	EFF	Max	17.802	181.453	0,000	1.200,0 0	4	457.126
			-					Min	9.646	91.936	0,000	608,00	4	
			6546					Min	9.646	91.936	0,000	608,00	4	
Trave Acciaio 3-22a	0%	-795	- 20927	-8296	14719	4.88[V]	PLS	Max	46.619	232.109	0,000	1.535,0 0	10	804.074
			- 11920					Min	46.619	232.109	0,000	1.535,0 0	10	
			- 11920					Min	46.619	232.109	0,000	1.535,0 0	10	
	25,1%	-795	- 20603	-6327	11261	7.64[V]	PLS	Max	46.619	232.109	0,000	1.535,0 0	10	804.074
			- 11733					Min	46.619	232.109	0,000	1.535,0 0	10	
			- 11733					Min	46.619	232.109	0,000	1.535,0 0	10	
	50,0%	-795	- 20279	-4389	7857	13.92[V]	PLS	Max	46.619	232.109	0,000	1.535,0 0	10	804.074

Travi (AC) - Verifiche a pressoflessione deviata

Id _{Tr}	%L _{L1}	N _{Ed}	V _{Ed}	M _{Ed,3}	M _{Ed,2}	CS	Tp Vr	max/m in	M _{c,Rd}	V _{c,Rd}	ρ	A _v	t _w	N _{pl,Rd}
	[%]	[N]	[N]	[N·m]	[N·m]				[N·m]	[N]		[cm ²]	[mm]	[N]
			- 11546					Min	46.619	232.109	0,000	1.535,0 0	10	
	75,1%	-795	- 19954	-2482	4507	35.25[V]	PLS	Max	46.619	232.109	0,000	1.535,0 0	10	804.074
			- 11359					Min	46.619	232.109	0,000	1.535,0 0	10	
	100,0 %	-795	- 19778	-602	1206	NS	PLS	Max	46.619	232.109	0,000	1.535,0 0	10	804.074
			- 11276					Min	46.619	232.109	0,000	1.535,0 0	10	
Trave Acciaio 24a-25a	0%	102	-	-	-	NS	EFF	Max	17.802	181.453	0,000	1.200,0 0	4	457.126
			-71					Min	9.646	91.936	0,000	608,00	4	
	25,0%	201	-	-1253	-	14.12[V]	EFF	Max	17.802	181.453	0,000	1.200,0 0	4	457.126
			2784					Min	9.646	91.936	0,000	608,00	4	
	50,0%	334	-	-3263	-	5.43[V]	EFF	Max	17.802	181.453	0,000	1.200,0 0	4	457.126

Travi (AC) - Verifiche a pressoflessione deviata

Id _{Tr}	%L _{L1}	N _{Ed}	V _{Ed}	M _{Ed,3}	M _{Ed,2}	CS	Tp Vr	max/m in	M _{c,Rd}	V _{c,Rd}	ρ	A _v	t _w	N _{pl,Rd}
	[%]	[N]	[N]	[N·m]	[N·m]				[N·m]	[N]		[cm ²]	[mm]	[N]
	75,0%	468	4075	-6028	-	2.94[V]	EFF	Min	9.646	91.936	0,000	608,00	4	457.126
			-					Max	17.802	181.453	0,000	1.200,00	4	
			5365					Min	9.646	91.936	0,000	608,00	4	
	100,0 %	596	-	-9546	-	1.86[V]	EFF	Max	17.802	181.453	0,000	1.200,00	4	457.126
			-					Min	9.646	91.936	0,000	608,00	4	
			6551					Min	9.646	91.936	0,000	608,00	4	
Trave Acciaio 22a-25a	0%	-795	-8151	-602	1206	NS	PLS	Max	46.619	232.109	0,000	1.535,00	10	804.074
			-4614					Min	46.619	232.109	0,000	1.535,00	10	
	25,0%	-795	-7651	903	-1445	NS	PLS	Max	46.619	232.109	0,000	1.535,00	10	804.074
			-4343					Min	46.619	232.109	0,000	1.535,00	10	
	50,0%	-795	-7003	2287	-3885	43.72[V]	PLS	Max	46.619	232.109	0,000	1.535,00	10	804.074

Travi (AC) - Verifiche a pressoflessione deviata

Id _{Tr}	%L _{L1}	N _{Ed}	V _{Ed}	M _{Ed,3}	M _{Ed,2}	CS	Tp Vr	max/m in	M _{c,Rd}	V _{c,Rd}	ρ	A _v	t _w	N _{pl,Rd}
	[%]	[N]	[N]	[N·m]	[N·m]				[N·m]	[N]		[cm ²]	[mm]	[N]
			-3970					Min	46.619	232.109	0,000	1.535,0 0	10	
	75,0%	-795	-6354	3547	-6109	20.76[V]	PLS	Max	46.619	232.109	0,000	1.535,0 0	10	804.074
			-3596					Min	46.619	232.109	0,000	1.535,0 0	10	
	100,0 %	-795	-5854	4686	-8122	12.98[V]	PLS	Max	46.619	232.109	0,000	1.535,0 0	10	804.074
			-3325					Min	46.619	232.109	0,000	1.535,0 0	10	
Trave Acciaio 27a-28a	0%	102	-	-3	-	NS	EFF	Max	17.802	181.453	0,000	1.200,0 0	4	457.126
			-71					Min	9.646	91.936	0,000	608,00	4	
	25,0%	199	-	-1235	-	14.32[V]	EFF	Max	17.802	181.453	0,000	1.200,0 0	4	457.126
			2723					Min	9.646	91.936	0,000	608,00	4	
	50,0%	334	-	-3245	-	5.46[V]	EFF	Max	17.802	181.453	0,000	1.200,0 0	4	457.126

Travi (AC) - Verifiche a pressoflessione deviata

Id _{Tr}	%L _{L1}	N _{Ed}	V _{Ed}	M _{Ed,3}	M _{Ed,2}	CS	Tp Vr	max/m in	M _{c,Rd}	V _{c,Rd}	ρ	A _v	t _w	N _{pl,Rd}
	[%]	[N]	[N]	[N·m]	[N·m]				[N·m]	[N]		[cm²]	[mm]	[N]
	75,0%	470	4034	-6035	-	2.94[V]	EFF	Min	9.646	91.936	0,000	608,00	4	457.126
			-					Max	17.802	181.453	0,000	1.200,00	4	
			5344					Min	9.646	91.936	0,000	608,00	4	
	100,0 %	600	-	-9603	-	1.85[V]	EFF	Max	17.802	181.453	0,000	1.200,00	4	457.126
			-					Min	9.646	91.936	0,000	608,00	4	
			6551					Min	9.646	91.936	0,000	608,00	4	
Trave Acciaio 25a-28a	0%	-795	5772	4686	-8122	12.98[V]	PLS	Max	46.619	232.109	0,000	1.535,00	10	804.074
			3335					Min	46.619	232.109	0,000	1.535,00	10	
	25,0%	-795	6272	3544	-6136	20.66[V]	PLS	Max	46.619	232.109	0,000	1.535,00	10	804.074
			3605					Min	46.619	232.109	0,000	1.535,00	10	
	50,0%	-795	6920	2281	-3939	43.07[V]	PLS	Max	46.619	232.109	0,000	1.535,00	10	804.074

Travi (AC) - Verifiche a pressoflessione deviata

Id _{Tr}	%L _{L1}	N _{Ed}	V _{Ed}	M _{Ed,3}	M _{Ed,2}	CS	Tp Vr	max/m in	M _{c,Rd}	V _{c,Rd}	ρ	A _v	t _w	N _{pl,Rd}
	[%]	[N]	[N]	[N·m]	[N·m]				[N·m]	[N]		[cm ²]	[mm]	[N]
			3979					Min	46.619	232.109	0,000	1.535,0 0	10	
	75,0%	-795	7569	893	-1527	NS	PLS	Max	46.619	232.109	0,000	1.535,0 0	10	804.074
			4353					Min	46.619	232.109	0,000	1.535,0 0	10	
	100,0 %	60	-6	278	-	NS	PLS	Max	46.619	232.109	0,000	1.535,0 0	10	804.074
			-2274					Min	46.619	232.109	0,000	1.535,0 0	10	
Trave Acciaio 30a-31a	0%	102	-	-3	-	NS	EFF	Max	17.802	181.453	0,000	1.200,0 0	4	457.126
			-71					Min	9.646	91.936	0,000	608,00	4	
	25,0%	199	-	-1236	-	14.31[V]	EFF	Max	17.802	181.453	0,000	1.200,0 0	4	457.126
			2725					Min	9.646	91.936	0,000	608,00	4	
	50,0%	334	-	-3248	-	5.46[V]	EFF	Max	17.802	181.453	0,000	1.200,0 0	4	457.126

Travi (AC) - Verifiche a pressoflessione deviata

Id _{Tr}	%L _{L1}	N _{Ed}	V _{Ed}	M _{Ed,3}	M _{Ed,2}	CS	Tp Vr	max/m in	M _{c,Rd}	V _{c,Rd}	ρ	A _v	t _w	N _{pl,Rd}
	[%]	[N]	[N]	[N·m]	[N·m]				[N·m]	[N]		[cm ²]	[mm]	[N]
	75,0%	470	4036	-6039	-	2.94[V]	EFF	Min	9.646	91.936	0,000	608,00	4	457.126
			-					Max	17.802	181.453	0,000	1.200,00	4	
			5347					Min	9.646	91.936	0,000	608,00	4	
	100,0 %	600	-	-9609	-	1.85[V]	EFF	Max	17.802	181.453	0,000	1.200,00	4	457.126
			-					Min	9.646	91.936	0,000	608,00	4	
			6553					Min	9.646	91.936	0,000	608,00	4	
Trave Acciaio 4-31a	0%	-758	-	-8277	14551	4.96[V]	PLS	Max	46.619	232.109	0,000	1.535,00	10	804.074
			20883					Min	46.619	232.109	0,000	1.535,00	10	
			-					Min	46.619	232.109	0,000	1.535,00	10	
	25,1%	-758	-	-6309	11101	7.78[V]	PLS	Max	46.619	232.109	0,000	1.535,00	10	804.074
			20558					Min	46.619	232.109	0,000	1.535,00	10	
			-					Min	46.619	232.109	0,000	1.535,00	10	
	50,0%	-758	-	-4373	7705	14.28[V]	PLS	Max	46.619	232.109	0,000	1.535,00	10	804.074

Travi (AC) - Verifiche a pressoflessione deviata

Id _{Tr}	%L _{L1}	N _{Ed}	V _{Ed}	M _{Ed,3}	M _{Ed,2}	CS	Tp Vr	max/m in	M _{c,Rd}	V _{c,Rd}	ρ	A _v	t _w	N _{pl,Rd}
	[%]	[N]	[N]	[N·m]	[N·m]				[N·m]	[N]		[cm ²]	[mm]	[N]
			- 11536					Min	46.619	232.109	0,000	1.535,0 0	10	
	75,1%	-758	- 19910	-2467	4362	36.77[V]	PLS	Max	46.619	232.109	0,000	1.535,0 0	10	804.074
			- 11349					Min	46.619	232.109	0,000	1.535,0 0	10	
	100,0 %	61	17	279	-	NS	PLS	Max	46.619	232.109	0,000	1.535,0 0	10	804.074
			5896					Min	46.619	232.109	0,000	1.535,0 0	10	
Trave Acciaio 33a-34a	0%	102	-	-	-	NS	EFF	Max	17.802	181.453	0,000	1.200,0 0	4	457.126
			-71					Min	9.646	91.936	0,000	608,00	4	
	25,0%	201	-	-1256	-	14.09[V]	EFF	Max	17.802	181.453	0,000	1.200,0 0	4	457.126
			2786					Min	9.646	91.936	0,000	608,00	4	
	50,0%	335	-	-3269	-	5.42[V]	EFF	Max	17.802	181.453	0,000	1.200,0 0	4	457.126

Travi (AC) - Verifiche a pressoflessione deviata

Id _{Tr}	%L _{L1}	N _{Ed}	V _{Ed}	M _{Ed,3}	M _{Ed,2}	CS	Tp Vr	max/m in	M _{c,Rd}	V _{c,Rd}	ρ	A _v	t _w	N _{pl,Rd}
	[%]	[N]	[N]	[N·m]	[N·m]				[N·m]	[N]		[cm ²]	[mm]	[N]
	75,0%	468	4078	-6040	-	2.94[V]	EFF	Min	9.646	91.936	0,000	608,00	4	457.126
			-					Max	17.802	181.453	0,000	1.200,00	4	
			5370					Min	9.646	91.936	0,000	608,00	4	
	100,0 %	597	-	-9567	-	1.86[V]	EFF	Max	17.802	181.453	0,000	1.200,00	4	457.126
			-					Min	9.646	91.936	0,000	608,00	4	
			6558					Min	9.646	91.936	0,000	608,00	4	
Trave Acciaio 31a-34a	0%	61	6	279	-	NS	PLS	Max	46.619	232.109	0,000	1.535,00	10	804.074
			2277					Min	46.619	232.109	0,000	1.535,00	10	
	25,0%	-758	-7612	914	-1569	NS	PLS	Max	46.619	232.109	0,000	1.535,00	10	804.074
			-4337					Min	46.619	232.109	0,000	1.535,00	10	
	50,0%	-758	-6964	2296	-3997	42.20[V]	PLS	Max	46.619	232.109	0,000	1.535,00	10	804.074

Travi (AC) - Verifiche a pressoflessione deviata

Id _{Tr}	%L _{L1}	N _{Ed}	V _{Ed}	M _{Ed,3}	M _{Ed,2}	CS	Tp Vr	max/m in	M _{c,Rd}	V _{c,Rd}	ρ	A _v	t _w	N _{pl,Rd}
	[%]	[N]	[N]	[N·m]	[N·m]				[N·m]	[N]		[cm ²]	[mm]	[N]
			-3964					Min	46.619	232.109	0,000	1.535,0 0	10	
	75,0%	-758	-6316	3554	-6208	20.35[V]	PLS	Max	46.619	232.109	0,000	1.535,0 0	10	804.074
			-3590					Min	46.619	232.109	0,000	1.535,0 0	10	
	100,0 %	-758	-5815	4691	-8209	12.81[V]	PLS	Max	46.619	232.109	0,000	1.535,0 0	10	804.074
			-3320					Min	46.619	232.109	0,000	1.535,0 0	10	
Trave Acciaio 36a-37a	0%	102	-	-3	-	NS	EFF	Max	17.802	181.453	0,000	1.200,0 0	4	457.126
			-71					Min	9.646	91.936	0,000	608,00	4	
	25,0%	199	-	-1239	-	14.28[V]	EFF	Max	17.802	181.453	0,000	1.200,0 0	4	457.126
			2729					Min	9.646	91.936	0,000	608,00	4	
	50,0%	335	-	-3253	-	5.45[V]	EFF	Max	17.802	181.453	0,000	1.200,0 0	4	457.126

Travi (AC) - Verifiche a pressoflessione deviata

Id _{Tr}	%L _{L1}	N _{Ed}	V _{Ed}	M _{Ed,3}	M _{Ed,2}	CS	Tp Vr	max/m in	M _{c,Rd}	V _{c,Rd}	ρ	A _v	t _w	N _{pl,Rd}
	[%]	[N]	[N]	[N·m]	[N·m]				[N·m]	[N]		[cm ²]	[mm]	[N]
	75,0%	470	4040	-6047	-	2.94[V]	EFF	Min	9.646	91.936	0,000	608,00	4	457.126
			-					Max	17.802	181.453	0,000	1.200,00	4	
			5351					Min	9.646	91.936	0,000	608,00	4	
	100,0 %	601	-	-9619	-	1.85[V]	EFF	Max	17.802	181.453	0,000	1.200,00	4	457.126
			-					Min	9.646	91.936	0,000	608,00	4	
			6558					Min	9.646	91.936	0,000	608,00	4	
Trave Acciaio 34a-37a	0%	-758	5804	4691	-8209	12.81[V]	PLS	Max	46.619	232.109	0,000	1.535,00	10	804.074
			3339					Min	46.619	232.109	0,000	1.535,00	10	
	25,0%	-758	6305	3547	-6211	20.36[V]	PLS	Max	46.619	232.109	0,000	1.535,00	10	804.074
			3609					Min	46.619	232.109	0,000	1.535,00	10	
	50,0%	-758	6953	2283	-4004	42.22[V]	PLS	Max	46.619	232.109	0,000	1.535,00	10	804.074

Travi (AC) - Verifiche a pressoflessione deviata

Id _{Tr}	%L _{L1}	N _{Ed}	V _{Ed}	M _{Ed,3}	M _{Ed,2}	CS	Tp Vr	max/m in	M _{c,Rd}	V _{c,Rd}	ρ	A _v	t _w	N _{pl,Rd}
	[%]	[N]	[N]	[N·m]	[N·m]				[N·m]	[N]		[cm ²]	[mm]	[N]
			3983					Min	46.619	232.109	0,000	1.535,0 0	10	
	75,0%	-758	7602	894	-1580	NS	PLS	Max	46.619	232.109	0,000	1.535,0 0	10	804.074
			4357					Min	46.619	232.109	0,000	1.535,0 0	10	
	100,0 %	12	-5	228	-	NS	PLS	Max	46.619	232.109	0,000	1.535,0 0	10	804.074
			-1829					Min	46.619	232.109	0,000	1.535,0 0	10	
Trave Acciaio 39a-40a	0%	102	-	-3	-	NS	EFF	Max	17.802	181.453	0,000	1.200,0 0	4	457.126
			-71					Min	9.646	91.936	0,000	608,00	4	
	25,0%	199	-	-1240	-	14.27[V]	EFF	Max	17.802	181.453	0,000	1.200,0 0	4	457.126
			2732					Min	9.646	91.936	0,000	608,00	4	
	50,0%	335	-	-3255	-	5.45[V]	EFF	Max	17.802	181.453	0,000	1.200,0 0	4	457.126

Travi (AC) - Verifiche a pressoflessione deviata

Id _{Tr}	%L _{L1}	N _{Ed}	V _{Ed}	M _{Ed,3}	M _{Ed,2}	CS	Tp Vr	max/m in	M _{c,Rd}	V _{c,Rd}	ρ	A _v	t _w	N _{pl,Rd}
	[%]	[N]	[N]	[N·m]	[N·m]				[N·m]	[N]		[cm ²]	[mm]	[N]
	75,0%	470	4043	-6051	-	2.93[V]	EFF	Min	9.646	91.936	0,000	608,00	4	457.126
			-					Max	17.802	181.453	0,000	1.200,0 0	4	
			5354					Min	9.646	91.936	0,000	608,00	4	
	100,0 %	601	-	-9625	-	1.85[V]	EFF	Max	17.802	181.453	0,000	1.200,0 0	4	457.126
			-					Min	9.646	91.936	0,000	608,00	4	
			6560					Min	9.646	91.936	0,000	608,00	4	
Trave Acciaio 5-40a	0%	-727	- 20874	-8282	14528	4.97[V]	PLS	Max	46.619	232.109	0,000	1.535,0 0	10	804.074
			-					Min	46.619	232.109	0,000	1.535,0 0	10	
			11910					Min	46.619	232.109	0,000	1.535,0 0	10	
	25,1%	-727	- 20550	-6314	11079	7.80[V]	PLS	Max	46.619	232.109	0,000	1.535,0 0	10	804.074
			-					Min	46.619	232.109	0,000	1.535,0 0	10	
			11724					Min	46.619	232.109	0,000	1.535,0 0	10	
	50,0%	-727	- 20226	-4377	7685	14.31[V]	PLS	Max	46.619	232.109	0,000	1.535,0 0	10	804.074

Travi (AC) - Verifiche a pressoflessione deviata

Id _{Tr}	%L _{L1}	N _{Ed}	V _{Ed}	M _{Ed,3}	M _{Ed,2}	CS	Tp Vr	max/m in	M _{c,Rd}	V _{c,Rd}	ρ	A _v	t _w	N _{pl,Rd}
	[%]	[N]	[N]	[N·m]	[N·m]				[N·m]	[N]		[cm²]	[mm]	[N]
			- 11537					Min	46.619	232.109	0,000	1.535,0 0	10	
	75,1%	-727	- 19902	-2472	4344	36.91[V]	PLS	Max	46.619	232.109	0,000	1.535,0 0	10	804.074
			- 11350					Min	46.619	232.109	0,000	1.535,0 0	10	
	100,0 %	20	11	187	-	NS	PLS	Max	46.619	232.109	0,000	1.535,0 0	10	804.074
			3838					Min	46.619	232.109	0,000	1.535,0 0	10	
Trave Acciaio 42a-43a	0%	102	-	-	-	NS	EFF	Max	17.802	181.453	0,000	1.200,0 0	4	457.126
			-71					Min	9.646	91.936	0,000	608,00	4	
	25,0%	201	-	-1258	-	14.06[V]	EFF	Max	17.802	181.453	0,000	1.200,0 0	4	457.126
			2788					Min	9.646	91.936	0,000	608,00	4	
	50,0%	335	-	-3275	-	5.41[V]	EFF	Max	17.802	181.453	0,000	1.200,0 0	4	457.126

Travi (AC) - Verifiche a pressoflessione deviata

Id _{Tr}	%L _{L1}	N _{Ed}	V _{Ed}	M _{Ed,3}	M _{Ed,2}	CS	Tp Vr	max/m in	M _{c,Rd}	V _{c,Rd}	ρ	A _v	t _w	N _{pl,Rd}
	[%]	[N]	[N]	[N·m]	[N·m]				[N·m]	[N]		[cm ²]	[mm]	[N]
	75,0%	469	4082	-6052	-	2.93[V]	EFF	Min	9.646	91.936	0,000	608,00	4	457.126
			-					Max	17.802	181.453	0,000	1.200,00	4	
			5375					Min	9.646	91.936	0,000	608,00	4	
	100,0 %	597	-	-9587	-	1.85[V]	EFF	Max	17.802	181.453	0,000	1.200,00	4	457.126
			-					Min	9.646	91.936	0,000	608,00	4	
			6565					Min	9.646	91.936	0,000	608,00	4	
Trave Acciaio 40a-43a	0%	20	4	187	-	NS	PLS	Max	46.619	232.109	0,000	1.535,00	10	804.074
			1510					Min	46.619	232.109	0,000	1.535,00	10	
	25,0%	-727	-7606	910	-1584	NS	PLS	Max	46.619	232.109	0,000	1.535,00	10	804.074
			-4339					Min	46.619	232.109	0,000	1.535,00	10	
	50,0%	-727	-6957	2293	-4009	42.07[V]	PLS	Max	46.619	232.109	0,000	1.535,00	10	804.074

Travi (AC) - Verifiche a pressoflessione deviata

Id _{Tr}	%L _{L1}	N _{Ed}	V _{Ed}	M _{Ed,3}	M _{Ed,2}	CS	Tp Vr	max/m in	M _{c,Rd}	V _{c,Rd}	ρ	A _v	t _w	N _{pl,Rd}
	[%]	[N]	[N]	[N·m]	[N·m]				[N·m]	[N]		[cm ²]	[mm]	[N]
			-3965					Min	46.619	232.109	0,000	1.535,0 0	10	
	75,0%	-727	-6309	3551	-6218	20.32[V]	PLS	Max	46.619	232.109	0,000	1.535,0 0	10	804.074
			-3592					Min	46.619	232.109	0,000	1.535,0 0	10	
	100,0 %	-727	-5808	4689	-8217	12.80[V]	PLS	Max	46.619	232.109	0,000	1.535,0 0	10	804.074
			-3322					Min	46.619	232.109	0,000	1.535,0 0	10	
Trave Acciaio 45a-46a	0%	102	-	-3	-	NS	EFF	Max	17.802	181.453	0,000	1.200,0 0	4	457.126
			-71					Min	9.646	91.936	0,000	608,00	4	
	25,0%	199	-	-1242	-	14.24[V]	EFF	Max	17.802	181.453	0,000	1.200,0 0	4	457.126
			2736					Min	9.646	91.936	0,000	608,00	4	
	50,0%	335	-	-3261	-	5.44[V]	EFF	Max	17.802	181.453	0,000	1.200,0 0	4	457.126

Travi (AC) - Verifiche a pressoflessione deviata

Id _{Tr}	%L _{L1}	N _{Ed}	V _{Ed}	M _{Ed,3}	M _{Ed,2}	CS	Tp Vr	max/m in	M _{c,Rd}	V _{c,Rd}	ρ	A _v	t _w	N _{pl,Rd}
	[%]	[N]	[N]	[N·m]	[N·m]				[N·m]	[N]		[cm ²]	[mm]	[N]
	75,0%	471	4047	-6059	-	2.93[V]	EFF	Min	9.646	91.936	0,000	608,00	4	457.126
			-					Max	17.802	181.453	0,000	1.200,00	4	
			5358					Min	9.646	91.936	0,000	608,00	4	
	100,0 %	601	-	-9635	-	1.84[V]	EFF	Max	17.802	181.453	0,000	1.200,00	4	457.126
			-					Min	9.646	91.936	0,000	608,00	4	
			6564					Min	9.646	91.936	0,000	608,00	4	
Trave Acciaio 43a-46a	0%	-727	5811	4689	-8217	12.80[V]	PLS	Max	46.619	232.109	0,000	1.535,00	10	804.074
			3336					Min	46.619	232.109	0,000	1.535,00	10	
	25,0%	-727	6311	3547	-6217	20.33[V]	PLS	Max	46.619	232.109	0,000	1.535,00	10	804.074
			3606					Min	46.619	232.109	0,000	1.535,00	10	
	50,0%	-727	6960	2284	-4008	42.16[V]	PLS	Max	46.619	232.109	0,000	1.535,00	10	804.074

Travi (AC) - Verifiche a pressoflessione deviata

Id _{Tr}	%L _{L1}	N _{Ed}	V _{Ed}	M _{Ed,3}	M _{Ed,2}	CS	Tp Vr	max/m in	M _{c,Rd}	V _{c,Rd}	ρ	A _v	t _w	N _{pl,Rd}
	[%]	[N]	[N]	[N·m]	[N·m]				[N·m]	[N]		[cm ²]	[mm]	[N]
			3979					Min	46.619	232.109	0,000	1.535,0 0	10	
	75,0%	-727	7608	896	-1582	NS	PLS	Max	46.619	232.109	0,000	1.535,0 0	10	804.074
			4353					Min	46.619	232.109	0,000	1.535,0 0	10	
	100,0 %	20	-4	187	-	NS	PLS	Max	46.619	232.109	0,000	1.535,0 0	10	804.074
			-1510					Min	46.619	232.109	0,000	1.535,0 0	10	
Trave Acciaio 48a-49a	0%	102	-	-3	-	NS	EFF	Max	17.802	181.453	0,000	1.200,0 0	4	457.126
			-71					Min	9.646	91.936	0,000	608,00	4	
	25,0%	200	-	-1244	-	14.22[V]	EFF	Max	17.802	181.453	0,000	1.200,0 0	4	457.126
			2740					Min	9.646	91.936	0,000	608,00	4	
	50,0%	336	-	-3265	-	5.43[V]	EFF	Max	17.802	181.453	0,000	1.200,0 0	4	457.126

Travi (AC) - Verifiche a pressoflessione deviata

Id _{Tr}	%L _{L1}	N _{Ed}	V _{Ed}	M _{Ed,3}	M _{Ed,2}	CS	Tp Vr	max/m in	M _{c,Rd}	V _{c,Rd}	ρ	A _v	t _w	N _{pl,Rd}
	[%]	[N]	[N]	[N·m]	[N·m]				[N·m]	[N]		[cm²]	[mm]	[N]
	75,0%	472	4051	-6065	-	2.93[V]	EFF	Min	9.646	91.936	0,000	608,00	4	457.126
			-					Max	17.802	181.453	0,000	1.200,00	4	
			5362					Min	9.646	91.936	0,000	608,00	4	
	100,0 %	602	-	-9644	-	1.84[V]	EFF	Max	17.802	181.453	0,000	1.200,00	4	457.126
			-					Min	9.646	91.936	0,000	608,00	4	
			6568					Min	9.646	91.936	0,000	608,00	4	
Trave Acciaio 6-49a	0%	-709	-	-8291	14533	4.97[V]	PLS	Max	46.619	232.109	0,000	1.535,00	10	804.074
			20875					Min	46.619	232.109	0,000	1.535,00	10	
			-					Min	46.619	232.109	0,000	1.535,00	10	
	25,1%	-709	-	-6322	11084	7.79[V]	PLS	Max	46.619	232.109	0,000	1.535,00	10	804.074
			20550					Min	46.619	232.109	0,000	1.535,00	10	
			-					Min	46.619	232.109	0,000	1.535,00	10	
	50,0%	-709	-	-4384	7689	14.29[V]	PLS	Max	46.619	232.109	0,000	1.535,00	10	804.074

Travi (AC) - Verifiche a pressoflessione deviata

Id _{Tr}	%L _{L1}	N _{Ed}	V _{Ed}	M _{Ed,3}	M _{Ed,2}	CS	Tp Vr	max/m in	M _{c,Rd}	V _{c,Rd}	ρ	A _v	t _w	N _{pl,Rd}
	[%]	[N]	[N]	[N·m]	[N·m]				[N·m]	[N]		[cm ²]	[mm]	[N]
			- 11544					Min	46.619	232.109	0,000	1.535,0 0	10	
	75,1%	-709	- 19902	-2477	4348	36.84[V]	PLS	Max	46.619	232.109	0,000	1.535,0 0	10	804.074
			- 11358					Min	46.619	232.109	0,000	1.535,0 0	10	
	100,0 %	20	11	187	-	NS	PLS	Max	46.619	232.109	0,000	1.535,0 0	10	804.074
			3839					Min	46.619	232.109	0,000	1.535,0 0	10	
Trave Acciaio 51a-52a	0%	103	-	-1	-	NS	EFF	Max	17.802	181.453	0,000	1.200,0 0	4	457.126
			875					Min	9.646	91.936	0,000	608,00	4	
	25,0%	202	-	-1262	-	14.02[V]	EFF	Max	17.802	181.453	0,000	1.200,0 0	4	457.126
			2793					Min	9.646	91.936	0,000	608,00	4	
	50,0%	335	-	-3285	-	5.40[V]	EFF	Max	17.802	181.453	0,000	1.200,0 0	4	457.126

Travi (AC) - Verifiche a pressoflessione deviata

Id _{Tr}	%L _{L1}	N _{Ed}	V _{Ed}	M _{Ed,3}	M _{Ed,2}	CS	Tp Vr	max/m in	M _{c,Rd}	V _{c,Rd}	ρ	A _v	t _w	N _{pl,Rd}
	[%]	[N]	[N]	[N·m]	[N·m]				[N·m]	[N]		[cm ²]	[mm]	[N]
	75,0%	468	4089	-6071	-	2.92[V]	EFF	Min	9.646	91.936	0,000	608,00	4	457.126
			-					Max	17.802	181.453	0,000	1.200,00	4	
			5386					Min	9.646	91.936	0,000	608,00	4	
	100,0 %	596	-	-9617	-	1.85[V]	EFF	Max	17.802	181.453	0,000	1.200,00	4	457.126
			-					Min	9.646	91.936	0,000	608,00	4	
			6577					Min	9.646	91.936	0,000	608,00	4	
Trave Acciaio 49a-52a	0%	20	4	187	-	NS	PLS	Max	46.619	232.109	0,000	1.535,00	10	804.074
			-					Min	46.619	232.109	0,000	1.535,00	10	
			1510					Min	46.619	232.109	0,000	1.535,00	10	
	25,0%	-709	-7605	908	-1579	NS	PLS	Max	46.619	232.109	0,000	1.535,00	10	804.074
			-					Min	46.619	232.109	0,000	1.535,00	10	
			-4345					Min	46.619	232.109	0,000	1.535,00	10	
	50,0%	-709	-6956	2293	-4004	42.14[V]	PLS	Max	46.619	232.109	0,000	1.535,00	10	804.074

Travi (AC) - Verifiche a pressoflessione deviata

Id _{Tr}	%L _{L1}	N _{Ed}	V _{Ed}	M _{Ed,3}	M _{Ed,2}	CS	Tp Vr	max/m in	M _{c,Rd}	V _{c,Rd}	ρ	A _v	t _w	N _{pl,Rd}
	[%]	[N]	[N]	[N·m]	[N·m]				[N·m]	[N]		[cm²]	[mm]	[N]
			-3972					Min	46.619	232.109	0,000	1.535,0 0	10	
	75,0%	-709	-6308	3553	-6213	20.33[V]	PLS	Max	46.619	232.109	0,000	1.535,0 0	10	804.074
			-3599					Min	46.619	232.109	0,000	1.535,0 0	10	
	100,0 %	-709	-5807	4694	-8211	12.80[V]	PLS	Max	46.619	232.109	0,000	1.535,0 0	10	804.074
			-3329					Min	46.619	232.109	0,000	1.535,0 0	10	
Trave Acciaio 54a-55a	0%	103	-	-3	-	NS	EFF	Max	17.802	181.453	0,000	1.200,0 0	4	457.126
			875					Min	9.646	91.936	0,000	608,00	4	
	25,0%	201	-	-1248	-	14.18[V]	EFF	Max	17.802	181.453	0,000	1.200,0 0	4	457.126
			2748					Min	9.646	91.936	0,000	608,00	4	
	50,0%	335	-	-3275	-	5.41[V]	EFF	Max	17.802	181.453	0,000	1.200,0 0	4	457.126

Travi (AC) - Verifiche a pressoflessione deviata

Id _{Tr}	%L _{L1}	N _{Ed}	V _{Ed}	M _{Ed,3}	M _{Ed,2}	CS	Tp Vr	max/m in	M _{c,Rd}	V _{c,Rd}	ρ	A _v	t _w	N _{pl,Rd}
	[%]	[N]	[N]	[N·m]	[N·m]				[N·m]	[N]		[cm ²]	[mm]	[N]
	75,0%	470	4062	-6082	-	2.92[V]	EFF	Min	9.646	91.936	0,000	608,00	4	457.126
			-					Max	17.802	181.453	0,000	1.200,00	4	
			5375					Min	9.646	91.936	0,000	608,00	4	
	100,0 %	600	-	-9670	-	1.84[V]	EFF	Max	17.802	181.453	0,000	1.200,00	4	457.126
			-					Min	9.646	91.936	0,000	608,00	4	
			6584					Min	9.646	91.936	0,000	608,00	4	
Trave Acciaio 52a-55a	0%	-709	5816	4694	-8211	12.80[V]	PLS	Max	46.619	232.109	0,000	1.535,00	10	804.074
			3334					Min	46.619	232.109	0,000	1.535,00	10	
	25,0%	-709	6316	3551	-6210	20.35[V]	PLS	Max	46.619	232.109	0,000	1.535,00	10	804.074
			3604					Min	46.619	232.109	0,000	1.535,00	10	
	50,0%	-709	6964	2289	-3999	42.23[V]	PLS	Max	46.619	232.109	0,000	1.535,00	10	804.074

Travi (AC) - Verifiche a pressoflessione deviata

Id _{Tr}	%L _{L1}	N _{Ed}	V _{Ed}	M _{Ed,3}	M _{Ed,2}	CS	Tp Vr	max/m in	M _{c,Rd}	V _{c,Rd}	ρ	A _v	t _w	N _{pl,Rd}
	[%]	[N]	[N]	[N·m]	[N·m]				[N·m]	[N]		[cm²]	[mm]	[N]
			3978					Min	46.619	232.109	0,000	1.535,0 0	10	
	75,0%	-709	7613	902	-1571	NS	PLS	Max	46.619	232.109	0,000	1.535,0 0	10	804.074
			4352					Min	46.619	232.109	0,000	1.535,0 0	10	
	100,0 %	69	-5	238	-	NS	PLS	Max	46.619	232.109	0,000	1.535,0 0	10	804.074
			-1959					Min	46.619	232.109	0,000	1.535,0 0	10	
Trave Acciaio 57a-58a	0%	103	-	-3	-	NS	EFF	Max	17.802	181.453	0,000	1.200,0 0	4	457.126
			875					Min	9.646	91.936	0,000	608,00	4	
	25,0%	201	-	-1250	-	14.15[V]	EFF	Max	17.802	181.453	0,000	1.200,0 0	4	457.126
			2751					Min	9.646	91.936	0,000	608,00	4	
	50,0%	337	-	-3278	-	5.41[V]	EFF	Max	17.802	181.453	0,000	1.200,0 0	4	457.126

Travi (AC) - Verifiche a pressoflessione deviata

Id _{Tr}	%L _{L1}	N _{Ed}	V _{Ed}	M _{Ed,3}	M _{Ed,2}	CS	Tp Vr	max/m in	M _{c,Rd}	V _{c,Rd}	ρ	A _v	t _w	N _{pl,Rd}
	[%]	[N]	[N]	[N·m]	[N·m]				[N·m]	[N]		[cm ²]	[mm]	[N]
	75,0%	473	4066	-6089	-	2.91[V]	EFF	Min	9.646	91.936	0,000	608,00	4	457.126
			-					Max	17.802	181.453	0,000	1.200,00	4	
			5380					Min	9.646	91.936	0,000	608,00	4	
	100,0 %	603	-	-9679	-	1.83[V]	EFF	Max	17.802	181.453	0,000	1.200,00	4	457.126
			-					Min	9.646	91.936	0,000	608,00	4	
			6590					Min	9.646	91.936	0,000	608,00	4	
Trave Acciaio 7-58a	0%	-694	-	-8290	14555	4.96[V]	PLS	Max	46.619	232.109	0,000	1.535,00	10	804.074
			20852					Min	46.619	232.109	0,000	1.535,00	10	
			-					Min	46.619	232.109	0,000	1.535,00	10	
	25,1%	-694	-	-6321	11110	7.77[V]	PLS	Max	46.619	232.109	0,000	1.535,00	10	804.074
			20528					Min	46.619	232.109	0,000	1.535,00	10	
			-					Min	46.619	232.109	0,000	1.535,00	10	
	50,0%	-694	-	-4383	7719	14.23[V]	PLS	Max	46.619	232.109	0,000	1.535,00	10	804.074

Travi (AC) - Verifiche a pressoflessione deviata

Id _{Tr}	%L _{L1}	N _{Ed}	V _{Ed}	M _{Ed,3}	M _{Ed,2}	CS	Tp Vr	max/m in	M _{c,Rd}	V _{c,Rd}	ρ	A _v	t _w	N _{pl,Rd}
	[%]	[N]	[N]	[N·m]	[N·m]				[N·m]	[N]		[cm ²]	[mm]	[N]
			- 11544					Min	46.619	232.109	0,000	1.535,0 0	10	
	75,1%	-694	- 19879	-2476	4381	36.52[V]	PLS	Max	46.619	232.109	0,000	1.535,0 0	10	804.074
			- 11357					Min	46.619	232.109	0,000	1.535,0 0	10	
	100,0 %	69	15	237	-	NS	PLS	Max	46.619	232.109	0,000	1.535,0 0	10	804.074
			5133					Min	46.619	232.109	0,000	1.535,0 0	10	
Trave Acciaio 60a-61a	0%	102	-	-1	-	NS	EFF	Max	17.802	181.453	0,000	1.200,0 0	4	457.126
			-71					Min	9.646	91.936	0,000	608,00	4	
	25,0%	202	-	-1265	-	13.99[V]	EFF	Max	17.802	181.453	0,000	1.200,0 0	4	457.126
			2798					Min	9.646	91.936	0,000	608,00	4	
	50,0%	336	-	-3296	-	5.38[V]	EFF	Max	17.802	181.453	0,000	1.200,0 0	4	457.126

Travi (AC) - Verifiche a pressoflessione deviata

Id _{Tr}	%L _{L1}	N _{Ed}	V _{Ed}	M _{Ed,3}	M _{Ed,2}	CS	Tp Vr	max/m in	M _{c,Rd}	V _{c,Rd}	ρ	A _v	t _w	N _{pl,Rd}
	[%]	[N]	[N]	[N·m]	[N·m]				[N·m]	[N]		[cm ²]	[mm]	[N]
	75,0%	470	4099	-6092	-	2.91[V]	EFF	Min	9.646	91.936	0,000	608,00	4	457.126
			-					Max	17.802	181.453	0,000	1.200,00	4	
			5399					Min	9.646	91.936	0,000	608,00	4	
	100,0 %	599	-	-9652	-	1.84[V]	EFF	Max	17.802	181.453	0,000	1.200,00	4	457.126
			-					Min	9.646	91.936	0,000	608,00	4	
			6595					Min	9.646	91.936	0,000	608,00	4	
Trave Acciaio 58a-61a	0%	69	5	237	-	NS	PLS	Max	46.619	232.109	0,000	1.535,00	10	804.074
			1956					Min	46.619	232.109	0,000	1.535,00	10	
	25,0%	-694	-7570	907	-1531	NS	PLS	Max	46.619	232.109	0,000	1.535,00	10	804.074
			-4340					Min	46.619	232.109	0,000	1.535,00	10	
	50,0%	-694	-6922	2291	-3944	42.92[V]	PLS	Max	46.619	232.109	0,000	1.535,00	10	804.074

Travi (AC) - Verifiche a pressoflessione deviata

Id _{Tr}	%L _{L1}	N _{Ed}	V _{Ed}	M _{Ed,3}	M _{Ed,2}	CS	Tp Vr	max/m in	M _{c,Rd}	V _{c,Rd}	ρ	A _v	t _w	N _{pl,Rd}
	[%]	[N]	[N]	[N·m]	[N·m]				[N·m]	[N]		[cm ²]	[mm]	[N]
			-3967					Min	46.619	232.109	0,000	1.535,0 0	10	
	75,0%	-694	-6273	3549	-6141	20.63[V]	PLS	Max	46.619	232.109	0,000	1.535,0 0	10	804.074
			-3593					Min	46.619	232.109	0,000	1.535,0 0	10	
	100,0 %	-694	-5773	4688	-8128	12.96[V]	PLS	Max	46.619	232.109	0,000	1.535,0 0	10	804.074
			-3323					Min	46.619	232.109	0,000	1.535,0 0	10	
Trave Acciaio 63a-64a	0%	102	-	-3	-	NS	EFF	Max	17.802	181.453	0,000	1.200,0 0	4	457.126
			-71					Min	9.646	91.936	0,000	608,00	4	
	25,0%	199	-	-1253	-	14.12[V]	EFF	Max	17.802	181.453	0,000	1.200,0 0	4	457.126
			2758					Min	9.646	91.936	0,000	608,00	4	
	50,0%	335	-	-3285	-	5.40[V]	EFF	Max	17.802	181.453	0,000	1.200,0 0	4	457.126

Travi (AC) - Verifiche a pressoflessione deviata

Id _{Tr}	%L _{L1}	N _{Ed}	V _{Ed}	M _{Ed,3}	M _{Ed,2}	CS	Tp Vr	max/m in	M _{c,Rd}	V _{c,Rd}	ρ	A _v	t _w	N _{pl,Rd}
	[%]	[N]	[N]	[N·m]	[N·m]				[N·m]	[N]		[cm ²]	[mm]	[N]
	75,0%	471	4072	-6100	-	2.91[V]	EFF	Min	9.646	91.936	0,000	608,00	4	457.126
			-					Max	17.802	181.453	0,000	1.200,00	4	
			5387					Min	9.646	91.936	0,000	608,00	4	
	100,0 %	601	-	-9694	-	1.83[V]	EFF	Max	17.802	181.453	0,000	1.200,00	4	457.126
			-					Min	9.646	91.936	0,000	608,00	4	
			6596					Min	9.646	91.936	0,000	608,00	4	
Trave Acciaio 61a-64a	0%	-694	5855	4688	-8128	12.96[V]	PLS	Max	46.619	232.109	0,000	1.535,00	10	804.074
			3341					Min	46.619	232.109	0,000	1.535,00	10	
	25,0%	-694	6355	3543	-6114	20.75[V]	PLS	Max	46.619	232.109	0,000	1.535,00	10	804.074
			3611					Min	46.619	232.109	0,000	1.535,00	10	
	50,0%	-694	7004	2278	-3889	43.75[V]	PLS	Max	46.619	232.109	0,000	1.535,00	10	804.074

Travi (AC) - Verifiche a pressoflessione deviata

Id _{Tr}	%L _{L1}	N _{Ed}	V _{Ed}	M _{Ed,3}	M _{Ed,2}	CS	Tp Vr	max/m in	M _{c,Rd}	V _{c,Rd}	ρ	A _v	t _w	N _{pl,Rd}
	[%]	[N]	[N]	[N·m]	[N·m]				[N·m]	[N]		[cm²]	[mm]	[N]
			3985					Min	46.619	232.109	0,000	1.535,0 0	10	
	75,0%	-694	7652	889	-1449	NS	PLS	Max	46.619	232.109	0,000	1.535,0 0	10	804.074
			4359					Min	46.619	232.109	0,000	1.535,0 0	10	
	100,0 %	19	-4	193	-	NS	PLS	Max	46.619	232.109	0,000	1.535,0 0	10	804.074
			-1513					Min	46.619	232.109	0,000	1.535,0 0	10	
Trave Acciaio 66a-67a	0%	102	-	-3	-	NS	EFF	Max	17.802	181.453	0,000	1.200,0 0	4	457.126
			-71					Min	9.646	91.936	0,000	608,00	4	
	25,0%	199	-	-1255	-	14.10[V]	EFF	Max	17.802	181.453	0,000	1.200,0 0	4	457.126
			2760					Min	9.646	91.936	0,000	608,00	4	
	50,0%	335	-	-3288	-	5.39[V]	EFF	Max	17.802	181.453	0,000	1.200,0 0	4	457.126

Travi (AC) - Verifiche a pressoflessione deviata

Id _{Tr}	%L _{L1}	N _{Ed}	V _{Ed}	M _{Ed,3}	M _{Ed,2}	CS	Tp Vr	max/m in	M _{c,Rd}	V _{c,Rd}	ρ	A _v	t _w	N _{pl,Rd}
	[%]	[N]	[N]	[N·m]	[N·m]				[N·m]	[N]		[cm ²]	[mm]	[N]
	75,0%	471	4074	-6104	-	2.91[V]	EFF	Min	9.646	91.936	0,000	608,00	4	457.126
			-					Max	17.802	181.453	0,000	1.200,00	4	
			5389					Min	9.646	91.936	0,000	608,00	4	
	100,0 %	601	-	-9699	-	1.83[V]	EFF	Max	17.802	181.453	0,000	1.200,00	4	457.126
			-					Min	9.646	91.936	0,000	608,00	4	
			6599					Min	9.646	91.936	0,000	608,00	4	
Trave Acciaio 8-67a	0%	-750	-	-8445	14720	4.85[V]	PLS	Max	46.619	232.109	0,000	1.535,00	10	804.074
			21556					Min	46.619	232.109	0,000	1.535,00	10	
			-					Min	46.619	232.109	0,000	1.535,00	10	
	25,1%	-750	-	-6455	11158	7.65[V]	PLS	Max	46.619	232.109	0,000	1.535,00	10	804.074
			21231					Min	46.619	232.109	0,000	1.535,00	10	
			-					Min	46.619	232.109	0,000	1.535,00	10	
	50,0%	-750	-	-4496	7650	14.21[V]	PLS	Max	46.619	232.109	0,000	1.535,00	10	804.074

Travi (AC) - Verifiche a pressoflessione deviata

Id _{Tr}	%L _{L1}	N _{Ed}	V _{Ed}	M _{Ed,3}	M _{Ed,2}	CS	Tp Vr	max/m in	M _{c,Rd}	V _{c,Rd}	ρ	A _v	t _w	N _{pl,Rd}
	[%]	[N]	[N]	[N·m]	[N·m]				[N·m]	[N]		[cm ²]	[mm]	[N]
			- 11671					Min	46.619	232.109	0,000	1.535,0 0	10	
	75,1%	-750	- 20583	-2568	4195	37.75[V]	PLS	Max	46.619	232.109	0,000	1.535,0 0	10	804.074
			- 11484					Min	46.619	232.109	0,000	1.535,0 0	10	
	100,0 %	92	19	314	-	NS	PLS	Max	46.619	232.109	0,000	1.535,0 0	10	804.074
			5963					Min	46.619	232.109	0,000	1.535,0 0	10	
Trave Acciaio 69a-70a	0%	102	-	-1	-	NS	EFF	Max	17.802	181.453	0,000	1.200,0 0	4	457.126
			-71					Min	9.646	91.936	0,000	608,00	4	
	25,0%	201	-	-1268	-	13.95[V]	EFF	Max	17.802	181.453	0,000	1.200,0 0	4	457.126
			2800					Min	9.646	91.936	0,000	608,00	4	
	50,0%	335	-	-3303	-	5.37[V]	EFF	Max	17.802	181.453	0,000	1.200,0 0	4	457.126

Travi (AC) - Verifiche a pressoflessione deviata

Id _{Tr}	%L _{L1}	N _{Ed}	V _{Ed}	M _{Ed,3}	M _{Ed,2}	CS	Tp Vr	max/m in	M _{c,Rd}	V _{c,Rd}	ρ	A _v	t _w	N _{pl,Rd}
	[%]	[N]	[N]	[N·m]	[N·m]				[N·m]	[N]		[cm ²]	[mm]	[N]
	75,0%	470	4103	-6106	-	2.91[V]	EFF	Min	9.646	91.936	0,000	608,00	4	457.126
			-					Max	17.802	181.453	0,000	1.200,00	4	
			5405					Min	9.646	91.936	0,000	608,00	4	
	100,0 %	599	-	-9674	-	1.84[V]	EFF	Max	17.802	181.453	0,000	1.200,00	4	457.126
			-					Min	9.646	91.936	0,000	608,00	4	
			6603					Min	9.646	91.936	0,000	608,00	4	
Trave Acciaio 67a-70a	0%	92	7	314	-	NS	PLS	Max	46.619	232.109	0,000	1.535,00	10	804.074
			2340					Min	46.619	232.109	0,000	1.535,00	10	
	25,0%	-750	-8277	878	-2070	NS	PLS	Max	46.619	232.109	0,000	1.535,00	10	804.074
			-4466					Min	46.619	232.109	0,000	1.535,00	10	
	50,0%	-750	-7629	2304	-4719	34.35[V]	PLS	Max	46.619	232.109	0,000	1.535,00	10	804.074

Travi (AC) - Verifiche a pressoflessione deviata

Id _{Tr}	%L _{L1}	N _{Ed}	V _{Ed}	M _{Ed,3}	M _{Ed,2}	CS	Tp Vr	max/m in	M _{c,Rd}	V _{c,Rd}	ρ	A _v	t _w	N _{pl,Rd}
	[%]	[N]	[N]	[N·m]	[N·m]				[N·m]	[N]		[cm ²]	[mm]	[N]
			-4092					Min	46.619	232.109	0,000	1.535,0 0	10	
	75,0%	-750	-6981	3604	-7151	17.01[V]	PLS	Max	46.619	232.109	0,000	1.535,0 0	10	804.074
			-3718					Min	46.619	232.109	0,000	1.535,0 0	10	
	100,0 %	-750	-6480	4784	-9374	10.80[V]	PLS	Max	46.619	232.109	0,000	1.535,0 0	10	804.074
			-3448					Min	46.619	232.109	0,000	1.535,0 0	10	
Trave Acciaio 72a-73a	0%	102	-	-3	-	NS	EFF	Max	17.802	181.453	0,000	1.200,0 0	4	457.126
			-71					Min	9.646	91.936	0,000	608,00	4	
	25,0%	200	-	-1257	-	14.07[V]	EFF	Max	17.802	181.453	0,000	1.200,0 0	4	457.126
			2765					Min	9.646	91.936	0,000	608,00	4	
	50,0%	335	-	-3293	-	5.38[V]	EFF	Max	17.802	181.453	0,000	1.200,0 0	4	457.126

Travi (AC) - Verifiche a pressoflessione deviata

Id _{Tr}	%L _{L1}	N _{Ed}	V _{Ed}	M _{Ed,3}	M _{Ed,2}	CS	Tp Vr	max/m in	M _{c,Rd}	V _{c,Rd}	ρ	A _v	t _w	N _{pl,Rd}
	[%]	[N]	[N]	[N·m]	[N·m]				[N·m]	[N]		[cm ²]	[mm]	[N]
	75,0%	471	4079	-6112	-	2.90[V]	EFF	Min	9.646	91.936	0,000	608,00	4	457.126
			-					Max	17.802	181.453	0,000	1.200,00	4	
			5394					Min	9.646	91.936	0,000	608,00	4	
	100,0 %	601	-	-9710	-	1.83[V]	EFF	Max	17.802	181.453	0,000	1.200,00	4	457.126
			-					Min	9.646	91.936	0,000	608,00	4	
			6603					Min	9.646	91.936	0,000	608,00	4	
Trave Acciaio 70a-73a	0%	-750	5147	4784	-9374	10.80[V]	PLS	Max	46.619	232.109	0,000	1.535,00	10	804.074
			3217					Min	46.619	232.109	0,000	1.535,00	10	
	25,0%	-750	5648	3681	-7595	15.63[V]	PLS	Max	46.619	232.109	0,000	1.535,00	10	804.074
			3487					Min	46.619	232.109	0,000	1.535,00	10	
	50,0%	-750	6296	2457	-5606	26.83[V]	PLS	Max	46.619	232.109	0,000	1.535,00	10	804.074

Travi (AC) - Verifiche a pressoflessione deviata

Id _{Tr}	%L _{L1}	N _{Ed}	V _{Ed}	M _{Ed,3}	M _{Ed,2}	CS	Tp Vr	max/m in	M _{c,Rd}	V _{c,Rd}	ρ	A _v	t _w	N _{pl,Rd}
	[%]	[N]	[N]	[N·m]	[N·m]				[N·m]	[N]		[cm ²]	[mm]	[N]
			3861					Min	46.619	232.109	0,000	1.535,0 0	10	
	75,0%	-750	6945	1109	-3402	66.73[V]	PLS	Max	46.619	232.109	0,000	1.535,0 0	10	804.074
			4235					Min	46.619	232.109	0,000	1.535,0 0	10	
	100,0 %	-750	7445	-359	-986	NS	PLS	Max	46.619	232.109	0,000	1.535,0 0	10	804.074
			4505					Min	46.619	232.109	0,000	1.535,0 0	10	
Trave Acciaio 75a-76a	0%	102	-	-3	-	NS	EFF	Max	17.802	181.453	0,000	1.200,0 0	4	457.126
			-71					Min	9.646	91.936	0,000	608,00	4	
	25,0%	200	-	-1258	-	14.06[V]	EFF	Max	17.802	181.453	0,000	1.200,0 0	4	457.126
			2767					Min	9.646	91.936	0,000	608,00	4	
	50,0%	335	-	-3296	-	5.38[V]	EFF	Max	17.802	181.453	0,000	1.200,0 0	4	457.126

Travi (AC) - Verifiche a pressoflessione deviata

Id _{Tr}	%L _{L1}	N _{Ed}	V _{Ed}	M _{Ed,3}	M _{Ed,2}	CS	Tp Vr	max/m in	M _{c,Rd}	V _{c,Rd}	ρ	A _v	t _w	N _{pl,Rd}
	[%]	[N]	[N]	[N·m]	[N·m]				[N·m]	[N]		[cm²]	[mm]	[N]
	75,0%	471	4081	-6116	-	2.90[V]	EFF	Min	9.646	91.936	0,000	608,00	4	457.126
			-					Max	17.802	181.453	0,000	1.200,00	4	
			5396					Min	9.646	91.936	0,000	608,00	4	
	100,0 %	601	-	-9716	-	1.83[V]	EFF	Max	17.802	181.453	0,000	1.200,00	4	457.126
			-					Min	9.646	91.936	0,000	608,00	4	
			6605					Min	9.646	91.936	0,000	608,00	4	
Trave Acciaio 9-76a	0%	89	-	-6218	12003	7.12[V]	PLS	Max	46.619	232.109	0,000	1.535,00	10	804.879
			17660					Min	46.619	232.109	0,000	1.535,00	10	
			-					Min	46.619	232.109	0,000	1.535,00	10	
	25,1%	89	-	-4555	9090	11.45[V]	PLS	Max	46.619	232.109	0,000	1.535,00	10	804.879
			17336					Min	46.619	232.109	0,000	1.535,00	10	
			-9893					Min	46.619	232.109	0,000	1.535,00	10	
	50,0%	89	-	-2923	6230	21.99[V]	PLS	Max	46.619	232.109	0,000	1.535,00	10	804.879

Travi (AC) - Verifiche a pressoflessione deviata

Id _{Tr}	%L _{L1}	N _{Ed}	V _{Ed}	M _{Ed,3}	M _{Ed,2}	CS	Tp Vr	max/m in	M _{c,Rd}	V _{c,Rd}	ρ	A _v	t _w	N _{pl,Rd}
	[%]	[N]	[N]	[N·m]	[N·m]				[N·m]	[N]		[cm ²]	[mm]	[N]
			-9706					Min	46.619	232.109	0,000	1.535,0 0	10	
	75,1%	89	- 16687	-1323	3424	63.25[V]	PLS	Max	46.619	232.109	0,000	1.535,0 0	10	804.879
			-9519					Min	46.619	232.109	0,000	1.535,0 0	10	
	100,0 %	89	- 16511	251	667	NS	PLS	Max	46.619	232.109	0,000	1.535,0 0	10	804.879
			-9436					Min	46.619	232.109	0,000	1.535,0 0	10	
Trave Acciaio 78a-79a	0%	114	-	2	-	NS	EFF	Max	17.802	181.453	0,000	1.200,0 0	4	457.126
			-774					Min	9.646	91.936	0,000	608,00	4	
	25,0%	203	-	-1293	-	13.68[V]	EFF	Max	17.802	181.453	0,000	1.200,0 0	4	457.126
			2872					Min	9.646	91.936	0,000	608,00	4	
	50,0%	336	-	-3331	-	5.32[V]	EFF	Max	17.802	181.453	0,000	1.200,0 0	4	457.126

Travi (AC) - Verifiche a pressoflessione deviata

Id _{Tr}	%L _{L1}	N _{Ed}	V _{Ed}	M _{Ed,3}	M _{Ed,2}	CS	Tp Vr	max/m in	M _{c,Rd}	V _{c,Rd}	ρ	A _v	t _w	N _{pl,Rd}
	[%]	[N]	[N]	[N·m]	[N·m]				[N·m]	[N]		[cm ²]	[mm]	[N]
	75,0%	468	4154	-6113	-	2.90[V]	EFF	Min	9.646	91.936	0,000	608,00	4	457.126
			-					Max	17.802	181.453	0,000	1.200,00	4	
			5435					Min	9.646	91.936	0,000	608,00	4	
	100,0 %	595	-	-9635	-	1.84[V]	EFF	Max	17.802	181.453	0,000	1.200,00	4	457.126
			-					Min	9.646	91.936	0,000	608,00	4	
			6612					Min	9.646	91.936	0,000	608,00	4	
Trave Acciaio 76a-79a	0%	89	-4882	251	667	NS	PLS	Max	46.619	232.109	0,000	1.535,00	10	804.879
			-2770					Min	46.619	232.109	0,000	1.535,00	10	
	25,0%	-556	3090	-1447	634	NS	PLS	Max	46.619	232.109	0,000	1.535,00	10	804.879
			3040					Min	46.619	232.109	0,000	1.535,00	10	
	50,0%	89	-3733	1912	-2246	87.02[V]	PLS	Max	46.619	232.109	0,000	1.535,00	10	804.879

Travi (AC) - Verifiche a pressoflessione deviata

Id _{Tr}	%L _{L1}	N _{Ed}	V _{Ed}	M _{Ed,3}	M _{Ed,2}	CS	Tp Vr	max/m in	M _{c,Rd}	V _{c,Rd}	ρ	A _v	t _w	N _{pl,Rd}
	[%]	[N]	[N]	[N·m]	[N·m]				[N·m]	[N]		[cm²]	[mm]	[N]
	75,0%	89	-2126	2558	-3381	47.82[V]	PLS	Min	46.619	232.109	0,000	1.535,0 0	10	804.879
			-3085					Max	46.619	232.109	0,000	1.535,0 0	10	
			-1752					Min	46.619	232.109	0,000	1.535,0 0	10	
	100,0 %	89	-2584	3083	-4306	33.13[V]	PLS	Max	46.619	232.109	0,000	1.535,0 0	10	804.879
			-1482					Min	46.619	232.109	0,000	1.535,0 0	10	
Trave Acciaio 81a-10	0%	116	-	2	-	NS	EFF	Max	17.802	181.453	0,000	1.200,0 0	4	457.126
			-782					Min	9.646	91.936	0,000	608,00	4	
	25,0%	206	-	-1326	-	13.34[V]	EFF	Max	17.802	181.453	0,000	1.200,0 0	4	457.126
			2907					Min	9.646	91.936	0,000	608,00	4	
	50,0%	340	-	-3418	-	5.19[V]	EFF	Max	17.802	181.453	0,000	1.200,0 0	4	457.126

Travi (AC) - Verifiche a pressoflessione deviata

Id _{Tr}	%L _{L1}	N _{Ed}	V _{Ed}	M _{Ed,3}	M _{Ed,2}	CS	Tp Vr	max/m in	M _{c,Rd}	V _{c,Rd}	ρ	A _v	t _w	N _{pl,Rd}
	[%]	[N]	[N]	[N·m]	[N·m]				[N·m]	[N]		[cm ²]	[mm]	[N]
	75,0%	475	4206	-6273	-	2.83[V]	EFF	Min	9.646	91.936	0,000	608,00	4	457.126
			-					Max	17.802	181.453	0,000	1.200,00	4	
			5505					Min	9.646	91.936	0,000	608,00	4	
	100,0 %	599	-	-9884	-	1.80[V]	EFF	Max	17.802	181.453	0,000	1.200,00	4	457.126
			-					Min	9.646	91.936	0,000	608,00	4	
			6614					Min	9.646	91.936	0,000	608,00	4	
Trave Acciaio 79a-10	0%	89	9041	3083	-4306	33.13[V]	PLS	Max	46.619	232.109	0,000	1.535,00	10	804.879
			5179					Min	46.619	232.109	0,000	1.535,00	10	
	25,0%	-366	-10	-594	-	78.48[V]	PLS	Max	46.619	232.109	0,000	1.535,00	10	804.879
			-2940					Min	46.619	232.109	0,000	1.535,00	10	
	50,0%	89	10190	-550	2055	NS	PLS	Max	46.619	232.109	0,000	1.535,00	10	804.879

Travi (AC) - Verifiche a pressoflessione deviata

Id _{Tr}	%L _{L1}	N _{Ed}	V _{Ed}	M _{Ed,3}	M _{Ed,2}	CS	Tp Vr	max/m in	M _{c,Rd}	V _{c,Rd}	ρ	A _v	t _w	N _{pl,Rd}
	[%]	[N]	[N]	[N·m]	[N·m]				[N·m]	[N]		[cm ²]	[mm]	[N]
	75,0%	89	5823	-2552	5556	26.79[V]	PLS	Min	46.619	232.109	0,000	1.535,0 0	10	804.879
			10838					Max	46.619	232.109	0,000	1.535,0 0	10	
			6197					Min	46.619	232.109	0,000	1.535,0 0	10	
	100,0 %	89	11339	-4674	9268	11.06[V]	PLS	Max	46.619	232.109	0,000	1.535,0 0	10	804.879
			6467					Min	46.619	232.109	0,000	1.535,0 0	10	
Trave Acciaio 83a-84a	0%	57	-	1	-	NS	EFF	Max	17.802	181.453	0,000	1.200,0 0	4	457.126
			-40					Min	9.646	91.936	0,000	608,00	4	
	25,0%	137	-	-667	-	26.48[V]	EFF	Max	17.802	181.453	0,000	1.200,0 0	4	457.126
			1433					Min	9.646	91.936	0,000	608,00	4	
	50,0%	239	-	-1716	-	10.32[V]	EFF	Max	17.802	181.453	0,000	1.200,0 0	4	457.126

Travi (AC) - Verifiche a pressoflessione deviata

Id _{Tr}	%L _{L1}	N _{Ed}	V _{Ed}	M _{Ed,3}	M _{Ed,2}	CS	Tp Vr	max/m in	M _{c,Rd}	V _{c,Rd}	ρ	A _v	t _w	N _{pl,Rd}
	[%]	[N]	[N]	[N·m]	[N·m]				[N·m]	[N]		[cm ²]	[mm]	[N]
	75,0%	341	2071	-3146	-	5.63[V]	EFF	Min	9.646	91.936	0,000	608,00	4	457.126
			-					Max	17.802	181.453	0,000	1.200,00	4	
			2708					Min	9.646	91.936	0,000	608,00	4	
	100,0 %	436	-	-4951	-	3.58[V]	EFF	Max	17.802	181.453	0,000	1.200,00	4	457.126
			-					Min	9.646	91.936	0,000	608,00	4	
			3211					Min	9.646	91.936	0,000	608,00	4	
Trave Acciaio 55a-7	0%	69	-15	238	-	NS	PLS	Max	46.619	232.109	0,000	1.535,00	10	804.074
			-5135					Min	46.619	232.109	0,000	1.535,00	10	
	25,1%	-709	19918	-2488	4362	36.61[V]	PLS	Max	46.619	232.109	0,000	1.535,00	10	804.074
			11373					Min	46.619	232.109	0,000	1.535,00	10	
	50,0%	-709	20242	-4398	7705	14.24[V]	PLS	Max	46.619	232.109	0,000	1.535,00	10	804.074

Travi (AC) - Verifiche a pressoflessione deviata

Id _{Tr}	%L _{L1}	N _{Ed}	V _{Ed}	M _{Ed,3}	M _{Ed,2}	CS	Tp Vr	max/m in	M _{c,Rd}	V _{c,Rd}	ρ	A _v	t _w	N _{pl,Rd}
	[%]	[N]	[N]	[N·m]	[N·m]				[N·m]	[N]		[cm ²]	[mm]	[N]
	75,1%	-709	11560	-6338	11103	7.76[V]	PLS	Min	46.619	232.109	0,000	1.535,0 0	10	804.074
			20567					Max	46.619	232.109	0,000	1.535,0 0	10	
			11747					Min	46.619	232.109	0,000	1.535,0 0	10	
	100,0 %	-709	20891	-8310	14555	4.95[V]	PLS	Max	46.619	232.109	0,000	1.535,0 0	10	804.074
			11934					Min	46.619	232.109	0,000	1.535,0 0	10	
Trave Acciaio 46a-6	0%	20	-11	187	-	NS	PLS	Max	46.619	232.109	0,000	1.535,0 0	10	804.074
			-3839					Min	46.619	232.109	0,000	1.535,0 0	10	
	25,1%	-727	19904	-2492	4347	36.75[V]	PLS	Max	46.619	232.109	0,000	1.535,0 0	10	804.074
			11364					Min	46.619	232.109	0,000	1.535,0 0	10	

Travi (AC) - Verifiche a pressoflessione deviata

Id _{Tr}	%L _{L1}	N _{Ed}	V _{Ed}	M _{Ed,3}	M _{Ed,2}	CS	Tp Vr	max/m in	M _{c,Rd}	V _{c,Rd}	ρ	A _v	t _w	N _{pl,Rd}
	[%]	[N]	[N]	[N·m]	[N·m]				[N·m]	[N]		[cm ²]	[mm]	[N]
	50,0%	-727	20228	-4400	7689	14.27[V]	PLS	Max	46.619	232.109	0,000	1.535,0 0	10	804.074
			11550					Min	46.619	232.109	0,000	1.535,0 0		
	75,1%	-727	20552	-6339	11084	7.78[V]	PLS	Max	46.619	232.109	0,000	1.535,0 0	10	804.074
			11737					Min	46.619	232.109	0,000	1.535,0 0		
	100,0 %	-727	20876	-8309	14533	4.96[V]	PLS	Max	46.619	232.109	0,000	1.535,0 0	10	804.074
			11924					Min	46.619	232.109	0,000	1.535,0 0		
Trave Acciaio 10a-2	0%	-300	9894	-	401	NS	PLS	Max	46.619	232.109	0,000	1.535,0 0	10	804.879
			2035					Min	46.619	232.109	0,000	1.535,0 0		
	25,1%	-119	16683	-1346	3425	62.91[V]	PLS	Max	46.619	232.109	0,000	1.535,0 0	10	804.879

Travi (AC) - Verifiche a pressoflessione deviata

Id _{Tr}	%L _I	N _{Ed}	V _{Ed}	M _{Ed,3}	M _{Ed,2}	CS	Tp Vr	max/m in	M _{c,Rd}	V _{c,Rd}	ρ	A _v	t _w	N _{pl,Rd}
	[%]	[N]	[N]	[N·m]	[N·m]				[N·m]	[N]		[cm ²]	[mm]	[N]
			9535					Min	46.619	232.109	0,000	1.535,0 0	10	
			17008				PLS	Max	46.619	232.109	0,000	1.535,0 0	10	
	50,0%	-119	9722	-2950	6230	21.91[V]		Min	46.619	232.109	0,000	1.535,0 0	10	804.879
			17332	-4584	9090	11.42[V]	PLS	Max	46.619	232.109	0,000	1.535,0 0	10	
	75,1%	-119	9909					Min	46.619	232.109	0,000	1.535,0 0	10	804.879
			17656	-6250	12003	7.11[V]	PLS	Max	46.619	232.109	0,000	1.535,0 0	10	
	100,0 %	-119	10096					Min	46.619	232.109	0,000	1.535,0 0	10	804.879
	0%	60	-17	278	-	NS	PLS	Max	46.619	232.109	0,000	1.535,0 0	10	804.074
			-5894					Min	46.619	232.109	0,000	1.535,0 0	10	

Travi (AC) - Verifiche a pressoflessione deviata

Id _{Tr}	%L _{L1}	N _{Ed}	V _{Ed}	M _{Ed,3}	M _{Ed,2}	CS	Tp Vr	max/m in	M _{c,Rd}	V _{c,Rd}	ρ	A _v	t _w	N _{pl,Rd}
	[%]	[N]	[N]	[N·m]	[N·m]				[N·m]	[N]		[cm²]	[mm]	[N]
	25,1%	-795	19868	-2496	4383	36.36[V]	PLS	Max	46.619	232.109	0,000	1.535,0 0	10	804.074
			11365					Min	46.619	232.109	0,000	1.535,0 0		
	50,0%	-795	20192	-4404	7719	14.20[V]	PLS	Max	46.619	232.109	0,000	1.535,0 0	10	804.074
			11552					Min	46.619	232.109	0,000	1.535,0 0		
	75,1%	-795	20516	-6343	11108	7.76[V]	PLS	Max	46.619	232.109	0,000	1.535,0 0	10	804.074
			11739					Min	46.619	232.109	0,000	1.535,0 0		
	100,0 %	-795	20840	-8313	14551	4.95[V]	PLS	Max	46.619	232.109	0,000	1.535,0 0	10	804.074
			11926					Min	46.619	232.109	0,000	1.535,0 0		
Trave Acciaio 64a-8	0%	19	-11	193	-	NS	PLS	Max	46.619	232.109	0,000	1.535,0 0	10	804.074

Travi (AC) - Verifiche a pressoflessione deviata

Id _{Tr}	%L _{L1}	N _{Ed}	V _{Ed}	M _{Ed,3}	M _{Ed,2}	CS	Tp Vr	max/m in	M _{c,Rd}	V _{c,Rd}	ρ	A _v	t _w	N _{pl,Rd}
	[%]	[N]	[N]	[N·m]	[N·m]				[N·m]	[N]		[cm²]	[mm]	[N]
			-3842					Min	46.619	232.109	0,000	1.535,0 0	10	
	25,1%	-694	19956	-2504	4504	35.14[V]	PLS	Max	46.619	232.109	0,000	1.535,0 0	10	804.074
			11376					Min	46.619	232.109	0,000	1.535,0 0	10	
	50,0%	-694	20280	-4413	7854	13.89[V]	PLS	Max	46.619	232.109	0,000	1.535,0 0	10	804.074
			11563					Min	46.619	232.109	0,000	1.535,0 0	10	
	75,1%	-694	20604	-6354	11257	7.63[V]	PLS	Max	46.619	232.109	0,000	1.535,0 0	10	804.074
			11749					Min	46.619	232.109	0,000	1.535,0 0	10	
	100,0 %	-694	20928	-8326	14715	4.88[V]	PLS	Max	46.619	232.109	0,000	1.535,0 0	10	804.074
			11936					Min	46.619	232.109	0,000	1.535,0 0	10	

Travi (AC) - Verifiche a pressoflessione deviata

Id _{Tr}	%L _{L1}	N _{Ed}	V _{Ed}	M _{Ed,3}	M _{Ed,2}	CS	Tp Vr	max/m in	M _{c,Rd}	V _{c,Rd}	ρ	A _v	t _w	N _{pl,Rd}
	[%]	[N]	[N]	[N·m]	[N·m]				[N·m]	[N]		[cm²]	[mm]	[N]
Trave Acciaio 19a-3	0%	93	-18	314	-	NS	PLS	Max	46.619	232.109	0,000	1.535,0 0	10	804.074
			-5963					Min	46.619	232.109	0,000	1.535,0 0		
	25,1%	-902	20583	-2588	4198	37.57[V]	PLS	Max	46.619	232.109	0,000	1.535,0 0	10	804.074
			11493					Min	46.619	232.109	0,000	1.535,0 0		
	50,0%	-902	20908	-4517	7652	14.17[V]	PLS	Max	46.619	232.109	0,000	1.535,0 0	10	804.074
			11680					Min	46.619	232.109	0,000	1.535,0 0		
	75,1%	-902	21232	-6478	11161	7.64[V]	PLS	Max	46.619	232.109	0,000	1.535,0 0	10	804.074
			11867					Min	46.619	232.109	0,000	1.535,0 0		
	100,0 %	-902	21556	-8469	14723	4.84[V]	PLS	Max	46.619	232.109	0,000	1.535,0 0	10	804.074

Travi (AC) - Verifiche a pressoflessione deviata

Id _{Tr}	%L _{L1}	N _{Ed}	V _{Ed}	M _{Ed,3}	M _{Ed,2}	CS	Tp Vr	max/min	M _{c,Rd}	V _{c,Rd}	ρ	A _v	t _w	N _{pl,Rd}
	[%]	[N]	[N]	[N·m]	[N·m]				[N·m]	[N]		[cm²]	[mm]	[N]
			12054					Min	46.619	232.109	0,000	1.535,0 0	10	
Trave Acciaio 37a-5	0%	12	-14	228	-	NS	PLS	Max	46.619	232.109	0,000	1.535,0 0	10	804.074
			-4600					Min	46.619	232.109	0,000	1.535,0 0	10	
	25,1%	-758	19897	-2496	4346	36.73[V]	PLS	Max	46.619	232.109	0,000	1.535,0 0	10	804.074
			11369					Min	46.619	232.109	0,000	1.535,0 0	10	
	50,0%	-758	20221	-4405	7686	14.27[V]	PLS	Max	46.619	232.109	0,000	1.535,0 0	10	804.074
			11556					Min	46.619	232.109	0,000	1.535,0 0	10	
	75,1%	-758	20545	-6345	11080	7.78[V]	PLS	Max	46.619	232.109	0,000	1.535,0 0	10	804.074
			11742					Min	46.619	232.109	0,000	1.535,0 0	10	

Travi (AC) - Verifiche a pressoflessione deviata

Id _{Tr}	%L _{L1}	N _{Ed}	V _{Ed}	M _{Ed,3}	M _{Ed,2}	CS	Tp Vr	max/m in	M _{c,Rd}	V _{c,Rd}	ρ	A _v	t _w	N _{pl,Rd}
	[%]	[N]	[N]	[N·m]	[N·m]				[N·m]	[N]		[cm²]	[mm]	[N]
	100,0 %	-758	20870	-8316	14528	4.96[V]	PLS	Max	46.619	232.109	0,000	1.535,0 0	10	804.074
			11929					Min	46.619	232.109	0,000	1.535,0 0		
Trave Acciaio 73a-9	0%	-750	19072	-359	-986	NS	PLS	Max	46.619	232.109	0,000	1.535,0 0	10	804.074
			11171					Min	46.619	232.109	0,000	1.535,0 0	10	
	25,1%	98	-14	974	-	47.86[V]	PLS	Max	46.619	232.109	0,000	1.535,0 0	10	804.074
			-5126					Min	46.619	232.109	0,000	1.535,0 0	10	
	50,0%	-750	19572	-4111	5430	21.77[V]	PLS	Max	46.619	232.109	0,000	1.535,0 0	10	804.074
			11441					Min	46.619	232.109	0,000	1.535,0 0	10	
	75,1%	-750	19897	-6032	8716	10.49[V]	PLS	Max	46.619	232.109	0,000	1.535,0 0	10	804.074

Travi (AC) - Verifiche a pressoflessione deviata

Id_{Tr}	%L_{L1}	N_{Ed}	V_{Ed}	M_{Ed,3}	M_{Ed,2}	CS	Tp Vr	max/m in	M_{c,Rd}	V_{c,Rd}	ρ	A_v	t_w	N_{pl,Rd}
	[%]	[N]	[N]	[N·m]	[N·m]				[N·m]	[N]		[cm ²]	[mm]	[N]
			11628					Min	46.619	232.109	0,000	1.535,0 0	10	
	100,0 %	-750	20221	-7984	12056	6.28[V]	PLS	Max	46.619	232.109	0,000	1.535,0 0	10	804.074
			11815					Min	46.619	232.109	0,000	1.535,0 0	10	

LEGENDA:

- Id_{Tr}** Identificativo della trave. L'eventuale lettera tra parentesi distingue i diversi tratti della travata al livello considerato.
- %L_{L1}** Posizione della sezione per la quale vengono forniti i valori di verifica, valutata come % della lunghezza libera d'inflessione (L_{L1}), a partire dall'estremo iniziale.
- N_{Ed}** Sforzo normale di progetto.
- V_{Ed}** Taglio di progetto utilizzato per il calcolo di ρ .
- M_{Ed,3}** Momento flettente di progetto intorno a 3.
- M_{Ed,2}** Momento flettente di progetto intorno a 2.
- CS** Coefficiente di sicurezza ([NS] = Non Significativo se CS ≥ 100; [VNR]= Verifica Non Richiesta; Informazioni aggiuntive sulla condizione: [V] = statica; [E] = eccezionale; [S] = sismica; [N] = sismica non lineare).

Travi (AC) - Verifiche a pressoflessione deviata

Id_{Tr}	$\%L_{LI}$	N_{Ed}	V_{Ed}	$M_{Ed,3}$	$M_{Ed,2}$	CS	Tp Vr	max/m in	$M_{c,Rd}$	$V_{c,Rd}$	ρ	A_v	t_w	$N_{pl,Rd}$
	[%]	[N]	[N]	[N·m]	[N·m]				[N·m]	[N]		[cm ²]	[mm]	[N]

Tp Vr Tipo di verifica considerata: "PLS" = con Modulo di resistenza plastico; "ELA" = con modulo di resistenza elastico; "EFF" = con modulo di resistenza efficace.

$M_{c,Rd}$ Momento resistente.

$V_{c,Rd}$ Taglio resistente.

ρ Coefficiente riduttivo per presenza di taglio.

A_v Area resistente a taglio.

t_w Spessore Anima.

$N_{pl,Rd}$ Resistenza plastica a Sforzo Normale.

TRAVI (AC) - VERIFICHE A TAGLIO (Elevazione) per pressoflessione retta

Travi (AC) - Verifiche a taglio

Id_{Tr}	$\%L_{LI}$	CS	A_v	$\tau_{T,Ed}$	V_{Ed}	$V_{c,Rd}$	P. Vrf.
	[%]		[mm ²]	[N/mm ²]	[N]	[N]	
Piano Terra					Piano Terra		

Travi (AC) - Verifiche a taglio

Id _{Tr}	%L _{Li}	CS	A _v	τ _{T,Ed}	V _{Ed}	V _{c,Rd}	P. Vrf.
	[%]		[mm ²]	[N/mm ²]	[N]	[N]	
Trave Acciaio 2a-3a	0%	54,80	1.200	0,00	-3.311	181.453	-
	25,0%	67,08	1.200	0,00	-2.705	181.453	-
	50,0%	88,64	1.200	0,00	-2.047	181.453	-
	75,0%	NS	1.200	0,00	-1.389	181.453	-
	100%	NS	1.200	0,00	-773	181.453	-
Trave Acciaio 1-5a	0%	26,63	1.200	0,00	-6.814	181.453	-
	25,0%	33,04	1.200	0,00	-5.492	181.453	-
	50,0%	43,73	1.200	0,00	-4.149	181.453	-
	75,0%	64,67	1.200	0,00	-2.806	181.453	-
	100,0%	NS	1.200	0,00	-1.546	181.453	-
Trave Acciaio 7a-8a	0%	26,65	1.200	0,00	-6.808	181.453	-
	25,0%	32,69	1.200	0,00	-5.551	181.453	-
	50,0%	43,33	1.200	0,00	-4.188	181.453	-
	75,0%	64,23	1.200	0,00	-2.825	181.453	-

Travi (AC) - Verifiche a taglio

Id _{Tr}	%L _{Lt}	CS	A _v	τ _{T,Ed}	V _{Ed}	V _{c,Rd}	P. Vrf.
	[%]		[mm ²]	[N/mm ²]	[N]	[N]	
Trave Acciaio 10a-11a	100%	NS	1.200	0,00	-1.545	181.453	-
	0%	26,65	1.200	0,00	-6.810	181.453	-
	25,0%	32,47	1.200	0,00	-5.589	181.453	-
	50,0%	42,57	1.200	0,00	-4.262	181.453	-
	75,0%	61,82	1.200	0,00	-2.935	181.453	-
Trave Acciaio 13a-14a	100,0%	NS	1.200	0,00	-1.608	181.453	-
	0%	26,66	1.200	0,00	-6.806	181.453	-
	25,0%	32,49	1.200	0,00	-5.585	181.453	-
	50,0%	42,61	1.200	0,00	-4.258	181.453	-
	75,0%	61,91	1.200	0,00	-2.931	181.453	-
Trave Acciaio 16a-17a	100,0%	NS	1.200	0,00	-1.604	181.453	-
	0%	26,68	1.200	0,00	-6.802	181.453	-
	25,0%	32,64	1.200	0,00	-5.559	181.453	-
	50,0%	43,11	1.200	0,00	-4.209	181.453	-

Travi (AC) - Verifiche a taglio

Id _{Tr}	%L _{Li}	CS	A _v	τ _{T,Ed}	V _{Ed}	V _{c,Rd}	P. Vrf.
	[%]		[mm ²]	[N/mm ²]	[N]	[N]	
Trave Acciaio 19a-20a	75,0%	63,45	1.200	0,00	-2.860	181.453	-
	100,0%	NS	1.200	0,00	-1.544	181.453	-
	0%	26,68	1.200	0,00	-6.802	181.453	-
	25,0%	32,51	1.200	0,00	-5.581	181.453	-
	50,0%	42,65	1.200	0,00	-4.254	181.453	-
	75,0%	61,99	1.200	0,00	-2.927	181.453	-
Trave Acciaio 22a-23a	100,0%	NS	1.200	0,00	-1.600	181.453	-
	0%	26,68	1.200	0,00	-6.800	181.453	-
	25,0%	32,53	1.200	0,00	-5.578	181.453	-
	50,0%	42,68	1.200	0,00	-4.251	181.453	-
	75,0%	62,06	1.200	0,00	-2.924	181.453	-
	100,0%	NS	1.200	0,00	-1.597	181.453	-
Trave Acciaio 25a-26a	0%	26,72	1.200	0,00	-6.792	181.453	-
	25,0%	32,69	1.200	0,00	-5.551	181.453	-

Travi (AC) - Verifiche a taglio

Id _{Tr}	%L _{Li}	CS	A _v	τ _{T,Ed}	V _{Ed}	V _{c,Rd}	P. Vrf.
	[%]		[mm ²]	[N/mm ²]	[N]	[N]	
Trave Acciaio 28a-29a	50,0%	43,16	1.200	0,00	-4.204	181.453	-
	75,0%	63,49	1.200	0,00	-2.858	181.453	-
	100,0%	NS	1.200	0,00	-1.544	181.453	-
	0%	26,73	1.200	0,00	-6.789	181.453	-
	25,0%	32,58	1.200	0,00	-5.569	181.453	-
	50,0%	42,76	1.200	0,00	-4.244	181.453	-
Trave Acciaio 31a-32a	75,0%	62,16	1.200	0,00	-2.919	181.453	-
	100,0%	NS	1.200	0,00	-1.594	181.453	-
	0%	26,74	1.200	0,00	-6.785	181.453	-
	25,0%	32,60	1.200	0,00	-5.566	181.453	-
	50,0%	42,79	1.200	0,00	-4.241	181.453	-
	75,0%	62,25	1.200	0,00	-2.915	181.453	-
Trave Acciaio 34a-35a	100,0%	NS	1.200	0,00	-1.590	181.453	-
	0%	26,77	1.200	0,00	-6.779	181.453	-

Travi (AC) - Verifiche a taglio

Id _{Tr}	%L _{Lt}	CS	A _v	τ _{T,Ed}	V _{Ed}	V _{c,Rd}	P. Vrf.
	[%]		[mm ²]	[N/mm ²]	[N]	[N]	
Trave Acciaio 37a-38a	25,0%	32,75	1.200	0,00	-5.541	181.453	-
	50,0%	43,23	1.200	0,00	-4.197	181.453	-
	75,0%	63,60	1.200	0,00	-2.853	181.453	-
	100,0%	NS	1.200	0,00	-1.541	181.453	-
	0%	26,76	1.200	0,00	-6.780	181.453	-
	25,0%	32,64	1.200	0,00	-5.560	181.453	-
	50,0%	42,85	1.200	0,00	-4.235	181.453	-
	75,0%	62,36	1.200	0,00	-2.910	181.453	-
Trave Acciaio 40a-41a	100,0%	NS	1.200	0,00	-1.584	181.453	-
	0%	26,77	1.200	0,00	-6.777	181.453	-
	25,0%	32,65	1.200	0,00	-5.558	181.453	-
	50,0%	42,87	1.200	0,00	-4.233	181.453	-
	75,0%	62,40	1.200	0,00	-2.908	181.453	-
	100,0%	NS	1.200	0,00	-1.582	181.453	-

Travi (AC) - Verifiche a taglio

Id _{Tr}	%L _{Li}	CS	A _v	τ _{T,Ed}	V _{Ed}	V _{c,Rd}	P. Vrf.
	[%]		[mm ²]	[N/mm ²]	[N]	[N]	
Trave Acciaio 43a-44a	0%	26,79	1.200	0,00	-6.772	181.453	-
	25,0%	32,78	1.200	0,00	-5.536	181.453	-
	50,0%	43,28	1.200	0,00	-4.193	181.453	-
	75,0%	63,65	1.200	0,00	-2.851	181.453	-
	100,0%	NS	1.200	0,00	-1.541	181.453	-
Trave Acciaio 46a-47a	0%	26,79	1.200	0,00	-6.772	181.453	-
	25,0%	32,68	1.200	0,00	-5.553	181.453	-
	50,0%	42,93	1.200	0,00	-4.227	181.453	-
	75,0%	62,53	1.200	0,00	-2.902	181.453	-
	100,0%	NS	1.200	0,00	-1.577	181.453	-
Trave Acciaio 49a-50a	0%	26,80	1.200	0,00	-6.771	181.453	-
	25,0%	32,69	1.200	0,00	-5.551	181.453	-
	50,0%	42,94	1.200	0,00	-4.226	181.453	-
	75,0%	62,55	1.200	0,00	-2.901	181.453	-

Travi (AC) - Verifiche a taglio

Id _{Tr}	%L _{Lt}	CS	A _v	τ _{T,Ed}	V _{Ed}	V _{c,Rd}	P. Vrf.
	[%]		[mm ²]	[N/mm ²]	[N]	[N]	
Trave Acciaio 52a-53a	100,0%	NS	1.200	0,00	-1.576	181.453	-
	0%	26,82	1.200	0,00	-6.766	181.453	-
	25,0%	32,81	1.200	0,00	-5.531	181.453	-
	50,0%	43,31	1.200	0,00	-4.190	181.453	-
	75,0%	63,69	1.200	0,00	-2.849	181.453	-
Trave Acciaio 55a-56a	100,0%	NS	1.200	0,00	-1.541	181.453	-
	0%	26,82	1.200	0,00	-6.765	181.453	-
	25,0%	32,72	1.200	0,00	-5.546	181.453	-
	50,0%	42,99	1.200	0,00	-4.221	181.453	-
	75,0%	62,66	1.200	0,00	-2.896	181.453	-
Trave Acciaio 58a-59a	100,0%	NS	1.200	0,00	-1.570	181.453	-
	0%	26,84	1.200	0,00	-6.760	181.453	-
	25,0%	32,74	1.200	0,00	-5.542	181.453	-
	50,0%	43,03	1.200	0,00	-4.217	181.453	-

Travi (AC) - Verifiche a taglio

Id _{Tr}	%L _{Li}	CS	A _v	τ _{T,Ed}	V _{Ed}	V _{c,Rd}	P. Vrf.
	[%]		[mm ²]	[N/mm ²]	[N]	[N]	
Trave Acciaio 61a-62a	75,0%	62,72	1.200	0,00	-2.893	181.453	-
	100,0%	NS	1.200	0,00	-1.569	181.453	-
	0%	26,87	1.200	0,00	-6.752	181.453	-
	25,0%	32,87	1.200	0,00	-5.520	181.453	-
	50,0%	43,38	1.200	0,00	-4.183	181.453	-
	75,0%	63,76	1.200	0,00	-2.846	181.453	-
Trave Acciaio 64a-65a	100,0%	NS	1.200	0,00	-1.541	181.453	-
	0%	26,88	1.200	0,00	-6.750	181.453	-
	25,0%	32,80	1.200	0,00	-5.532	181.453	-
	50,0%	43,11	1.200	0,00	-4.209	181.453	-
	75,0%	62,90	1.200	0,00	-2.885	181.453	-
	100,0%	NS	1.200	0,00	-1.562	181.453	-
Trave Acciaio 67a-68a	0%	26,88	1.200	0,00	-6.750	181.453	-
	25,0%	32,80	1.200	0,00	-5.532	181.453	-

Travi (AC) - Verifiche a taglio

Id _{Tr}	%L _{Lt}	CS	A _v	τ _{T,Ed}	V _{Ed}	V _{c,Rd}	P. Vrf.
	[%]		[mm ²]	[N/mm ²]	[N]	[N]	
Trave Acciaio 70a-71a	50,0%	43,11	1.200	0,00	-4.209	181.453	-
	75,0%	62,90	1.200	0,00	-2.885	181.453	-
	100,0%	NS	1.200	0,00	-1.562	181.453	-
	0%	26,90	1.200	0,00	-6.745	181.453	-
	25,0%	32,90	1.200	0,00	-5.515	181.453	-
	50,0%	43,41	1.200	0,00	-4.180	181.453	-
Trave Acciaio 73a-74a	75,0%	63,80	1.200	0,00	-2.844	181.453	-
	100,0%	NS	1.200	0,00	-1.541	181.453	-
	0%	26,90	1.200	0,00	-6.745	181.453	-
	25,0%	32,83	1.200	0,00	-5.527	181.453	-
	50,0%	43,17	1.200	0,00	-4.203	181.453	-
	75,0%	63,00	1.200	0,00	-2.880	181.453	-
Trave Acciaio 76a-77a	100,0%	NS	1.200	0,00	-1.556	181.453	-
	0%	26,91	1.200	0,00	-6.744	181.453	-

Travi (AC) - Verifiche a taglio

Id _{Tr}	%L _{Li}	CS	A _v	τ _{T,Ed}	V _{Ed}	V _{c,Rd}	P. Vrf.
	[%]		[mm ²]	[N/mm ²]	[N]	[N]	
Trave Acciaio 79a-80a	25,0%	32,84	1.200	0,00	-5.526	181.453	-
	50,0%	43,18	1.200	0,00	-4.202	181.453	-
	75,0%	63,03	1.200	0,00	-2.879	181.453	-
	100,0%	NS	1.200	0,00	-1.556	181.453	-
	0%	26,95	1.200	0,00	-6.732	181.453	-
	25,0%	33,11	1.200	0,00	-5.481	181.453	-
	50,0%	43,99	1.200	0,00	-4.125	181.453	-
	75,0%	65,55	1.200	0,00	-2.768	181.453	-
Trave Acciaio 10-82a	100,0%	NS	1.200	0,00	-1.539	181.453	-
	0%	26,97	1.200	0,00	-6.727	181.453	-
	25,0%	33,55	1.200	0,00	-5.409	181.453	-
	50,0%	44,57	1.200	0,00	-4.071	181.453	-
	75,0%	66,39	1.200	0,00	-2.733	181.453	-
	100,0%	NS	1.200	0,00	-1.537	181.453	-

Travi (AC) - Verifiche a taglio

Id_{Tr}	%L_{Li}	CS	A_v	τ_{T,Ed}	V_{Ed}	V_{c,Rd}	P. Vrf.
	[%]		[mm ²]	[N/mm ²]	[N]	[N]	
Trave Acciaio 84a-85a	0%	56,02	1.200	0,00	-3.239	181.453	-
	25,0%	69,66	1.200	0,00	-2.605	181.453	-
	50,0%	92,01	1.200	0,00	-1.972	181.453	-
	75,0%	NS	1.200	0,00	-1.338	181.453	-
	100%	NS	1.200	0,00	-769	181.453	-

LEGENDA:

- Id_{Tr}** Identificativo della trave. L'eventuale lettera tra parentesi distingue i diversi tratti della travata al livello considerato.
- %L_{Li}** Posizione della sezione per la quale vengono forniti i valori di verifica, valutata come % della lunghezza libera d'inflessione (L_{Li}), a partire dall'estremo iniziale.
- CS** Coefficiente di sicurezza ([NS] = Non Significativo se CS ≥ 100; [VNR]= Verifica Non Richiesta; Informazioni aggiuntive sulla condizione: [V] = statica; [E] = eccezionale; [S] = sismica; [N] = sismica non lineare).
- A_v** Area resistente a taglio.
- τ_{T,Ed}** Tensione tangenziale di calcolo per torsione.
- V_{Ed}** Taglio di progetto.
- V_{c,Rd}** Taglio resistente.

Travi (AC) - Verifiche a taglio

Id_{Tr}	%L_{Li}	CS	A_v	τ_{T,Ed}	V_{Ed}	V_{c,Rd}	P. Vrf.
	[%]		[mm ²]	[N/mm ²]	[N]	[N]	

P. Vrf. Piano di minima resistenza.

TRAVI (AC) - VERIFICHE A TAGLIO (Elevazione) per pressoflessione deviata

Travi (AC) - Verifiche a taglio

Id_{Tr}	%L_{Li}	CS	A_v	τ_{T,Ed}	V_{Ed}	V_{c,Rd}	P. Vrf.
	[%]		[mm ²]	[N/mm ²]	[N]	[N]	
Piano Terra					Piano Terra		
Trave Acciaio 10-84a	0%	28,43	1.535	1,07	-8.107	230.473	Piano YY
	25,0%	30,30	1.535	1,07	-7.607	230.473	Piano YY
	50,0%	33,12	1.535	1,07	-6.958	230.473	Piano YY
	75,0%	36,53	1.535	1,07	-6.310	230.473	Piano YY
	100,0%	39,68	1.535	1,07	-5.809	230.473	Piano YY
Trave Acciaio 1a-2a	0%	NS	1.200	0,00	771	181.453	Piano XX
	25,0%	NS	1.200	0,00	1.384	181.453	Piano XX

Travi (AC) - Verifiche a taglio

Id _{Tr}	%L _{Li}	CS	A _v	τ _{T,Ed}	V _{Ed}	V _{c,Rd}	P. Vrf.
	[%]		[mm ²]	[N/mm ²]	[N]	[N]	
Trave Acciaio 4a-1	50,0%	90,82	1.200	0,00	1.998	181.453	Piano XX
	75,0%	69,50	1.200	0,00	2.611	181.453	Piano XX
	100%	57,20	1.200	0,00	3.172	181.453	Piano XX
	0%	NS	1.200	0,00	1.542	181.453	Piano XX
	25,0%	64,00	1.200	0,00	2.835	181.453	Piano XX
	50,0%	43,95	1.200	0,00	4.129	181.453	Piano XX
	75,0%	33,47	1.200	0,00	5.422	181.453	Piano XX
Trave Acciaio 2a-1	100,0%	27,80	1.200	0,00	6.527	181.453	Piano XX
	0%	39,92	1.535	0,15	5.809	231.872	Piano YY
	25,0%	36,75	1.535	0,15	6.310	231.872	Piano YY
	50,0%	33,32	1.535	0,15	6.958	231.872	Piano YY
	75,0%	30,48	1.535	0,15	7.607	231.872	Piano YY
	100,0%	28,60	1.535	0,15	8.107	231.872	Piano YY
Trave Acciaio 6a-7a	0%	NS	1.200	0,00	1.543	181.453	Piano XX

Travi (AC) - Verifiche a taglio

Id _{Tr}	%L _{Li}	CS	A _v	τ _{T,Ed}	V _{Ed}	V _{c,Rd}	P. Vrf.
	[%]		[mm ²]	[N/mm ²]	[N]	[N]	
Trave Acciaio 1-7a	25,0%	64,41	1.200	0,00	2.817	181.453	Piano XX
	50,0%	44,35	1.200	0,00	4.091	181.453	Piano XX
	75,0%	33,83	1.200	0,00	5.364	181.453	Piano XX
	100%	27,77	1.200	0,00	6.533	181.453	Piano XX
	0%	20,30	1.535	1,26	-11.337	230.173	Piano YY
	25,0%	21,24	1.535	1,26	-10.837	230.173	Piano YY
	50,0%	22,59	1.535	1,26	-10.189	230.173	Piano YY
	75,0%	24,13	1.535	1,26	-9.540	230.173	Piano YY
	100,0%	25,46	1.535	1,26	-9.040	230.173	Piano YY
	0%	NS	1.200	0,00	1.526	181.453	Piano XX
Trave Acciaio 9a-10a	25,0%	67,01	1.200	0,00	2.708	181.453	Piano XX
	50,0%	45,16	1.200	0,00	4.018	181.453	Piano XX
	75,0%	34,06	1.200	0,00	5.328	181.453	Piano XX
	100,0%	27,77	1.200	0,00	6.534	181.453	Piano XX

Travi (AC) - Verifiche a taglio

Id _{Tr}	%L _{Li}	CS	A _v	τ _{T,Ed}	V _{Ed}	V _{c,Rd}	P. Vrf.
	[%]		[mm ²]	[N/mm ²]	[N]	[N]	
Trave Acciaio 7a-10a	0%	89,39	1.535	0,73	2.584	230.990	Piano YY
	25,0%	74,88	1.535	0,73	3.085	230.990	Piano YY
	50,0%	61,88	1.535	0,73	3.733	230.990	Piano YY
	75,0%	52,73	1.535	0,73	4.381	230.990	Piano YY
	100,0%	47,31	1.535	0,73	4.882	230.990	Piano YY
Trave Acciaio 12a-13a	0%	NS	1.200	0,00	1.526	181.453	Piano XX
	25,0%	66,93	1.200	0,00	2.711	181.453	Piano XX
	50,0%	45,12	1.200	0,00	4.022	181.453	Piano XX
	75,0%	34,02	1.200	0,00	5.333	181.453	Piano XX
	100,0%	27,75	1.200	0,00	6.539	181.453	Piano XX
Trave Acciaio 2-13a	0%	11,30	1.535	2,32	-20.220	228.543	Piano YY
	25,1%	11,49	1.535	2,32	-19.896	228.543	Piano YY
	50,0%	11,68	1.535	2,32	-19.572	228.543	Piano YY
	75,1%	11,87	1.535	2,32	-19.248	228.543	Piano YY

Travi (AC) - Verifiche a taglio

Id _{Tr}	%L _{Li}	CS	A _v	τ _{T,Ed}	V _{Ed}	V _{c,Rd}	P. Vrf.
	[%]		[mm ²]	[N/mm ²]	[N]	[N]	
Trave Acciaio 15a-16a	100,0%	11,98	1.535	2,32	-19.071	228.543	Piano YY
	0%	NS	1.200	0,00	1.526	181.453	Piano XX
	25,0%	65,20	1.200	0,00	2.783	181.453	Piano XX
	50,0%	44,56	1.200	0,00	4.072	181.453	Piano XX
	75,0%	33,85	1.200	0,00	5.360	181.453	Piano XX
	100,0%	27,72	1.200	0,00	6.545	181.453	Piano XX
Trave Acciaio 13a-16a	0%	31,00	1.535	0,89	-7.444	230.741	Piano YY
	25,0%	33,23	1.535	0,89	-6.944	230.741	Piano YY
	50,0%	36,65	1.535	0,89	-6.295	230.741	Piano YY
	75,0%	40,86	1.535	0,89	-5.647	230.741	Piano YY
	100,0%	44,83	1.535	0,89	-5.147	230.741	Piano YY
Trave Acciaio 18a-19a	0%	NS	1.200	0,00	1.526	181.453	Piano XX
	25,0%	66,81	1.200	0,00	2.716	181.453	Piano XX
	50,0%	45,06	1.200	0,00	4.027	181.453	Piano XX

Travi (AC) - Verifiche a taglio

Id _{Tr}	%L _{Lt}	CS	A _v	τ _{T,Ed}	V _{Ed}	V _{c,Rd}	P. Vrf.
	[%]		[mm ²]	[N/mm ²]	[N]	[N]	
Trave Acciaio 16a-19a	75,0%	33,99	1.200	0,00	5.338	181.453	Piano XX
	100,0%	27,73	1.200	0,00	6.544	181.453	Piano XX
	0%	35,78	1.535	0,10	6.482	231.949	Piano YY
	25,0%	33,22	1.535	0,10	6.982	231.949	Piano YY
	50,0%	30,40	1.535	0,10	7.630	231.949	Piano YY
	75,0%	28,02	1.535	0,10	8.279	231.949	Piano YY
Trave Acciaio 21a-22a	100,0%	26,42	1.535	0,10	8.779	231.949	Piano YY
	0%	NS	1.200	0,00	1.526	181.453	Piano XX
	25,0%	66,76	1.200	0,00	2.718	181.453	Piano XX
	50,0%	45,04	1.200	0,00	4.029	181.453	Piano XX
	75,0%	33,98	1.200	0,00	5.340	181.453	Piano XX
	100,0%	27,72	1.200	0,00	6.546	181.453	Piano XX
Trave Acciaio 3-22a	0%	10,94	1.535	2,13	-20.927	228.844	Piano YY
	25,1%	11,11	1.535	2,13	-20.603	228.844	Piano YY

Travi (AC) - Verifiche a taglio

Id _{Tr}	%L _{Lt}	CS	A _v	τ _{T,Ed}	V _{Ed}	V _{c,Rd}	P. Vrf.
	[%]		[mm ²]	[N/mm ²]	[N]	[N]	
Trave Acciaio 24a-25a	50,0%	11,28	1.535	2,13	-20.279	228.844	Piano YY
	75,1%	11,47	1.535	2,13	-19.954	228.844	Piano YY
	100,0%	11,57	1.535	2,13	-19.778	228.844	Piano YY
	0%	NS	1.200	0,00	1.526	181.453	Piano XX
	25,0%	65,18	1.200	0,00	2.784	181.453	Piano XX
	50,0%	44,53	1.200	0,00	4.075	181.453	Piano XX
	75,0%	33,82	1.200	0,00	5.365	181.453	Piano XX
Trave Acciaio 22a-25a	100,0%	27,70	1.200	0,00	6.551	181.453	Piano XX
	0%	28,37	1.535	0,56	-8.151	231.246	Piano YY
	25,0%	30,22	1.535	0,56	-7.651	231.246	Piano YY
	50,0%	33,02	1.535	0,56	-7.003	231.246	Piano YY
	75,0%	36,39	1.535	0,56	-6.354	231.246	Piano YY
Trave Acciaio 27a-28a	100,0%	39,50	1.535	0,56	-5.854	231.246	Piano YY
	0%	NS	1.200	0,00	1.526	181.453	Piano XX

Travi (AC) - Verifiche a taglio

Id _{Tr}	%L _{Li}	CS	A _v	τ _{T,Ed}	V _{Ed}	V _{c,Rd}	P. Vrf.
	[%]		[mm ²]	[N/mm ²]	[N]	[N]	
Trave Acciaio 25a-28a	25,0%	66,64	1.200	0,00	2.723	181.453	Piano XX
	50,0%	44,98	1.200	0,00	4.034	181.453	Piano XX
	75,0%	33,95	1.200	0,00	5.344	181.453	Piano XX
	100,0%	27,70	1.200	0,00	6.551	181.453	Piano XX
	0%	40,05	1.535	0,62	5.772	231.157	Piano YY
	25,0%	36,86	1.535	0,62	6.272	231.157	Piano YY
	50,0%	33,40	1.535	0,62	6.920	231.157	Piano YY
	75,0%	30,54	1.535	0,62	7.569	231.157	Piano YY
	100,0%	28,65	1.535	0,62	8.069	231.157	Piano YY
	0%	NS	1.200	0,00	1.526	181.453	Piano XX
Trave Acciaio 30a-31a	25,0%	66,59	1.200	0,00	2.725	181.453	Piano XX
	50,0%	44,96	1.200	0,00	4.036	181.453	Piano XX
	75,0%	33,94	1.200	0,00	5.347	181.453	Piano XX
	100,0%	27,69	1.200	0,00	6.553	181.453	Piano XX

Travi (AC) - Verifiche a taglio

Id _{Tr}	%L _{Lt}	CS	A _v	τ _{T,Ed}	V _{Ed}	V _{c,Rd}	P. Vrf.
	[%]		[mm ²]	[N/mm ²]	[N]	[N]	
Trave Acciaio 4-31a	0%	10,93	1.535	2,46	-20.883	228.339	Piano YY
	25,1%	11,11	1.535	2,46	-20.558	228.339	Piano YY
	50,0%	11,28	1.535	2,46	-20.234	228.339	Piano YY
	75,1%	11,47	1.535	2,46	-19.910	228.339	Piano YY
	100,0%	11,57	1.535	2,46	-19.734	228.339	Piano YY
Trave Acciaio 33a-34a	0%	NS	1.200	0,00	1.526	181.453	Piano XX
	25,0%	65,13	1.200	0,00	2.786	181.453	Piano XX
	50,0%	44,50	1.200	0,00	4.078	181.453	Piano XX
	75,0%	33,79	1.200	0,00	5.370	181.453	Piano XX
	100,0%	27,67	1.200	0,00	6.558	181.453	Piano XX
Trave Acciaio 31a-34a	0%	28,47	1.535	0,72	-8.113	231.003	Piano YY
	25,0%	30,35	1.535	0,72	-7.612	231.003	Piano YY
	50,0%	33,17	1.535	0,72	-6.964	231.003	Piano YY
	75,0%	36,57	1.535	0,72	-6.316	231.003	Piano YY

Travi (AC) - Verifiche a taglio

Id _{Tr}	%L _{Lt}	CS	A _v	τ _{T,Ed}	V _{Ed}	V _{c,Rd}	P. Vrf.
	[%]		[mm ²]	[N/mm ²]	[N]	[N]	
Trave Acciaio 36a-37a	100,0%	39,73	1.535	0,72	-5.815	231.003	Piano YY
	0%	NS	1.200	0,00	1.526	181.453	Piano XX
	25,0%	66,49	1.200	0,00	2.729	181.453	Piano XX
	50,0%	44,91	1.200	0,00	4.040	181.453	Piano XX
	75,0%	33,91	1.200	0,00	5.351	181.453	Piano XX
	100,0%	27,67	1.200	0,00	6.558	181.453	Piano XX
Trave Acciaio 34a-37a	0%	39,81	1.535	0,67	5.804	231.074	Piano YY
	25,0%	36,65	1.535	0,67	6.305	231.074	Piano YY
	50,0%	33,23	1.535	0,67	6.953	231.074	Piano YY
	75,0%	30,40	1.535	0,67	7.602	231.074	Piano YY
	100,0%	28,52	1.535	0,67	8.102	231.074	Piano YY
Trave Acciaio 39a-40a	0%	NS	1.200	0,00	1.526	181.453	Piano XX
	25,0%	66,42	1.200	0,00	2.732	181.453	Piano XX
	50,0%	44,88	1.200	0,00	4.043	181.453	Piano XX

Travi (AC) - Verifiche a taglio

Id _{Tr}	%L _{Li}	CS	A _v	τ _{T,Ed}	V _{Ed}	V _{c,Rd}	P. Vrf.
	[%]		[mm ²]	[N/mm ²]	[N]	[N]	
Trave Acciaio 5-40a	75,0%	33,89	1.200	0,00	5.354	181.453	Piano XX
	100,0%	27,66	1.200	0,00	6.560	181.453	Piano XX
	0%	10,92	1.535	2,68	-20.874	227.988	Piano YY
	25,1%	11,09	1.535	2,68	-20.550	227.988	Piano YY
	50,0%	11,27	1.535	2,68	-20.226	227.988	Piano YY
	75,1%	11,46	1.535	2,68	-19.902	227.988	Piano YY
	100,0%	11,56	1.535	2,68	-19.725	227.988	Piano YY
Trave Acciaio 42a-43a	0%	NS	1.200	0,00	1.526	181.453	Piano XX
	25,0%	65,08	1.200	0,00	2.788	181.453	Piano XX
	50,0%	44,45	1.200	0,00	4.082	181.453	Piano XX
	75,0%	33,76	1.200	0,00	5.375	181.453	Piano XX
	100,0%	27,64	1.200	0,00	6.565	181.453	Piano XX
Trave Acciaio 40a-43a	0%	28,48	1.535	0,81	-8.106	230.869	Piano YY
	25,0%	30,35	1.535	0,81	-7.606	230.869	Piano YY

Travi (AC) - Verifiche a taglio

Id_{Tr}	%L_{Li}	CS	A_v	τ_{T,Ed}	V_{Ed}	V_{c,Rd}	P. Vrf.
	[%]		[mm ²]	[N/mm ²]	[N]	[N]	
Trave Acciaio 45a-46a	50,0%	33,19	1.535	0,81	-6.957	230.869	Piano YY
	75,0%	36,59	1.535	0,81	-6.309	230.869	Piano YY
	100,0%	39,75	1.535	0,81	-5.808	230.869	Piano YY
	0%	NS	1.200	0,00	1.526	181.453	Piano XX
	25,0%	66,32	1.200	0,00	2.736	181.453	Piano XX
	50,0%	44,84	1.200	0,00	4.047	181.453	Piano XX
	75,0%	33,87	1.200	0,00	5.358	181.453	Piano XX
	100,0%	27,64	1.200	0,00	6.564	181.453	Piano XX
Trave Acciaio 43a-46a	0%	39,74	1.535	0,76	5.811	230.939	Piano YY
	25,0%	36,59	1.535	0,76	6.311	230.939	Piano YY
	50,0%	33,18	1.535	0,76	6.960	230.939	Piano YY
	75,0%	30,35	1.535	0,76	7.608	230.939	Piano YY
	100,0%	28,48	1.535	0,76	8.109	230.939	Piano YY
Trave Acciaio 48a-49a	0%	NS	1.200	0,00	1.528	181.453	Piano XX

Travi (AC) - Verifiche a taglio

Id _{Tr}	%L _{Li}	CS	A _v	τ _{T,Ed}	V _{Ed}	V _{c,Rd}	P. Vrf.
	[%]		[mm ²]	[N/mm ²]	[N]	[N]	
Trave Acciaio 6-49a	25,0%	66,22	1.200	0,00	2.740	181.453	Piano XX
	50,0%	44,79	1.200	0,00	4.051	181.453	Piano XX
	75,0%	33,84	1.200	0,00	5.362	181.453	Piano XX
	100,0%	27,63	1.200	0,00	6.568	181.453	Piano XX
	0%	10,90	1.535	2,95	-20.875	227.579	Piano YY
	25,1%	11,07	1.535	2,95	-20.550	227.579	Piano YY
	50,0%	11,25	1.535	2,95	-20.226	227.579	Piano YY
	75,1%	11,43	1.535	2,95	-19.902	227.579	Piano YY
	100,0%	11,54	1.535	2,95	-19.726	227.579	Piano YY
	0%	NS	1.200	0,00	1.529	181.453	Piano XX
Trave Acciaio 51a-52a	25,0%	64,97	1.200	0,00	2.793	181.453	Piano XX
	50,0%	44,38	1.200	0,00	4.089	181.453	Piano XX
	75,0%	33,69	1.200	0,00	5.386	181.453	Piano XX
	100,0%	27,59	1.200	0,00	6.577	181.453	Piano XX

Travi (AC) - Verifiche a taglio

Id _{Tr}	%L _{Li}	CS	A _v	τ _{T,Ed}	V _{Ed}	V _{c,Rd}	P. Vrf.
	[%]		[mm ²]	[N/mm ²]	[N]	[N]	
Trave Acciaio 49a-52a	0%	28,46	1.535	0,92	-8.105	230.690	Piano YY
	25,0%	30,33	1.535	0,92	-7.605	230.690	Piano YY
	50,0%	33,16	1.535	0,92	-6.956	230.690	Piano YY
	75,0%	36,57	1.535	0,92	-6.308	230.690	Piano YY
	100,0%	39,73	1.535	0,92	-5.807	230.690	Piano YY
Trave Acciaio 54a-55a	0%	NS	1.200	0,00	1.529	181.453	Piano XX
	25,0%	66,03	1.200	0,00	2.748	181.453	Piano XX
	50,0%	44,67	1.200	0,00	4.062	181.453	Piano XX
	75,0%	33,76	1.200	0,00	5.375	181.453	Piano XX
	100,0%	27,56	1.200	0,00	6.584	181.453	Piano XX
Trave Acciaio 52a-55a	0%	39,68	1.535	0,85	5.816	230.799	Piano YY
	25,0%	36,54	1.535	0,85	6.316	230.799	Piano YY
	50,0%	33,14	1.535	0,85	6.964	230.799	Piano YY
	75,0%	30,32	1.535	0,85	7.613	230.799	Piano YY

Travi (AC) - Verifiche a taglio

Id _{Tr}	%L _{Li}	CS	A _v	τ _{T,Ed}	V _{Ed}	V _{c,Rd}	P. Vrf.
	[%]		[mm ²]	[N/mm ²]	[N]	[N]	
Trave Acciaio 57a-58a	100,0%	28,45	1.535	0,85	8.113	230.799	Piano YY
	0%	NS	1.200	0,00	1.529	181.453	Piano XX
	25,0%	65,96	1.200	0,00	2.751	181.453	Piano XX
	50,0%	44,63	1.200	0,00	4.066	181.453	Piano XX
	75,0%	33,73	1.200	0,00	5.380	181.453	Piano XX
	100,0%	27,53	1.200	0,00	6.590	181.453	Piano XX
Trave Acciaio 7-58a	0%	10,88	1.535	3,38	-20.852	226.927	Piano YY
	25,1%	11,05	1.535	3,38	-20.528	226.927	Piano YY
	50,0%	11,23	1.535	3,38	-20.203	226.927	Piano YY
	75,1%	11,42	1.535	3,38	-19.879	226.927	Piano YY
	100,0%	11,52	1.535	3,38	-19.702	226.927	Piano YY
Trave Acciaio 60a-61a	0%	NS	1.200	0,00	1.530	181.453	Piano XX
	25,0%	64,85	1.200	0,00	2.798	181.453	Piano XX
	50,0%	44,27	1.200	0,00	4.099	181.453	Piano XX

Travi (AC) - Verifiche a taglio

Id _{Tr}	%L _{Lt}	CS	A _v	τ _{T,Ed}	V _{Ed}	V _{c,Rd}	P. Vrf.
	[%]		[mm ²]	[N/mm ²]	[N]	[N]	
Trave Acciaio 58a-61a	75,0%	33,61	1.200	0,00	5.399	181.453	Piano XX
	100,0%	27,51	1.200	0,00	6.595	181.453	Piano XX
	0%	28,55	1.535	1,11	-8.071	230.409	Piano YY
	25,0%	30,44	1.535	1,11	-7.570	230.409	Piano YY
	50,0%	33,29	1.535	1,11	-6.922	230.409	Piano YY
	75,0%	36,73	1.535	1,11	-6.273	230.409	Piano YY
Trave Acciaio 63a-64a	100,0%	39,91	1.535	1,11	-5.773	230.409	Piano YY
	0%	NS	1.200	0,00	1.531	181.453	Piano XX
	25,0%	65,79	1.200	0,00	2.758	181.453	Piano XX
	50,0%	44,56	1.200	0,00	4.072	181.453	Piano XX
Trave Acciaio 61a-64a	75,0%	33,68	1.200	0,00	5.387	181.453	Piano XX
	100,0%	27,51	1.200	0,00	6.596	181.453	Piano XX
	0%	39,40	1.535	0,94	5.855	230.665	Piano YY
	25,0%	36,30	1.535	0,94	6.355	230.665	Piano YY

Travi (AC) - Verifiche a taglio

Id _{Tr}	%L _{Lt}	CS	A _v	τ _{T,Ed}	V _{Ed}	V _{c,Rd}	P. Vrf.
	[%]		[mm ²]	[N/mm ²]	[N]	[N]	
Trave Acciaio 66a-67a	50,0%	32,93	1.535	0,94	7.004	230.665	Piano YY
	75,0%	30,14	1.535	0,94	7.652	230.665	Piano YY
	100,0%	28,29	1.535	0,94	8.153	230.665	Piano YY
	0%	NS	1.200	0,00	1.531	181.453	Piano XX
	25,0%	65,74	1.200	0,00	2.760	181.453	Piano XX
	50,0%	44,54	1.200	0,00	4.074	181.453	Piano XX
	75,0%	33,67	1.200	0,00	5.389	181.453	Piano XX
Trave Acciaio 8-67a	100,0%	27,50	1.200	0,00	6.599	181.453	Piano XX
	0%	10,54	1.535	3,19	-21.556	227.214	Piano YY
	25,1%	10,70	1.535	3,19	-21.231	227.214	Piano YY
	50,0%	10,87	1.535	3,19	-20.907	227.214	Piano YY
	75,1%	11,04	1.535	3,19	-20.583	227.214	Piano YY
Trave Acciaio 69a-70a	100,0%	11,13	1.535	3,19	-20.407	227.214	Piano YY
	0%	NS	1.200	0,00	1.531	181.453	Piano XX

Travi (AC) - Verifiche a taglio

Id _{Tr}	%L _{Lt}	CS	A _v	τ _{T,Ed}	V _{Ed}	V _{c,Rd}	P. Vrf.
	[%]		[mm ²]	[N/mm ²]	[N]	[N]	
Trave Acciaio 67a-70a	25,0%	64,80	1.200	0,00	2.800	181.453	Piano XX
	50,0%	44,22	1.200	0,00	4.103	181.453	Piano XX
	75,0%	33,57	1.200	0,00	5.405	181.453	Piano XX
	100,0%	27,48	1.200	0,00	6.603	181.453	Piano XX
	0%	26,31	1.535	0,76	-8.778	230.946	Piano YY
	25,0%	27,90	1.535	0,76	-8.277	230.946	Piano YY
	50,0%	30,27	1.535	0,76	-7.629	230.946	Piano YY
	75,0%	33,08	1.535	0,76	-6.981	230.946	Piano YY
	100,0%	35,64	1.535	0,76	-6.480	230.946	Piano YY
	0%	NS	1.200	0,00	1.531	181.453	Piano XX
Trave Acciaio 72a-73a	25,0%	65,63	1.200	0,00	2.765	181.453	Piano XX
	50,0%	44,48	1.200	0,00	4.079	181.453	Piano XX
	75,0%	33,64	1.200	0,00	5.394	181.453	Piano XX
	100,0%	27,48	1.200	0,00	6.603	181.453	Piano XX

Travi (AC) - Verifiche a taglio

Id _{Tr}	%L _{Li}	CS	A _v	τ _{T,Ed}	V _{Ed}	V _{c,Rd}	P. Vrf.
	[%]		[mm ²]	[N/mm ²]	[N]	[N]	
Trave Acciaio 70a-73a	0%	44,66	1.535	1,47	5.147	229.847	Piano YY
	25,0%	40,70	1.535	1,47	5.648	229.847	Piano YY
	50,0%	36,51	1.535	1,47	6.296	229.847	Piano YY
	75,0%	33,10	1.535	1,47	6.945	229.847	Piano YY
	100,0%	30,87	1.535	1,47	7.445	229.847	Piano YY
Trave Acciaio 75a-76a	0%	NS	1.200	0,00	1.531	181.453	Piano XX
	25,0%	65,58	1.200	0,00	2.767	181.453	Piano XX
	50,0%	44,46	1.200	0,00	4.081	181.453	Piano XX
	75,0%	33,63	1.200	0,00	5.396	181.453	Piano XX
	100,0%	27,47	1.200	0,00	6.605	181.453	Piano XX
Trave Acciaio 9-76a	0%	12,96	1.535	2,16	-17.660	228.799	Piano YY
	25,1%	13,20	1.535	2,16	-17.336	228.799	Piano YY
	50,0%	13,45	1.535	2,16	-17.011	228.799	Piano YY
	75,1%	13,71	1.535	2,16	-16.687	228.799	Piano YY

Travi (AC) - Verifiche a taglio

Id _{Tr}	%L _{Li}	CS	A _v	τ _{T,Ed}	V _{Ed}	V _{c,Rd}	P. Vrf.
	[%]		[mm ²]	[N/mm ²]	[N]	[N]	
Trave Acciaio 78a-79a	100,0%	13,86	1.535	2,16	-16.511	228.799	Piano YY
	0%	NS	1.200	0,00	1.591	181.453	Piano XX
	25,0%	63,18	1.200	0,00	2.872	181.453	Piano XX
	50,0%	43,68	1.200	0,00	4.154	181.453	Piano XX
	75,0%	33,39	1.200	0,00	5.435	181.453	Piano XX
	100,0%	27,44	1.200	0,00	6.612	181.453	Piano XX
Trave Acciaio 76a-79a	0%	47,41	1.535	0,41	-4.882	231.476	Piano YY
	25,0%	52,83	1.535	0,40	-4.382	231.489	Piano YY
	50,0%	62,01	1.535	0,41	-3.733	231.476	Piano YY
	75,0%	75,04	1.535	0,40	-3.085	231.489	Piano YY
	100,0%	89,58	1.535	0,41	-2.584	231.476	Piano YY
Trave Acciaio 81a-10	0%	NS	1.200	0,00	1.608	181.453	Piano XX
	25,0%	62,42	1.200	0,00	2.907	181.453	Piano XX
	50,0%	43,14	1.200	0,00	4.206	181.453	Piano XX

Travi (AC) - Verifiche a taglio

Id _{Tr}	%L _{Li}	CS	A _v	τ _{T,Ed}	V _{Ed}	V _{c,Rd}	P. Vrf.
	[%]		[mm ²]	[N/mm ²]	[N]	[N]	
Trave Acciaio 79a-10	75,0%	32,96	1.200	0,00	5.505	181.453	Piano XX
	100,0%	27,43	1.200	0,00	6.614	181.453	Piano XX
	0%	25,27	1.535	2,35	9.041	228.505	Piano YY
	25,0%	23,95	1.535	2,35	9.541	228.505	Piano YY
	50,0%	22,42	1.535	2,35	10.190	228.505	Piano YY
	75,0%	21,08	1.535	2,35	10.838	228.505	Piano YY
Trave Acciaio 83a-84a	100,0%	20,15	1.535	2,35	11.339	228.505	Piano YY
	0%	NS	1.200	0,00	795	181.453	Piano XX
	25,0%	NS	1.200	0,00	1.433	181.453	Piano XX
	50,0%	87,62	1.200	0,00	2.071	181.453	Piano XX
	75,0%	67,01	1.200	0,00	2.708	181.453	Piano XX
Trave Acciaio 55a-7	100,0%	56,51	1.200	0,00	3.211	181.453	Piano XX
	0%	11,52	1.535	3,04	19.741	227.438	Piano YY
	25,1%	11,42	1.535	3,04	19.918	227.438	Piano YY

Travi (AC) - Verifiche a taglio

Id _{Tr}	%L _{Lt}	CS	A _v	τ _{T,Ed}	V _{Ed}	V _{c,Rd}	P. Vrf.
	[%]		[mm ²]	[N/mm ²]	[N]	[N]	
Trave Acciaio 46a-6	50,0%	11,24	1.535	3,04	20.242	227.438	Piano YY
	75,1%	11,06	1.535	3,04	20.567	227.438	Piano YY
	100,0%	10,89	1.535	3,04	20.891	227.438	Piano YY
	0%	11,55	1.535	2,74	19.727	227.904	Piano YY
	25,1%	11,45	1.535	2,74	19.904	227.904	Piano YY
	50,0%	11,27	1.535	2,74	20.228	227.904	Piano YY
Trave Acciaio 10a-2	75,1%	11,09	1.535	2,74	20.552	227.904	Piano YY
	100,0%	10,92	1.535	2,74	20.876	227.904	Piano YY
	0%	14,00	1.535	0,62	16.507	231.157	Piano YY
	25,1%	13,86	1.535	0,62	16.683	231.157	Piano YY
	50,0%	13,59	1.535	0,62	17.008	231.157	Piano YY
	75,1%	13,34	1.535	0,62	17.332	231.157	Piano YY
Trave Acciaio 28a-4	100,0%	13,09	1.535	0,62	17.656	231.157	Piano YY
	0%	11,61	1.535	2,30	19.691	228.582	Piano YY

Travi (AC) - Verifiche a taglio

Id _{Tr}	%L _{Lt}	CS	A _v	τ _{T,Ed}	V _{Ed}	V _{c,Rd}	P. Vrf.
	[%]		[mm ²]	[N/mm ²]	[N]	[N]	
Trave Acciaio 64a-8	25,1%	11,51	1.535	2,30	19.868	228.582	Piano YY
	50,0%	11,32	1.535	2,30	20.192	228.582	Piano YY
	75,1%	11,14	1.535	2,30	20.516	228.582	Piano YY
	100,0%	10,97	1.535	2,30	20.840	228.582	Piano YY
	0%	11,48	1.535	3,35	19.779	226.972	Piano YY
	25,1%	11,37	1.535	3,35	19.956	226.972	Piano YY
	50,0%	11,19	1.535	3,35	20.280	226.972	Piano YY
	75,1%	11,02	1.535	3,35	20.604	226.972	Piano YY
Trave Acciaio 19a-3	100,0%	10,85	1.535	3,35	20.928	226.972	Piano YY
	0%	11,25	1.535	1,62	20.407	229.623	Piano YY
	25,1%	11,16	1.535	1,62	20.583	229.623	Piano YY
	50,0%	10,98	1.535	1,62	20.908	229.623	Piano YY
	75,1%	10,81	1.535	1,62	21.232	229.623	Piano YY
	100,0%	10,65	1.535	1,62	21.556	229.623	Piano YY

Travi (AC) - Verifiche a taglio

Id_{Tr}	%L_{Li}	CS	A_v	τ_{T,Ed}	V_{Ed}	V_{c,Rd}	P. Vrf.
	[%]		[mm ²]	[N/mm ²]	[N]	[N]	
Trave Acciaio 37a-5	0%	11,57	1.535	2,51	19.721	228.256	Piano YY
	25,1%	11,47	1.535	2,51	19.897	228.256	Piano YY
	50,0%	11,29	1.535	2,51	20.221	228.256	Piano YY
	75,1%	11,11	1.535	2,51	20.545	228.256	Piano YY
	100,0%	10,94	1.535	2,51	20.870	228.256	Piano YY
Trave Acciaio 73a-9	0%	11,85	1.535	4,00	19.072	225.962	Piano YY
	25,1%	11,74	1.535	4,00	19.248	225.962	Piano YY
	50,0%	11,55	1.535	4,00	19.572	225.962	Piano YY
	75,1%	11,36	1.535	4,00	19.897	225.962	Piano YY
	100,0%	11,17	1.535	4,00	20.221	225.962	Piano YY

LEGENDA:

Id_{Tr} Identificativo della trave. L'eventuale lettera tra parentesi distingue i diversi tratti della travata al livello considerato.

%L_{Li} Posizione della sezione per la quale vengono forniti i valori di verifica, valutata come % della lunghezza libera d'inflessione (L_{Li}), a partire dall'estremo iniziale.

Travi (AC) - Verifiche a taglio

Id_{Tr}	%L_{LI}	CS	A_v	τ_{T,Ed}	V_{Ed}	V_{c,Rd}	P. Vrf.
	[%]		[mm ²]	[N/mm ²]	[N]	[N]	

CS Coefficiente di sicurezza ([NS] = Non Significativo se $CS \geq 100$; [VNR]= Verifica Non Richiesta; Informazioni aggiuntive sulla condizione: [V] = statica; [E] = eccezionale; [S] = sismica; [N] = sismica non lineare).

A_v Area resistente a taglio.

τ_{T,Ed} Tensione tangenziale di calcolo per torsione.

V_{Ed} Taglio di progetto.

V_{c,Rd} Taglio resistente.

P. Vrf. Piano di minima resistenza.

TRAVI (AC) - VERIFICHE INSTABILITÀ A FLESSIONE RETTA (Elevazione)

Travi (AC) - Verifiche instabilità a flessione retta

Id_{Tr}	CS	L_N	L_{Cr}	λ	α	φ	χ_{LT}	β	M_{cr}	k_c	M_{Ed}	M_{b,Rd}
		[m]	[m]						[N-m]		[N-m]	[N-m]
Piano Terra							Piano Terra					
Trave Acciaio 2a-3a	3,55	2,40	2,40	0,547	0,760	0,782	1,000	1,000	62.379	0,940	-5.009	17.802

Travi (AC) - Verifiche instabilità a flessione retta

Id_{Tr}	CS	L_N	L_{Cr}	λ	α	φ	χ_{LT}	β	M_{cr}	k_c	M_{Ed}	M_{b,Rd}
		[m]	[m]						[N·m]		[N·m]	[N·m]
Trave Acciaio 1-5a	1,78	2,40	2,40	0,547	0,760	0,782	1,000	1,000	62.379	0,940	-9.995	17.802
Trave Acciaio 7a-8a	1,74	2,40	2,40	0,547	0,760	0,782	1,000	1,000	62.379	0,940	-10.239	17.802
Trave Acciaio 10a-11a	1,76	2,40	2,40	0,547	0,760	0,782	1,000	1,000	62.379	0,940	-10.141	17.802
Trave Acciaio 13a-14a	1,76	2,40	2,40	0,547	0,760	0,782	1,000	1,000	62.379	0,940	-10.131	17.802
Trave Acciaio 16a-17a	1,75	2,40	2,40	0,547	0,760	0,782	1,000	1,000	62.379	0,940	-10.186	17.802
Trave Acciaio 19a-20a	1,76	2,40	2,40	0,547	0,760	0,782	1,000	1,000	62.379	0,940	-10.121	17.802
Trave Acciaio 22a-23a	1,76	2,40	2,40	0,547	0,760	0,782	1,000	1,000	62.379	0,940	-10.115	17.802
Trave Acciaio 25a-26a	1,75	2,40	2,40	0,547	0,760	0,782	1,000	1,000	62.379	0,940	-10.161	17.802
Trave Acciaio 28a-29a	1,76	2,40	2,40	0,547	0,760	0,782	1,000	1,000	62.379	0,940	-10.098	17.802
Trave Acciaio 31a-32a	1,76	2,40	2,40	0,547	0,760	0,782	1,000	1,000	62.379	0,940	-10.090	17.802
Trave Acciaio 34a-35a	1,76	2,40	2,40	0,547	0,760	0,782	1,000	1,000	62.379	0,940	-10.130	17.802
Trave Acciaio 37a-38a	1,77	2,40	2,40	0,547	0,760	0,782	1,000	1,000	62.379	0,940	-10.076	17.802
Trave Acciaio 40a-41a	1,77	2,40	2,40	0,547	0,760	0,782	1,000	1,000	62.379	0,940	-10.071	17.802
Trave Acciaio 43a-44a	1,76	2,40	2,40	0,547	0,760	0,782	1,000	1,000	62.379	0,940	-10.109	17.802

Travi (AC) - Verifiche instabilità a flessione retta

Id_{Tr}	CS	L_N	L_{Cr}	λ	α	φ	χ_{LT}	β	M_{cr}	k_c	M_{Ed}	M_{b,Rd}
		[m]	[m]						[N·m]		[N·m]	[N·m]
Trave Acciaio 46a-47a	1,77	2,40	2,40	0,547	0,760	0,782	1,000	1,000	62.379	0,940	-10.058	17.802
Trave Acciaio 49a-50a	1,77	2,40	2,40	0,547	0,760	0,782	1,000	1,000	62.379	0,940	-10.055	17.802
Trave Acciaio 52a-53a	1,76	2,40	2,40	0,547	0,760	0,782	1,000	1,000	62.379	0,940	-10.088	17.802
Trave Acciaio 55a-56a	1,77	2,40	2,40	0,547	0,760	0,782	1,000	1,000	62.379	0,940	-10.042	17.802
Trave Acciaio 58a-59a	1,77	2,40	2,40	0,547	0,760	0,782	1,000	1,000	62.379	0,940	-10.034	17.802
Trave Acciaio 61a-62a	1,77	2,40	2,40	0,547	0,760	0,782	1,000	1,000	62.379	0,940	-10.058	17.802
Trave Acciaio 64a-65a	1,78	2,40	2,40	0,547	0,760	0,782	1,000	1,000	62.379	0,940	-10.014	17.802
Trave Acciaio 67a-68a	1,78	2,40	2,40	0,547	0,760	0,782	1,000	1,000	62.379	0,940	-10.014	17.802
Trave Acciaio 70a-71a	1,77	2,40	2,40	0,547	0,760	0,782	1,000	1,000	62.379	0,940	-10.038	17.802
Trave Acciaio 73a-74a	1,78	2,40	2,40	0,547	0,760	0,782	1,000	1,000	62.379	0,940	-10.001	17.802
Trave Acciaio 76a-77a	1,78	2,40	2,40	0,547	0,760	0,782	1,000	1,000	62.379	0,940	-9.999	17.802
Trave Acciaio 79a-80a	1,77	2,40	2,40	0,547	0,760	0,782	1,000	1,000	62.379	0,940	-10.067	17.802
Trave Acciaio 10-82a	1,81	2,40	2,40	0,547	0,760	0,782	1,000	1,000	62.379	0,940	-9.811	17.802
Trave Acciaio 84a-85a	3,81	2,40	2,40	0,547	0,760	0,782	1,000	1,000	62.379	0,940	-4.667	17.802

Travi (AC) - Verifiche instabilità a flessione retta

Id_{Tr}	CS	L_N	L_{Cr}	λ	α	ϕ	χ_{LT}	β	M_{cr}	k_c	M_{Ed}	M_{b,Rd}
		[m]	[m]						[N·m]		[N·m]	[N·m]

LEGENDA:

- Id_{Tr}** Identificativo della trave. L'eventuale lettera tra parentesi distingue i diversi tratti della travata al livello considerato.
- CS** Coefficiente di sicurezza ([NS] = Non Significativo se $CS \geq 100$; [VNR]= Verifica Non Richiesta; Informazioni aggiuntive sulla condizione: [V] = statica; [E] = eccezionale; [S] = sismica; [N] = sismica non lineare).
- L_N** Luce libera di inflessione.
- L_{Cr}** Lunghezza di libera inflessione laterale, misurata tra due ritegni torsionali successivi.
- λ** Coefficiente di snellezza adimensionale.
- α** Fattore di imperfezione.
- ϕ** Coefficiente ϕ (per il calcolo di χ).
- χ_{LT}** Coefficiente di riduzione ai fini dell'instabilità flessotorsionale.
- β** Fattore di interazione per instabilità locale.
- M_{cr}** Momento Critico Euleriano.
- k_c** Coefficiente per il calcolo di χ_{LT}
- M_{Ed}** Momento flettente di progetto.

Travi (AC) - Verifiche instabilità a flessione retta

Id _{Tr}	CS	L _N	L _{Cr}	λ	α	φ	χ _{LT}	β	M _{cr}	k _c	M _{Ed}	M _{b,Rd}
		[m]	[m]						[N·m]		[N·m]	[N·m]

M_{b,Rd} Momento resistente di progetto per l'instabilità.

TRAVI (AC) - VERIFICA DI SNELLEZZA (Elevazione)

TRAVI (AC) - VERIFICA DI SNELLEZZA

Id	P/S	L ₀	i	λ ₀	λ _{0,lim}	CS
		[mm]	[mm]			
Piano Terra				Piano Terra		
Trave Acciaio 2a-3a	S	2.404	40,17	42	250	VNR
Trave Acciaio 10-84a	P	1.332	63,14	21	200	VNR
Trave Acciaio 1a-2a	P	1.635	40,17	41	200	4,88
Trave Acciaio 1-5a	S	2.404	40,17	42	250	VNR
Trave Acciaio 4a-1	P	1.635	40,17	41	200	4,88
Trave Acciaio 2a-1	P	1.332	63,14	21	200	9,52
Trave Acciaio 7a-8a	S	2.404	40,17	42	250	VNR

TRAVI (AC) - VERIFICA DI SNELLEZZA

Id	P/S	L₀	i	λ₀	λ_{0,lim}	CS
		[mm]	[mm]			
Trave Acciaio 6a-7a	P	1.635	40,17	41	200	4,88
Trave Acciaio 1-7a	P	1.332	63,14	21	200	VNR
Trave Acciaio 10a-11a	S	2.404	40,17	42	250	VNR
Trave Acciaio 9a-10a	P	1.635	40,17	41	200	4,88
Trave Acciaio 7a-10a	P	1.332	63,14	21	200	VNR
Trave Acciaio 13a-14a	S	2.404	40,17	42	250	VNR
Trave Acciaio 12a-13a	P	1.635	40,17	41	200	4,88
Trave Acciaio 2-13a	P	666	63,14	11	200	18,18
Trave Acciaio 16a-17a	S	2.404	40,17	42	250	VNR
Trave Acciaio 15a-16a	P	1.635	40,17	41	200	4,88
Trave Acciaio 13a-16a	P	1.332	63,14	21	200	9,52
Trave Acciaio 19a-20a	S	2.404	40,17	42	250	VNR
Trave Acciaio 18a-19a	P	1.635	40,17	41	200	4,88
Trave Acciaio 16a-19a	P	1.332	63,14	21	200	9,52

TRAVI (AC) - VERIFICA DI SNELLEZZA

Id	P/S	L₀	i	λ₀	λ_{0,lim}	CS
		[mm]	[mm]			
Trave Acciaio 22a-23a	S	2.404	40,17	42	250	VNR
Trave Acciaio 21a-22a	P	1.635	40,17	41	200	4,88
Trave Acciaio 3-22a	P	666	63,14	11	200	18,18
Trave Acciaio 25a-26a	S	2.404	40,17	42	250	VNR
Trave Acciaio 24a-25a	P	1.635	40,17	41	200	4,88
Trave Acciaio 22a-25a	P	1.332	63,14	21	200	9,52
Trave Acciaio 28a-29a	S	2.404	40,17	42	250	VNR
Trave Acciaio 27a-28a	P	1.635	40,17	41	200	4,88
Trave Acciaio 25a-28a	P	1.332	63,14	21	200	9,52
Trave Acciaio 31a-32a	S	2.404	40,17	42	250	VNR
Trave Acciaio 30a-31a	P	1.635	40,17	41	200	4,88
Trave Acciaio 4-31a	P	666	63,14	11	200	18,18
Trave Acciaio 34a-35a	S	2.404	40,17	42	250	VNR
Trave Acciaio 33a-34a	P	1.635	40,17	41	200	4,88

TRAVI (AC) - VERIFICA DI SNELLEZZA

Id	P/S	L₀	i	λ₀	λ_{0,lim}	CS
		[mm]	[mm]			
Trave Acciaio 31a-34a	P	1.332	63,14	21	200	9,52
Trave Acciaio 37a-38a	S	2.404	40,17	42	250	VNR
Trave Acciaio 36a-37a	P	1.635	40,17	41	200	4,88
Trave Acciaio 34a-37a	P	1.332	63,14	21	200	9,52
Trave Acciaio 40a-41a	S	2.404	40,17	42	250	VNR
Trave Acciaio 39a-40a	P	1.635	40,17	41	200	4,88
Trave Acciaio 5-40a	P	666	63,14	11	200	18,18
Trave Acciaio 43a-44a	S	2.404	40,17	42	250	VNR
Trave Acciaio 42a-43a	P	1.635	40,17	41	200	4,88
Trave Acciaio 40a-43a	P	1.332	63,14	21	200	9,52
Trave Acciaio 46a-47a	S	2.404	40,17	42	250	VNR
Trave Acciaio 45a-46a	P	1.635	40,17	41	200	4,88
Trave Acciaio 43a-46a	P	1.332	63,14	21	200	9,52
Trave Acciaio 49a-50a	S	2.404	40,17	42	250	VNR

TRAVI (AC) - VERIFICA DI SNELLEZZA

Id	P/S	L₀	i	λ₀	λ_{0,lim}	CS
		[mm]	[mm]			
Trave Acciaio 48a-49a	P	1.635	40,17	41	200	4,88
Trave Acciaio 6-49a	P	666	63,14	11	200	18,18
Trave Acciaio 52a-53a	S	2.404	40,17	42	250	VNR
Trave Acciaio 51a-52a	P	1.635	40,17	41	200	4,88
Trave Acciaio 49a-52a	P	1.332	63,14	21	200	9,52
Trave Acciaio 55a-56a	S	2.404	40,17	42	250	VNR
Trave Acciaio 54a-55a	P	1.635	40,17	41	200	4,88
Trave Acciaio 52a-55a	P	1.332	63,14	21	200	9,52
Trave Acciaio 58a-59a	S	2.404	40,17	42	250	VNR
Trave Acciaio 57a-58a	P	1.635	40,17	41	200	4,88
Trave Acciaio 7-58a	P	666	63,14	11	200	18,18
Trave Acciaio 61a-62a	S	2.404	40,17	42	250	VNR
Trave Acciaio 60a-61a	P	1.635	40,17	41	200	4,88
Trave Acciaio 58a-61a	P	1.332	63,14	21	200	9,52

TRAVI (AC) - VERIFICA DI SNELLEZZA

Id	P/S	L₀	i	λ₀	λ_{0,lim}	CS
		[mm]	[mm]			
Trave Acciaio 64a-65a	S	2.404	40,17	42	250	VNR
Trave Acciaio 63a-64a	P	1.635	40,17	41	200	4,88
Trave Acciaio 61a-64a	P	1.332	63,14	21	200	9,52
Trave Acciaio 67a-68a	S	2.404	40,17	42	250	VNR
Trave Acciaio 66a-67a	P	1.635	40,17	41	200	4,88
Trave Acciaio 8-67a	P	666	63,14	11	200	18,18
Trave Acciaio 70a-71a	S	2.404	40,17	42	250	VNR
Trave Acciaio 69a-70a	P	1.635	40,17	41	200	4,88
Trave Acciaio 67a-70a	P	1.332	63,14	21	200	9,52
Trave Acciaio 73a-74a	S	2.404	40,17	42	250	VNR
Trave Acciaio 72a-73a	P	1.635	40,17	41	200	4,88
Trave Acciaio 70a-73a	P	1.332	63,14	21	200	9,52
Trave Acciaio 76a-77a	S	2.404	40,17	42	250	VNR
Trave Acciaio 75a-76a	P	1.635	40,17	41	200	4,88

TRAVI (AC) - VERIFICA DI SNELLEZZA

Id	P/S	L₀	i	λ₀	λ_{0,lim}	CS
		[mm]	[mm]			
Trave Acciaio 9-76a	P	666	63,14	11	200	18,18
Trave Acciaio 79a-80a	S	2.404	40,17	42	250	VNR
Trave Acciaio 78a-79a	P	1.635	40,17	41	200	4,88
Trave Acciaio 76a-79a	P	1.332	63,14	21	200	9,52
Trave Acciaio 10-82a	S	2.404	40,17	42	250	VNR
Trave Acciaio 81a-10	P	1.635	40,17	41	200	4,88
Trave Acciaio 79a-10	P	1.332	63,14	21	200	9,52
Trave Acciaio 84a-85a	S	2.404	40,17	42	250	VNR
Trave Acciaio 83a-84a	P	1.635	40,17	41	200	4,88
Trave Acciaio 55a-7	P	666	63,14	11	200	18,18
Trave Acciaio 46a-6	P	666	63,14	11	200	18,18
Trave Acciaio 10a-2	P	666	63,14	11	200	VNR
Trave Acciaio 28a-4	P	666	63,14	11	200	18,18
Trave Acciaio 64a-8	P	666	63,14	11	200	18,18

TRAVI (AC) - VERIFICA DI SNELLEZZA

Id	P/S	L ₀	i	λ ₀	λ _{0,lim}	CS
		[mm]	[mm]			
Trave Acciaio 19a-3	P	666	63,14	11	200	18,18
Trave Acciaio 37a-5	P	666	63,14	11	200	18,18
Trave Acciaio 73a-9	P	666	63,14	11	200	18,18

LEGENDA:

Id Identificativo dell'elemento.

P/S Tipologia trave acciaio: Principale (P) o Secondaria (S)

L₀ Lunghezza di inflessione

i Raggio d'inerzia

λ₀ Snellezza

λ_{0,lim} Snellezza limite

CS Coefficiente di sicurezza ([NS] = Non Significativo per valori di CS >= 100; [VNR]= Verifica Non Richiesta).

TRAVI (AC) - VERIFICHE INSTABILITÀ A PRESSOFLESSIONE DEVIATA (Elevazione)

Travi (AC) - Verifiche instabilità a pressoflessione deviata

Id _{Tr}	N _{eq,Ed}	M _{eq,Ed,3}	M _{eq,Ed,2}	CS	P. Vrf.	L _{Cr}	Dir	L _N	λ _{LT}	α	φ	χ	β	k _c	χ _{LT}	N _{cr}
	[N]	[N·m]	[N·m]			[m]		[m]								[N]
Piano Terra									Piano Terra							
Trave Acciaio 10-84a	0	-3.639	6.952	4,40	Piano XX	1,33	x-x	1,33	0,091	0,210	0,534	1,000	1,000	0,940	1,000	14.307.16 3
							y-y	1,33	0,091	0,210	0,534	1,000	1,000	0,940	1,000	
Trave Acciaio 1a-2a	229	-3.466	57	4,97	Piano XX	2,34	x-x	2,34	0,534	0,490	0,597	0,924	0,700	0,940	1,000	2.171.051
							y-y	2,34	0,338	0,490	0,677	0,859	0,700	0,940	1,000	
Trave Acciaio 4a-1	334	-7.276	58	2,41	Piano XX	2,34	x-x	2,34	0,534	0,490	0,597	0,924	0,700	0,910	1,000	2.171.051
							y-y	2,34	0,338	0,490	0,677	0,859	0,700	0,940	1,000	
Trave Acciaio 2a-1	-128	-3.644	6.952	4,40	Piano XX	1,33	x-x	1,33	0,091	0,210	0,534	1,000	1,000	0,910	1,000	14.307.16 3
							y-y	1,33	0,091	0,210	0,534	1,000	1,000	0,940	1,000	
Trave Acciaio 6a-7a	332	-7.102	0	2,50	Piano XX	2,34	x-x	2,34	0,534	0,490	0,597	0,924	0,700	0,910	1,000	2.171.051
							y-y	2,34	0,384	0,490	0,677	0,859	0,700	1,000	1,000	
Trave Acciaio 1-7a	-119	-3.475	6.951	4,47	Piano XX	1,33	x-x	1,33	0,091	0,210	0,534	1,000	1,000	0,910	1,000	14.307.16 3
							y-y	1,33	0,091	0,210	0,534	1,000	1,000	0,910	1,000	

Travi (AC) - Verifiche instabilità a pressoflessione deviata

Id _{Tr}	N _{eq,Ed}	M _{eq,Ed,3}	M _{eq,Ed,2}	CS	P. Vrf.	L _{Cr}	Dir	L _N	λ _{LT}	α	φ	χ	β	k _c	χ _{LT}	N _{cr}
	[N]	[N·m]	[N·m]			[m]		[m]								[N]
Trave Acciaio 9a-10a	334	-7.175	0	2,48	Piano XX	2,34	x-x	2,34	0,534	0,490	0,597	0,924	0,700	0,940	1,000	2.171.051
							y-y	2,34	0,384	0,490	0,677	0,859	0,700	1,000	1,000	
Trave Acciaio 7a-10a	-119	2.318	-3.228	8,42	Piano XX	1,33	x-x	1,33	0,091	0,210	0,534	1,000	1,000	0,940	1,000	14.307.16 3
							y-y	1,33	0,091	0,210	0,534	1,000	1,000	0,910	1,000	
Trave Acciaio 12a-13a	334	-7.182	0	2,47	Piano XX	2,34	x-x	2,34	0,534	0,490	0,597	0,924	0,700	0,940	1,000	2.171.051
							y-y	2,34	0,384	0,490	0,677	0,859	0,700	1,000	1,000	
Trave Acciaio 2-13a	-902	-5.965	9.041	3,12	Piano XX	0,67	x-x	0,67	0,064	0,210	0,499	1,000	1,000	0,940	1,000	57.228.65 1
							y-y	0,67	0,064	0,210	0,499	1,000	1,000	0,910	1,000	
Trave Acciaio 15a-16a	332	-7.144	0	2,49	Piano XX	2,34	x-x	2,34	0,534	0,490	0,597	0,924	0,700	0,940	1,000	2.171.051
							y-y	2,34	0,384	0,490	0,677	0,859	0,700	1,000	1,000	
Trave Acciaio 13a-16a	-902	3.586	-7.030	4,41	Piano XX	1,33	x-x	1,33	0,091	0,210	0,534	1,000	1,000	0,910	1,000	14.307.16 3
							y-y	1,33	0,091	0,210	0,534	1,000	1,000	0,940	1,000	
Trave Acciaio 18a-19a	334	-7.190	0	2,47		2,34	x-x	2,34	0,534	0,490	0,597	0,924	0,700	0,940	1,000	2.171.051

Travi (AC) - Verifiche instabilità a pressoflessione deviata

Id _{Tr}	N _{eq,Ed}	M _{eq,Ed,3}	M _{eq,Ed,2}	CS	P. Vrf.	L _{Cr}	Dir	L _N	λ _{LT}	α	φ	χ	β	k _c	χ _{LT}	N _{cr}
	[N]	[N·m]	[N·m]			[m]		[m]								[N]
					Piano XX		y-y	2,34	0,384	0,490	0,677	0,859	0,700	1,000	1,000	
Trave Acciaio 16a-19a	-902	3.586	-7.030	4,41	Piano XX	1,33	x-x	1,33	0,091	0,210	0,534	1,000	1,000	0,910	1,000	14.307.16 3
							y-y	1,33	0,091	0,210	0,534	1,000	1,000	0,910	1,000	
Trave Acciaio 21a-22a	334	-7.195	0	2,47	Piano XX	2,34	x-x	2,34	0,534	0,490	0,597	0,924	0,700	0,940	1,000	2.171.051
							y-y	2,34	0,384	0,490	0,677	0,859	0,700	1,000	1,000	
Trave Acciaio 3-22a	-795	-6.222	11.039	2,71	Piano XX	0,67	x-x	0,67	0,064	0,210	0,499	1,000	1,000	0,940	1,000	57.228.65 3
							y-y	0,67	0,064	0,210	0,499	1,000	1,000	0,940	1,000	
Trave Acciaio 24a-25a	332	-7.160	0	2,48	Piano XX	2,34	x-x	2,34	0,534	0,490	0,597	0,924	0,700	0,940	1,000	2.171.051
							y-y	2,34	0,384	0,490	0,677	0,859	0,700	1,000	1,000	
Trave Acciaio 22a-25a	-795	3.514	-6.092	4,88	Piano XX	1,33	x-x	1,33	0,091	0,210	0,534	1,000	1,000	0,910	1,000	14.307.16 3
							y-y	1,33	0,091	0,210	0,534	1,000	1,000	0,910	1,000	
Trave Acciaio 27a-28a	334	-7.202	0	2,47	Piano XX	2,34	x-x	2,34	0,534	0,490	0,597	0,924	0,700	0,940	1,000	2.171.051
							y-y	2,34	0,384	0,490	0,677	0,859	0,700	1,000	1,000	

Travi (AC) - Verifiche instabilità a pressoflessione deviata

Id _{Tr}	N _{eq,Ed}	M _{eq,Ed,3}	M _{eq,Ed,2}	CS	P. Vrf.	L _{Cr}	Dir	L _N	λ _{LT}	α	φ	χ	β	k _c	χ _{LT}	N _{cr}
	[N]	[N·m]	[N·m]			[m]		[m]								[N]
Trave Acciaio 25a-28a	-795	3.514	-6.092	4,88	Piano XX	1,33	x-x	1,33	0,091	0,210	0,534	1,000	1,000	0,910	1,000	14.307.16 3
							y-y	1,33	0,091	0,210	0,534	1,000	1,000	0,910	1,000	
Trave Acciaio 30a-31a	334	-7.207	0	2,46	Piano XX	2,34	x-x	2,34	0,534	0,490	0,597	0,924	0,700	0,940	1,000	2.171.051
							y-y	2,34	0,384	0,490	0,677	0,859	0,700	1,000	1,000	
Trave Acciaio 4-31a	-758	-6.208	10.913	2,73	Piano XX	0,67	x-x	0,67	0,064	0,210	0,499	1,000	1,000	0,940	1,000	57.228.61 9
							y-y	0,67	0,064	0,210	0,499	1,000	1,000	0,940	1,000	
Trave Acciaio 33a-34a	333	-7.175	0	2,48	Piano XX	2,34	x-x	2,34	0,534	0,490	0,597	0,924	0,700	0,940	1,000	2.171.051
							y-y	2,34	0,384	0,490	0,677	0,859	0,700	1,000	1,000	
Trave Acciaio 31a-34a	-758	3.518	-6.157	4,84	Piano XX	1,33	x-x	1,33	0,091	0,210	0,534	1,000	1,000	0,910	1,000	14.307.16 3
							y-y	1,33	0,091	0,210	0,534	1,000	1,000	0,910	1,000	
Trave Acciaio 36a-37a	335	-7.214	0	2,46	Piano XX	2,34	x-x	2,34	0,534	0,490	0,597	0,924	0,700	0,940	1,000	2.171.051
							y-y	2,34	0,384	0,490	0,677	0,859	0,700	1,000	1,000	
Trave Acciaio 34a-37a	-758	3.518	-6.157	4,84		1,33	x-x	1,33	0,091	0,210	0,534	1,000	1,000	0,910	1,000	

Travi (AC) - Verifiche instabilità a pressoflessione deviata

Id _{Tr}	N _{eq,Ed}	M _{eq,Ed,3}	M _{eq,Ed,2}	CS	P. Vrf.	L _{Cr}	Dir	L _N	λ _{LT}	α	φ	χ	β	k _c	χ _{LT}	N _{cr}
	[N]	[N·m]	[N·m]			[m]		[m]								[N]
					Piano XX		y-y	1,33	0,091	0,210	0,534	1,000	1,000	0,910	1,000	14.307.16 3
Trave Acciaio 39a-40a	335	-7.219	0	2,46	Piano XX	2,34	x-x	2,34	0,534	0,490	0,597	0,924	0,700	0,940	1,000	2.171.051
							y-y	2,34	0,384	0,490	0,677	0,859	0,700	1,000	1,000	
Trave Acciaio 5-40a	-727	-6.212	10.896	2,73	Piano XX	0,67	x-x	0,67	0,064	0,210	0,499	1,000	1,000	0,940	1,000	57.228.65 3
							y-y	0,67	0,064	0,210	0,499	1,000	1,000	0,940	1,000	
Trave Acciaio 42a-43a	333	-7.190	0	2,47	Piano XX	2,34	x-x	2,34	0,534	0,490	0,597	0,924	0,700	0,940	1,000	2.171.051
							y-y	2,34	0,384	0,490	0,677	0,859	0,700	1,000	1,000	
Trave Acciaio 40a-43a	-727	3.517	-6.163	4,84	Piano XX	1,33	x-x	1,33	0,091	0,210	0,534	1,000	1,000	0,910	1,000	14.307.16 3
							y-y	1,33	0,091	0,210	0,534	1,000	1,000	0,910	1,000	
Trave Acciaio 45a-46a	335	-7.226	0	2,46	Piano XX	2,34	x-x	2,34	0,534	0,490	0,597	0,924	0,700	0,940	1,000	2.171.051
							y-y	2,34	0,384	0,490	0,677	0,859	0,700	1,000	1,000	
Trave Acciaio 43a-46a	-727	3.517	-6.163	4,84	Piano XX	1,33	x-x	1,33	0,091	0,210	0,534	1,000	1,000	0,910	1,000	14.307.16 3
							y-y	1,33	0,091	0,210	0,534	1,000	1,000	0,910	1,000	

Travi (AC) - Verifiche instabilità a pressoflessione deviata

Id _{Tr}	N _{eq,Ed}	M _{eq,Ed,3}	M _{eq,Ed,2}	CS	P. Vrf.	L _{Cr}	Dir	L _N	λ _{LT}	α	φ	χ	β	k _c	χ _{LT}	N _{cr}
	[N]	[N·m]	[N·m]			[m]		[m]								[N]
Trave Acciaio 48a-49a	336	-7.233	0	2,46	Piano XX	2,34	x-x	2,34	0,534	0,490	0,597	0,924	0,700	0,940	1,000	2.171.051
							y-y	2,34	0,384	0,490	0,677	0,859	0,700	1,000	1,000	
Trave Acciaio 6-49a	-709	-6.218	10.900	2,73	Piano XX	0,67	x-x	0,67	0,064	0,210	0,499	1,000	1,000	0,940	1,000	57.228.68 0
							y-y	0,67	0,064	0,210	0,499	1,000	1,000	0,940	1,000	
Trave Acciaio 51a-52a	334	-7.213	0	2,46	Piano XX	2,34	x-x	2,34	0,534	0,490	0,597	0,924	0,700	0,940	1,000	2.171.051
							y-y	2,34	0,384	0,490	0,677	0,859	0,700	1,000	1,000	
Trave Acciaio 49a-52a	-709	3.520	-6.158	4,84	Piano XX	1,33	x-x	1,33	0,091	0,210	0,534	1,000	1,000	0,910	1,000	14.307.16 3
							y-y	1,33	0,091	0,210	0,534	1,000	1,000	0,910	1,000	
Trave Acciaio 54a-55a	336	-7.252	0	2,45	Piano XX	2,34	x-x	2,34	0,534	0,490	0,597	0,924	0,700	0,940	1,000	2.171.051
							y-y	2,34	0,384	0,490	0,677	0,859	0,700	1,000	1,000	
Trave Acciaio 52a-55a	-709	3.520	-6.158	4,84	Piano XX	1,33	x-x	1,33	0,091	0,210	0,534	1,000	1,000	0,910	1,000	14.307.16 3
							y-y	1,33	0,091	0,210	0,534	1,000	1,000	0,910	1,000	
Trave Acciaio 57a-58a	337	-7.259	0	2,45		2,34	x-x	2,34	0,534	0,490	0,597	0,924	0,700	0,940	1,000	2.171.051

Travi (AC) - Verifiche instabilità a pressoflessione deviata

Id _{Tr}	N _{eq,Ed}	M _{eq,Ed,3}	M _{eq,Ed,2}	CS	P. Vrf.	L _{Cr}	Dir	L _N	λ _{LT}	α	φ	χ	β	k _c	χ _{LT}	N _{cr}
	[N]	[N·m]	[N·m]			[m]		[m]								[N]
					Piano XX		y-y	2,34	0,384	0,490	0,677	0,859	0,700	1,000	1,000	
Trave Acciaio 7-58a	-694	-6.218	10.916	2,73	Piano XX	0,67	x-x	0,67	0,064	0,210	0,499	1,000	1,000	0,940	1,000	57.228.70 2
							y-y	0,67	0,064	0,210	0,499	1,000	1,000	0,940	1,000	
Trave Acciaio 60a-61a	334	-7.239	0	2,45	Piano XX	2,34	x-x	2,34	0,534	0,490	0,597	0,924	0,700	0,940	1,000	2.171.051
							y-y	2,34	0,384	0,490	0,677	0,859	0,700	1,000	1,000	
Trave Acciaio 58a-61a	-694	3.516	-6.096	4,87	Piano XX	1,33	x-x	1,33	0,091	0,210	0,534	1,000	1,000	0,910	1,000	14.307.16 3
							y-y	1,33	0,091	0,210	0,534	1,000	1,000	0,910	1,000	
Trave Acciaio 63a-64a	334	-7.270	0	2,44	Piano XX	2,34	x-x	2,34	0,534	0,490	0,597	0,924	0,700	0,940	1,000	2.171.051
							y-y	2,34	0,384	0,490	0,677	0,859	0,700	1,000	1,000	
Trave Acciaio 61a-64a	-694	3.516	-6.096	4,87	Piano XX	1,33	x-x	1,33	0,091	0,210	0,534	1,000	1,000	0,910	1,000	14.307.16 3
							y-y	1,33	0,091	0,210	0,534	1,000	1,000	0,910	1,000	
Trave Acciaio 66a-67a	334	-7.274	0	2,44	Piano XX	2,34	x-x	2,34	0,534	0,490	0,597	0,924	0,700	0,940	1,000	2.171.051
							y-y	2,34	0,384	0,490	0,677	0,859	0,700	1,000	1,000	

Travi (AC) - Verifiche instabilità a pressoflessione deviata

Id _{Tr}	N _{eq,Ed}	M _{eq,Ed,3}	M _{eq,Ed,2}	CS	P. Vrf.	L _{Cr}	Dir	L _N	λ _{LT}	α	φ	χ	β	k _c	χ _{LT}	N _{cr}
	[N]	[N·m]	[N·m]			[m]		[m]								[N]
Trave Acciaio 8-67a	-750	-6.334	11.040	2,69	Piano XX	0,67	x-x	0,67	0,064	0,210	0,499	1,000	1,000	0,940	1,000	57.228.64 7
							y-y	0,67	0,064	0,210	0,499	1,000	1,000	0,940	1,000	
Trave Acciaio 69a-70a	334	-7.256	0	2,45	Piano XX	2,34	x-x	2,34	0,534	0,490	0,597	0,924	0,700	0,940	1,000	2.171.051
							y-y	2,34	0,384	0,490	0,677	0,859	0,700	1,000	1,000	
Trave Acciaio 67a-70a	-750	3.588	-7.030	4,41	Piano XX	1,33	x-x	1,33	0,091	0,210	0,534	1,000	1,000	0,910	1,000	14.307.16 3
							y-y	1,33	0,091	0,210	0,534	1,000	1,000	0,910	1,000	
Trave Acciaio 72a-73a	334	-7.282	0	2,44	Piano XX	2,34	x-x	2,34	0,534	0,490	0,597	0,924	0,700	0,940	1,000	2.171.051
							y-y	2,34	0,384	0,490	0,677	0,859	0,700	1,000	1,000	
Trave Acciaio 70a-73a	-750	3.588	-7.030	4,41	Piano XX	1,33	x-x	1,33	0,091	0,210	0,534	1,000	1,000	0,910	1,000	14.307.16 3
							y-y	1,33	0,091	0,210	0,534	1,000	1,000	0,940	1,000	
Trave Acciaio 75a-76a	334	-7.287	0	2,44	Piano XX	2,34	x-x	2,34	0,534	0,490	0,597	0,924	0,700	0,940	1,000	2.171.051
							y-y	2,34	0,384	0,490	0,677	0,859	0,700	1,000	1,000	
Trave Acciaio 9-76a	89	-4.664	9.002	3,41		0,67	x-x	0,67	0,064	0,210	0,499	1,000	1,000	0,910	1,000	

Travi (AC) - Verifiche instabilità a pressoflessione deviata

Id _{Tr}	N _{eq,Ed}	M _{eq,Ed,3}	M _{eq,Ed,2}	CS	P. Vrf.	L _{Cr}	Dir	L _N	λ _{LT}	α	φ	χ	β	k _c	χ _{LT}	N _{cr}
	[N]	[N·m]	[N·m]			[m]		[m]								[N]
					Piano XX		y-y	0,67	0,064	0,210	0,499	1,000	1,000	0,940	1,000	57.228.65 3
Trave Acciaio 78a-79a	333	-7.226	0	2,46	Piano XX	2,34	x-x	2,34	0,534	0,490	0,597	0,924	0,700	0,910	1,000	2.171.051
							y-y	2,34	0,384	0,490	0,677	0,859	0,700	1,000	1,000	
Trave Acciaio 76a-79a	89	2.326	-3.230	8,38	Piano XX	1,33	x-x	1,33	0,091	0,210	0,534	0,991	1,000	0,940	1,000	14.307.16 3
							y-y	1,33	0,091	0,210	0,534	0,991	1,000	0,910	1,000	
Trave Acciaio 81a-10	336	-7.413	0	2,40	Piano XX	2,34	x-x	2,34	0,534	0,490	0,597	0,924	0,700	0,910	1,000	2.171.051
							y-y	2,34	0,384	0,490	0,677	0,859	0,700	1,000	1,000	
Trave Acciaio 79a-10	89	-3.506	6.951	4,46	Piano XX	1,33	x-x	1,33	0,091	0,210	0,534	0,991	1,000	0,910	1,000	14.307.16 3
							y-y	1,33	0,091	0,210	0,534	0,991	1,000	0,910	1,000	
Trave Acciaio 83a-84a	236	-3.713	0	4,78	Piano XX	2,34	x-x	2,34	0,534	0,490	0,597	0,924	0,700	0,910	1,000	2.171.051
							y-y	2,34	0,384	0,490	0,677	0,859	0,700	1,000	1,000	
Trave Acciaio 55a-7	-709	-6.232	10.916	2,73	Piano XX	0,67	x-x	0,67	0,064	0,210	0,499	1,000	1,000	0,940	1,000	57.228.60 2
							y-y	0,67	0,064	0,210	0,499	1,000	1,000	0,940	1,000	

Travi (AC) - Verifiche instabilità a pressoflessione deviata

Id _{Tr}	N _{eq,Ed}	M _{eq,Ed,3}	M _{eq,Ed,2}	CS	P. Vrf.	L _{Cr}	Dir	L _N	λ _{LT}	α	φ	χ	β	k _c	χ _{LT}	N _{cr}
	[N]	[N·m]	[N·m]			[m]		[m]								[N]
Trave Acciaio 46a-6	-727	-6.232	10.900	2,73	Piano XX	0,67	x-x	0,67	0,064	0,210	0,499	1,000	1,000	0,940	1,000	57.228.62 4
							y-y	0,67	0,064	0,210	0,499	1,000	1,000	0,940	1,000	
Trave Acciaio 10a-2	-119	-4.688	9.002	3,41	Piano XX	0,67	x-x	0,67	0,064	0,210	0,499	1,000	1,000	0,910	1,000	57.228.65 3
							y-y	0,67	0,064	0,210	0,499	1,000	1,000	0,940	1,000	
Trave Acciaio 28a-4	-795	-6.235	10.913	2,73	Piano XX	0,67	x-x	0,67	0,064	0,210	0,499	1,000	1,000	0,940	1,000	57.228.68 6
							y-y	0,67	0,064	0,210	0,499	1,000	1,000	0,940	1,000	
Trave Acciaio 64a-8	-694	-6.244	11.036	2,70	Piano XX	0,67	x-x	0,67	0,064	0,210	0,499	1,000	1,000	0,940	1,000	57.228.65 8
							y-y	0,67	0,064	0,210	0,499	1,000	1,000	0,940	1,000	
Trave Acciaio 19a-3	-902	-6.352	11.042	2,69	Piano XX	0,67	x-x	0,67	0,064	0,210	0,499	1,000	1,000	0,940	1,000	57.228.65 1
							y-y	0,67	0,064	0,210	0,499	1,000	1,000	0,940	1,000	
Trave Acciaio 37a-5	-758	-6.237	10.896	2,73	Piano XX	0,67	x-x	0,67	0,064	0,210	0,499	1,000	1,000	0,940	1,000	57.228.65 1
							y-y	0,67	0,064	0,210	0,499	1,000	1,000	0,940	1,000	
Trave Acciaio 73a-9	-750	-5.988	9.042	3,11		0,67	x-x	0,67	0,064	0,210	0,499	1,000	1,000	0,940	1,000	

Travi (AC) - Verifiche instabilità a pressoflessione deviata

Id_{Tr}	N_{eq,Ed}	M_{eq,Ed,3}	M_{eq,Ed,2}	CS	P. Vrf.	L_{Cr}	Dir	L_N	λ_{LT}	α	φ	χ	β	k_c	χ_{LT}	N_{cr}
	[N]	[N·m]	[N·m]			[m]		[m]								[N]
					Piano XX		y-y	0,67	0,064	0,210	0,499	1,000	1,000	0,910	1,000	57.228.65 1

LEGENDA:

Id_{Tr} Identificativo della trave. L'eventuale lettera tra parentesi distingue i diversi tratti della travata al livello considerato.

N_{eq,Ed} Sforzo Normale equivalente di progetto.

M_{eq,Ed,3} Momento equivalente di progetto intorno a 3.

M_{eq,Ed,2} Momento equivalente di progetto intorno a 2.

CS Coefficiente di sicurezza ([NS] = Non Significativo se CS ≥ 100; [VNR]= Verifica Non Richiesta; Informazioni aggiuntive sulla condizione: [V] = statica; [E] = eccezionale; [S] = sismica; [N] = sismica non lineare).

P. Vrf. Piano di minima resistenza.

L_{Cr} Lunghezza di libera inflessione laterale, misurata tra due ritegni torsionali successivi.

L_N Luce libera di inflessione.

λ_{LT} Coefficiente di snellezza normalizzata (per il calcolo di Φ_{LT}).

α Fattore di imperfezione.

Travi (AC) - Verifiche instabilità a pressoflessione deviata

Id_{Tr}	N_{eq,Ed}	M_{eq,Ed,3}	M_{eq,Ed,2}	CS	P. Vrf.	L_{Cr}	Dir	L_N	λ_{LT}	α	φ	χ	β	k_c	χ_{LT}	N_{cr}
	[N]	[N·m]	[N·m]			[m]		[m]								[N]

- φ** Coefficiente per il calcolo di χ
- χ** Coefficiente di riduzione per instabilità a compressione
- β** Coefficiente di riduzione della luce libera di inflessione.
- k_c** Coefficiente per il calcolo di χ_{LT}
- χ_{LT}** Coefficiente di riduzione ai fini dell'instabilità flessotorsionale.
- N_{cr}** Sforzo Normale Critico Euleriano.

TRAVI (AC) - VERIFICHE DI DEFORMABILITÀ ALLO SLE (Elevazione)

Travi (AC) - Verifiche di deformabilità allo SLE

Id_{Tr}	Carichi Permanenti + Variabili			Carichi Variabili		
	CS	δ_{max}	δ_{amm}	CS	δ_{max}	δ_{amm}
		[cm]	[cm]		[cm]	[cm]
Piano Terra				Piano Terra		

Travi (AC) - Verifiche di deformabilità allo SLE

Id _{Tr}	Carichi Permanenti + Variabili			Carichi Variabili		
	CS	δ_{max}	δ_{amm}	CS	δ_{max}	δ_{amm}
		[cm]	[cm]		[cm]	[cm]
Trave Acciaio 2a-3a	20,25	0,0483	0,9787	15,12	0,0540	0,8156
Trave Acciaio 10-84a	25,31	0,0211	0,5329	27,68	0,0160	0,4440
Trave Acciaio 1a-2a	23,09	0,0401	0,9255	17,29	0,0446	0,7712
Trave Acciaio 1-5a	10,21	0,0943	0,9634	7,87	0,1021	0,8028
Trave Acciaio 4a-1	10,79	0,0872	0,9408	8,30	0,0945	0,7840
Trave Acciaio 2a-1	25,32	0,0210	0,5329	27,65	0,0161	0,4440
Trave Acciaio 7a-8a	9,84	0,0994	0,9779	7,58	0,1076	0,8149
Trave Acciaio 6a-7a	11,20	0,0827	0,9263	8,62	0,0895	0,7719
Trave Acciaio 1-7a	73,31	0,0073	0,5329	76,34	0,0058	0,4440
Trave Acciaio 10a-11a	10,07	0,0945	0,9521	7,75	0,1023	0,7934
Trave Acciaio 9a-10a	10,82	0,0880	0,9521	8,32	0,0953	0,7934
Trave Acciaio 7a-10a	38,07	0,0140	0,5329	36,98	0,0120	0,4440
Trave Acciaio 13a-14a	10,09	0,0944	0,9521	7,76	0,1022	0,7934

Travi (AC) - Verifiche di deformabilità allo SLE

Id _{Tr}	Carichi Permanenti + Variabili			Carichi Variabili		
	CS	δ_{max}	δ_{amm}	CS	δ_{max}	δ_{amm}
		[cm]	[cm]		[cm]	[cm]
Trave Acciaio 12a-13a	10,81	0,0881	0,9521	8,31	0,0954	0,7934
Trave Acciaio 2-13a	35,07	0,0076	0,2664	34,45	0,0064	0,2220
Trave Acciaio 16a-17a	9,95	0,0973	0,9681	7,66	0,1053	0,8068
Trave Acciaio 15a-16a	11,07	0,0845	0,9361	8,52	0,0915	0,7801
Trave Acciaio 13a-16a	28,36	0,0188	0,5329	27,75	0,0160	0,4440
Trave Acciaio 19a-20a	10,10	0,0943	0,9521	7,77	0,1021	0,7934
Trave Acciaio 18a-19a	10,79	0,0882	0,9521	8,30	0,0956	0,7934
Trave Acciaio 16a-19a	30,19	0,0176	0,5329	29,57	0,0150	0,4440
Trave Acciaio 22a-23a	10,11	0,0942	0,9521	7,78	0,1020	0,7934
Trave Acciaio 21a-22a	10,79	0,0883	0,9521	8,30	0,0956	0,7934
Trave Acciaio 3-22a	32,78	0,0081	0,2664	32,23	0,0069	0,2220
Trave Acciaio 25a-26a	9,98	0,0968	0,9669	7,68	0,1049	0,8058
Trave Acciaio 24a-25a	11,04	0,0849	0,9373	8,50	0,0919	0,7811

Travi (AC) - Verifiche di deformabilità allo SLE

Id _{Tr}	Carichi Permanenti + Variabili			Carichi Variabili		
	CS	δ_{max}	δ_{amm}	CS	δ_{max}	δ_{amm}
		[cm]	[cm]		[cm]	[cm]
Trave Acciaio 22a-25a	30,46	0,0175	0,5329	29,76	0,0149	0,4440
Trave Acciaio 28a-29a	10,12	0,0940	0,9521	7,79	0,1018	0,7934
Trave Acciaio 27a-28a	10,77	0,0884	0,9521	8,28	0,0958	0,7934
Trave Acciaio 25a-28a	30,43	0,0175	0,5329	29,80	0,0149	0,4440
Trave Acciaio 31a-32a	10,13	0,0939	0,9521	7,80	0,1017	0,7934
Trave Acciaio 30a-31a	10,76	0,0885	0,9521	8,28	0,0958	0,7934
Trave Acciaio 4-31a	32,90	0,0081	0,2664	32,35	0,0069	0,2220
Trave Acciaio 34a-35a	10,03	0,0963	0,9657	7,72	0,1043	0,8048
Trave Acciaio 33a-34a	11,00	0,0853	0,9385	8,47	0,0924	0,7821
Trave Acciaio 31a-34a	30,31	0,0176	0,5329	29,65	0,0150	0,4440
Trave Acciaio 37a-38a	10,15	0,0938	0,9521	7,82	0,1015	0,7934
Trave Acciaio 36a-37a	10,75	0,0886	0,9521	8,27	0,0960	0,7934
Trave Acciaio 34a-37a	30,40	0,0175	0,5329	29,77	0,0149	0,4440

Travi (AC) - Verifiche di deformabilità allo SLE

Id _{Tr}	Carichi Permanenti + Variabili			Carichi Variabili		
	CS	δ_{max}	δ_{amm}	CS	δ_{max}	δ_{amm}
		[cm]	[cm]		[cm]	[cm]
Trave Acciaio 40a-41a	10,16	0,0937	0,9521	7,82	0,1014	0,7934
Trave Acciaio 39a-40a	10,74	0,0887	0,9521	8,26	0,0960	0,7934
Trave Acciaio 5-40a	32,87	0,0081	0,2664	32,32	0,0069	0,2220
Trave Acciaio 43a-44a	10,06	0,0959	0,9645	7,74	0,1038	0,8037
Trave Acciaio 42a-43a	10,97	0,0857	0,9397	8,44	0,0928	0,7831
Trave Acciaio 40a-43a	30,33	0,0176	0,5329	29,68	0,0150	0,4440
Trave Acciaio 46a-47a	10,18	0,0935	0,9521	7,83	0,1013	0,7934
Trave Acciaio 45a-46a	10,72	0,0888	0,9521	8,25	0,0962	0,7934
Trave Acciaio 43a-46a	30,38	0,0175	0,5329	29,77	0,0149	0,4440
Trave Acciaio 49a-50a	10,18	0,0935	0,9521	7,84	0,1013	0,7934
Trave Acciaio 48a-49a	10,71	0,0889	0,9521	8,24	0,0963	0,7934
Trave Acciaio 6-49a	32,84	0,0081	0,2664	32,28	0,0069	0,2220
Trave Acciaio 52a-53a	10,09	0,0954	0,9633	7,77	0,1034	0,8027

Travi (AC) - Verifiche di deformabilità allo SLE

Id _{Tr}	Carichi Permanenti + Variabili			Carichi Variabili		
	CS	δ_{max}	δ_{amm}	CS	δ_{max}	δ_{amm}
		[cm]	[cm]		[cm]	[cm]
Trave Acciaio 51a-52a	10,92	0,0862	0,9409	8,40	0,0933	0,7841
Trave Acciaio 49a-52a	30,32	0,0176	0,5329	29,67	0,0150	0,4440
Trave Acciaio 55a-56a	10,20	0,0934	0,9521	7,85	0,1011	0,7934
Trave Acciaio 54a-55a	10,68	0,0892	0,9521	8,22	0,0966	0,7934
Trave Acciaio 52a-55a	30,35	0,0176	0,5329	29,71	0,0149	0,4440
Trave Acciaio 58a-59a	10,21	0,0933	0,9521	7,85	0,1010	0,7934
Trave Acciaio 57a-58a	10,67	0,0893	0,9521	8,21	0,0967	0,7934
Trave Acciaio 7-58a	32,90	0,0081	0,2664	32,30	0,0069	0,2220
Trave Acciaio 61a-62a	10,13	0,0950	0,9621	7,80	0,1028	0,8017
Trave Acciaio 60a-61a	10,87	0,0867	0,9421	8,37	0,0938	0,7851
Trave Acciaio 58a-61a	30,38	0,0175	0,5329	29,70	0,0150	0,4440
Trave Acciaio 64a-65a	10,23	0,0930	0,9521	7,87	0,1008	0,7934
Trave Acciaio 63a-64a	10,65	0,0894	0,9521	8,19	0,0968	0,7934

Travi (AC) - Verifiche di deformabilità allo SLE

Id _{Tr}	Carichi Permanenti + Variabili			Carichi Variabili		
	CS	δ_{max}	δ_{amm}	CS	δ_{max}	δ_{amm}
		[cm]	[cm]		[cm]	[cm]
Trave Acciaio 61a-64a	30,51	0,0175	0,5329	29,85	0,0149	0,4440
Trave Acciaio 67a-68a	10,23	0,0930	0,9521	7,87	0,1008	0,7934
Trave Acciaio 66a-67a	10,64	0,0895	0,9521	8,19	0,0969	0,7934
Trave Acciaio 8-67a	32,11	0,0083	0,2664	31,52	0,0070	0,2220
Trave Acciaio 70a-71a	10,16	0,0945	0,9609	7,82	0,1024	0,8007
Trave Acciaio 69a-70a	10,83	0,0871	0,9433	8,34	0,0943	0,7861
Trave Acciaio 67a-70a	30,13	0,0177	0,5329	29,47	0,0151	0,4440
Trave Acciaio 73a-74a	10,25	0,0929	0,9521	7,89	0,1006	0,7934
Trave Acciaio 72a-73a	10,62	0,0896	0,9521	8,18	0,0970	0,7934
Trave Acciaio 70a-73a	28,41	0,0188	0,5329	27,82	0,0160	0,4440
Trave Acciaio 76a-77a	10,25	0,0929	0,9521	7,89	0,1006	0,7934
Trave Acciaio 75a-76a	10,62	0,0897	0,9521	8,17	0,0971	0,7934
Trave Acciaio 9-76a	48,96	0,0054	0,2664	47,63	0,0047	0,2220

Travi (AC) - Verifiche di deformabilità allo SLE

Id _{Tr}	Carichi Permanenti + Variabili			Carichi Variabili		
	CS	δ_{max}	δ_{amm}	CS	δ_{max}	δ_{amm}
		[cm]	[cm]		[cm]	[cm]
Trave Acciaio 79a-80a	10,06	0,0970	0,9760	7,74	0,1051	0,8134
Trave Acciaio 78a-79a	10,95	0,0847	0,9282	8,44	0,0917	0,7735
Trave Acciaio 76a-79a	38,02	0,0140	0,5329	36,87	0,0120	0,4440
Trave Acciaio 10-82a	10,46	0,0921	0,9634	8,04	0,0998	0,8028
Trave Acciaio 81a-10	10,53	0,0893	0,9408	8,11	0,0966	0,7840
Trave Acciaio 79a-10	72,62	0,0073	0,5329	75,04	0,0059	0,4440
Trave Acciaio 84a-85a	22,69	0,0417	0,9462	16,96	0,0465	0,7885
Trave Acciaio 83a-84a	20,63	0,0464	0,9580	15,42	0,0518	0,7983
Trave Acciaio 55a-7	32,81	0,0081	0,2664	32,19	0,0069	0,2220
Trave Acciaio 46a-6	32,78	0,0081	0,2664	32,18	0,0069	0,2220
Trave Acciaio 10a-2	48,72	0,0055	0,2664	47,28	0,0047	0,2220
Trave Acciaio 28a-4	32,81	0,0081	0,2664	32,17	0,0069	0,2220
Trave Acciaio 64a-8	32,70	0,0081	0,2664	32,08	0,0069	0,2220

Travi (AC) - Verifiche di deformabilità allo SLE

Id_{Tr}	Carichi Permanenti + Variabili			Carichi Variabili		
	CS	δ_{max}	δ_{amm}	CS	δ_{max}	δ_{amm}
		[cm]	[cm]		[cm]	[cm]
Trave Acciaio 19a-3	32,03	0,0083	0,2664	31,40	0,0071	0,2220
Trave Acciaio 37a-5	32,77	0,0081	0,2664	32,16	0,0069	0,2220
Trave Acciaio 73a-9	34,98	0,0076	0,2664	34,27	0,0065	0,2220

LEGENDA:

Id_{Tr} Identificativo della trave. L'eventuale lettera tra parentesi distingue i diversi tratti della travata al livello considerato.

CS Coefficiente di sicurezza ([NS] = Non Significativo se $CS \geq 100$; [VNR]= Verifica Non Richiesta; Informazioni aggiuntive sulla condizione: [V] = statica; [E] = eccezionale; [S] = sismica; [N] = sismica non lineare).

δ_{max} Spostamento allo SLE.

δ_{amm} Spostamento Differenziale ammissibile.

PILASTRI (AC) - VERIFICHE A PRESSOFLESSIONE DEVIATA (Elevazione)

Pilastri (AC) - Verifiche a pressoflessione deviata

Pilastro	%L _{L1}	N _{Ed}	V _{Ed}	M _{Ed,3}	M _{Ed,2}	CS	Tp Vr	max/ m in	M _{c,Rd}	V _{c,Rd}	ρ	A _v	t _w	N _{pl,Rd}
	[%]	[N]	[N]	[N·m]	[N·m]				[N·m]	[N]		[mm²]	[mm]	[N]
Piano Terra														
Pilastro Acciaio 10	0%	-14.504	89	98.451	100	3.41[V]	PLS	Max	336.024	567.796	0,000	3.755	10,0 35,0	3.100.413
			-					Min	157.719	1.522.692	0,000	10.070		
			31.07 1											
	50,0%	-15.957	89	49.872	-39	6.73[V]	PLS	Max	336.024	567.796	0,000	3.755	10,0 35,0	3.100.413
			-					Min	157.719	1.522.692	0,000	10.070		
			31.07 1											
	100%	23.035	-556	-924	1.163	98.78[V]	PLS	Max	336.024	567.796	0,000	3.755	10,0 35,0	3.100.413
			-					Min	157.719	1.522.692	0,000	10.070		
			21.93 5											
Pilastro Acciaio 7	0%	-20.946	-15	132.073	-26	2.54[V]	PLS	Max	336.024	567.796	0,000	3.755	10,0 35,0	3.100.413
			-					Min	157.719	1.522.692	0,000	10.070		
	41.74 3													
	50,0%	-22.399	-15	66.807	-3		PLS	Max	336.024	567.796	0,000	3.755	10,0	3.100.413

Pilastri (AC) - Verifiche a pressoflessione deviata

Pilastro	%L _{L1}	N _{Ed}	V _{Ed}	M _{Ed,3}	M _{Ed,2}	CS	Tp Vr	max/m in	M _{c,Rd}	V _{c,Rd}	ρ	A _v	t _w	N _{pl,Rd}
	[%]	[N]	[N]	[N·m]	[N·m]				[N·m]	[N]		[mm ²]	[mm]	[N]
	100%	-23.851	- 41.74 3	1.542	20	5.03[V]	PLS	Min	157.719	1.522.692	0,000	10.070	35,0	3.100.413
			-15					Max	336.024	567.796	0,000	3.755	10,0	
			- 41.74 3					Min	157.719	1.522.692	0,000	10.070	35,0	
Pilastro Acciaio 6	0%	-20.936	-18	131.922	-39	2.55[V]	PLS	Max	336.024	567.796	0,000	3.755	10,0	3.100.413
			- 41.75 1					Min	157.719	1.522.692	0,000	10.070	35,0	
	50,0%	-22.389	-18	66.644	-11	5.04[V]	PLS	Max	336.024	567.796	0,000	3.755	10,0	3.100.413
			- 41.75 1					Min	157.719	1.522.692	0,000	10.070	35,0	
	100%	-23.841	-18	1.367	18	NS	PLS	Max	336.024	567.796	0,000	3.755	10,0	3.100.413
			- 41.75 1					Min	157.719	1.522.692	0,000	10.070	35,0	

Pilastri (AC) - Verifiche a pressoflessione deviata

Pilastro	%L _{L1}	N _{Ed}	V _{Ed}	M _{Ed,3}	M _{Ed,2}	CS	Tp Vr	max/m in	M _{c,Rd}	V _{c,Rd}	ρ	A _v	t _w	N _{pl,Rd}
	[%]	[N]	[N]	[N·m]	[N·m]				[N·m]	[N]		[mm ²]	[mm]	[N]
Pilastro Acciaio 1	0%	-14.488	-138	97.594	-208	3.43[V]	PLS	Max	336.024	567.796	0,000	3.755	10,0 35,0	3.100.413
			- 31.06 7					Min	157.719	1.522.692	0,000	10.070		
	50,0%	-12.232	-35	49.011	-46	6.84[V]	PLS	Max	336.024	567.796	0,000	3.755	10,0 35,0	3.100.413
			- 31.05 8					Min	157.719	1.522.692	0,000	10.070		
	100%	23.014	587	-267	-1.188	NS	PLS	Max	336.024	567.796	0,000	3.755	10,0 35,0	3.100.413
			21.92 9					Min	157.719	1.522.692	0,000	10.070		
Pilastro Acciaio 2	0%	-18.987	783	119.146	746	2.78[V]	PLS	Max	336.024	567.796	0,000	3.755	10,0 35,0	3.100.413
			- 37.87 6					Min	157.719	1.522.692	0,000	10.070		
	50,0%	-20.439	783	59.926	-479		PLS	Max	336.024	567.796	0,000	3.755	10,0	3.100.413

Pilastri (AC) - Verifiche a pressoflessione deviata

Pilastro	%L _{L1}	N _{Ed}	V _{Ed}	M _{Ed,3}	M _{Ed,2}	CS	Tp Vr	max/min	M _{c,Rd}	V _{c,Rd}	ρ	A _v	t _w	N _{pl,Rd}
	[%]	[N]	[N]	[N·m]	[N·m]				[N·m]	[N]		[mm ²]	[mm]	[N]
			- 37.87 6			5.51[V]		Min	157.719	1.522.692	0,000	10.070	35,0	
	100%	27.684	-1.066	-500	2.274	62.87[V]	PLS	Max	336.024	567.796	0,000	3.755	10,0	3.100.413
			26.73 2					Min	157.719	1.522.692	0,000	10.070	35,0	
Pilastro Acciaio 4	0%	-20.930	-37	131.609	-79	2.55[V]	PLS	Max	336.024	567.796	0,000	3.755	10,0	3.100.413
			- 41.72 3					Min	157.719	1.522.692	0,000	10.070	35,0	
	50,0%	-22.383	-37	66.376	-21	5.06[V]	PLS	Max	336.024	567.796	0,000	3.755	10,0	3.100.413
			- 41.72 3					Min	157.719	1.522.692	0,000	10.070	35,0	
	100%	-23.835	-37	1.143	36	NS	PLS	Max	336.024	567.796	0,000	3.755	10,0	3.100.413
			- 41.72 3					Min	157.719	1.522.692	0,000	10.070	35,0	

Pilastri (AC) - Verifiche a pressoflessione deviata

Pilastro	%L _{L1}	N _{Ed}	V _{Ed}	M _{Ed,3}	M _{Ed,2}	CS	Tp Vr	max/m in	M _{c,Rd}	V _{c,Rd}	ρ	A _v	t _w	N _{pl,Rd}
	[%]	[N]	[N]	[N·m]	[N·m]				[N·m]	[N]		[mm ²]	[mm]	[N]
Pilastro Acciaio 8	0%	-21.076	56	134.417	57	2.50[V]	PLS	Max	336.024	567.796	0,000	3.755	10,0	3.100.413
			- 42.48 4					Min	157.719	1.522.692	0,000	10.070		
	50,0%	-22.529	56	67.994	-31	4.94[V]	PLS	Max	336.024	567.796	0,000	3.755	10,0	3.100.413
			- 42.48 4					Min	157.719	1.522.692	0,000	10.070		
	100%	-23.981	56	1.570	-118	NS	PLS	Max	336.024	567.796	0,000	3.755	10,0	3.100.413
			- 42.48 4					Min	157.719	1.522.692	0,000	10.070		
Pilastro Acciaio 3	0%	-21.069	-107	133.744	-162	2.51[V]	PLS	Max	336.024	567.796	0,000	3.755	10,0	3.100.413
			- 42.48 3					Min	157.719	1.522.692	0,000	10.070		
	50,0%	-22.521	-107	67.322	5		PLS	Max	336.024	567.796	0,000	3.755	10,0	3.100.413

Pilastri (AC) - Verifiche a pressoflessione deviata

Pilastro	%L _{L1}	N _{Ed}	V _{Ed}	M _{Ed,3}	M _{Ed,2}	CS	Tp Vr	max/m in	M _{c,Rd}	V _{c,Rd}	ρ	A _v	t _w	N _{pl,Rd}
	[%]	[N]	[N]	[N·m]	[N·m]				[N·m]	[N]		[mm ²]	[mm]	[N]
	100%	-23.974	- 42.48 3	900	173	4.99[V]	PLS	Min	157.719	1.522.692	0,000	10.070	35,0	3.100.413
			-107					Max	336.024	567.796	0,000	3.755	10,0	
			- 42.48 3					Min	157.719	1.522.692	0,000	10.070	35,0	
Pilastro Acciaio 5	0%	-20.934	-31	131.781	-62	2.55[V]	PLS	Max	336.024	567.796	0,000	3.755	10,0	3.100.413
			- 41.74 4					Min	157.719	1.522.692	0,000	10.070	35,0	
	50,0%	-22.387	-31	66.515	-14	5.05[V]	PLS	Max	336.024	567.796	0,000	3.755	10,0	3.100.413
			- 41.74 4					Min	157.719	1.522.692	0,000	10.070	35,0	
	100%	-23.839	-31	1.248	34	NS	PLS	Max	336.024	567.796	0,000	3.755	10,0	3.100.413
			- 41.74 4					Min	157.719	1.522.692	0,000	10.070	35,0	

Pilastri (AC) - Verifiche a pressoflessione deviata

Pilastro	%L _{L1}	N _{Ed}	V _{Ed}	M _{Ed,3}	M _{Ed,2}	CS	Tp Vr	max/m in	M _{c,Rd}	V _{c,Rd}	ρ	A _v	t _w	N _{pl,Rd}
	[%]	[N]	[N]	[N·m]	[N·m]				[N·m]	[N]		[mm ²]	[mm]	[N]
Pilastro Acciaio 9	0%	-18.990	-839	119.932	-859	2.76[V]	PLS	Max	336.024	567.796	0,000	3.755	10,0	3.100.413
			-37.880					Min	157.719	1.522.692	0,000	10.070		
	50,0%	-20.443	-839	60.706	454	5.45[V]	PLS	Max	336.024	567.796	0,000	3.755	10,0	3.100.413
			-37.880					Min	157.719	1.522.692	0,000	10.070		
	100%	27.675	1.104	-1.165	-2.317	55.07[V]	PLS	Max	336.024	567.796	0,000	3.755	10,0	3.100.413
			26.734					Min	157.719	1.522.692	0,000	10.070		

LEGENDA:

Pilastro Identificativo del pilastro. L'eventuale lettera tra parentesi distingue i diversi tratti della pilastrata al livello considerato.

%L_{L1} Posizione della sezione per la quale vengono forniti i valori di verifica, valutata come % della lunghezza libera d'inflessione (L_{L1}), a partire dall'estremo iniziale.

N_{Ed} Sforzo normale di progetto.

V_{Ed} Taglio di progetto utilizzato per il calcolo di ρ .

Pilastri (AC) - Verifiche a pressoflessione deviata

Pilastro	%L _{L1}	N _{Ed}	V _{Ed}	M _{Ed,3}	M _{Ed,2}	CS	Tp Vr	max/m in	M _{c,Rd}	V _{c,Rd}	ρ	A _v	t _w	N _{pl,Rd}
	[%]	[N]	[N]	[N·m]	[N·m]				[N·m]	[N]		[mm ²]	[mm]	[N]

M_{Ed,3} Momento flettente di progetto intorno a 3.

M_{Ed,2} Momento flettente di progetto intorno a 2.

CS Coefficiente di sicurezza ([NS] = Non Significativo se CS ≥ 100; [VNR]= Verifica Non Richiesta; Informazioni aggiuntive sulla condizione: [V] = statica; [E] = eccezionale; [S] = sismica; [N] = sismica non lineare).

Tp Vr Tipo di verifica considerata: "PLS" = con Modulo di resistenza plastico; "ELA" = con modulo di resistenza elastico; "EFF" = con modulo di resistenza efficace.

max/min [max] = valore per la verifica con modulo di resistenza maggiore; [min] = valore per la verifica con modulo di resistenza minore.

M_{c,Rd} Momento resistente.

V_{c,Rd} Taglio resistente.

ρ Coefficiente riduttivo per presenza di taglio.

A_v Area resistente a taglio.

t_w Spessore anima.

N_{pl,Rd} Resistenza plastica a Sforzo Normale.

PILASTRI (AC) - VERIFICHE A TAGLIO (Elevazione) per pressoflessione deviata

Pilastri (AC) - Verifiche a taglio

Pilastro	%L _{L1}	CS	A _v	τ _{T,Ed}	V _{Ed}	V _{c,Rd}	P. Vrf.	Ω _{Min}
	[%]		[mm ²]	[N/mm ²]	[N]	[N]		
Piano Terra								
Pilastro Acciaio 10	0%	18,27	3.755	0,01	-31.071	567.778	Piano XX	0,00
	50,0%	18,27	3.755	0,01	-31.071	567.778	Piano XX	0,00
	100%	18,27	3.755	0,01	-31.071	567.778	Piano XX	0,00
Pilastro Acciaio 7	0%	13,60	3.755	0,00	-41.743	567.796	Piano XX	0,00
	50,0%	13,60	3.755	0,00	-41.743	567.796	Piano XX	0,00
	100%	13,60	3.755	0,00	-41.743	567.796	Piano XX	0,00
Pilastro Acciaio 6	0%	13,60	3.755	0,00	-41.751	567.796	Piano XX	0,00
	50,0%	13,60	3.755	0,00	-41.751	567.796	Piano XX	0,00
	100%	13,60	3.755	0,00	-41.751	567.796	Piano XX	0,00
Pilastro Acciaio 1	0%	18,28	3.755	0,01	-31.067	567.778	Piano XX	0,00
	50,0%	18,28	3.755	0,01	-31.067	567.778	Piano XX	0,00
	100%	18,28	3.755	0,01	-31.067	567.778	Piano XX	0,00
Pilastro Acciaio 2	0%	14,97	3.755	0,64	-37.876	566.835	Piano XX	0,00

Pilastri (AC) - Verifiche a taglio

Pilastro	%L _{L1}	CS	A _v	τ _{T,Ed}	V _{Ed}	V _{c,Rd}	P. Vrf.	Ω _{Min}
	[%]		[mm ²]	[N/mm ²]	[N]	[N]		
Pilastro Acciaio 4	50,0%	14,97	3.755	0,64	-37.876	566.835	Piano XX	0,00
	100%	14,97	3.755	0,64	-37.876	566.835	Piano XX	0,00
	0%	13,61	3.755	0,00	-41.723	567.796	Piano XX	0,00
	50,0%	13,61	3.755	0,00	-41.723	567.796	Piano XX	0,00
	100%	13,61	3.755	0,00	-41.723	567.796	Piano XX	0,00
Pilastro Acciaio 8	0%	13,36	3.755	0,06	-42.484	567.704	Piano XX	0,00
	50,0%	13,36	3.755	0,06	-42.484	567.704	Piano XX	0,00
	100%	13,36	3.755	0,06	-42.484	567.704	Piano XX	0,00
Pilastro Acciaio 3	0%	13,36	3.755	0,06	-42.483	567.704	Piano XX	0,00
	50,0%	13,36	3.755	0,06	-42.483	567.704	Piano XX	0,00
	100%	13,36	3.755	0,06	-42.483	567.704	Piano XX	0,00
Pilastro Acciaio 5	0%	13,60	3.755	0,00	-41.744	567.796	Piano XX	0,00
	50,0%	13,60	3.755	0,00	-41.744	567.796	Piano XX	0,00
	100%	13,60	3.755	0,00	-41.744	567.796	Piano XX	0,00

Pilastri (AC) - Verifiche a taglio

Pilastro	%L _L	CS	A _v	$\tau_{T,Ed}$	V _{Ed}	V _{c,Rd}	P. Vrf.	Ω_{Min}
	[%]		[mm ²]	[N/mm ²]	[N]	[N]		
Pilastro Acciaio 9	0%	14,96	3.755	0,64	-37.880	566.835	Piano XX	0,00
	50,0%	14,96	3.755	0,64	-37.880	566.835	Piano XX	0,00
	100%	14,96	3.755	0,64	-37.880	566.835	Piano XX	0,00

LEGENDA:

Pilastro Identificativo del pilastro. L'eventuale lettera tra parentesi distingue i diversi tratti della pilastrata al livello considerato.

%L_L Posizione della sezione per la quale vengono forniti i valori di verifica, valutata come % della lunghezza libera d'inflessione (L_L), a partire dall'estremo iniziale.

CS Coefficiente di sicurezza ([NS] = Non Significativo se CS ≥ 100; [VNR]= Verifica Non Richiesta; Informazioni aggiuntive sulla condizione: [V] = statica; [E] = eccezionale; [S] = sismica; [N] = sismica non lineare).

A_v Area resistente a taglio.

$\tau_{T,Ed}$ Tensione tangenziale di calcolo per torsione.

V_{Ed} Taglio di progetto.

V_{c,Rd} Taglio resistente.

P. Vrf. Piano di minima resistenza.

Ω_{Min} Rapporto minimo momento plastico/momento progetto travi concorrenti.

PILASTRI (AC) - VERIFICHE INSTABILITÀ A PRESSOFLESSIONE DEVIATA (Elevazione)

Pilastri (AC) - Verifiche instabilità a pressoflessione deviata

Pilastro	N _{eq,Ed}	M _{eq,Ed,3}	M _{eq,Ed,2}	CS	P. Vrf.	L _{Cr}	Dir	L _N	λ _{LT}	α	φ	χ	β	k _c	χ _{LT}	N _{Cr}
	[N]	[N·m]	[N·m]			[m]		[m]								[N]
Piano Terra																
Pilastro Acciaio 10	-12.248	59.551	20	5,77	Piano XX	3,05	x-x	3,05	0,341	0,340	0,568	1,000	1,000	0,754	1,000	11.440.890
							y-y	3,05	0,167	0,490	0,724	1,000	1,000	0,752	1,000	
Pilastro Acciaio 7	-17.724	79.809	-11	4,31	Piano XX	3,05	x-x	3,05	0,341	0,340	0,568	1,000	1,000	0,754	1,000	11.440.890
							y-y	3,05	0,144	0,490	0,724	1,000	1,000	0,635	1,000	
Pilastro Acciaio 6	-17.711	79.655	-17	4,32	Piano XX	3,05	x-x	3,05	0,340	0,340	0,568	1,000	1,000	0,754	1,000	11.440.890
							y-y	3,05	0,156	0,490	0,724	1,000	1,000	0,676	1,000	
Pilastro Acciaio 1	-12.232	58.723	-56	5,84	Piano XX	3,05	x-x	3,05	0,340	0,340	0,568	1,000	1,000	0,753	1,000	11.440.890
							y-y	3,05	0,173	0,490	0,724	1,000	1,000	0,752	1,000	
Pilastro Acciaio 2	-16.130	71.752	-590	4,72	Piano XX	3,05	x-x	3,05	0,340	0,340	0,568	1,000	1,000	0,753	1,000	11.440.890
							y-y	3,05	0,157	0,490	0,724	1,000	1,000	0,680	1,000	
Pilastro Acciaio 4	-17.708	79.388	-32	4,33		3,05	x-x	3,05	0,340	0,340	0,568	1,000	1,000	0,753	1,000	

Pilastri (AC) - Verifiche instabilità a pressoflessione deviata

Pilastro	N _{eq,Ed}	M _{eq,Ed,3}	M _{eq,Ed,2}	CS	P. Vrf.	L _{Cr}	Dir	L _N	λ _{LT}	α	φ	χ	β	k _c	χ _{LT}	N _{cr}
	[N]	[N·m]	[N·m]			[m]		[m]								[N]
					Piano XX		y-y	3,05	0,155	0,490	0,724	1,000	1,000	0,673	1,000	11.440.890
Pilastro Acciaio 8	-17.828	81.222	-40	4,23	Piano XX	3,05	x-x	3,05	0,341	0,340	0,568	1,000	1,000	0,754	1,000	11.440.890
							y-y	3,05	0,156	0,490	0,724	1,000	1,000	0,676	1,000	
Pilastro Acciaio 3	-17.820	80.579	60	4,27	Piano XX	3,05	x-x	3,05	0,340	0,340	0,568	1,000	1,000	0,753	1,000	11.440.890
							y-y	3,05	0,134	0,490	0,724	1,000	1,000	0,602	1,000	
Pilastro Acciaio 5	-17.710	79.529	-24	4,33	Piano XX	3,05	x-x	3,05	0,340	0,340	0,568	1,000	1,000	0,754	1,000	11.440.890
							y-y	3,05	0,151	0,490	0,724	1,000	1,000	0,661	1,000	
Pilastro Acciaio 9	-16.133	72.499	583	4,67	Piano XX	3,05	x-x	3,05	0,341	0,340	0,568	1,000	1,000	0,754	1,000	11.440.890
							y-y	3,05	0,154	0,490	0,724	1,000	1,000	0,671	1,000	

LEGENDA:

Pilastro Identificativo del pilastro. L'eventuale lettera tra parentesi distingue i diversi tratti della pilastrata al livello considerato.

N_{eq,Ed} Sforzo Normale equivalente di progetto.

M_{eq,Ed,3} Momento equivalente di progetto intorno a 3.

Pilastri (AC) - Verifiche instabilità a pressoflessione deviata

Pilastro	$N_{eq,Ed}$	$M_{eq,Ed,3}$	$M_{eq,Ed,2}$	CS	P. Vrf.	L_{Cr}	Dir	L_N	λ_{LT}	α	ϕ	χ	β	k_c	χ_{LT}	N_{cr}
	[N]	[N·m]	[N·m]			[m]		[m]								[N]

$M_{eq,Ed,2}$ Momento equivalente di progetto intorno a 2.

CS Coefficiente di sicurezza ([NS] = Non Significativo se $CS \geq 100$; [VNR]= Verifica Non Richiesta; Informazioni aggiuntive sulla condizione: [V] = statica; [E] = eccezionale; [S] = sismica; [N] = sismica non lineare).

P. Vrf. Piano di minima resistenza.

L_{Cr} Lunghezza di libera inflessione laterale, misurata tra due ritegni torsionali successivi.

L_N Luce libera di inflessione.

λ_{LT} Coefficiente di snellezza normalizzata (per il calcolo di Φ_{LT}).

α Fattore di imperfezione.

ϕ Coefficiente ϕ (per il calcolo di χ).

χ Coefficiente di riduzione per instabilità a compressione

β Coefficiente di riduzione della luce libera di inflessione.

k_c Coefficiente per il calcolo di χ_{LT}

χ_{LT} Coefficiente di riduzione ai fini dell'instabilità flessotorsionale.

N_{cr} Sforzo Normale Critico Euleriano.

PILASTRI (AC) - VERIFICA DI SNELLEZZA (Elevazione)

Pilastri - VERIFICA DI SNELLEZZA

Id	P/S	L ₀	i	λ ₀	λ _{0,lim}	CS
		[mm]	[mm]			
Piano Terra						
Pilastro Acciaio 10	-	3050	65,84	46	200	4,35
Pilastro Acciaio 7	-	3050	65,84	46	200	4,35
Pilastro Acciaio 6	-	3050	65,84	46	200	4,35
Pilastro Acciaio 1	-	3050	65,84	46	200	4,35
Pilastro Acciaio 2	-	3050	65,84	46	200	4,35
Pilastro Acciaio 4	-	3050	65,84	46	200	4,35
Pilastro Acciaio 8	-	3050	65,84	46	200	4,35
Pilastro Acciaio 3	-	3050	65,84	46	200	4,35
Pilastro Acciaio 5	-	3050	65,84	46	200	4,35
Pilastro Acciaio 9	-	3050	65,84	46	200	4,35

LEGENDA:

Pilastri - VERIFICA DI SNELLEZZA

Id	P/S	L₀	i	λ₀	λ_{0,lim}	CS
		[mm]	[mm]			

Id Identificativo dell'elemento.

P/S Tipologia trave acciaio: Principale (P) o Secondaria (S)

L₀ Lunghezza di inflessione

i Raggio d'inerzia

λ₀ Snellezza

λ_{0,lim} Snellezza limite

CS Coefficiente di sicurezza ([NS] = Non Significativo per valori di CS >= 100; [VNR]= Verifica Non Richiesta).

4. Verifica fondazioni infissione pali tracker

4.1 Condizioni drenate

Dati generali...

Diametro punta 0.26 m

Lunghezza 4.30 m

Tipo Infisso

Densità relativa strato punta palo 50.00

Portanza di punta calcolata con: Berezantzev

Profondità falda da piano campagna 1.70 m

Archivio materiali

Conglomerati

Nr.	Classe Calcestruzzo	fck,cubi [MPa]	Ec [MPa]	fck [MPa]	fcd [MPa]	fctd [MPa]	fctm [MPa]

1	C20/25	25	29960	20	11.33	1.01	2.21
2	C25/30	30	31475	25	14.16	1.14	2.56
3	C28/35	35	32308	28	15.86	1.26	2.76
4	C40/50	50	35220	40	22.66	1.63	3.5

Acciai:

Nr.	Classe Acciaio	Es [MPa]	fyk [MPa]	fyd [MPa]	ftk [MPa]	ftd [MPa]	ep_tk	epd_ul t	β1*β2 in.	β1*β2 fin.
1	B450C	200000	450	391.3	450	391.3	.075	.0675	1	.5
2	B450C*	200000	450	391.3	540	450	.05	.04	1	.5
3	S235H	210000	235	204.35	360	204.35	.05	.04	1	.5
4	S275H	210000	275	239.13	430	239.13	.05	.04	1	.5
5	S355H	210000	355	308.7	510	308.7	.05	.04	1	.5

Stratigrafia

Nr.: Numero dello strato. Hs: Spessore dello strato. Fi: Angolo di attrito. c: Coesione Alfa: Coefficiente adesione attrito laterale. Vs: Velocità onde di taglio.

Strat. 1

Nr.	Hs	Peso unità di Volu me [kN/ m3]	Peso Unità di volu me Satur o [kN/ m3]	c [kN/ m2]	Fi (°)	Rocci a	RQD (%)	Punta Palo [MN/ m2]	Attrit o negat ivo	α	Mod ulo elasti co [MN/ m2]	Vs [m/s]	Descr izion e litolo gica
1	1.00	19.50	20.00	110.00	24.00	No	0.00	0.00	No	0.50	189.803	0	
2	6.00	18.75	19.00	40.00	18.00	No	0.00	0.00	No	1.00	45.54	0	

Carico limite

Stratigrafia	Nq	Nc	Punta Palo	Peso palo [kN]	Carico limite punta [kN]	Carico limite laterale [kN]	Carico limite [kN]	Attrito negativo [kN]	Carico limite orizzontale [kN]
A1+M1+R3	21.34	36.69	$\phi=29/c$ $=40.00$	3.82	0.00	180.15	176.33	--	93.65 [Corto]

Corto si rompe il terreno senza che la sezione si plasticizzi. Medio si rompe la sezione in c.a. prima del terreno (una sola cerniera plastica). Lungo si rompe la sezione in c.a. prima del terreno (due cerniere plastiche).

RESISTENZA DI PROGETTO CARICHI ASSIALI

Resistenza caratteristica carichi assiali. Nome combinazione: A1+M1+R3

Numero verticali di indagine 1

Fattore correlazione verticale indagate media (ξ_3) 1.65

Fattore correlazione verticale indagate minima (ξ_4) 1.55

	Rc, Min [kN]	Rc, Media [kN]	Rc, Max [kN]
Base	--	--	--
Laterale	180.15	180.15	180.15
Totale=Base+Laterale- Peso palo	176.33	176.33	176.33

Coefficiente parziale resistenza caratteristica R_3

Laterale 1.15

Resistenza di progetto laterale 94.94 kN

Resistenza di progetto 91.12 kN

Azioni di progetto 44.70 kN

Fattore sicurezza verticale 2.04

Resistenza di progetto carichi trasversali

Resistenza caratteristica carichi assiali. Nome combinazione A1+M1+R3

Numero verticali di indagine 1

Fattore correlazione verticale indagate media (ξ_3) 1.65

Fattore correlazione verticale indagate minima (ξ_4) 1.55

Momento plasticizzazione 300.00 kNm

Rc, Min [kN]	Rc, Media [kN]	Rc, Max [kN]
93.64989	93.64989	93.64989

Coefficiente parziale resistenza caratteristica 1.3

Resistenza di progetto 43.66 kN

Azioni di progetto 42.48 kN

Fattore sicurezza orizzontale 1.03

VERIFICA STRUTTURALE IN CAMPO ELASTICO

	Z [m]	Nd [kN]	Md [kNm]	Td [kN]	Verifica strutturale in campo elastico
1	0	44304.43	-130073.60	28728.47	Verificata
2	0.36	44622.73	-140367.00	-15051.23	Verificata
3	0.72	44941.03	-134973.10	-43601.13	Verificata
4	1.08	45259.34	-119348.90	-50023.33	Verificata
5	1.43	45577.64	-101424.00	-51772.17	Verificata
6	1.79	45895.94	-82873.17	-51014.98	Verificata
7	2.15	46214.25	-64592.32	-48047.53	Verificata
8	2.51	46532.55	-47374.80	-43125.41	Verificata

9	2.87	46850.85	-31921.53	-36424.47	Verificata
10	3.23	47169.15	-18868.45	-28041.47	Verificata
11	3.58	47487.46	-8821.23	-18080.01	Verificata
12	3.94	47805.76	-2342.56	-6542.83	Verificata
13	4.3	48124.06	-1.95	--	Verificata

4.2 Condizioni non drenate

Dati generali...

Diametro punta	0.26 m
Lunghezza	4.30 m
Tipo	Infisso
Densità relativa strato punta palo	50.00
Portanza di punta calcolata con:	Berezantzev
Profondità falda da piano campagna	1.70 m

Archivio materiali

Conglomerati

Nr.	Classe Calcestruzzo	fck,cubi [MPa]	Ec [MPa]	fck [MPa]	fcd [MPa]	fctd [MPa]	fctm [MPa]
1	C20/25	25	29960	20	11.33	1.01	2.21
2	C25/30	30	31475	25	14.16	1.14	2.56

3	C28/35	35	32308	28	15.86	1.26	2.76
4	C40/50	50	35220	40	22.66	1.63	3.5

Acciai:

Nr.	Classe Acciaio	Es [MPa]	fyk [MPa]	fyd [MPa]	ftk [MPa]	ftd [MPa]	ep_tk	epd_ult	$\beta 1 * \beta 2$ in.	$\beta 1 * \beta 2$ fin.
1	B450C	200000	450	391.3	450	391.3	.075	.0675	1	.5
2	B450C*	200000	450	391.3	540	450	.05	.04	1	.5
3	S235H	210000	235	204.35	360	204.35	.05	.04	1	.5
4	S275H	210000	275	239.13	430	239.13	.05	.04	1	.5
5	S355H	210000	355	308.7	510	308.7	.05	.04	1	.5

Stratigrafia

Nr.: Numero dello strato. Hs: Spessore dello strato. Fi: Angolo di attrito. c: Coesione Alfa: Coefficiente adesione attrito laterale. Vs: Velocità onde di taglio.

Strat. 1

Nr.	Hs	Peso unità di Volume [kN/m ³]	Peso Unità di volume Saturato [kN/m ³]	c [kN/m ²]	Fi (°)	Roccia	RQD (%)	Punta Palo [MN/m ²]	Attrito negativo	α	Modulo elastico [MN/m ²]	Vs [m/s]	Descrizione litologica
1	1.00	19.50	20.00	110.00	24.00	No	0.00	0.00	No	0.50	189.83	0	
2	6.00	18.75	19.00	40.00	18.00	No	0.00	0.00	No	1.00	45.54	0	

Carico limite

Stratigrafia	Nq	Nc	Punta Palo	Peso palo [kN]	Carico limite punta [kN]	Carico limite laterale [kN]	Carico limite [kN]	Attrito negativo [kN]	Carico limite orizzontale [kN]
A1+M1+R3	1.00	9.00	$\phi=0/c=40.00$	3.82	0.00	186.92	183.10	--	186.49 [Corto]

Corto si rompe il terreno senza che la sezione si plasticizzi. Medio si rompe la sezione in c.a. prima del terreno (una sola cerniera plastica). Lungo si rompe la sezione in c.a. prima del terreno (due cerniere plastiche).

RESISTENZA DI PROGETTO CARICHI ASSIALI

Resistenza caratteristica carichi assiali. Nome combinazione: A1+M1+R3
 Numero verticali di indagine 1
 Fattore correlazione verticale indagate media (ξ_3) 1.65

Fattore correlazione verticale indagate minima (xi4) 1.55

	Rc, Min [kN]	Rc, Media [kN]	Rc, Max [kN]
Base	--	--	--
Laterale	186.92	186.92	186.92
Totale=Base+Laterale- Peso palo	183.10	183.10	183.10

Coefficiente parziale resistenza caratteristica R3
 Laterale 1.15
 Resistenza di progetto laterale 98.51 kN
 Resistenza di progetto 94.69 kN
 Azioni di progetto 44.70 kN
 Fattore sicurezza verticale 2.12

Resistenza di progetto carichi trasversali

Resistenza caratteristica carichi assiali. Nome combinazione A1+M1+R3
 Numero verticali di indagine 1
 Fattore correlazione verticale indagate media (xi3) 1.65
 Fattore correlazione verticale indagate minima (xi4) 1.55
 Momento plasticizzazione 300.00 kNm

Rc, Min [kN]	Rc, Media [kN]	Rc, Max [kN]
186.4877	186.4877	186.4877

Coefficiente parziale resistenza caratteristica 1.3
 Resistenza di progetto 86.94 kN
 Azioni di progetto 42.48 kN
 Fattore sicurezza orizzontale 2.05

Modello ad elementi finiti

Max spostamento lineare del terreno 0.013 cm
 Tipo analisi Lineare
 Massimo numero di iterazioni 1.00
 Fattore di riduzione molla fondo scavo 1.00
 Numero di elementi 12.00
 Nodo sulla superficie del terreno [< n° nodi] 1.00
 Modulo di reazione Ks Bowles

Carichi

Forze orizzontali (Fo) positive dirette da destra a sinistra. Forze verticali (Fv) positive dirette verso il basso. Coppie (M) positive orarie.

Nodo	Fo [kN]	M [kNm]	Fv [kN]
------	------------	------------	------------

1	42.48	-134.42	44.70
---	-------	---------	-------

ANALISI AD ELEMENTI FINITI [Stratigrafia di riferimento...1]

	Lunghezza a [m]	Ks [kN/m3]	Sforzo normale [kN]	Momento [kNm]	Taglio [kN]	Reazione terreno [kN]	Rotazione (°)	Spostamento [m]	Pressione terreno [kN/m2]
1	0.36	0	44.7	-134.42	28.45	14.03	-0.318	0.007	0
2	0.36	103746.891	45.02	-144.61	-16.14	44.57	-0.283	0.0051	527.688
3	0.36	103746.891	45.34	-138.83	-45.09	28.95	-0.248	0.0034	355.616
4	0.36	25249.635	45.65	-122.67	-51.57	6.48	-0.215	0.002	50.096
5	0.36	25249.635	45.97	-104.19	-53.3	1.72	-0.186	0.0007	18.482
6	0.36	25249.635	46.29	-85.09	-52.46	-0.84	-0.163	-0.0004	-9.012
7	0.36	25249.635	46.61	-66.3	-49.37	-3.09	-0.144	-0.0013	-33.138
8	0.36	25249.635	46.93	-48.61	-44.29	-5.09	-0.129	-0.0022	-54.632
9	0.36	25249.635	47.25	-32.74	-37.37	-6.91	-0.119	-0.0029	-74.19
10	0.36	25249.635	47.56	-19.35	-28.77	-8.61	-0.113	-0.0037	-92.437
11	0.36	25249.635	47.88	-9.04	-18.52	-10.24	-0.109	-0.0044	-109.897
12	0.36	25249.635	48.2	-2.4	-6.7	-11.83	-0.108	-0.005	-126.976

VERIFICA STRUTTURALE IN CAMPO ELASTICO

	Z [m]	Nd [kN]	Md [kNm]	Td [kN]	Verifica strutturale in campo elastico
1	0	44714.56	-134459.80	28455.85	Verificata
2	0.36	45032.86	-144658.40	-16147.15	Verificata
3	0.72	45351.16	-138873.80	-45103.26	Verificata
4	1.08	45669.47	-122711.60	-51588.15	Verificata
5	1.43	45987.77	-104225.80	-53313.14	Verificata
6	1.79	46306.07	-85122.45	-52472.11	Verificata
7	2.15	46624.38	-66320.42	-49387.45	Verificata
8	2.51	46942.68	-48625.21	-44300.40	Verificata
9	2.87	47260.98	-32750.90	-37386.81	Verificata
10	3.23	47579.29	-19355.91	-28782.99	Verificata
11	3.58	47897.59	-9042.01	-18527.11	Verificata

12	3.94	48215.89	-2401.17	-6700.95	Verificata
13	4.3	48534.20	--	--	Verificata

5. Verifica fondazioni cabinati

5.1 Cabina di controllo

DATI GENERALI

=====

Normativa NTC_2018

Zona Ravenna

Lat./ Long. [WGS84] 44.4184417724609/12.2034959793091

Descrizione

Geometria rilevato

Base inferiore 9.9 m

Base superiore 5.4 m

Altezza 1.5 m

Inclinazione 33.69 °

Peso Specifico 18 kN/m³

Angolo di attrito 45 °

Coesione 40 kPa

Pali in ghiaia

Diametro 0.6 m

Lunghezza 12 m

Posizione primo ed ultimo palo X 1/1 m

Posizione primo ed ultimo palo Z 1/1 m

Interasse X, Z 1/0 m

Modulo di elasticita' 200 MPa

&Falda

Portata totale estratta 0.1 m³/s

Permeabilita' 0.001 m/s

=====

STRATIGRAFIA TERRENO

Spessor e strato	Peso unità di volume [kN/m³]	Peso di unità di volume saturo [kN/m³]	Angolo di attrito [°]	Coesio ne [kN/m²]	Coesio ne non drenata [kN/m²]	Modul o Elastico [kN/m²]	Modul o Edomet rico [kN/m²]	Poisson	Coeff. consoli daz. primari a [cmq/s]	Coeff. consoli dazion e second aria	Descrizi one
1.0	19.5	20.0	20.0	10.0	110.0	0.19	0.0	0.0	0.0	0.0	G:\DEX \Disco E\Sorge nti\Reti ni\Inco erenti\ ghiaia_ g.bmp
2.0	18.75	19.0	18.0	20.0	40.0	0.05	0.0	0.0	0.0	0.0	G:\DEX \Disco

											E\Sorge nti\Reti ni\Inco erenti\ ghiaia_ g.bmp
2.0	18.75	19.0	18.0	20.0	40.0	0.05	0.0	0.0	0.0	0.0	G:\DEX \Disco E\Sorge nti\Reti ni\Inco erenti\ ghiaia_ g.bmp
2.0	18.75	19.0	18.0	20.0	40.0	0.05	0.0	0.0	0.0	0.0	G:\DEX \Disco E\Sorge nti\Reti ni\Inco erenti\ ghiaia_ g.bmp

Carichi di progetto agenti sulla fondazione

Nr.	Nome combinazione	Pressione normale di progetto [kN/m ²]	N [kN]	Mx [kN·m]	My [kN·m]	Hx [kN]	Hy [kN]	Tipo
1	A1+M1+R 3	56.00	0.00	0.00	0.00	0.00	0.00	Progetto
2	S.L.E.	30.00	0.00	0.00	0.00	0.00	0.00	Servizio

Sisma + Coeff. parziali parametri geotecnici terreno + Resistenze

Nr	Correzione e Sismica	Tangente angolo resistenza al taglio	Coesione di efficace	Coesione non drenata	Peso Unità volume fondazione e	Peso unità in volume copertura	Coef. Capacità portante verticale	Rid. Coef.Rid.C apacità portante orizzontale
----	-------------------------	---	-------------------------	----------------------------	---	--------------------------------------	--	--

1	No	1	1	1	1	1	1	1
2	No	1	1	1	1	1	1	1

CARICO LIMITE FONDAZIONE COMBINAZIONE...A1+M1+R3

Autore: Meyerhof and Hanna (1978)

Carico limite [Qult] 238.57 kN/m²

Resistenza di progetto[Rd] 238.57 kN/m²

Tensione [Ed] 76.86 kN/m²

Fattore sicurezza [Fs=Qult/Ed] 3.1

Condizione di verifica [Ed<=Rd] Verificata

COEFFICIENTE DI SOTTOFONDAZIONE BOWLES (1982)

Costante di Winkler 16294.45 kN/m³

A1+M1+R3

Autore: HANSEN (1970) (Condizione drenata)

=====

PARAMETRI GEOTECNICI DI CALCOLO

=====

Peso unità di volume 19.5 kN/m³

Peso unità di volume saturo 20.0 kN/m³

Angolo di attrito 20.0 °

Coesione 10.0 kN/m²

=====

Fattore [Nq] 6.4

Fattore [Nc] 14.83

Fattore [Ng] 2.95

Fattore forma [Sc] 1.0

Fattore profondità [Dc]	1.0
Fattore inclinazione carichi [Ic]	1.0
Fattore inclinazione pendio [Gc]	1.0
Fattore inclinazione base [Bc]	1.0
Fattore forma [Sq]	1.26
Fattore profondità [Dq]	1.0
Fattore inclinazione carichi [Iq]	1.0
Fattore inclinazione pendio [Gq]	1.0
Fattore inclinazione base [Bq]	1.0
Fattore forma [Sg]	0.72
Fattore profondità [Dg]	1.0
Fattore inclinazione carichi [Ig]	1.0
Fattore inclinazione pendio [Gg]	1.0
Fattore inclinazione base [Bg]	1.0
Fattore correzione sismico inerziale [zq]	1.0
Fattore correzione sismico inerziale [zg]	1.0

Fattore correzione sismico inerziale [zc] 1.0

=====

Carico limite 295.8 kN/m²

Resistenza di progetto 295.8 kN/m²

Condizione di verifica [Ed<=Rd] Verificata

=====

Autore: TERZAGHI (1955) (Condizione drenata)

=====

PARAMETRI GEOTECNICI DI CALCOLO

=====

Peso unità di volume 19.5 kN/m³

Peso unità di volume saturo 20.0 kN/m³

Angolo di attrito 20.0 °

Coesione 10.0 kN/m²

=====

Fattore [Nq] 7.44

Fattore [Nc] 17.69

Fattore [Ng] 4.97

Fattore forma [Sc] 1.0

Fattore forma [Sg] 1.0

Fattore correzione sismico inerziale [zq] 1.0

Fattore correzione sismico inerziale [zg] 1.0

Fattore correzione sismico inerziale [zc] 1.0

=====

Carico limite 524.57 kN/m²

Resistenza di progetto 524.57 kN/m²

Condizione di verifica [Ed<=Rd] Verificata

=====

Autore: MEYERHOF (1963) (Condizione drenata)

=====

PARAMETRI GEOTECNICI DI CALCOLO

=====

Peso unità di volume 19.5 kN/m³

Peso unità di volume saturo 20.0 kN/m³

Angolo di attrito 20.0 °

Coesione 10.0 kN/m²

=====

Fattore [Nq] 6.4

Fattore [Nc] 14.83

Fattore [Ng] 2.87

Fattore forma [Sc] 1.29

Fattore profondità [Dc] 1.0

Fattore inclinazione carichi [Ic] 1.0

Fattore forma [Sq] 1.15

Fattore profondità [Dq] 1.0

Fattore inclinazione carichi [Iq] 1.0

Fattore forma [Sg] 1.15

Fattore profondità [Dg] 1.0

Fattore inclinazione carichi [Ig] 1.0

Fattore correzione sismico inerziale [zq] 1.0

Fattore correzione sismico inerziale [zg] 1.0

Fattore correzione sismico inerziale [zc] 1.0

=====

Carico limite 421.43 kN/m²

Resistenza di progetto 421.43 kN/m²

Condizione di verifica [Ed<=Rd] Verificata

=====

Autore: Brinch - Hansen 1970 (Condizione drenata)

=====

PARAMETRI GEOTECNICI DI CALCOLO

=====

Peso unità di volume 19.5 kN/m³

Peso unità di volume saturo 20.0 kN/m³

Angolo di attrito 20.0 °

Coesione 10.0 kN/m²

=====

Fattore [Nq] 6.4

Fattore [Nc] 14.83

Fattore [Ng] 3.93

Fattore forma [Sc] 1.29

Fattore profondità [Dc] 1.0

Fattore inclinazione carichi [Ic]	1.0
Fattore inclinazione pendio [Gc]	1.0
Fattore inclinazione base [Bc]	1.0
Fattore forma [Sq]	1.24
Fattore profondità [Dq]	1.0
Fattore inclinazione carichi [Iq]	1.0
Fattore inclinazione pendio [Gq]	1.0
Fattore inclinazione base [Bq]	1.0
Fattore forma [Sg]	0.79
Fattore profondità [Dg]	1.0
Fattore inclinazione carichi [Ig]	1.0
Fattore inclinazione pendio [Gg]	1.0
Fattore inclinazione base [Bg]	1.0
Fattore correzione sismico inerziale [zq]	1.0
Fattore correzione sismico inerziale [zg]	1.0
Fattore correzione sismico inerziale [zc]	1.0

=====

Carico limite 407.36 kN/m²

Resistenza di progetto 407.36 kN/m²

Condizione di verifica [Ed≤Rd] Verificata

=====

Autore: Meyerhof and Hanna (1978) (Condizione drenata)

=====

Strato 1 sopra, strato 2 sotto

Fattori di capacità portante strato 1

Fattore [Nq] 6.4

Fattore [Nc] 14.83

Fattore [Ng] 0.95

Fattori di capacità portante strato 2

Fattore [Nq] 1.0

Fattore [Nc] 5.14

Carico limite strato 2 (qb) 254.39 kN/m²

Carico limite strato 1 (qt) 267.92 kN/m²

Incremento carico limite strato 1 3.68 kN/m²

Coefficiente di punzonamento (ks) 2.32

Rapporto (q1/q2) 0.86

=====

Carico limite 238.57 kN/m²

Resistenza di progetto 238.57 kN/m²

Condizione di verifica [Ed<=Rd] Verificata

=====

CEDIMENTI PER OGNI STRATO

***Cedimento edometrico calcolato con: Metodo consolidazione monodimensionale di Terzaghi**

Pressione normale di progetto 30.0 kN/m²

Cedimento dopo T anni 10.0

Distanza 2.67 m

Angolo 46.42 °

Cedimento totale 221297.797 cm

Z: Profondità media dello strato; Dp: Incremento di tensione; Wc: Cedimento consolidazione;
Ws: Cedimento secondario; Wt: Cedimento totale.

Strato	Z (m)	Tensione (kN/m ²)	Dp (kN/m ²)	Metodo	Wc (cm)	Ws (cm)	Wt (cm)
1	0.5	0	0	Schmertmann	2327.3999	930.96002	3258.36011
2	2	0	0	Schmertmann	34753.01172	13901.2002	48654.21094
3	4	0	0	Schmertmann	57506.01953	23002.40039	80508.42188
4	6	0	0	Schmertmann	63483.42969	25393.36914	88876.79688

VERIFICA A LIQUEFAZIONE - Metodo del C.N.R. - GNDT Da Seed e Idriss

=====

Svo: Pressione totale di confinamento; S'vo: Pressione efficace di confinamento; T: Tensione tangenziale ciclica; R: Resistenza terreno alla liquefazione; Fs: Coefficiente di sicurezza

Strato	Prof. Strato (m)	Nspt	Nspt'	Svo (kN/m ²)	S'vo (kN/m ²)	T	R	Fs	Condizio ne:
--------	------------------------	------	-------	-----------------------------	------------------------------	---	---	----	-----------------

TABULATI DI CALCOLO OPERE CIVILI

1	1.00	1.00	1.891	19.500	19.500	0.133	0.057	0.43	Livello non liquefacci bile
---	------	------	-------	--------	--------	-------	-------	------	--------------------------------------